

ISSN 0130-7061

Index 76127

მეცნიერება და ტექნოლოგია

სამეცნიერო რევიურებაზო ჟურნალი

SCIENCE AND TECHNOLOGIES

SCIENTIFIC REVIEWED MAGAZINE

НАУКА И ТЕХНОЛОГИИ

НАУЧНЫЙ РЕФЕРИРУЕМЫЙ ЖУРНАЛ

№2(716)



თბილისი – TBILISI – ТБИЛИСИ
2014

გამოდის 1949 წლის
იანვრიდან,
განახლდა 2013 წელს.

ମୀତ୍ରେନୋର୍ମାର୍କା ଓ
ତୀର୍ତ୍ତିକାରୀଙ୍କରେ

№2(716), 2014 №.

CONSTITUENTS:

Georgian National Academy of Sciences
Georgian Technical University
Georgian Engineering Academy
Georgian Academy of Agricultural Sciences
Georgian Society for the History of Science

დამუშავებლები:

საქართველოს მეცნიერებათა ეროვნული აკადემია

საქართველოს ტექნიკური უნივერსიტეტი

საქართველოს საინჟინრო აკადემია
1 1 1 8 15 1 8 5 1

საქართველოს სოფლის მეურნეობის მცხიერებათა აკადემია
მაცნეობის იუსტიციის საქართველოს საზოგადოებრივი სამსახური

ძეცინებების ისტორიის საქართველოს სახელმწიფო უნივერსიტეტი

УЧРЕДИТЕЛИ:

Национальная академия наук Грузии

Грузинский технический университет

Инженерная академия Грузии

Академия сельскохозяйственных наук Грузии

Грузинское общество истории наук

სარედაქციო კოლეგია:

ა. ფრანგიშვილი (თავმჯდომარე), ი. გორგიძე (თავმჯდომარის მთადგილე), შ. ნაჭყბია (თავმჯდომარის მთადგილე), რ. ჩიქოვანი (თავმჯდომარის მთადგილე), გ. აბდუშელიშვილი, ა. აბშილაძე, გ. არაბიძე, რ. არველაძე, რ. ბაბაიანი (რუსეთი), ხ. ბადათურია, თ. ბაციკაძე, გ. ბიბილეიშვილი, ვ. ბურგოვი (რუსეთი), გ. გავარდაშვილი, ზ. გასიტაშვილი, ზ. გევორგიძე, თ. გელაშვილი, ალ. გრიგორიშვილი, ლ. გურგანიძე, ბ. გუსევი (რუსეთი), ი. ელიშავევი (აშშ), ს. გასილევი (რუსეთი), ხ. ვახანია (მექსიკა), მ. ზგურივსკი (უკრანია), თ. ზუმბურიძე, პ. ზუნკელი (ავსტრია), ლ. თავხელიძე, ა. თოფხიშვილი, ზ. ქაჯულია, ვ. კვარაცხელია, გ. კვესიტაძე, ლ. კლიმიაშვილი, ფ. კრიადო (ესპანეთი), მ. კუხალევიშვილი, რ. ლაზაროვი (აშშ), ჯ. ლაიტმანი (აშშ), ხ. ლომსაძე, ნ. მახვილაძე, დეკანოზი ლ. მათევგილი, მ. მაცაბერიძე, ვ. მარგავაშვილი (რუსეთი), პ. მელაძე, ე. მექმარიაშვილი, გ. მიქაელიშვილი, თ. ნათოშვილი, ლ. ნოვიკოვი (რუსეთი), ს. პეტროლო (იტალია), რ. ქინევიზიუსი (ლიბერვა), ი. ქორდანია, ვ. უკროვსკი (რუსეთი), პ. რიჩი (იტალია), მ. სალუქვაძე, ფ. სიარლე (საფრანგეთი), რ. სტურუშა, თ. სულაბერიძე, ფ. უნგრერი (ავსტრია), ა. ფაშაევი (აზერბაიჯანი), ხ. ყავლაშვილი, ა. წეხიძე, გ. ცინცაძე, თ. ცინცაძე, ნ. წერეთელი, ზ. წვერიაძე, გ. ხელულური, თ. ჯაგოლიშვილი, გ. ჯავახაძე, მიტროპოლიტი ა. ჯაფარიძე, გ. ჯერენაშვილი, მ. ჯიბლაძე, ჯ. ჯუჯარო (იტალია)

EDITORIAL BOARD:

A. Prangishvili (chairman), I. Gorgidze (vice-chairman), Sh. Nachkebia (vice-chairman), R. Chikovani (vice-chairman), G. Abdushelishvili, A. Abshilava, G. Arabidze, R. Arveladze, R. Babaian (Russia), N. Bagaturia, T. Batsikadze, G. Bibileishvili, V. Burkov (Russia), A. Chkheidze, P. Ciarlet (France), I. Elishakov (USA), Z. Gasitashvili, G. Gavardashvili, Z. Gedenidze, O. Gelashvili, G. Giugiaro (Italy), Al. Grigolishvili, D. Gurgenidze, B. Gusev (Russia), T. Jagodnishvili, Metropolitan A. Japaridze, G. Javakhadze, G. Jerenashvili, M. Jibladze, Z. Kakulia, N. Kavlashvili, G. Khubuluri, L. Klimiashvili, F. Kriado (Spain), M. Kukhaleishvili, V. Kvaratskhelia, G. Kvesitadze, J. Laitman (USA), R. Lazarov (USA), Z. Lomsadze, N. Makhviladze, Archpriest L. Mateshvili, M. Matsaberidze, V. Matveev (Russia), E. Medzmariaшvili, H. Meladze, G. Miqashvili, O. Namicheishvili, O. Natishvili, D. Novikov (Russia), A. Pashaev (Azerbaijan), S. Pedrolo (Italy), P. Ricci (Italy), M. Salukvadze, R. Sturua, T. Sulaberidze, H. Sunkel (Austria), D. Tavkhelidze, A. Topchishvili, G. Tsintsadze, T. Tsintsadze, N. Tzereteli, Z. Tzveraidze, F. Unger (Austria), N. Vakhania (Mexico), S. Vasilev (Russia), M. Zgurovski (Ukraine), R. Zhinevichius (Lithuania), I. Zhordania, V. Zhukovski (Russia), O. Zumburidze

РЕДАКЦИОННАЯ КОЛЛЕГИЯ:

А. Прангишвили (председатель), И. Горгидзе, (зам. председателя), Ш. Начкебия (зам. председателя), Р. Чиковани (зам. председателя), Г. Абдушишвили, А. Абшилава, Г. Арабидзе, Р. Арвеладзе, Р. Бабаян (Россия), Н. Багатуриа, Т. Бацикадзе, Г. Бибилишвили, В. Бурков (Россия), С. Васильев (Россия), Н. Вахания (Мексика), Г. Гавардашвили, З. Гаситашвили, З. Геденидзе, О. Гелашвили, Ал. Григолишвили, Д. Гургенидзе, Б. Гусев (Россия), Г. Джавахадзе, Т. Джагодицхвили, Митрополит А. Джапаридзе, Г. Джеренашвили, М. Джибладзе, Дж. Джуджаро (Италия), И. Елишаков (США), Р. Жиневичус (Литва), И. Жордания, В. Жуковский (Россия), М. Згуровский (Украина), О. Зумбуридзе, Х. Зункел (Австрия), Н. Кавлашвили, З. Какулия, В. Кварацхелия, Г. Квеситадзе, Л. Климиашвили, Ф. Криадо (Испания), М. Кухалеишвили, Р. Лазаров (США), Дж. Лайтман (США), З. Ломсадзе, В. Матвеев (Россия), Протеиерей Л. Матешвили, Н. Махвиладзе, М. Мацаберидзе, Э. Медзмариашвили, Г. Меладзе, Г. Микиашвили, О. Намичеишвили, О. Натишвили, Д. Новиков (Россия), С. Педроло (Италия), З. Ричи (Италия), М. Салуквадзе, Ф. Сиарле (Франция), Р. Стурна, Т. Сулаберидзе, Д. Тавхелидзе, А. Топчишвили, Ф. Унгер (Австрия), А. Фашаев (Азербайджан), Г. Хубулури, З. Цвераидзе, Н. Церетели, Г. Цинцадзе, Т. Цинцадзе, А. Чхеидзе

საგამომცემლო სახლი „ტექნიკური უნივერსიტეტი“, 2014
Publishing House “Technical University”, 2014



Издательский дом “Технический Университет”, 2014
<http://www.acnet.ge/publicut.htm>
scitech@gw.acnet.ge



შინაარსი

შიხითა

ბ. ბენდელიანი, გ. ლევან უაძე, ი. მეცხვარიშვილი. საეციალიზებული დროის ტაიმერ-კონტროლერი.....	9
--	---

პიბერნეტიკა

ნ. ტყემალაძე, გ. ჯიხვაშვილი, გ. მამულაშვილი. სრავლებით სახეობა ამოცნობის სისტემისა და მისი ერთი ამოცანის გადაწყვეტის მეთოდის შესახებ.....	13
--	----

ენერგეტიკა

ლ. გუგულაშვილი, ზ. აზმაიფარაშვილი, ი. მეცხვარიშვილი. მძღავრი კიბრობენერატორების რეტრირის ვორმისა და ელექტროგაბნიფური მდგრმარეობის გამოვლენა და შესრავლა ახალი ტიპის ინტებრირებადი სენსორებით.....	19
---	----

გიოლოგია

ნ. ალექსიძე. ყყალი, როგორც მესსიმრების მატერიალური სუბსტრატი.....	23
---	----

ეკონომიკა

რ. ბერაძა. კოლექტის დაკლობის დასაშრობელობების საბაზო ინფრასტრუქტურის ვორმირების პრიციპები.....	30
---	----

ეკოლოგია

რ. ქაგთარაძე, მ. ლლონტი, თ. ნატრიაშვილი. საავტომობილო ჰიბრიდის ძრავების ეკოლოგიური მაჩვენებლების გაუმჯობესების გზები.....	33
გ. ზეიკიძე, ს. ინგია, ლ. ხურცია, დ. მჭედლიშვილი, მ. ბერიშვილი, ლ. გოგალაძე, თ. გიგაური, რ. გაფრინდაშვილი, ნ. ბუაჩიძე. ქ. თბილისის ტერიტორიაზე მდინარეების (ვერე, დიღმულა, გლდანულა) ყყლის ხარისხის შეფასება	41

გარემოს დაცვა

ზ. ჭარბაძე. ღვარცოფული ხასიათის ძირითადი ყყალსადინარები და მათი მთავარი პარამეტრები.....	46
---	----

საზოგადოებრივი გეოგრაფია

ნ. გაგარდაშვილი, ა. გაგარდაშვილი. საქართველოს რეგიონების მოსახლეობის ცხოვრების ხარისხის საზოგადოებრივ-გეოგრაფიული კვლევის ახალი ალტერნატიული მეთოდების დამუშავება	54
---	----

მასალათმცოდნეობა	
მ. ტეტელოშვილი, ზ. ჯაბუა, ა. გიგინეიშვილი. თულიუმის მონოსულფიდის თხელი ფირების ელექტროფიზიკური თვისებები	61
საშენი მასალები	
რ. სხვიტარიძე, პ. კეშელავა, ი. გიორგაძე, შ. ვერულავა. ნაწილი მიმდინარების გამოყენება გეტონის ტექნოლოგიაში	65
სამთო საქმე	
ე. ჩაგელიშვილი, ა. ფეიქრიშვილი, თ. ფირცხალავა, მ. წიგლაური, ბ. გოდიბაძე, ა. დგებუაძე. უსვეოლია მეტალურგიის მეთოდის გამოყენება სამთო მრეველობაში	71
მანქანათმშენებლობა	
ბ. კორძაძე, რ. დემეტრაშვილი. დიდებების მრავალ-მუხრუჭიანი სააპტომობილო ჟიგაზების ძრავების სამეცნიერო-ტექნიკური კვლევა	77
სატრანსპორტო მანქანათმშენებლობა	
ზ. შარაშენიძე, ა. შარვაშიძე, ლ. თელიაშვილი, ს. შარაშენიძე. ელმავლის ოპტიმალური სამუშაოური გერატებული ბადაცემის დამუშავება	89
ზ. შარაშენიძე, ი. ზაქუტაშვილი, ლ. თელიაშვილი, ს. შარაშენიძე. ვაბონის მოძრაობის კინეტიკური მნიშვნელის ბანსაზღვრა ურიკების არასიმეტრიული განლაგების გათვალისწინებით	94
ისტორია	
თ. დიასამიძე. ქართული კვალი ჩერქეზეთში X-XII საუკუნეებში.....	100

CONTENTS

PHYSICS

B. Bendeliani, G. Dgebuadze, I. Metskhvarishvili. THE SPECIALIZED TIMER-CONTROLER	9
--	---

CYBERNETICS

N. Tkemaladze, V. Jikhvashvili, G. Mamulashvili. ABOUT THE SYSTEM OF PATTERN RECOGNITION WITH LEARNING AND THE METHOD OF DECISION OF ITS ONE OBJECTIVE	13
---	----

ENERGETICS

L. Gugulashvili, Z. Azmayparashvili, I. Metskhvarishvili. INVESTIGATION AND DETECTION OF POWERFUL HYDROGENERATORS ROTOR SHAPE AND ELECTROMAGNETIC STATE BY NEW INTEGRATING SENSORS	19
---	----

BIOLOGY

N. Aleksidze. WATER, AS A MATERIAL SUBSTRATE OF MEMORY	23
---	----

ECONOMY

R. Beraia. THE PRINCIPLES OF MARKET INFRASTRUCTURE FORMATION ON THE DRAINAGE TERRITORIES OF THE COLCHIS LOWLAND	30
--	----

ECOLOGY

R. Kavtaradze, M. Glonti, T. Natriashvili. THE WAYS OF IMPROVEMENT OF THE AUTOMOBILE TRANSPORT ECOLOGICAL INDICES	33
G. Zeikidze, S. Invia, L. khurtsia, D. Mchedlishvili, M. Berishvili, L. Gogaladze, T. Gigauri, R. Gaprindashvili, N. Buachidze. ESTIMATION OF WATER QUALITY OF THE RIVERS (VERE, DIGMULA, GLDANULA) ON THE TERRITORY OF TBILISI.....	41

ENVIRONMENTAL PROTECTION

Z. Charbadze. THE BASIC MUDFLOW TRIBUTARIES AND THEIR MAIN PARAMETERS	46
--	----

SOCIAL GEOGRAPHY

N. Gavardashvili, A. Gavardashvili. THE SOCIAL-GEOGRAPHICAL RESEARCH OF QUALITY OF POPULATION LIFE IN THE REGIONS OF GEORGIA WITH THE DEVELOPMENT OF NEW AND ALTERNATIVE RESEARCH METHODS	54
--	----

MATERIALS SCIENCE

M. Teteloshvili, Z. Jabua, A. Gigineishvili. ELECTROPHYSICAL PROPERTIES OF TULIUM MONOSULFIDE THIN FILMS	61
---	----

BUILDING MATERIALS

R. Skhvitaridze, B. Keshelava, I. Giorgadze, Sh. Verulava. USE OF NANOREINFORCEMENT IN CONCRETE TECHNOLOGY	65
---	----

MINING

E. Chagelishvili, A. Peikrishvili, T. Pirtskhalava, M. Tziklauri, B. Godibadze, A. Dgebuadze. APPLICATION OF POWDER METALLURGY IN MINING INDUSTRY	71
--	----

MECHANICAL ENGINEERING

B. Kordzadze, R. Demetrašvili. SCIENTIFIC-TECHNICAL RESEARCH OF HIGH EFFECTIVE MOTOR BRAKE WITH INTERNAL COMBUSTION ENGINE	77
---	----

TRANSPORTATION ENGINEERING

† G. Sharashenidze, A. Sharvashidze, L. Tediashvili, S. Sharashenidze. DEVELOPMENT OF OPTIMAL BRAKE LEVERAGE TRANSMISSION OF ELECTRIC LOCOMOTIVE	89
---	----

† G. Sharashenidze, I. Zakutashvili, L. Tediashvili, S. Sharashenidze. DEFINITION OF RAIL-CAR KINETIC ENERGY WITH TAKING INTO ACCOUNT OF ASYMMETRIC ARRANGEMENT OF BOGIES	94
--	----

HISTORY

T. Diasamidze. GEORGIAN TRACE IN CHERKESSIA IN THE X-XII CENTURIES	100
---	-----

СОДЕРЖАНИЕ

ФИЗИКА

Б. Бенделиани, Г. Дгебуадзе, И. Мецхваришили. СПЕЦИАЛИЗИРОВАННЫЙ ВРЕМЕННОЙ ТАЙМЕР-КОНТРОЛЛЕР	9
--	---

КИБЕРНЕТИКА

Н. Ткемаладзе, В. Джихашвили, Г. Мамулашвили. О СИСТЕМЕ РАСПОЗНАВАНИЯ ОБРАЗОВ С ОБУЧЕНИЕМ И МЕТОДЕ РЕШЕНИЯ ЕЁ ОДНОЙ ЗАДАЧИ	13
--	----

ЭНЕРГЕТИКА

Л. Гугулашвили, З. Азмаифарашвили, И. Мецхваришили. ИЗУЧЕНИЕ И ВЫЯВЛЕНИЕ ЭЛЕКТРОМАГНИТНОГО СОСТОЯНИЯ РОТОРА ГИДРОГЕНЕРАТОРА И ФОРМЫ РОТОРА МОЩНЫХ ГИДРОГЕНЕРАТОРОВ С НОВЫМИ ИНТЕГРИРУЮЩИМИ СЕНСОРАМИ	19
--	----

БИОЛОГИЯ

Н. Алексидзе. ВОДА, КАК МАТЕРИАЛЬНЫЙ СУБСТРАТ ПАМЯТИ	23
---	----

ЭКОНОМИКА

Р. Берая. ПРИНЦИПЫ ФОРМИРОВАНИЯ РЫНОЧНОЙ ИНФРАСТРУКТУРЫ НА ОСУШАЕМЫХ ПЛОЩАДЯХ КОЛХИДСКОЙ НИЗМЕННОСТИ	30
--	----

ЭКОЛОГИЯ

Р. Кавтарадзе, М. Глонти, Т. Натриашвили. ПУТИ УЛУЧШЕНИЯ ЭКОЛОГИЧЕСКИХ ПОКАЗАТЕЛЕЙ АВТОМОБИЛЬНЫХ ДВИГАТЕЛЕЙ ВНУТРЕННЕГО СГОРАНИЯ	33
Г. Зеикидзе, С. Инвиа, Л. Хурция, Д. Мчедлишвили, М. Беришвили, Л. Гогаладзе, Т. Гигаури, Р. Гаприндашвили, Н. Буачидзе. ОЦЕНКА КАЧЕСТВА ВОДЫ РЕК (ВЕРЕ, ДИГМУЛА, ГЛДАНУЛА) НА ТЕРРИТОРИИ Г. ТБИЛИСИ	41

ОХРАНА ОКРУЖАЮЩЕЙ СРЕДЫ

З. Чарбадзе. ОСНОВНЫЕ ВОДОТОКИ СЕЛЕВОГО ХАРАКТЕРА И ИХ ГЛАВНЫЕ ПАРАМЕТРЫ	46
---	----

ОБЩЕСТВЕННАЯ ГЕОГРАФИЯ

Н. Гавардашвили, А. Гавардашвили. РАЗРАБОТКА НОВЫХ АЛЬТЕРНАТИВНЫХ МЕТОДОВ ДЛЯ ОБЩЕСТВЕННО-ГЕОГРАФИЧЕСКИХ ИССЛЕДОВАНИЙ КАЧЕСТВА ЖИЗНИ НАСЕЛЕНИЯ ГРУЗИНСКИХ РЕГИОНОВ	54
---	----

МАТЕРИАЛОВЕДЕНИЕ

М. Тетелошивили, З. Джабуа, А. Гигинеишвили. ЭЛЕКТРОФИЗИЧЕСКИЕ СВОЙСТВА ТОНКИХ ПЛЁНОК МОНОСУЛЬФИДА ТУЛИЯ.....	61
---	----

СТРОИТЕЛЬНЫЕ МАТЕРИАЛЫ

Р. Схвтаридзе, Б. Кешелава, И. Гиоргадзе, Ш. Верулава. ИСПОЛЬЗОВАНИЕ НАНОАРМИРОВАНИЯ В ТЕХНОЛОГИИ БЕТОНОВ	65
---	----

ГОРНОЕ ДЕЛО

Э. Чагелишвили, А. Пекришвили, Т. Пирцхалава, М. Циклаури, Б. Годибадзе, А. Дгебуадзе. ПРИМЕНЕНИЕ МЕТОДОВ ПОРОШКОВОЙ МЕТАЛЛУРГИИ В ГОРНОЙ ПРОМЫШЛЕННОСТИ.....	71
---	----

МАШИНОСТРОЕНИЕ

Б. Кордзадзе, Р. Деметрашвили. НАУЧНО-ТЕХНИЧЕСКОЕ ИССЛЕДОВАНИЕ ВЫСОКОЭФФЕКТИВНОГО МОТОРНОГО ТОРМОЗА С ДВИГАТЕЛЕМ ВНУТРЕННЕГО СГОРАНИЯ.....	77
---	----

ТРАНСПОРТНОЕ МАШИНОСТРОЕНИЕ

† Г. Шарашенидзе, А. Шарвашидзе, Л. Тедиашвили, С. Шарашенидзе. РАЗРАБОТКА ОПТИМАЛЬНОЙ ТОРМОЗНОЙ РЫЧАЖНОЙ ПЕРЕДАЧИ ЭЛЕКТРОВОЗА	89
† Г. Шарашенидзе, И. Закуташвили, Л. Тедиашвили, С. Шарашенидзе. ОПРЕДЕЛЕНИЕ КИНЕТИЧЕСКОЙ ЭНЕРГИИ ДВИЖЕНИЯ ВАГОНА С УЧЕТОМ АСИММЕТРИЧЕСКОГО РАСПОЛОЖЕНИЯ ТЕЛЕЖЕК	94

ИСТОРИЯ

Т. Диасамидзе. Грузинские следы Черкезии в X–XII веках	100
--	-----

საეციალიზმბული დროის ტაიმერ-კონტროლერი

ბ. ბენდელიანი, გ. დგებუაძე, ი. მეცხვარიშვილი

(ი. ვეგუას სოხუმის ფიზიკა-ტექნიკის ინსტიტუტი)

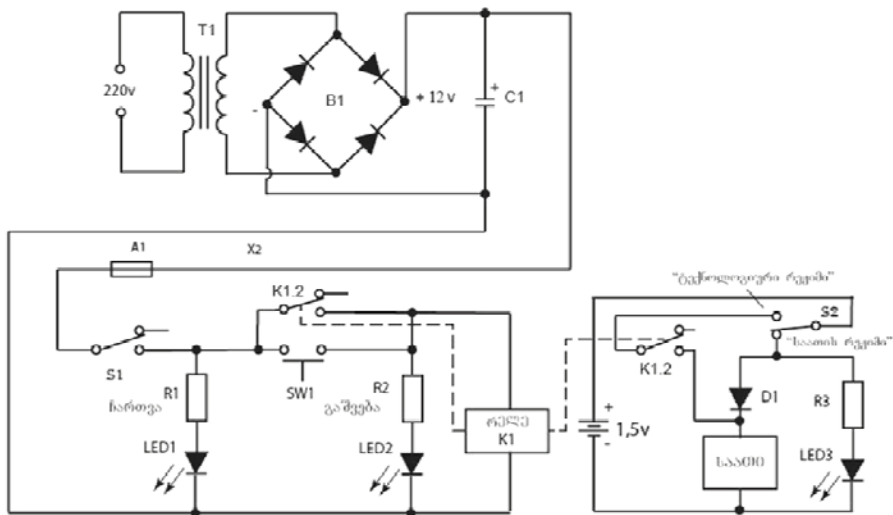
მაღალტემპერატურული ზეგამტარების ტექნოლოგიაში [1-3] მნიშვნელოვანი ადგილი უკავია სინთეზის პროცესს. ჩვენს ინსტიტუტში მიმდინარე ახალი ზეგამტარი მასალების მიღებისა და კვლევის პროცესში საჭიროა ნაერთების სინთეზის ხანგრძლივი დროით განხორციელება სხვადასხვა ტემპერატურებზე. ამ მიზნით შექნილ იქნა ამერიკული MTI ფირმის მაღალტემპერატურული ღუმელი KSL-1100X-S, რომელიც აღჭურვილია ტემპერატურის პროგრამირებადი კონტროლერით და მართვის სისტემით. ნიმუშების სინთეზისათვის კონტროლერის დაპროგრამება ხდება სათანადო ალგორითმით დროის ზუსტი ხანგრძლივობის გათვალისწინებით. მიუხედავად იმისა, რომ ღუმელი გამოირჩევა მთელი რიგი უპირატესობებით (საიმედობა, კომპაქტურობა, გაზომვების მაღალი სიზუსტე, დაპროგრამების შესაძლებლობა), აქვს ნაკლიც – მისი მმართველი პროგრამა დაუცველია დენის ავარიული გამორთვისაგან.

თანამედროვე მაღალტემპერატურული მოწყობილობების პროგრამული მართვის საშუალებით შესაძლებელია ზუსტად განსაზღვრული დროის განმავლობაში აგტონომიურად დაგიცვათ ტექნოლოგიური პროცესის საჭირო პარამეტრები და გავათავისუფლოთ მომსახურე პერსონალი არასამუშაო პერიოდში (დამის საათები, შაბათ-კვირა) პროცესზე ზედამხედველებისაგან. გასათვალისწინებელია, რომ დიდი სიმძლავრის მოხმარებისას ასეთი აპარატურის უწყვეტ კვების წყაროსთან მიერთება საქმიად პრობლემურია, რის გამოც ელექტროენერგიის თუნდაც ხანმოკლე გამორთვისას მმართველი პროგრამა წაიშლება. შედეგად შეუძლებელი ხდება იმის განსაზღვრა, თუ ჩადებული ალგორითმის რა ნაწილი იქნა შესრულებული და რამდენ ხანს მიმდინარეობდა რეალურად პროცესი. ამ გაურკვევლობამ კი შესაძლებელია ფაქტობრივად ჩაშალოს დიდი ხნის განმავლობაში მიმდინარე ექსპერიმენტი.

დღეისათვის არსებული ტაიმერები ძირითადად გამოიყენება დროის სასურველ მონაკვეთებში გარკვეული მოწყობილობების ჩართვა-გამორთვისათვის და არა ავარიული სიტუაციების დროის დაფიქსირებისათვის.

ი. ვეგუას სოხუმის ფიზიკა-ტექნიკის ინსტიტუტში დამუშავებული და შექმნილი სპეციალიზებული დროის ტაიმერ-კონტროლერი წარმოადგენს ავტონომიურ ბლოკს, რომელიც დენის ავარიული გამორთვისას ზუსტად განსაზღვრავს ტექნოლოგიური პროცესის შეწყვეტის არა მარტო დროს, არამედ თარიღსაც. ეს ინფორმაცია საშუალებას იძლევა კორექტირება გაუკეთდეს სამუშაო ალგორითმს, რათა გაგრძელდეს ექსპერიმენტი და მიღებულ იქნეს საბოლოო შედეგი.

ტაიმერის პრინციპული ელექტრული სქემა მოცემულია 1-ლ ნახ-ზე.



ნახ. 1. დროის ტაიმერ-კონტროლერის პრინციპული ელექტრული სქემა

სქემა აგებულია ჩვეულებრივ ელექტრომიექანიკურ, კალენდრიან საათზე. ბლოკის უძანა პანელზე მოთავსებულია ტუმბლერი S2. როდესაც ის იმყოფება „საათის რეჟიმში“, კვება ბატარეიიდან პირდაპირ საათს მიეწოდება და იგი მუშაობს ავტონომიურ რეჟიმში ქსელის ძაბვისაგან დამოუკიდებლად. ამის მიმანიშნებელია ტაიმერის (ნახ. 2, а) წინა პანელზე ანთებული წითელი შუქდიოდი LED3. თუ გვინდა ბლოკის ექსპერიმენტში ჩართვა, აღნიშნული ტუმბლერი გადაგვავს „ტექნოლოგიურ რეჟიმში“. ამის შემდეგ ვრთავთ ბლოკის წინა პანელზე მდებარე S1 ტუმბლერს („ჩართვა“). ჩაირთვება ყვითელი შუქდიოდი LED1. ტექნოლოგიური პროცესის დაწყებისთანავე ვაწვაპუნქტი SW1 დილაპზე – „გაშვება“. ჩაირთვება მწვანე შუქდიოდი LED2. ამ დროს გააქტიურდება ელექტრომაგნიტური რელე K1. პირველი ღია კონტაქტი (K1.1) შეიკვრება და უზრუნველყოფს მის კვებას „გაშვების“ დილაპზე ზემოქმედების დასრულების შემდეგ. ამასთან ერთად შეიკვრება რელეს მეორე ღია კონტაქტი (K1.2), საათს მიეწოდება საჭირო 1,5 ვ მუდმივი ძაბვა ბატარეიიდან და ჩართვას მას. თუკი მოხდება ქსელიდან დენის ავარიული გამორთვა, ტექნოლოგიური პროცესის დამპროგრამებელი გაითიშება და მისი პროგრამა წაიშლება. ამის გამო დენის კვლავ ჩართვისას პროცესი ვეღარ გაგრძელდება, საათიც გაჩერდება და აღარ ჩაირთვება იმიტომ, რომ მის ჩასართვად აუცილებელია გაშვების SW1 დილაპზე ხელახალი ზემოქმედება. სამუშაო ადგილზე მისულ ოპერატორს მოწყობილობა გამორთული დახვდება. ავარიულ გამორთვას კი მიანიშნებს პანელზე მანათობელი ყვითელი შუქდიოდი. გაჩრებული საათი ზუსტად აჩვენებს ტექნოლოგიური პროცესის შეწყვეტის თარიღსა და დროს.



ნახ. 2. დროის ტაიმერ-კონტროლერი.
ა – ტაიმერის გარე ხედი, ბ – სრული ტექნოლოგიური კომპლექტი

ამ ინფორმაციის ცოდნა საშუალებას იძლევა განისაზღვროს საჭირო რეჟიმში მუშაობის ხანგრძლივობა ტექნოლოგიური პროცესის შეწყვეტამდე, რის შედეგადაც შესაძლებელია პროცესის ალგორითმის სათანადო კორექტირება და ექსპერიმენტის დასრულება.

აღნიშნული მოწყობილობა ტესტირებულია კომპლექსში ამერიკულ MTI ფირმის KSL-1100X-S მაღალტემპერატურულ დუმელთან (ნახ. 2, ბ). ტაიმერ-კონტროლერის საშუალებით წარმატებით შეიძლება ზემოხსენებული პრობლემის გადაჭრა. ეს კი იმის გარანტიას იძლევა, რომ მომავალში უფრო საიმედოდ და სრულყოფილად ჩატარდეს ხანგრძლივი ექსპერიმენტების ციკლი. მოწყობილობა არ შეიცავს ძვირად დირექტულ დეტალებს, არის საიმედო და ეფექტური მუშაობისას.

ლიტერატურა – REFERENCES – ЛИТЕРАТУРА:

1. I. R. Metskhvarishvili, G. N. Dgebuadze, B. G. Bendeliani, T. E. Lobzhanidze, M. R. Metskhvarishvili, G. N. Mumladze. Low ac field response of Bi-based superconductors with addition of Antimony oxide. Journal of Physics: Conference Series 507 (2014) 012032.
2. I. R. Metskhvarishvili, G. N. Dgebuadze, B. G. Bendeliani, M. R. Metskhvarishvili, T. E. Lobzhanidze, G. N. Mumladze. Low Field ac Susceptibility and High Harmonics Studies in PbMo₆S₈ Polycrystalline Superconductor, J. Low Temp. Phys. (2013) 170:68–74 DOI 10.1007/s10909-012-0686-4.
3. I. R. Metskhvarishvili, G. N. Dgebuadze, T. E. Lobzhanidze, B. G. Bendeliani, M. R. Metskhvarishvili and V. Gabunia. Low field ac susceptibility and high harmonics studies in Hg-based superconductors with edition of antimony oxide, 4th INTERNATIONAL CONFERENCE ON SUPERCONDUCTIVITY AND MAGNETISM (ICSM) 2014, Antalya, Turkey, Apr. 27-May 2, 2014, Abstract ID:1935.

სამუშაო დოკუმენტი

ბ. ბენდელიანი, გ. დგებუაძე, ი. მეცხვარიშვილი

(ი. ვეკუას სოხუმის ფიზიკა-ტექნიკის ინსტიტუტი)

რეზიუმე: შექმნილი ტაიმერ-კონტროლერი საშუალებას იძლევა ელექტროენერგიის არაგაგმური გამორთვისას განისაზღვროს მიმდინარე ტექნოლოგიური პროცესის შეწყვეტის დრო, რათა შემდგომ ალგორითმის სათანადო კორექტირებით გაგრძელდეს ექსპერიმენტი.

PHYSICS

THE SPECIALIZED TIMER-CONTROLER

B. Bendeliani, G. Dgebuadze, I. Metskhvarishvili

(I. Vekua Sukhumi Institute of Physics and Technology)

Resume: The timer-controler created by us gives the chance to define the time of the unplanned termination of technological process of experiment, for its further continuation with properly modified algorithm.

ФИЗИКА

СПЕЦИАЛИЗИРОВАННЫЙ ВРЕМЕННОЙ ТАЙМЕР-КОНТРОЛЛЕР

Б. Бенделиани, Г. Дгебуадзе, И. Мецхваришвили

(Сухумский физико-технический институт им. И. Векуа)

Резюме: Представленный таймер-контроллер дает возможность определить время прекращения технологического процесса при внеплановом отключении электроэнергии, что дает возможность откорректировать алгоритм и продолжить эксперимент.

სწავლებით სახეობა ამოცნობის სისტემისა და მისი მრთი ამოცანის გადაწყვეტის მთოღლის შესახებ

6. ტყემალაძე, ვ. ჯიხვაშვილი, გ. მამულაშვილი

(საქართველოს ტექნიკური უნივერსიტეტის ვ. ჭავჭანიძის სახელობის კიბერნეტიკის ინსტიტუტი)

სწავლებით სახეობა ამოცნობის სისტემა (სსას), რომელშიც შედის: საწყისი ინფორმაციის წინასწარი დამუშავების, მასწავლი და ამოცნობის მოდელები [1, 2], რეალიზებულია პერსონალურ კომპიუტერზე.

სისტემის ფუნქციონირებისთვის საჭირო საწყისი მასწავლი ინფორმაცია ობიექტების მახასიათებელი რაოდენობრივი პარამეტრების მნიშვნელობების მიმდევრობების, ანუ ობიექტების რეალიზაციების, გარდა, შეიძლება წარმოდგენილი იქნა როგორც გრაფიკების შესაბამისი ცხრილების სახით, ისე მხოლოდ თვისებრივი პარამეტრების მნიშვნელობების შემცველი რეალიზაციების სახით. რეალიზაციები შეიძლება ერთდროულად შეიცავდეს ობიექტების მახასიათებელ როგორც რაოდენობრივი, ისე თვისებრივი პარამეტრების მნიშვნელობებს ან კიდევ მხოლოდ ორი ან სამი რაოდენობრივი პარამეტრის მნიშვნელობებს. ობიექტების რეალიზაციებს უწოდებენ ასევე ობიექტების აღწერებს [1, 3], ვექტორებს [4], გამოსახულებებს [5].

საწყისი ინფორმაციის წინასწარი დამუშავების მოდელი (სიწდმ) მცირე რაოდენობის პარამეტრების შემთხვევაში გააფართოებს საწყისი რაოდენობრივი პარამეტრების სიმრავლეს, ხოლო ზემოთ მითითებულ დანარჩენ შემთხვევებში საწყისი ინფორმაციას გარდაქმნის ისეთ მასწავლ რეალიზაციებად, რომლებიც წარმოადგენს რაოდენობრივი პარამეტრების მნიშვნელობების (ნიშან-თვისებების) მიმდევრობებს. მასწავლი რეალიზაცია წარმოადგენს ობიექტების (სახის) მახასიათებელი პარამეტრების მნიშვნელობების ისეთ მიმდევრობას, რომლისთვისაც წინასწარ არის ცნობილი კლასი, რომელსაც მიეკუთვნება ამ რეალიზაციით წარმოადგენილი ობიექტი.

სიწდმ მასწავლი რეალიზაციების სიმრავლიდან გამოყოფს საკონტროლო რეალიზაციებს, ხოლო დარჩენილი რეალიზაციებიდან შექმნის მასწავლი ამოსაცნობი, ანუ სწავლების პროცესში ამოსაცნობი, და მასწავლი რეალიზაციების ვარიანტებს.

მასწავლი მოდელი სიწდმ-დან მიღებულ მასწავლ რეალიზაციებს გარდაქმნის ინფორმატიული პარამეტრების მნიშვნელობების (ნიშან-თვისებების) შემცველ რეალიზაციებად, ხოლო შემდეგ განსაზღვრავს კლასების მახასიათებელ ნიშან-თვისებებს (რომელთა შორისაც არის მათი კომბინაციებიც) და მასწავლი რეალიზაციების ვარიანტების საფუძველზე შექმნის ცოდნისა და მონაცემთა ბაზებს.

ამოცნობის მოდელი თავდაპირველად ცოდნის ბაზების საფუძველზე გარდაქმნის ამოსაცნობი (მასწავლი ამოსაცნობი, საკონტროლო და ახალი ამოსაცნობი) ობიექტების რეალიზაციებს, ხოლო შემდეგ მონაცემთა ბაზების საფუძველზე განსაზღვრული კრიტერიუმების გამოყენებით ამოიცნობს მათ ვარიანტებთან მიმართებაში – ობიექტებს მიაკუთვნებს ამა თუ იმ კლასს შესაბამისი მიკუთვნების ხარისხით.

ამოცნობის მოდელი ასეთი გზით მიიღებს ობიექტის კლასთან მიკუთვნების პირველად გადაწყვეტილებებს ვარიანტებთან მიმართებაში, ხოლო მათ საფუძველზე – კლასთან მიკუთვნების საბოლოო გადაწყვეტილებას.

მნიშვნელოვანია ის ფაქტი, რომ სისტემა ამოცნობის მოდელის ბოლო ამოცანების მუშაობის – საკონტროლო რეალიზაციების ამოცნობის შედეგების, საფუძველზე მონაცემთა ბაზების კორექტირების დამთავრების, სისტემის მუშაობის ეფექტურობისა და ნდობის დეტალორის განსაზღვრის შემდეგ

განმეორებით ამუშავებს ამოცნობის მოდელს. ეს პროცესი გაგრძელდება სანამ არ გახდება სტაბილური სისტემის მუშაობის ეფექტურობა და ნდობის დეტალური. ამგვარად ხდება საკონტროლო რეალიზაციების ამოცნობის შედეგების დაზუსტება. რაც შეეხება ახალი ობიექტების რეალიზაციების ამოცნობის შემთხვევას, კორექტირება მოხდება მხოლოდ იმ ობიექტების ამოცნობის შედეგების საფუძვლზე, რომელთა კლასთან მიკუთვნების ხარისხები ერთის ტოლი იქნება. ამოცნობის მოდელის განმეორებითი მუშაობა დამთავრდება მაშინ, როდესაც ამოცნობის შედეგები გახდება სტაბილური, რადგან სისტემის მუშაობის ეფექტურობა და ნდობის დეტალური განისაზღვრება მხოლოდ საკონტროლო რეალიზაციების ამოცნობის შემდეგ. სსას-ში ამ პროცედურის ჩართვის შემდეგ გაიზარდა სწორად ამოცნობილი ობიექტების რაოდენობა და შესაბამის კლასებთან მათი მიკუთვნების ხარისხები. სისტემა რეალიზებულია პერსონალურ კომპიუტერზე და შემოწმებულია სხვადასხვა კლასის ობიექტების ამოცაცნობად.

სსას-ში შემაგალი სამივე მოდელი შეიცავს 21 ამოცანის გადაწყვეტის მეთოდებსა და ალგორითმებს. მათგან ერთ-ერთი მნიშვნელოვანი ამოცანაა მასწავლი მოდელის მიერ ხელოვნური (ფორმალური) პარამეტრების განსაზღვრა. ამ ამოცანის გადაწყვეტის მეთოდი ითვალისწინებს გაწონასწორებული არასრული ბლოკ-სქემის (*BIB*-სქემის), ანუ (v, b, k, r, λ) ტიპის კონფიგურაციის ორჯერად გამოყენებას.

ზოგადად ეს კონფიგურაციები განისაზღვრება შემდეგნაირად:

დაგუშვათ, $A = \{a_i\}, i = 1, \dots, v$ არის v რაოდენობის ელემენტისგან შედგენილი სიმრავლე. თუ შესაძლებელია, რომ ამ ელემენტებისგან შედგეს ისეთი b რაოდენობის ბლოკების (ჯგუფების) სიმრავლე, რომლისთვისაც სრულდება შემდეგი პირობები:

1) თითოეული ბლოკი შეიცავს k რაოდენობის განსხვავებულ ელემენტს, 2) თითოეული ელემენტი გახვდება r რაოდენობის ბლოკში, 3) ელემენტების თითოეული მოუწესრიგებელი წყვილი გახვდება λ რაოდენობის ბლოკში. ასეთი ბლოკების სიმრავლეს ეწოდება გაწონასწორებული არასრული ბლოკ-სქემა, ასევე (v, b, k, r, λ) ტიპის კონფიგურაცია [6–8].

ვინაიდან მასწავლი მოდელის მუშაობისთვის აუცილებელია რაოდენობრივი პარამეტრების მნიშვნელობების მომცველი რეალიზაციების მიწოდება, განვიხილავთ შემთხვევას, როდესაც ობიექტების მასწავლი, შესაბამისად ამოსაცნობი რეალიზაციები შეიცავს მხოლოდ რაოდენობრივი პარამეტრების მნიშვნელობებს (ნიშან-თვისებებს). ასეთი სახის რეალიზაციები მიიღება თავიდანვე, ან სიწმის მუშაობის შედეგად. მათი გარდაქმნა ინფორმატიულობის გაზრდის მიზნით ცოდნისა და მონაცემთა ბაზების შესაქმნელად შეიძლება მთელი რიგი მათემატიკური ოპერაციების გამოყენებით.

რაოდენობრივი პარამეტრების მნიშვნელობებში ჩაწერილი რეალიზაციების ინფორმატიულობის გაზრდისთვის დიდი მნიშვნელობა აქვს რეალიზაციებში ხელოვნური (ფორმალური) პარამეტრების – ფუნქციების მნიშვნელობების დამატებას. ეს პარამეტრები გვიჩვნებს შინაგან, დაფარულ კავშირებს საწყის პარამეტრებს შორის. მათი მნიშვნელობები აახლოებს ერთმანეთთან ერთსა და იმავე კლასის ობიექტების რეალიზაციებს და აშორებს სხვადასხვა კლასის ობიექტების რეალიზაციებს. ეს იმას ნიშნავს, რომ რეალიზაციებში ხელოვნური პარამეტრების მნიშვნელობების დამატებით იზრდება ამ რეალიზაციების ინფორმატიულობა ახალი ობიექტების ამოსაცნობად. დიდი რაოდენობის საწყისი პარამეტრების შემთხვევაში ხელოვნური პარამეტრები, თუ საჭირო იქნება, შეამცირებს ამ რაოდენობას. ამ შემთხვევაში იგულისხმება, რომ რამდენიმე ნაკლებად ინფორმატიული პარამეტრი შეიცვლება ერთი უფრო ინფორმატიული ფორმალური პარამეტრით. ზემოაღნიშნული თვისებების გამოა, რომ ხელოვნური პარამეტრების განსაზღვრა წარმოადგენს სსას-ის ერთ-ერთ მნიშვნელოვან ამოცანას.

შემუშავებული გვაქს ხელოვნური პარამეტრების განსაზღვრის ისეთი მეთოდი [2, 5], რომელშიც გათვალისწინებულია გაწონასწორებული არასრული ბლოკ-სქემების – *BIB*-სქემების, ანუ (v, b, k, r, λ) ტიპის კონფიგურაციების, ორჯერადი გამოყენება.

აღნიშნულ მეთოდში ხელოვნური (ფორმალური) პარამეტრები მიუთითებს $n < v$ რაოდენობის პარამეტრებს შორის კაგშირებზე BIB -სქემების ერთჯერადი ან ორჯერადი გამოყენების შემთხვევაში. v BIB -სქემის პარამეტრია, ანუ მასში განსხვავებული ელემენტების რაოდენობაა.

წინამდებარე ნაშრომში შემოთავაზებულია მეთოდი, რომელიც ითვალისწინებს (v, b, k, r, λ) ტიპის კონფიგურაციის სამჯერად გამოყენებას. ამ მეთოდით განისაზღვრება v რაოდენობის პარამეტრებს შემთხვების კავშირები, ხოლო გეომეტრიული კონფიგურაციების კოორდინატები კი განისაზღვრება [2, 5]-ში მოცემული მეთოდისაგან განსხვავებულად. BIB -სქემის გამოყენებისთვის აუცილებელია, რომ საწყისი პარამეტრების რაოდენობა ემთხვეოდეს ამ BIB -სქემის v პარამეტრის მნიშვნელობას. აღნიშნული ფაქტის უზრუნველყოფა შესაძლებელია ინფორმატიული პარამეტრების გამოყოფით. არსებობს პარამეტრების შერჩევის მეთოდები და ალგორითმები, მათ შორის ჩვენ მიერ შემუშავებულიც [2, 5]. მათი გამოყენებით შესაძლებელია მასწავლი რეალიზაციების საფუძველზე შეირჩეს v რაოდენობის ინფორმატიული პარამეტრი. $p_j, j = \overline{1, v}$ საწყისი პარამეტრებისგან უნდა შედგეს ისეთი BIB -სქემა, ანუ (v, b, k, r, λ) ტიპის კონფიგურაცია, რომლის b პარამეტრის მნიშვნელობა დაემთხვევა რომელიმე BIB -სქემის v პარამეტრის მნიშვნელობას, მაგალითად, თუ ელემენტების, ანუ საწყისი პარამეტრების, რაოდენობა $v = 7$, შევიძლია შევადგინოთ $(7, 7, 3, 3, 1)$ კონფიგურაცია, ანუ $(7, 3, 1)$ კონფიგურაცია (როგორც აღინიშნება სიმეტრიული კონფიგურაცია) [6], რომელსაც აქვს შემდეგი სახე:

$$(p_1, p_2, p_4); (p_2, p_3, p_5); (p_3, p_4, p_6); (p_4, p_5, p_7); (p_5, p_6, p_1); (p_6, p_7, p_2); (p_7, p_1, p_3). \quad (1)$$

ამგვარად მიიღება $b = v$ რაოდენობის ბლოკი $B_\mu, \mu = \overline{1, b}$, გულოდოთ მათ პირველადი ბლოკები. თუ კვლავ შევადგენთ $(7, 7, 3, 3, 1)$ კონფიგურაციას, რომლის ელემენტებსაც წარმოადგენს პირველადი ბლოკები, მას ექნება შემდეგი სახე:

$$\begin{aligned} & [(p_1, p_2, p_4), (p_2, p_3, p_5), (p_4, p_5, p_7)]; [(p_2, p_3, p_5), (p_3, p_4, p_6), (p_5, p_6, p_1)]; \\ & [(p_3, p_4, p_6), (p_4, p_5, p_7), (p_6, p_7, p_2)]; [(p_4, p_5, p_7), (p_5, p_6, p_1), (p_7, p_1, p_3)]; \\ & [(p_5, p_6, p_1), (p_6, p_7, p_2), (p_1, p_2, p_4)]; [(p_6, p_7, p_2), (p_7, p_1, p_3), (p_2, p_3, p_5)]; \\ & [(p_7, p_1, p_3), (p_1, p_2, p_4), (p_3, p_4, p_6)]. \end{aligned} \quad (2)$$

თითოეული τ -რი პირველადი ბლოკის k რაოდენობის ელემენტის, ანუ საწყისი პარამეტრების, საფუძველზე განისაზღვრება ფუნქცია – ახალი მეორეული პარამეტრი

$$A_\tau = k^{-1} \sum_{\xi} p_{\tau\xi}, \quad \tau = \overline{1, v}, \quad (3)$$

სადაც k კონფიგურაციის პარამეტრია, ξ დებულობს τ -რ პირველად ბლოკებში მოთავსებული ელემენტების (პარამეტრების) ნომრების. ასეთი გზით განისაზღვრება საწყისი პარამეტრებით განსაზღვრული ახალი, მეორეული პარამეტრი კონფიგურაციაში შემავალი ყველა ბლოკისთვის. A_τ , $\tau = \overline{1, v}$ მეორეული პარამეტრისგან უნდა შედგეს ისეთი მეორეული BIB -სქემა, რომლის b პარამეტრის მნიშვნელობა კვლავ დაემთხვევა რომელიმე BIB -სქემის v პარამეტრის მნიშვნელობას. ამგვარად მიიღება v რაოდენობის მეორეული ბლოკი B_j . როცა გადაინომრება ეს ბლოკები, ანუ მიიღება B_1, B_2, \dots, B_v , მათგან კვლავ შედგება ახალი BIB -სქემა, რომლის გამსხვილებული ბლოკის ელემენტები წარმოადგენს მეორეული ბლოკების კომბინაციებს. ზემოთ მითითებული მაგალითის შემთხვევაში მას ექნება (2) სახე, ოდონდ მასში p_j პირველადი პარამეტრის მაგივრად გვექნება A_τ მეორეული პარამეტრი.

ამრიგად, BIB -სქემების სამჯერადი გამოყენების შედეგად მიღებული BIB -სქემის თითოეული გამსხვილებული ბლოკი შეიცავს k რაოდენობის მეორეულ ბლოკებს, რომელთაგან თითოეული შეიცავს k რაოდენობის მეორეულ პარამეტრს. ორივე k შეესაბამება BIB -სქემის k პარამეტრს (თითოეულ ბლოკში შემავალი ელემენტების რაოდენობას). ასე განსაზღვრული თითოეული გამსხვილებული ბლოკი ჩაწერილი იქნება მასში შემავალი მეორეული პარამეტრების მნიშვნელობებში და გარდაისახება გეომეტრიულ კონფიგურაციაში, (2)-ის, ანუ $k = 3$ -ის შემთხვევაში – სამგანზომილებიანი სივრცის სამკუთხედში. ეს ნიშნავს, რომ თითოეულ რეალიზაციას შეესაბამება b რაოდენობის გეომეტრიული კონფიგურაცია, რომლის წვეროების კოორდინატებსაც წარმოადგენს გამსხვილებულ ბლოკში შემავალი მეორეული პარამეტრების მნიშვნელობები, რომლებიც განსაზღვრული იქნება (3) ფორმულის შესაბამისად. მაგალითად, პირველ გამსხვილებულ ბლოკში შემავალი თითოეული ბლოკის (A_1^1, A_2^1, A_4^1) , (A_2^1, A_3^1, A_5^1) , (A_4^1, A_5^1, A_7^1) ელემენტები იქნება პირველი გეომეტრიული კონფიგურაციის (სამკუთხედის) წვეროების კოორდინატები, რომლებიც წარმოადგენს შესაბამისი მეორეული პარამეტრების მნიშვნელობებს. ამ კონფიგურაციებიდან განისაზღვრება მათი მახასიათებლები, რომლებსაც განვიხილავთ ფორმალურ (ხელოვნურ) პარამეტრებად. ხელოვნურ პარამეტრებად შეგვიძლია განვიხილოთ, მაგალითად, ტრიგონომეტრიული ფუნქციები და სხვა ფუნქციები, რომლებიც განსაზღვრავს გეომეტრიული კონფიგურაციის გვერდებს შორის მოთავსებულ კუთხეებს, დააკავშირებს ერთმანეთთან კონფიგურაციის გვერდებს და ა.შ.

$$p_1^* = (A^2 + B^2 - C^2)/2AB, \quad p_2^* = (A + B)/C, \quad (4)$$

სადაც A , B , C წარმოადგენს სამკუთხედის გვერდების სიგრძეებს, რომლებიც მეორეული პარამეტრების საშუალებით გვიჩვენებს საწყის პარამეტრებს შორის კავშირებს. ისინი განიხილება სამკუთხედების ფარვა კუთხეებთან და გვერდებთან მიმართებაში.

არსებული BIB -სქემების გათვალისწინებით შეგვიძლია გამოვიყენოთ სიმეტრიული BIB -სქემები (მათთვის სრულდება პირობა $n = b$, ანუ ელემენტების რაოდენობა უდრის ბლოკების რაოდენობას), ამიტომ შესაძლებელია, რომ ერთი და იგივე BIB -სქემა იქნეს გამოყენებული სამჯერვე, კერძოდ, (7, 3, 1) და (13, 4, 1) კონფიგურაციები. როდესაც გამოიყენება არასიმეტრიული BIB -სქემა, მაშინ შესაძლებელია, რომ b პარამეტრის მნიშვნელობა არ ემთხვეოდეს რომელიმე BIB -სქემის n პარამეტრის მნიშვნელობას მისი ერთჯერადი ან ორჯერადი გამოყენების შემდეგ. ასეთ შემთხვევაში ახალი BIB -სქემის გამოსაყენებლად შეირჩევა ისეთი BIB -სქემა, რომელიც დააკმაყოფილებს პირობას $n < b$ და წინა აგებული BIB -სქემიდან გამოირიცება $b - n$ რაოდენობის ბლოკი შემდეგი ალგორითმით:

თითოეული B_j ბლოკის ელემენტებს (პარამეტრებს) შორის განისაზღვრება კორელაციის კოეფიციენტი $\rho_{\alpha\beta}^j$ (α და β შეესაბამება j -ური ბლოკის ელემენტების ნომრებს). ამგვარად მიიღება თითოეული ბლოკის შესაბამისი მატრიცა, რომლის ელემენტებსაც წარმოადგენს კორელაციის კოეფიციენტები. ამ მატრიცის ელემენტები მიუთითებს, თუ რამდენად ძლიერია კავშირი ბლოკის ელემენტებს შორის და, შესაბამისად, გვიჩვენებს უპირატესობას ბლოკებს შორის. ცხადია, რაც უფრო ძლიერია კავშირი ბლოკის ელემენტებს (პარამეტრებს) შორის, მით მეტი უპირატესობა აქვს ბლოკების სიმრავლიდან $B = \{B_j\}$, $j = \overline{1, n}$ საუკეთესო ბლოკების გამოსაყოფად თითოეული $B_j \in B$ ბლოკისთვის განისაზღვრება შემდეგი ორი მახასიათებელი [2]:

1. მაქსიმალური კორელაციის კოეფიციენტი განსაზღვრული B_j ბლოკის შესაბამისი მატრიციდან

$$A_{lj} = \max_{\beta} \max_{\alpha} \rho_{\alpha\beta}, \quad \alpha \neq \beta; \quad (5)$$

2. კორელაციის კოეფიციენტების ჯამი – მატრიცის ელემენტების ჯამი განსაზღვრული შემდეგნაირად

$$A_{2j} = \frac{1}{2} \left(\sum_{\beta} \sum_{\alpha} \rho_{\alpha\beta}^j - \sum_{\alpha} \rho_{\alpha\alpha}^j \right). \quad (6)$$

(5) და (6) მახასიათებლების განსაზღვრისა და შერჩევის ექტორული ოპტიმიზაციის მეთოდის გამოყენებით საუკეთესოდ ჩაითვლება ის ბლოკები, რომლებიც მიეკუთვნება პარეტოს სიმრავლეს. ბლოკების რაოდენობა თუ ნაკლებია n -ზე, მაშინ შერჩევული ბლოკები გამოირიცხება და კვლავ გამოიყენება ექტორული ოპტიმიზაციის მეთოდი. ეს პროცედურა გაგრძელდება მანამ, სანამ არ მიიღება $b = n$ რაოდენობის ბლოკი. ამ ბლოკების გამოყენების შემდეგ მათგან შედგება ახალი *BIB*-სქემა.

ამრიგად, *BIB*-სქემების სამჯერადი გამოყენების შემდეგ მიიღება *BIB*-სქემა, რომლის ბლოკები უნდა გარდაისახოს გეომეტრიულ კონფიგურაციებში, რომელთა საფუძველზე განისაზღვრება ფორმალური (ხელოფრული) პარამეტრები. არ არის გამორიცხული, რომ სხვადასხვა ფორმალური პარამეტრის ინფორმატიულობა განსხვავდებოდეს ერთმანეთისაგან. ამ ფაქტის გათვალისწინებით აუკილებელია, რომ გეომეტრიული კონფიგურაციის საფუძველზე განსაზღვრული ფორმალური პარამეტრებიდან შეიჩჩეს საუკეთესო (ინფორმატიულობის თვალსაზრისით) პარამეტრები. ამ შერჩევისთვის ვიყენებთ ჩვენ მიერ შემუშავებულ ინფორმატიული პარამეტრების გამოყოფის მეთოდს [2, 5].

აქვე შევნიშნავთ, რომ თუ კორელაციის კოეფიციენტები მიუთითებს ელემენტებს შორის კორელაციის არსებობაზე, *BIB*-სქემისა და გეომეტრიული კონფიგურაციის საშუალებით განსაზღვრული ხელოფრული პარამეტრები (ფუნქციები) წარმოადგენს ფორმულებს, რომლებიც გვიჩვენებს ამ კავშირების სახესაც.

ლიტერატურა—REFERENCES—ЛИТЕРАТУРА:

1. N. Tkemaladze. On the problems of the automated system of pattern recognition with learning. Journal of Biological Physics and Chemistry (JBPC). Vol.2 #34, AMSI, CB, 12/2002.
2. ნედი ტემალაძე. სწავლებით სახეთა ამოცნობის სისტემა და მისი თეორიული საფუძვლები. საქართველოს ტექნიკური უნივერსიტეტი, თბ., 2013 (მონოგრაფია).
3. Журавлев Ю.И. Проблемы распознавания образов. Вып. 33. М., 1978.
4. Ту Дж., Гонсалес Р. Принципы распознавания образов. М.: Мир, 1978.
5. 6. ტემალაძე. სწავლებით სახეთა გამოცნობის ავტომატიზებული სისტემა. “ლეგა.” თბ., 2000. (მონოგრაფია).
6. Холл М. Комбинаторика. М.: Мир, 1970.
7. Широкова С.А. Блок-схемы. УМН, т. XIII, вып. 5 (143), 1968.
8. Ткемаладзе Н.Т. О способах составления некоторых ВИВ-схем // Труды ИК АН ГССР, т. I, 1977.

სწავლებით სახეობა ამოცნობის სისტემისა და მისი მრთი ამოცანის
გადაფყვატის გეომოდის შესახებ

ნ. ტყემალაძე, ვ. ჯიხვაშვილი, გ. მამულაშვილი

(საქართველოს ტექნიკური უნივერსიტეტის ვ. ჭავჭანიძის სახელობის კიბერნეტიკის ინსტიტუტი)

რეზიუმე: სტატიაში მოცემულია მოკლე ინფორმაცია ავტორთა მიერ შემუშავებული სწავლებით სახეობა ამოცნობის სისტემის (სსას-ის) შესახებ, რომელიც რეალიზებულია პერსონალურ კომპიუტერზე. სისტემა გამოყენებული იყო სხვადასხვა კლასის ობიექტების ამოცნობად. სტატიაში განხილულია აგრეთვე ამ სისტემის ერთ-ერთი ამოცანის – (v, b, k, r, λ) ტიპის კონფიგურაციების სამჯერადი გამოყენებით ხელოვნური (ფორმალური) პარამეტრების განსაზღვრის მეთოდი.

CYBERNETICS

ABOUT THE SYSTEM OF PATTERN RECOGNITION WITH LEARNING AND THE METHOD OF DECISION OF ITS ONE OBJECTIVE

N. Tkemaladze, V. Jikhvashvili, G. Mamulashvili

(V. Chavchanidze Institute of Cybernetics of Georgian Technical University)

Resume: There is given the brief information about the system of pattern recognition with learning (SPRL) elaborated by the authors and realized on the personal computer. The system was used for recognition of different class object.

The method of decision of one of the objectives of this system, i.e. the method of determination of artificial (formal) parameters by the three-fold usage of (v, b, k, r, λ) type configurations is also considered in this article.

КИБЕРНЕТИКА

О СИСТЕМЕ РАСПОЗНАВАНИЯ ОБРАЗОВ С ОБУЧЕНИЕМ И МЕТОДЕ РЕШЕНИЯ ЕЁ ОДНОЙ ЗАДАЧИ

Н. Ткемаладзе, В. Джихвашвили, Г. Мамулашвили

(Институт кибернетики им. В. Чавчанидзе Грузинского технического университета)

Резюме: Данна краткая информация о нами разработанной системе распознавания образов с обучением (СРОО), которая реализована на персональном компьютере. Система была использована для распознавания объектов разных классов. В статье рассматривается также метод решения одной из задач этой системы, т.е. метод определения искусственных (формальных) параметров на основе трёхкратного использования конфигураций типа (v, b, k, r, λ) .

მძლავრი პიდრობენერატორების ორგანიზმისა და ელექტრომაგნიტური
მფლობელობის გამოვლენა და შესწავლა ახალი ტიპის ინტებრიონებაზე
სინსორებით

ლ. გუგულაშვილი, ზ. აზმაიფარაშვილი, ი. მეცხვარიშვილი

(საქართველოს ტექნიკური უნივერსიტეტი)

მძლავრი პიდრობენერატორების საიმედოობის ამაღლება, საექსპლუატაციო რესურსების ზრდა, მათი მოცდენა და კაპიტალურ რემონტებზე ხარჯების შემცირება დიდადად დამოკიდებული პიდრობაგრეგატის ვიბრაციულ მდგომარეობაზე.

პიდრობენერატორის ვიბრაციული მდგომარეობის შესწავლა გულისხმობს პიდრობაგრეგატის ვიბრაციის მიზეზების გამოვლენას და, აუცილებლობის შემთხვევაში, ვიბრაციის აღმოფხვრას ბალანსირების გზით.

პიდრობენერატორის ვიბრაციის გამომწვევი ძირითადი მიზეზებია:

1. პიდრობენერატორის მბრუნავი ნაწილების გაუწონასწორებლობით გამოწვეული მექანიკური დაუბალანსებლობა;

2. პიდრობენერატორის მიმდინარე პროცესებით (ტურბინის მიმმართველი აპარატის არათანაბარი გადება, უცხო სხეულის მოხვედრა ტურბინის სპირალური კამერის ნიჟარაში, ტურბინის მუშა თველის ასიმეტრიული განლაგება ტურბინის კამერაში და სხვ.) გამოწვეული პიდრობინამიკური დაუბალანსებლობა;

3. გენერატორის მიმართ როტორის ასიმეტრიული მდებარეობით, როტორის არა-სწორი მაგნიტური და მექანიკური ფორმით, გენერატორის სტატორის ელიფსური ფორმით, გენერატორის როტორის კონსტრუქციის ან სხვადასხვა კვანძის და ნაწილის ე. წ. სუნთქვა-გადაადგილებით, გენერატორის როტორის პოლუსის გრაგნილებში გაჩენილი მოკლედ შერთული ხვიების გავლენით გამოწვეული ელექტრომაგნიტური დაუბალანსებლობა.

პიდრობენერატორის ვიბრაციული მდგომარეობის გამოსავლენად და შესასწავლად მსოფლიოში არსებობს სხვადასხვა ტიპის გადასატანი და სტაციონარული ვიბროსაზომი კომპლექსები და ხელსაწყოები, რომლებიც ძირითადად გამოიყენება ვიბრაციის როგორც ამპლიტუდის, ისე სიხშირული სპექტრის, ფაზის, სიჩქარის, აჩქარების, ღერძის ცემის ფიქსირებისა და სპექტრული ანალიზისათვის. მაგრამ მათ არ შესწევთ უნარი გამოავლინონ და დაარეგისტრირონ პიდრობენერატორის ელექტრომაგნიტური დაუბალანსებლობის გამომწვევი ძირითადი მიზეზები, კერძოდ, გენერატორის როტორის ფორმის ფიქსირება და როტორის პოლუსის გრაგნილის კოჭაში გარდამავალი, არადამყარებული, მოკლედ შერთული ხვიების აღმოჩენა.

ასეთი მოკლედ შერთული ხვიების გამოვლენა ძალიან როტულია, რადგან გაჩერებულ პიდრობენერატორში ეს ხვიათშორისი იზოლაცია შეიძლება აღდგეს და ვერავითარი ლაბორატორიული გამოკვლევით ვერ მოხერხდეს მისი აღმოჩენა; ხოლო აგრეგატის ბრუნვით და ცენტრიდანული ძალების ამოქმედებით ხდება როტორის პოლუსის გრაგნილის ხვიათშორისი მოკლედ შერთვის გამოვლენა.

როტორის პოლუსის ხვიათშორისი მოკლედ შერთვა გამოიწვევს პიდრობენერატორის მაგნიტური ველის ასიმეტრიას, ხოლო პიდრობენერატორის როტორის მაგნიტური ველის ასიმეტრია, თავის მხრივ, პიდრობენერატორის მიმმართველ საკისრებზე იწვევს დამატებითი დატვირთვების გაჩენას და, შესაბამისად, პიდრობაგრეგატის ზედა და ქვედა ჯვარედებზე – ვიბრაციის გაზრდას.

დღეისათვის საქართველოში არსებობს მეთოდიკა, რომელიც საშუალებას იძლევა აღმოგანისათვის როტორის პოლუსის გრაფიკის კოჭებში მოკლედ შერთული ხვიები და დავაფიქსიროთ როტორის ფორმა [1 – 4].

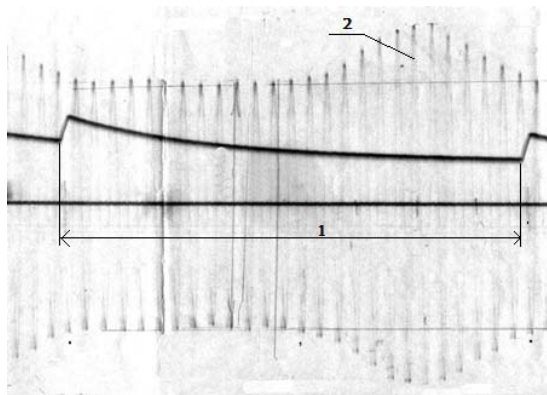
ამ მეთოდიკის მუშაობის პრინციპი დაფუძნებულია ელექტრომამოძრავებელი ძალის აღმოგანისათვის გენერატორის როტორისა და სტატორის საპარტო ლრენტში გატარებულ ხვიაში როტორის ბრუნვით. ხვიაში აღმოჩენი ელექტრომამოძრავებელი ძალისა და გენერატორის როტორის N1 პოლუსის გასწვრივ დამაგრებული ღერძის ბრუნვის აღმნიშვნელის დაფიქსირება ხდება სხივერი გალვანომეტრით შუქსხივური ოსცილოგრაფის სპეციალურ შუქმბრძნობიარე ფოტოქალადლზე.

წარმოდგენილი მეთოდიკის ნაკლია:

1. პიდროგენერატორის სტატორზე ე.წ. საზომი ხვიის დაყენება-დამაგრების სირთულე;
2. პიდროგენერატორის როტორის პოლუსში მოკლედ შერთული ხვიის (1 – 2 ცალი) აღმოჩენა როტორიდან და პრაქტიკულად თითქმის შეუძლებელი;
3. პიდროგენერატორის როტორის პოლუსის გამჭექი სოლების მოშვების შემთხვევაში შეუძლებელია პოლუსის სივრცული სუნთქვა-გადადგილების აღმოჩენა.

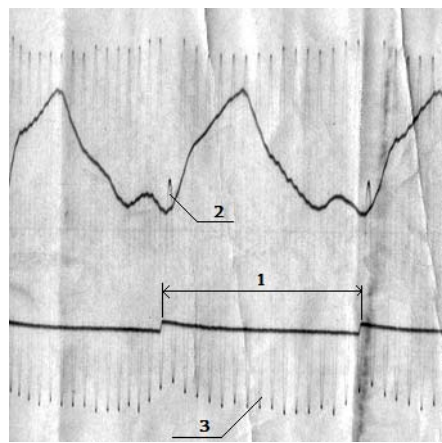
ჩვენ მიერ დამუშავებული, დამზადებული და პრაქტიკაში გამოყენებულია ე.წ. როტორის ფორმის ელექტრომაგნიტური გადამწოდი. იგი წარმოადგენს არამაგნიტური მასალისაგან დამზადებული ღეროს წვერზე დამაგრებულ ინტეგრირებად სენსორს ისეთი გათვლით და გაბარიტებით, რომ შესაძლებელი იყოს სტატორის ზურგის მხრიდან მისი თავისუფლად შეყვანა და ჩამაგრება პიდროგენერატორის სტატორის აქტიური რკინის სავენტილაციო არხში. გადამწოდის ღეროს წვერზე დამაგრებული სენსორი მცირე ზომისაა და თავსდება როტორსა და სტატორს შორის საპარტო დრენაჟი არაუმეტეს 3 მმ სიღრმეზე.

ადწერილი როტორის ფორმის ელექტრომაგნიტური სენსორის სხვადასხვა ენერგოობიექტებზე გამოყენებით პიდროგენერატორების ვიბრაციული მდგომარეობის კვლევისა და ვიბრაციის მიზეზების გამოვლენის პროცესში მიღებული და დაფიქსირებულია შემდგენ შედეგები: კერძოდ, 1-ლ ნახ-ზე (ვარდის გვერდზე, 11. 07. 2001) მოყვანილია ელიფსური ფორმის როტორი, ანუ როტორის ფორმის ცვლილება, როგორც როტორის მანების და როტორის ფერსოს სოლების მოშვებით გამოწვეული შედეგი.

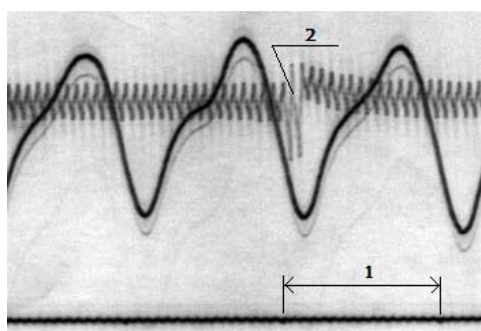


ნახ. 1. დეფორმირებული ელიფსური ფორმის როტორი.
1 – როტორის ერთი ბრუნი, 2 – ელიფსური ფორმის როტორი

მე-2 ნახ-ზე (ვარდის გვერდზე, 13. 06. 2009) წარმოდგენილია დიაგრამა როტორის N2 პოლუსში მოკლედ შერთული ხვიების ფიქსირებით, ხოლო მე-3 ნახ-ზე (ვარდის გვერდზე, 09. 09. 2003) – დიაგრამა, რომელზედაც დაფიქსირებულია გენერატორის მიმმართველი საკისრების მწყობრიდან გამოსვლით გამოწვეული გენერატორის როტორის სივრცული შეშფოთება-შესტომები.



ნახ. 2. როტორის ფორმა მოკლედ შერთული პოლუსის ფიქსირებით.
1 – როტორის ერთი ბრუნი, 2 – მოკლედ შერთვა N2 პოლუსში, 3 – როტორის ფორმა



ნახ. 3. გენერატორის როტორის შეშფოთება.
1 – როტორის ერთი ბრუნი, 2 – როტორის შეშფოთება

თუ ასეთი ტიპის როტორის ფორმის ელექტრომაგნიტურ გადამწოდებს განვალაგებთ ერთ ვერტიკალურ სიბრტყეში, გენერატორის სტატორის აქტიური რკინის ზედა და ქვედა პაკეტების სავენტილაციო არხებში გამოვავლენთ როტორის პოლუსების მდებარეობის ცვლილება-გადაადგილებას სიგრცეში.

ამრიგად, პრაქტიკული და ძალზე მნიშვნელოვანია მძლავრი პიდროგენერატორების მუშაობის უწყვეტ რეჟიმში გენერატორის როტორის ფორმისა და გენერატორის პოლუსის გრაგნილებში მოკლედ შერთული ხვიების აღმოჩენის კომპიუტერული მონიტორინგი. აღნიშნულ საკითხებზე ამჟამად მიმდინარეობს მუშაობა.

ლიტერატურა—REFERENCES—ЛИТЕРАТУРА:

1. Элькинд Ю.М. Контроль вибрации мощных гидрогенераторов. М.: Энергия, 1979.
2. Справочник по ремонту и модернизации гидрогенераторов. М.: Энергоатомиздат, 1987.
3. Эксплуатация гидроэлектростанций. М.: Энергия, 1977.
4. Смирнов А.М., Усталов В.А. Испытание и наладка гидроэнергетического оборудования гидроэлектростанций. М.: Энергия, 1980.

მძლავრი ჰიდროგენერატორების როტორის ფორმისა და ელექტრომაგნიტური
მდგრადარეობის გამოვლენა და შესწავლა ახალი ტიპის ინტებრირებაზე
სენსორებით

ლ. გუგულაშვილი, ზ. აზმაიფარაშვილი, ი. მეცხვარიშვილი

(საქართველოს ტექნიკური უნივერსიტეტი)

რეზიუმე: სტატიაში განხილულია მძლავრი გენერატორების საიმედოობის ამაღლებისა და
მათი საექსპლუატაციო რესურსების ზრდის საკითხები და ნაჩვენებია, რომ ყოველივე ეს დამო-
კიდებულია ჰიდროაგრეგატის ვიბრაციულ მდგრადარებაზე.

ჰიდროგენერატორის ვიბრაციული მდგრადარების შესწავლისათვის დღეს გამოყენებული მოწ-
ყობილობები ვერ უზრუნველყოფს როტორის ფორმის ფიქსირებას და მოკლედ შერთული ხვიების
აღმოჩენას.

როტორის ფორმის ელექტრომაგნიტური გადამწოდის ახალი პრინციპული სქემა შეიძლება
ადგილად ჩატაროს გენერატორების კომპიუტერული მონიტორინგის ქსელში.

ENERGETICS

INVESTIGATION AND DETECTION OF POWERFUL HYDROGENERATORS ROTOR SHAPE AND ELECTROMAGNETIC STATE BY NEW INTEGRATING SENSORS

L. Gugulashvili, Z. Azmayparashvili, I. Metskhvarishvili

(Georgian Technical University)

Resume: There are discussed the problems connection with enhanced trustworthiness and operating life of
powerful hydrogenerators and there was find out, that it depends on their vibration state.

At present in use equipments for investigation vibration condition of generators is not able distinguish rotor
shapes and definition of search of the shortly closed coils. There is presented the new electromagnetic sensor for
detection of a form of a rotor, which can be easily included in a network of computer monitoring of the generator.

ЭНЕРГЕТИКА

ИЗУЧЕНИЕ И ВЫЯВЛЕНИЕ ЭЛЕКТРОМАГНИТНОГО СОСТОЯНИЯ РОТОРА ГИДРОГЕНЕРАТОРА И ФОРМЫ РОТОРА МОЩНЫХ ГИДРОГЕНЕРАТОРОВ С НОВЫМИ ИНТЕГРИРУЮЩИМИ СЕНСОРАМИ

Л. Гугулашвили, З. Азмайпарашвили, И. Мецхваришвили

(Грузинский технический университет)

Резюме: Рассмотрены вопросы повышения надежности мощных гидрогенераторов и увеличения их
эксплуатационного ресурса и показано, что это зависит от их вибрационного состояния.

Используемые в настоящее время для изучения вибрационного состояния генераторов измерительно-
исследовательские приборы не в состоянии обеспечить выявление формы ротора и отыскание полюсов с
короткозамкнутыми катушками.

Представлена принципиальная схема нового электромагнитного датчика формы ротора, которая легко
может быть включена в сеть компьютерного мониторинга генератора.

ტყალი, როგორც მესიერების მატერიალური სუბსტრატი

ნ. ალექსიძე

(წმიდა ანდრია პირველწოდებულის სახელობის ქართული უნივერსიტეტი)

წყალი ერთ-ერთი აუცილებელი ფაქტორია, რომელიც განსაზღვრავს დედამიწაზე ცოცხალი ორგანიზმების არსებობას.

ცოცხალ ორგანიზმებში წყლის შემცველობა საშუალოდ 70 %-ია, თუმცა მისი რაოდენობრივი განაწილება გაცილებით მკვეთრად იცვლება ორგანიზმების სახელობის, ქსოვილებისა და ასაკის მიხედვით. წყლის საერთო რაოდენობის 50 % უჯრედებშია, 20 % – უჯრედგარე სივრცეში, 15 % მოდის ნაწლავებზე, სისხლის პლაზმასა და სატრანსპორტო სითხეებზე. წყლის საერთო რაოდენობის 5 % ცერებროსპინალურ, სინოვიურ, ლიმფისა და სხვა სახის სითხეებშია წარმოდგენილი.

წყლის ფორმირებისათვის მნიშვნელოვანია “მკვრივი შეფუთვა”, სულიერება, სულიერისათვის დამახასიათებელი დადებითი ენერგია, რადგან იგი განიხილება, როგორც მოაზროვნე სუბსტანცია. საშუალო წონის ზრდასრული ადამიანი ყოველდღიურად 1500 მლ სითხეს გამოყოფს. აქედან 600 მლ გამოიყოფა სხეულის კანიდან, 400 მლ – აირთან ერთად, ხოლო 500 მლ – შარდის სახით.

წყლის გარეშე სიცოცხლე წარმოუდგენელია. კარგად გამოკვებილმა ცხოველებმა შეიძლება იშიმშილო 100 დღე-დამის განმავლობაში, მაგრამ უწყლოდ 10 დღე-დამეზე მეტს ვერ ძლებენ.

წყლის “მკვრივი შეფუთვისას” პროცესი წარიმართა ისე, რომ წყლის მინიმალური რაოდენობის დროსაც კი შენარჩუნებულ იქნა გარემო პირობებისადმი ადაპტირებული უჯრედის ნორმალური სტრუქტურული და ფუნქციური ორგანიზაცია. უახლესი მონაცემებით, წყალი არა მარტო გამსხველის ფუნქციას ასრულებს და ცალკეული ქსოვილების სტრუქტურულ ორგანიზაციას განსაზღვრავს, არამედ იგი გარკვეული ინფორმაციის მატარებელიცაა. ადამიანის 2 თვის ემბრიონში 95 % წყალია. რა თქმა უნდა, ის ინფორმაციული წყალია, რომელიც გენეტიკურ აპარატთან ერთად მიზანმიმართულად აკონტროლებს ჩანასახის ზრდა-განვითარებას.

მეცნიერები უკვე საუბრობენ წყლის “სულიერებაზე”, როგორც ინფორმაციის მატარებელ სუბსტანციაზე (ალბათ, არც ისაა შემთხვევითი, რომ ქართველები ცუდ სიზმრებსა და ცოდვებს წყალს ატანენ). ამიტომაც ფიქრობენ, რომ მეორეული მოხმარების ტანსაცმელი აუცილებლად უნდა გაირეცხოს გამდინარე წყალში, რათა წყლის საშუალებით თავიდან იქნეს აცილებული ტანსაცმლის ყოფილი მფლობელის აურა, რადგან იგი შეიძლება შეუთავსებელი აღმოჩნდეს ახალი პატრონისათვის და საგრძნობლად დაზიანოს მისი ელექტრომაგნიტური ველი.

ნაკურთხი წყალი “ცოცხალ წყლად” პირველად 1920 წელს იქნა მოხსენიებული ავსტრიელი ინჟინერ-პიდლოგეოლოგის ვ. შაუბერგერის მიერ.* მისი აზრით, ბუნებრივ მდგომარეობაში წყალი აქვს გარკვეული ვიტალური (სასიცოცხლო) ძალა. წყაროს წყალში ადმოჩენილია ფიფქის მსგავსი ექსკუტხა სტრუქტურები. მსგავსი სტრუქტურა გამოვლენილ იქნა ახალშობილი ბავშვის უჯრედშორის სითხეშიც, რაც დროთა განმავლობაში შესაძლებელია დაირღვეს და გამოიწვიოს სხვადასხვა სახის მძიმე დავადება. წყლის თვისებები ფართოდ შეისწავლება მრავალი მეცნიერის მიერ. მაგალითად, სტ. ზენის მიაჩნია, რომ წყალს აქვს უნიკალური თვისებები, რომლებიც განპირობებულია ე. წ. “ინფორმაციულ-ფაზური მდგომარეობით”, ინფორმაციული მეხსიერებით.

* „ცოცხალი წყალი“ ჯერ კიდევ პიბლიასა და იოანეს სახარებაში გვხვდება.

წყალს შეუძლია მიიღოს, დაიმახსოვროს და გადასცეს ინფორმაცია ელექტრომაგნიტური რხევებით. დადგენილ იქნა, რომ წყალი შედგება კლასტერული უჯრედებისაგან, რომლებიც მინიატიურულ ბიოერმატიურებს წარმოადგენს. ადამიანის ორგანიზმში წყალი მოქმედებს დნმ-ის მოლეკულის სტრუქტურულ ორგანიზაციაზე და არსებითად ცვლის ადამიანის განწყობას. ამ თვალსაზრისით დიდი ინტერესი გამოიწვია ნაკურთხი წყლის გამოკვლევის შედეგებმა. დადასტურდა, რომ ნაკურთხი წყალი დიდი ხნის განმავლობაში ინარჩუნებს წმინდა თვისებას, რომლითაც შეუძლია მრავალი დაავადების განკურნება. როგორც წესი, წყლის კურთხევა ხდება მართლმადიდებლურ ეკლესიაში ზარების რეკვის ფონზე. ასეთ წყალს საოცარი ადდგენითი უნარი აღმოაჩნდა. როდესაც ნაკურთხი წყალი ჩვეულებრივ სასმელ წყალს შეურიეს (10გ/60ლ), სასმელმა წყალმა როგორც სტრუქტურულად, ისე ბიოლოგიური თვისებებით ნაკურთხი წყლის სახე მიიღო.

წყლის შესახებ უაღრესად საინტერესო გამოკვლევები იქნა ჩატარებული იაპონელი მეცნიერის ემოტო მასარუს მიერ. მან გამოთქვა მოსაზრება, რომ წყალს აქვს მეხსიერება და სამკურნალო თვისებები [1].

როგორც ირკვევა, წყალი პირდაპირ კავშირშია ადამიანის ფსიქიკასთან, აზროვნებასთან, განწყობასა და ემოციასთან. არსებობს ვარაუდი, რომ წყალს შეუძლია შეითვისოს ადამიანის ფსიქიკური ენერგია, რაც აძლიერებს მის როგორც ფიზიკურ, ისე სულიერ მდგომარეობას. ე. მასარუმ წყლის კრისტალების ფორმირებაზე ფსიქოემოციური ზეგავლენის შესწავლა დაიწყო 1987 წელს, მას შემდეგ, რაც მან ტკიფილების გაყენების მიზნით საკუთარ თავზე გამოცადა წყლის სამკურნალო თვისებები. როდესაც იგი საუბრობს წყლის ინფორმაციული ბუნების შესახებ, მას მხედველობაში აქვს ყველა ის ფაქტორი, რომელიც შეეხება ადამიანის სხეულსა და გონებას.

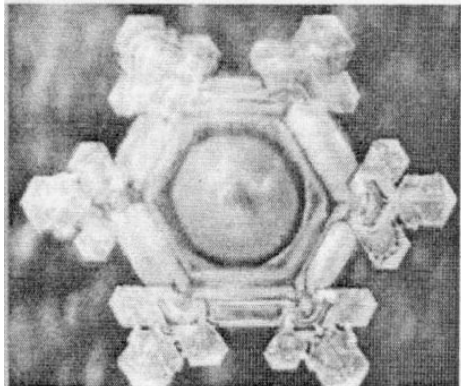
ე. მასარუმ პირველი ცდები ჩატარა 1994 წელს ახალგაზრდა ასისტენტ კ. ისიბასისთან ერთად გაყინული წყლის კრისტალებზე. მადებული შედეგები წიგნის სახით გამოიცა 1999 წელს “წყლის გზავნილების” სახელწოდებით. წიგნი ეხება დადებითი ენერგიით დამუხტულ წყალს, რომელმაც მთელი მსოფლიოს მეცნიერთა ურადღება მიიყრო. აღნიშნულთან დაკავშირებით გაერთიანებული ერების ორგანიზაციის მიერ 2005 – 2014 წლები გამოცხადდა წყლის ათწლეულად.

იაპონელი მეცნიერები ცდებს ატარებდნენ -25°C-ზე გაყინული წყლის კრისტალებზე; აგრეთვე წყალზე, რომელიც განთავსებული იყო მინის ბოთლებში სხვადასხვა სახის ინფორმაციული ზემოქმედების (მუსიკალური, ვერბალური) პირობებში. შემდეგ წყალი გადაჰქმნდათ 5 სმ დიამეტრის მქონე პეტრის ჯამებზე და ათავსებდნენ მაცივარში -25 °C-ზე ან უფრო დაბალ ტემპერატურაზე. 3 სთის შემდეგ წარმოიქმნებოდა 1 სმ-იანი კრისტალები. სტრუქტურებს აფიქსირებდნენ ფოტოგრაფიულად მიკროსკოპის ქვეშ. კრისტალების გალლობის შემდეგ წყალში აღმოჩნდა უაღრესად ლამაზი სტრუქტურის მქონე ბუტონები. სამწუხაროდ, მსგავსი სტრუქტურების წარმოქმნა არ აღინიშნა იმ წყალში, რომელიც დეზინფექციის მიზნით დამუშავებული იყო ქლორით. ასეთი წყალი უგემურია და აქვს უფორმო კრისტალები. აღნიშნულიდან გამომდინარე, აუცილებელია სასმელად გამოვიყენოთ წყაროს ან მინერალური წყლები, რომლებიც დაქლორილი წყლებისაგან განსხვავებით, გამოირჩევა არაჩვეულებრივად ლამაზი კრისტალებით. ამერიკასა და ევროპაში გასაყიდ სასმელ წყლებში აღმოჩნდილ იქნა ბიოლოგიურად აქტიური ალდეპიდები, რომლებსაც შეუძლია დიდი ზიანი მიაყენოს ადამიანის ჯანმრთელობას. ალდეპიდების რაოდენობრივი მაჩვენებელი 80 მკგ-ს არ უნდა აღემატებოდეს.

სამწუხაროდ, უცნობია ჩვენს სასმელ წყლებში ალდეპიდების შემცველობა და, ალბათ, აუცილებელია ეს საკითხი დროულად იქნეს შესწავლილი. აღნიშნულიდან გამომდინარე, ე. მასარუ იმ დასკვნამდე მივიდა, რომ წყლის კრისტალების წარმოქმნა უკავშირდება წყალში ჩანერგილ ინფორმაციას. ამის დასამტკიცებლად მან უაღრესად საინტერესო და ორიგინალური ცდები ჩატარა.

ორ ბოთლში ჩასხსა წყალი და ბოთლებს მიაკრა წარწერები: “მადლობა” და “თქვენ ბრიყეი ხართ”. წარწერიანი ბოთლები მოათავსა მაცივარში და ცდები ჩატარა ისე, როგორც ეს ზემო იყო აღწერილი იმ მოსაზრებით, რომ წყალი აითვისებდა პრინციპულად განსხვავებულ ამ ორ

გამოთქმას, რასაც, მისი თეორიის მიხედვით, გავლენა უნდა მოეხდინა წყლის სტრუქტურაზე. დადგინდა, რომ იმ წყლიან ბოთლში, რომლის წარწერაც იყო “მადლობა”, წარმოიქმნა უაღრესად ლამაზი კრისტალები; მაშინ როცა უხამსი სიტყვის გავლენით მე-2 ბოთლში მოხდა მხოლოდ კრისტალების ფრაგმენტების ფორმირება.

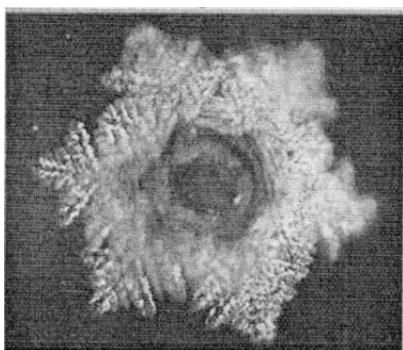


წყლის სტრუქტურა სიტყვა
“მადლობის” ფონზე

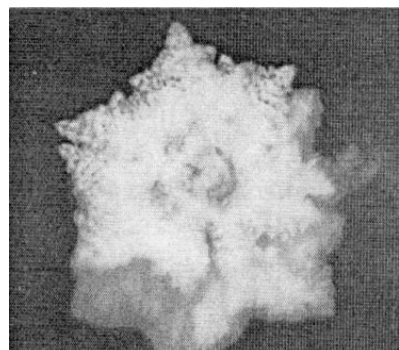


წყლის სტრუქტურა უხამსი
სიტყვების „თქვენ ბრიყვი ხართ“ ფონზე

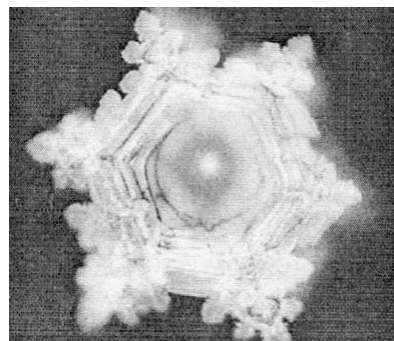
ე. მასარუს აზრით, კრისტალების ფორმირებაზე გავლენას ახდენს როგორც უხეში ვერ-ბალური გამოთქმა, ისე უხამსი შინაარსის წარწერა. წყლის სტრუქტურა იცვლება ბოთლებზე სხვადასხვა ენაზე წარწერილი ერთი და იმავე სიტყვის შემთხვევაშიც.



წყლის სტრუქტურა გერმანულ
ენაზე წარწერილი სიტყვისა “მადლობა”

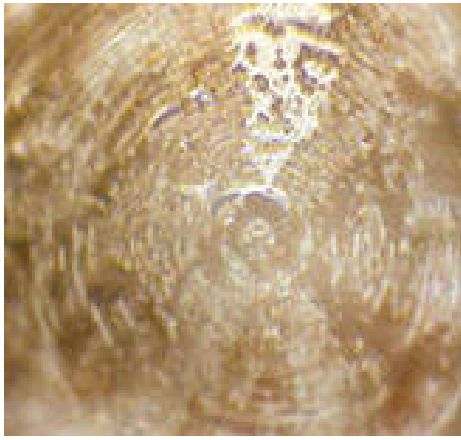


წყლის სტრუქტურა ინგლისურ ენაზე
წარწერილი სიტყვისა “მადლობა”

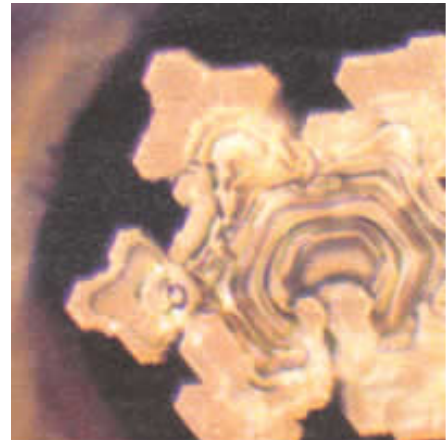


წყლის სტრუქტურა ჩინურ ენაზე
წარწერილი სიტყვისა “მადლობა”

წყლის კრისტალები მახინჯდება როგორც მძიმე ლითონების, ისე როკის, ჯაზისა და სხვა თანამედროვე მუსიკის ზემოქმედებით. წყლის კრისტალების ფორმირებაზე დადგბით გავლენას ახდენს საგალობლები, ხალხური და კლასიკური მუსიკა, საეკლესიო ზარების რეკვა.



მძიმე ლითონების გავლენა
წყლის სტრუქტურაზე

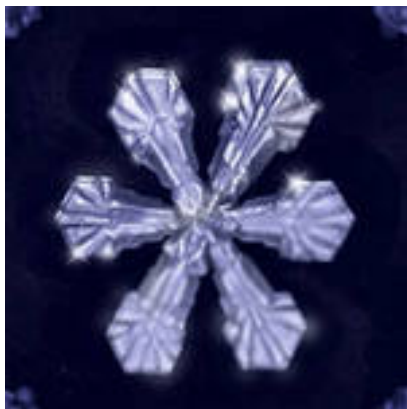


წყლის სტრუქტურა კლასიკური
მუსიკის ფონზე

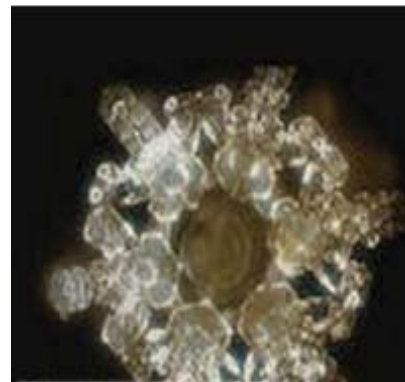


ბეთოვენის “პასტორალის” გავლენა
წყლის სტრუქტურაზე

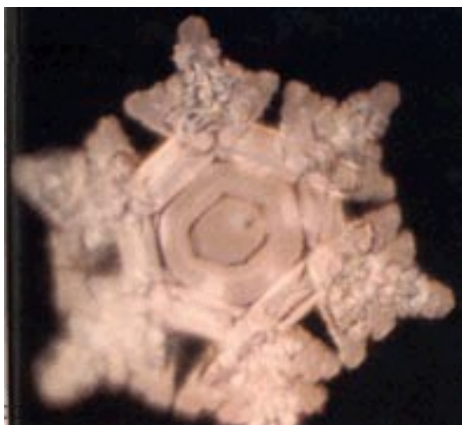
ქვემოთ წარმოდგენილია ე. მასარუს მიერ ფოტოგრაფიულად დაფიქსირებული სხვადასხვაგვარი წყლის (სასმელი, დისტილირებული) კრისტალები; ასევე ნაკურთხი წყლის სტრუქტურა ქრისტიანულ ლოცვამდე და ლოცვის შემდეგ, რაც, ჩვენი აზრით, განპირობებულია წყლის ქიმიური, ელექტრომაგნიტური და მექანიკური რხევებით. მართალია, სშირად ეჭვს გამოთქმამენ წარმოდგენილ მონაცემებზე, თუმცა მსგავსი შედეგები სხვა მუცნიერების მიერაც არის დაფიქსირებული.



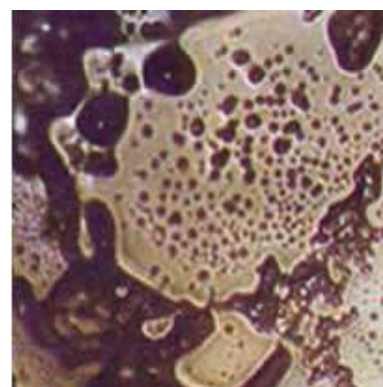
სასმელი წყლის სტრუქტურა



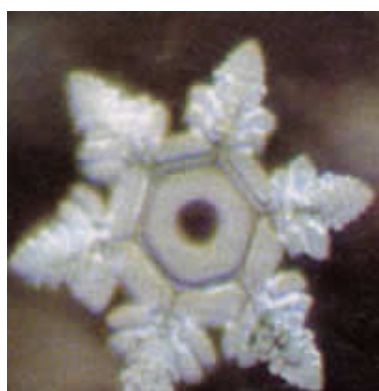
წყლის სტრუქტურა
ბუდისტური ლოცვისას



გამოხდილი წყლის სტრუქტურა



წყლის სტრუქტურა
ქრისტიანულ ლოცვამდე



ნაკურთხი წყლის სტრუქტურა

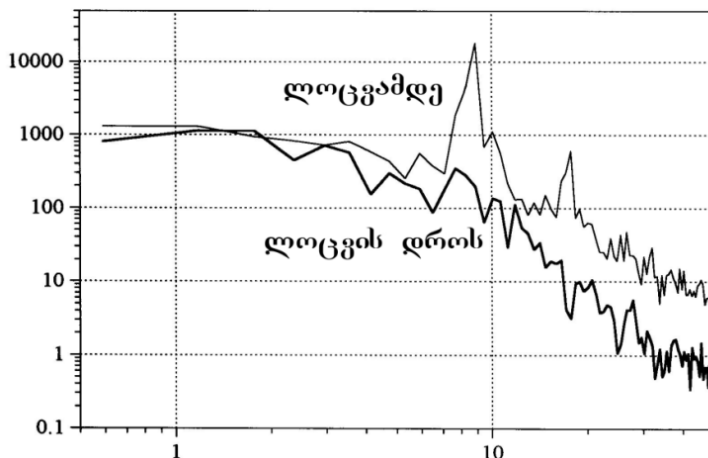


წყლის სტრუქტურა ქრისტიანული
ლოცვის შემდეგ

ბოლო ხანებში საზოგადოება და მეცნიერება დაინტერესდა ადამიანის რელიგიური ცხოვრების საკითხებით; კერძოდ იმით, თუ როგორ იცვლება ადამიანის თავის ტვინის ელექტროფიზიოლოგიური მდგრმარეობა ლოცვის დროს. როგორც გამოკვლევები ცხადყოფს, ლოცვისას მნიშვნელოვნად იცვლება ადამიანის თავის ტვინის ცალკეული სტრუქტურების ელექტროფიზიოლოგიური აქტიურობა და ინტეგრალური მოქმედება. მაგალითად, ქრისტიანული ლოცვის დროს თავის ტვინის ფიზიოლოგიური აქტიურობა შესაძლებელია შეფასებულ იქნეს თავის ტვინის ქერქის აქტიურობითა და ემოციური განწყობით. ამ პრობლემის შესასწავლად გამოიყენეს “ენცეფალან 131-01” და “ერა-9”

ელექტროენცეფალოგრაფიული ხელსაწყოები. საკვლევ თბიექტად შერჩეულ იქნენ ადამიანები, რომლებიც გამოირჩეოდნენ რეგულარული ქრისტიანული ლოცვით. ლოცვის დაწყების შემდეგ თავის ტვინის ბიოელექტრულ აქტიურობაში სერიოზული ცვლილებები აღინიშნა, რაც იმით გამოიხატა, რომ ლოცვამდე ელექტროენცეფალოგრაფიულ აქტიურობასთან შედარებით ლოცვის დროს ფიზიოლოგიური აქტიურობა საგრძნობლად შემცირდა და აღინიშნა ალფა- და ბეტა- რიტმების სინქრონიზაცია.

თავის ტვინის ფუნქციურ აქტიურობაში განსაკუთრებული ცვლილებები შეინიშნება ლოცვაში ადამიანების ჩაღრმავების პარალელურად. ასეთი ფსიქომოციური მდგომარეობის პირობებში რეგისტრირებულ იქნა ელექტროენცეფალოგრამის ფონური რიტმის დათრგუნვა. ფონური რიტმი ვლინდება 5 მჯგ-მდე, რაც გრძელდება 10 – 55 წმ-ის განმავლობაში ლოცვაში ჩართულობაზე დამოკიდებულებით.



**ელექტროენცეფალოგრამის დათრგუნვა
ლოცვის დროს**

ცხადია, ლოცვის დროს მდოცველთა თავის ტვინის ქერქული აქტიურობა მნიშვნელოვნად ითრგუნება. ამასთან, საგრძნობლად მცირდება ელექტროენცეფალოგრამის სიგნალების სიმძლავრე თავის ტვინის სხვადასხვა უბანში. ასეთ პირობებში ადამიანი ტრანსულ მდგომარეობაშია. ლოცვის დამთავრების შემდეგ თავის ტვინის ბიოელექტრული აქტიურობა საწყის ფონურ აქტიურობას უბრუნდება და არავითარ გავლენას არ ახდენს არც მესსიერებაზე და არც ყურადღების ცენტრზე, საგრძნობლად უმჯობესდება ადამიანის ფსიქომოციური განწყობა.

ლიტერატურა—REFERENCES—ЛИТЕРАТУРА:

1. Эмото Масару. Энергия воды для самопознания и исцеления. Изд. дом, София, 2006, (энциклопедия лекарственных средств. <http://www.36-6.net>).
2. 6. ალექსიძე. ფსიქობიოლოგია. წმიდა ანდრია პირველწოდებულის სახელობის ქართული უნივერსიტეტი, თბ., 2014.

შეადგინო, რომორც მეხსიერების მატერიალური სუბსტრატი

6. ალექსიძე

(წმიდა ანდრია პირველწოდებულის სახელობის ქართული უნივერსიტეტი)

რეზიუმე: სტატიაში განხილულია წყლის ბიოლოგიური როლი და მისი სტრუქტურები ფსიქომოციური ზემოქმედების შემდეგ. ნაჩვენებია ნაკურთხი და სასმელი წყლის სტრუქტურები ქრისტიანულ ლოცვამდე და ლოცვის შემდეგ.

BIOLOGY

WATER, AS A MATERIAL SUBSTRATE OF MEMORY

N. Aleksidze

(Saint Andrew the First Called Georgian University)

Resume: There is discussed biological role of water and structures of water after various phsychoemocional influences. There is shown Holy and drinkable water structure before and after christian prayer.

БИОЛОГИЯ

ВОДА, КАК МАТЕРИАЛЬНЫЙ СУБСТРАТ ПАМЯТИ

Н. Алексидзе

(Грузинский университет им. Андрея Первозванного)

Резюме: В статье рассматривается биологическая роль и структура воды после психоэмоционального воздействия. Показаны структуры святой и питьевой воды до и после христианской молитвы.

კოლეგიას დაგენერირებულ დასაშრომა უართობებზე საბაზო ინფრასტრუქტურის ფორმირების პრიცენტი

რ. ბერაია

(საქართველოს ტექნიკური უნივერსიტეტი)

საქართველოს, როგორც მცირებიშიანი ქვეყნის, უონომიკისა და სოციალური სფეროს განვითარებისათვის განსაკუთრებული მნიშვნელობა აქვს ჭაობების დაშრობას და კოლხეთის დაბლობის დაშრობილი მიწების ინტენსიურ ათვისებას თანამედროვე სამეცნიერო-ტექნიკური პროგრესის შესაბამისად.

კოლხეთის დაბლობი ბუნებრივ-კლიმატური თვალსაზრისით საქართველოს ერთ-ერთი უნიკალური რეგიონია, რომელიც შესაძლოა მდლავრ ბაზად იქცეს სუბტროპიკული კულტურების, მეცხოველეობისა და სოფლის მეურნეობის პროდუქციის საწარმოებლად, რითაც ადვილად გადაწყვდება შავი ზღვისპირეთის საკურორტო ზონის ბოსტნეულითა და ხილით უზრუნველყოფის პრობლემა.

საქართველო შესაბამისი ინფრასტრუქტურის ჩამოყალიბების პროცესშია და მთლიანად იცვლება ძველი სტერეოტიპული მიღომები. ამ რეგიონის ათვისებისას იდეოლოგიაში წინა პლანზე წამოიწია არსებული ეკოსისტემების მაქსიმალური შენარჩუნების, გარემოსდაცვითი და კაპიტალური დაბანდების ეფექტურად გამოყენების, ფერმერული მეურნეობების სპეციფიკის გათვალისწინების აქტუალურმა პრობლემებმა, რომლებმაც დღის წესრიგში დააყენა კოლხეთის მიწების ინტენსიური ათვისების ღონისძიებების შემუშავება თანამედროვე სამეცნიერო-ტექნიკური პროგრესის საფუძველზე [1, 2].

საქართველოს მუდამ ჰქონდა სწრაფიად განვითარებისა და ამავე დროს მისი ბუნებრივი გარემოს დაცვის მკვეთრად გამოხატული ინტერესი. მიუხედავად ამისა, ეკონომიკური განვითარება ქვეყანაში ყოველთვის მდგრადად არ მიმდინარეობდა.

კოლხეთის დასაშრობი მიწების, ისევე როგორც საქართველოს სხვა მელიორაციული მიწების, ევენტური ათვისების ერთ-ერთი უმთავრესი პირობაა თანამედროვე საბაზრო ინფრასტრუქტურის შექმნა [3, 4], რომლის ცენტრალურ რეალს წარმოადგენს ბანკები. რეალურად სწორედ მათი წარმატებული საქმიანობა განაპირობებს საბაზრო მექანიზმების შექმნას.

როგორც ცნობილია, ბანკი არის ორგანიზაცია, რომელიც ფულადი სახსრების მოზიდვას და შემდეგ თავისი პასუხისმგებლობით მათი დაბრუნების, გადახდის და ვადიანობის პირობის განსაზღვრას უზრუნველყოფს. კონკრეტული რეგიონის (მაგალითად, კოლხეთის დაბლობის) პირობებში გაცილებით პერსპექტიულია უფილიალო კომერციული ბანკების ჩამოყალიბება, რომლებიც, საწესდებო კაპიტალის ფორმირების მიხედვით, შეიძლება გაიყოს სააქციოდ და საპაიოდ. ჩვენი აზრით, უფრო პერსპექტიულია სააქციო ბანკების შექმნა. ასეთი ბანკების ორგანიზაციული მოწყობა შეესაბამება მიღებულ სააქციო საზოგადოების მართვის სქემას, რომლის უმაღლესი ორგანოა აქციონერთა კრება. ბანკის საქმიანობას ხელმძღვანელობს ბანკის საბჭო. მას აკისრია აგრეთვე ბანკის მართვის მუშაობის კონტროლი და მეთვალყურეობა. საბჭოს შემადგენლობა, მისი წევრების არჩევის წესი და ვადები განისაზღვრება კომერციული ბანკის წესდებით. ბანკის საბჭო განსაზღვრავს ბანკის საქმიანობის ზოგად მიმართულებას, განიხილავს ბანკის საკრედიტო და სხვა გეგმების პროექტებს, ამტკიცებს შემოსავლისა და გასავლის გეგმებს, მოგებას, განიხილავს კლიენტებთან ურთიერთობას და პერსპექტიულ განვითარებასთან დაკავშირებულ საკითხებს. კომერციული ბანკის საქმიანობას უშუალოდ ხელმძღვანელობს მმართველობა. იგი პასუხს აგებს აქციონერთა საერთო კრებისა და ბანკის საბჭოს წინაშე. მმართველობა შედგება თავმჯდომარის, მისი მოადგილეებისა და სხვა წევრებისაგან.

სარევიზოი კომისია ირჩევა მონაწილეობა საერთო კრების მიერ და ანგარიშვალდებულია ბანკის საბჭოს წინაშე.

მელიორაციასა და წყალთა მეურნეობაში საბაზრო სტრუქტურების ჩამოყალიბების უმთავრეს ელემენტს წარმოადგენს ფერმერულ მეურნეობათა ასოციაციების შექმნა, რომელთა დანიშნულებაა მელიორაციული სისტემების მომსახურება. კოლექტის დაბლობის დაშრობის პირობებში მსგავსმა ასოციაციებმა უნდა უზრუნველყონ მელიორაციული ორგანიზაციების მიერ როგორც პირველი და მეორე რიგის დასაშრობ სამუშაოებზე გაწეული ხარჯების ანაზღაურება, ისე მესამე რიგისა (შიგასამურნეო ქსელი). ამ საკითხების განხილვა საშუალებას იძლევა შესაბამისი სტრუქტურების წინაშე დღის წესრიგში გადაუდებელ ამოცანად დადგეს კოლექტის დაბლობზე მელიორაციული ღონისძიებების შემუშავება, მათ შორის შემოთავაზებული რეკომენდაციებიც, რითაც ყურადღება მიექცევა არსებული მელიორაციული სისტემების ექსპლუატაციას, პიდრობების ნაგებობების (წყალშემკრები, წყალგამტარი მდინარეებისა და ხელოვნური არხების კალაპოტების) გამტარუნარიანობის უზრუნველყოფას მათი ტექნიკური სრულყოფისა და მშენებლობის ტექნოლოგიების, მიწის რესურსების რაციონალური გამოყენების, საექსპორტო პროდუქციის წარმოებაზე ორიგინირებული კულტურების მოსავლიანობის ამაღლების, ზედაპირული წყლების გამყვანი არხების მექანიზაციის, მძიმე თიხნარი ნიადაგების ათვისების ღონისძიებების გათვალისწინებით.

ასოციაციის საწესდებო ფონდის ჩამოყალიბება (მელიორაციული სისტემების ექსპლუატაციისათვის) უნდა განხორციელდეს საპაიო შენატანების საფუძველზე.

ასოციაციის საქმიანობა რეგლამენტირებული უნდა იყოს წესდებით. ჩვენი აზრით, წესდება უნდა მოიცავდეს შემდეგ ძირითად თავებს:

1. ასოციაციის მიზნები და ამოცანები;
2. ასოციაციის წევრობა, მქანეოთა უფლებები და მოვალეობები;
3. ასოციაციის საკუთრება;
4. ასოციაციის საწარმო-სამურნეო და ფინანსური საქმიანობა;
5. შრომის ორგანიზაცია;
6. მმართველობის ორგანოები და სარევიზოი კომისია.

ასოციაცია წარმოადგენს შეუამავალს ფერმერულ მეურნეობებსა და მელიორაციულ საექსპლუატაციო ორგანიზაციებს შორის. ასოციაცია ახდენს ფერმერული მეურნეობებიდან იმ ფულადი სახსრების აპუშულირებას, რომლებიც მიმართულია საექსპლუატაციო ორგანიზაციათა მომსახურებისა და შიგასამურნეო დასაშრობი სისტემების საექსპლუატაციო სამუშაოთა ანაზღაურებაზე.

ფერმერთა ასოცირება უნდა მოხდეს განსაკუთრებით კეთილი ნების საფუძველზე. იგი ხელსაყრელი უნდა იყოს თითოეული ფერმერისათვის. ამასთან, ასოციაცია არავითარ შემთხვევაში არ უნდა გადაიქცეს კომერციულ ორგანიზაციად, არ უნდა იშვიათოს მოგებაზე.

აღნიშნულის გათვალისწინებით ყალიბდება ასოციაციის საკუთრება, ხორციელდება საწარმო-სამურნეო და ფინანსური საქმიანობა.

საბაზრო ინფრასტრუქტურის შექმნაში არსებითი როლი უნდა შეასრულოს სხვადასხვა კომერციულმა ორგანიზაციებმა.

ამრიგად, კოლექტის დაბლობის მიწების რეაბილიტაცია მძლავრი ინფრასტრუქტურის შექმნის მთავარი ფაქტორია, რაც უმთავრესი პირობაა რეგიონის ეკონომიკური აღორძინებისათვის.

ლიტერატურა—REFERENCES—ЛИТЕРАТУРА:

1. Мощерелия А.В. Мелиорация и сельскохозяйственное освоение Колхидской низменности. М.: Колос, 1974.
2. ს. გიორგაძე, თ. ქაცარავა, კ. კუხალაშვილი, შ. კუპრეიშვილი-ხარაიშვილი, ბ. უნდილაშვილი. მელიორაცია (დრენაჟი). სახელმძღვანელო. საზოგადოება „ცოდნა”, თბ., 2010.
3. Ковалев В. В. Методы оценки инвестиционных проектов. М.: „Финансы и статистика”, 1988.
4. Рабинович Б. М. Экономическая оценка земельных ресурсов и эффективность инвестиций. М.: Информационно-издательский дом, 1997.

პოლიტიკის დაბლობის დასაშრობელობის საბაზო ინფრასტრუქტურის
ფორმირების პრინციპები

რ. ბერაია

(საქართველოს ტექნიკური უნივერსიტეტი)

რეზიუმე: პოლიტიკის დაბლობის დასაშრობელობის ფართობებზე საბაზო სტრუქტურის ჩამოყალიბებისათვის აუცილებელია ფერმერულ მეურნეობათა ასოციაციების შექმნა, რომლებმაც უნდა უზრუნველყონ მელიორაციული ორგანიზაციების მიერ როგორც პირველი და მეორე რიგის დასაშრობი სამუშაოების შესრულებისას გაწეული ხარჯების ანაზღაურება, ისე მესამე რიგისა; ასევე პერსპექტიულია უფილიალო კომერციული (ძირითადად სააქციო) ბანკების ჩამოყალიბება.

ECONOMY

THE PRINCIPLES OF MARKET INFRASTRUCTURE FORMATION ON THE DRAINAGE TERRITORIES OF THE COLCHIS LOWLAND

R. Beriaia

(Georgian Technical University)

Resume: There is established necessity of farm-association creation on the drainage territories of the Colchis lowland, which must provide payment of land-reclamation organization service on the first and second order of drainage network exploitation, as well as on the third order; it is also promising to form branchless commercial banks (mainly joint-stock).

ЭКОНОМИКА

ПРИНЦИПЫ ФОРМИРОВАНИЯ РЫНОЧНОЙ ИНФРАСТРУКТУРЫ НА ОСУШАЕМЫХ ПЛОЩАДЯХ КОЛХИДСКОЙ НИЗМЕННОСТИ

Р. Берая

(Грузинский технический университет)

Резюме: Для формирования рыночной структуры на осушаемых площадях Колхидской низменности обоснована необходимость создания Ассоциации фермерских хозяйств, которые должны обеспечить оплату обслуживания мелиоративных организаций при эксплуатации осушительных сетей как первого и второго порядка, так и третьего, также перспективным является формирование нефилиальных коммерческих банков (в основном акционерных).

სააპთომობილო შიგაწვის ძრავების ეპოლოგიური მაჩვენებლების გაუმჯობესების ბზები

რ. ქავთარაძე, მ. ლლონტი, თ. ნატრიაშვილი

(ნ. ბაუმანის სახელმისამართის მოსკოვის სახელმწიფო ტექნიკური უნივერსიტეტი, რ. დვალის მანქანათა მექანიკის ინსტიტუტი)

XXI საუკუნეში მთელ მსოფლიოში განუხელად იზრდება დგუშიანი ძრავების რაოდენობა. ამ ძრავებში ძირითადად ნავთობპროდუქტების გადამუშავებით მიღებული საწვავები: ბენზინი და დიზელი გამოიყენება. მიუხედავად იმისა, რომ ნავთობის მოხმარების მასშტაბები ძალიან გაზრდილია, მისი მარაგი ჯერ კიდევ საკმარის და ამიტომაც საგანგაშო თითქოსდა არაფერია, მაგრამ როგორი ოპტიმისტურიც არ უნდა იყოს პროგნოზი, დამშვიდების უფლება მაინც არ გვაქვს. ნავთობის საძიებო სამუშაოების ახალი ტექნოლოგიების დამუშავება და დანერგვა, ახალი საბადოების აღმოჩენა, გადამუშავებისა და მოპოვების ტექნოლოგიების განვითარება მხოლოდ დროებით შეაჩერებს ნავთობის მარაგის ამოწურვის საფრთხეს. ნავთობის მოპოვება, ცხადია, თანდათანობით გაძნელდება, გამოყენებული ტექნოლოგიები უფრო და უფრო გართულდება და გაძვირდება. არც ისაა გამორიცხული, რომ (რაღაც მომენტში) ნავთობის საკმარისი მარაგის დროსაც კი შეწყვიტონ მისი მოპოვება მაღალი თვითძირებულების გამო.

აღსანიშნავია, რომ დგუშიანი ძრავების, კერძოდ დიზელების, გამოყენება პირდაპირ კავშირშია თანამედროვე ცივილიზაციის ორ გლობალურ პრობლემასთან – როგორც ენერგეტიკულთან, ისე ეპოლოგიურთან.

მსოფლიოში დგუშიანი ძრავების კუთრი სიმძლავრისა და ბრუნთა სიხშირის ზრდა განსაზღვრავს ბუნებრივი საწვავი რესურსების მოხმარების მატების ძირითად მიზეზებს. ამ თვალსაზრისით დიდებულებური, მაღალი მქანიზმი ან დაბალი საწვავის კუთრი ხარჯის მქონე ძრავების შექმნა და დანერგვა კარდინალურად ვერ გადაწყვეტს გლობალურ ენერგეტიკულ პრობლემას. საგულისხმოა, რომ დგუშიანი ძრავები, როგორც ბუნებრივი საწვავის მომსმარებელი, ჩვენს პლანეტაზე ეპოლოგიური წონასწორობის დარღვევის ძირითად წყაროს წარმოადგენს. მათი მუშაობის შედეგად ატმოსფეროში გამოიფრქვევა ისეთი მავნე ნივთიერებები, როგორიცაა: ნახშირჟანგი (CO), აზოტის ჟანგეულები (NOx), ნახშირწყალბადის ნაერთები (CH) და მყარი ნაწილაკები, რომელთა ძირითადი კომპონენტია ჭვარტლი.

ტრადიციულ (ნახშირწყალბადიან) საწვავებზე მომუშავე ე. წ. ნულოვანი მავნე გამონაბოლექვის მქონე ძრავა რჩება ნახშირორჟანგის (CO₂) წყაროდ, რომელიც ე. წ. სასათბურე ეფექტის გამო, ალბათ, უახლოეს წლებში კანონით შეიზღუდება. ამიტომ დგუშიანი ნულოვანი მავნე გამონატყორცნის მქონე ძრავას შექმნა და დანერგვა სრულად ვერ გადაწყვეტს ეპოლოგიურ პრობლემას.

პრობლემები კიდევ უფრო რთულდება მაშინ, როცა ენერგეტიკული და ეპოლოგიური ამოცანების გადაწყვეტის გზები არა მარტო განსხვავდება ერთმანეთისაგან, არამედ ხშირად ეწინააღმდეგება კიდევ ერთმანეთს. ამ ამოცანების რეალიზაციისას „მიზნების კონფლიქტის“ ნათელი მაგალითია ციკლის ტემპერატურული ზღვრების გაფართოება, რომელსაც, კარნოს ციკლის თანახმად, მოხდებს მქანიზმის ზრდა და საწვავის კუთრი ხარჯის შემცირება. რეალურად ეს შესაძლებელია ციკლის ზედა ზღვრის საშუალებით, ანუ ციკლის მაქსიმალური ტემპერატურის გაზრდით, რაღაც ციკლის ქვედა ზღვრის (მუხტის ტემპერატურა შეგსებისას) მნიშვნელოვნად შეცვლა პრაქტიკულად შეუძლებელია. ციკლის მაქსიმალური ტემპერატურის ზრდა, თავის მხრივ, ხელს უწყობს აზოტის ჟანგეულების წარმოქმნას, რის შედეგადაც გამონაბოლექვა აირებში მათი რაოდენობა მატულობს. ე. ი.

სახეზე „„კონფლიქტი“ საწვავის ეკონომიურობასა და ეკოლოგიურობას შორის, ანუ სხვა სიტყვებით რომ ვთქვათ, ეფექტურობასა და ხარისხს შორის.

დიზენჯინის დგუშიანი ძრავათი მომუშავე საავტომობილო ტრანსპორტის ეკოლოგიური და ენერგეტიკული პრობლემების ერთდროული გადაწყვეტის სამი ძირითადი გზა არსებობს:

1. საწვავის მოხმარებისა და ტოქსიკური გამონაბოლქვის შემცირება ავტოტრანსპორტის გადაადგილების შეზღუდვით, ანუ ექსპლუატაციაში არსებული ძრავების რაოდენობის შეკვეცით ან ძრავას მუშა მოცულობის შემცირებითა და მცირე სიმძლავრის ძრავების გამოყენებით;

2. დგუშიანი ძრავას შეცვლა ისეთი ალტერნატიული ენერგიით, რომელიც არ გამოიყენებს გარემოს გამჭუქრიანებელ ნავთობპროდუქტებს;

3. ნავთობისაგან მიღებული ტრადიციული საწვავების შეცვლა ისეთი ალტერნატიული საწვავებით, რომლებიც არ აჭუქრიანებს გარემოს.

ზემოაღნიშნული ეკოლოგიური და ენერგეტიკული პრობლემების გადაწყვეტის პირველი გზა, რომელიც გულისხმობს ავტოტრანსპორტის გადაადგილების რაოდენობის შემცირებას და მცირებლიტრაჟიანი ძრავების გამოყენებას, უშუალოდ ესება სოციალურ ასპექტს. აშშის სტატისტიკური მონაცემებით, ავტომობილების უოველდებული საერთო განარტენიდან – სახლიდან სამსახურში და პირიქით, მგზავრობს დაახლოებით 40 %, გასართობად – დაახლოებით 30 %, ხოლო ოჯახურ საქმეებზე (ძირითადად საყიდლებზე) – დაახლოებით 20 % [1]. როგორც ვხედავთ, თუ გამოირიცხება „არააუცილებელი მგზავრობა“ და ტრანსპორტით მარტო სამსახურში მისვლა განხორციელდება, მაშინ ავტომობილების განარტენი 2-ჯერ შემცირდება. ხოლო სახლიდან სამსახურში და პირიქით საზოგადოებრივი ტრანსპორტით მგზავრობისას საწვავის მოხმარება და მავნე ნივთიერებების გამოტყორცნა კიდევ უფრო შემცირდება. ძრავას მუშა მოცულობის შემცირებით ასევე პროპორციულად დაიკლებს საწვავის ხარჯიც და მავნე ნივთიერებებიც.

მგზავრობის რაოდენობისა და ძრავას მოცულობის შემცირება შესაძლებელია აკრძალვებითაც, მაგრამ ეს დიდ სოციალურ უკმაყოფილებას გამოიწვევს, რადგან ადიქტება ავტომფლობელების, ანუ მოქალაქეების, პირადი უფლებების ხელყოფად. როგორც გაირკვა გადასახადებისა და ჯარიმების შემოღებაც (დიდი ქალაქების ცენტრებში მგზავრობის აკრძალვა ან ფასიანი მგზავრობის დაწესება და ძრავას მოცულობებზე გადასახადების დაწესება) უმნიშვნელოდ მოქმედებს ექსპლუატაციაში არსებული ავტოტრანსპორტის გადაადგილების რაოდენობისა და ძრავების ლიტრაჟის შემცირებაზე. ასეთი მეორედები ავტომფლობელების დიდ უკმაყოფილებას იწვევს.

აბსოლუტურად უპერსპექტივო მასობრივი მოხმარების ავტომობილების ძრავას მოცულობების შეზღუდვაც, რადგან ხალხს მოგუსაობთ მძლავრი და კომფორტული ავტომობილებით მგზავრობის საშუალებას. პროგნოზების მიხედვით [1, 5], უახლოესი 50 წლის განმავლობაში საერთო ტენდენციად რჩება მასობრივი მისრაფება მძლავრძრავიანი საკუთარი ავტოტრანსპორტის ფლობისა. ეს ნიშნავს ექსპლუატაციაში არსებული ტრანსპორტის რაოდენობის კიდევ უფრო გაზრდას. როგორც ჩანს, თანამედროვე და მომავლის ძრავების საწვავის ეკონომიურობისა და ეკოლოგიური მაჩვენებლების გაუმჯობესების მიუხედავდ, მოსალოდნელია ნავთობის მოხმარებისა და ატმოსფეროში გამონაბოლქვი მავნე აირების ზრდა.

ამრიგად, როგორც უკვე აღვნიშვნეთ, მგზავრობისა და ექსპლუატაციაში მყოფი ძრავების რაოდენობის შემცირება, ასევე მცირელიტრაჟიანი ძრავების გამოყენება ვერ წვეტს ენერგეტიკულ და ეკოლოგიურ პრობლემებს; ამასთან, უპერსპექტივო სამართლებრივი და სოციალური ნორმების ოვალსაზრისითაც. უკეთეს შემთხვევაში ისინი შეიძლება განვიხილოთ, როგორც კერძო ფაქტორი, რომელიც უმნიშვნელოდ მოქმედებს ისეთ გლობალურ პრობლემებზე, როგორიცაა: ენერგომომარაგება და ეკოლოგიური მდგრამარების გაუმჯობესება. ამდენად, პირველი გზა აშკარად უპერსპექტივო.

ეკოლოგიური და ენერგეტიკული პრობლემების გადაწყვეტის მეორე გზა გულისხმობს დგუშიანი ძრავების შეცვლას ენერგიის ისეთი ალტერნატიული წყაროთი, რომელიც არ აჭუქრიანებს გარემოს ნავთობპროდუქტებით. დღეისათვის ენერგიის სხვადასხვა წყაროდან დგუშიანი ძრავებისათვის რეალური ალტერნატივაა ელექტრული ძრავა, რომელიც თავსდება აკუმულატორიანი ბატარეების მქონე ელექტრომობილებში.

პრობლემების გადასაწყვეტად შესაძლებელია გამოყენებულ იქნეს ე. წ. „ჰიბრიდული ძრავები“, ანუ მძლავრაკუმულატორიანი სატრანსპორტო საშუალება, რომელიც აღჭურვილია ელექტრო- და დგუშიანი ძრავებით. ასეთ მანქანებში აჩქარებისას ელექტროძრავა გადასცემს ენერგიას დგუშიან ძრავას ლილვს, ხოლო დამუხხუჭებისას ელექტროძრავა მუშაობს გენერატორის რეჟიმში, ანუ დგუშიან ძრავას აართმევს ენერგიას და მუხტავს აკუმულატორს. ცხადია, ასეთი „ჰიბრიდული ძრავა“ ვერ იქნება დგუშიანი ძრავას ალტერნატივა და ის შეიძლება განვიხილოთ, როგორც ერთ-ერთი მეორე ენერგეტიკული და ეკოლოგიური მდგომარეობის გასაუმჯობესებლად.

ამჟამად დგუშიანი ძრავას შეცვლა ელექტროძრავათი ითვლება რეალურ და რადიკალურ გზად. ეს კარგად ჩანს იმ დიდი ქალაქების მაგალითზე, რომლებშიც განვითარებულია ტრამვაი-ტროლეიბუსების ქსელი, მიწისზედა და მიწისქვეშა ტრანსპორტი, ხოლო საქალაქთაშორისო და საერთაშორისო მიმოსვლისათვის – ელექტრიფიცირებული რკინიგზა. პერსპექტივაში საზოგადოებრივი ტრანსპორტი შეიცვება საკმაო რაოდენობის შიგასაქალაქო ელექტრომობილებით (ასეთი ტენდენცია განსაკუთრებით საგრძნობია აშშ-ში). აღსანიშნავია, რომ მარტო კერძო ტრანსპორტის პრობლემა რჩება გადაუქრეცი, რადგან ელექტრომობილი ვერ პასუხობს ადამიანის ბუნებრივ მოთხოვნებს – „ვიმზზავრო სადაც მინდა და როცა მინდა“. ამ შემთხვევაში საქმე მარტო ის კი არაა, რომ სადღეისოდ არ არსებობს აკუმულატორის ბატარეები, რომელთა ენერგოტევადობა შეიძლება შევადაროთ დგუშიანი ძრავების ტრადიციული საწვავების ენერგოტევადობებს. რა თქმა უნდა, არ შეიძლება გამოვრიცხოთ მეცნიერების გარდვევა ელექტრული ენერგიის აკუმულირების სფეროში, მაგრამ, თუ ეს მაინც მოხდება და ბაზარზე მასობრივად გამოჩნდება იაფი და ექსპლუატაციისთვის ხელსაყრელი, დიდი გარებენის ქერნე ელექტრომობილები, მაშინ მათი აკუმულატორების დასამუშავად არ იქნება საქმარისი სადღეისოდ არსებული ჰიდრო- და ატომური ელექტროსადგურების ელექტროენერგია [1–5]. ამაზე მეტყველებს ის ფაქტი, რომ დგუშიანი ძრავების მიერ გამომუშავებული საერთო სიმძლავრე რამდენჯერმე აღემატება უკელი ელექტროსადგურის დადგენილ სიმძლავრეს. არარეალურია იმედის დამყარება იმაზე, რომ უახლოეს მომავალში ელექტროენერგიის გამომუშავება საგრძნობლად გაიზრდება, რადგან ეს დაკავშირებულია:

1. წიაღისეული საწვავების (პირველ რიგში ნახშირის) მოპოვებისა, წარმოებისა და მოხმარების გაზრდასთან, რაც აუცილებლად გამოიწვევს ეკოლოგიური მდგომარეობის გაუარესებას;

2. თერმობირთვული ენერგეტიკის დანერგვასთან. თუ 1970–1980-იან წლებში ამ მხრივ რადაც იმედი არსებობდა, დღეს ფიზიკოსები ვარაუდობენ, რომ მართული თერმობირთვული რეაქციების განხორციელება შესაძლებელი იქნება რამდენიმე ათწლეულის შემდეგ;

3. ატომური ელექტროსადგურების ქსელის გაფართოებასთან. მაგრამ ჩერნობილისა და ფუძუშიმას ატომური ელექტროსადგურების კატასტროფებმა, ეტყობა, დიდი ხნით შეაჩერა ახალი სიმძლავრეების შექმნის საკითხი. ამჟამად მხოლოდ რამდენიმე ქვეყანაში ემხრობიან ატომური ენერგეტიკის განვითარება.

ასე რომ, ეკოლოგიური მდგომარეობის გასაუმჯობესებლად პერსპექტივაში ორი ათწლეულის განმავლობაში დიდ ქალაქებში ელექტროძრავა, როგორც ძალური დანადგარი, ჩაანაცვლებს შიგა-საქალაქო სავტომობილო ტრანსპორტში დგუშიან ძრავებს. დღეს ელექტროტრანსპორტი ფართოდ გამოიყენება შენობებში, მაგრამ აქვე უნდა აღინიშნოს, რომ მნელია ელექტრომართვის განხორციელება სასოფლო-სამეურნეო მანქანებში, გემთმშენებლობაში კი პრაქტიკულად შეუძლებელია.

დგუშიანი ძრავების პერსპექტივების პროგნოზირებისას გასათვალისწინებელია ის, რომ:

1. დღემდე სხვა თბეურ ძრავებთან შედარებით დგუშიან ძრავებს საწვავის კუთრი ხარჯის მხრივ კონკურენტი არ ჰყავს, რაც საწვავების განუხელი გაძირების ფონზე მნიშვნელოვანი ფაქტორია;

2. დგუშიანი ძრავების არსებობის თითქმის 150 წლის განმავლობაში შექმნილია მასობრივი წარმოების ისეთი ტექნოლოგიები, რომელთა თვითდირებულება გაცილებით ნაკლებია სხვა თბეური ძრავების თვითდირებულებაზე.

ზემოაღნიშნულიდან გამომდინარე, შეიძლება ითქვას, რომ დგუშიანი ძრავები პერსპექტივულ ძრავებად რჩება XXI საუკუნეშიც როგორც სახმელეთო, ასევე საზღვაო ტრანსპორტში და ინარჩუნებს მონოპოლიურ მდგომარეობას მსოფლიო ენერგეტიკაში. აქვე უნდა აღინიშნოს, რომ ენერგეტი-

კული და ეკოლოგიური პრობლემების გადაწყვეტა და სატრანსპორტო ენერგეტიკის შემდგომი განვითარება უახლოეს მომავალში დღის წესრიგში დააყენებს არანავთობური წარმოშობის არატრადიციული (ალტერნატიული) საწვავების გამოყენებას [1–4].

ეკოლოგიური და ენერგეტიკული პრობლემების გადაწყვეტის მესამე გზად თანამედროვე ეტაპზე დგუშიანი ძრავებისათვის განიხილება ნავთობპროდუქტების ალტერნატიული საწვავები: სინთეზური საწვავები, ნახშირის სუსპენზიები, სპირტი, მცენარეული ზეთი, აირის კონდენსატის და აირისებრი ნახშირწყალბადიანი საწვავები; წყალბადი, გათხევადებული აირი და სხვ.

დგუშიანი ძრავებისათვის ალტერნატიულ საწვავად ყველაზე უფრო მიზანშეწონილადაა მიჩნეული ბუნებრივი აირი, რომლის ძირითადი კომპონენტია მეთანი (98%) – CH₄. ბუნებრივი აირი დიდი ხანია გამოიყენება აირსატუმბი სადგურების ძრავებში და ასევე საზღვაო ტრანსპორტში, კერძოდ, თხევადი აირის გადამზიდ ტანკერებში. ყველაზე ხშირად ესაა აირის საწვავით კონვერტირებული დიზელის ძრავები, რომელთა გამოყენების მასშტაბები სხვადასხვა ქვეყანაში 1–დან 10–15 %-მდე მერყობს. პრაქტიკულად თითქმის ყველა დიდ დიზელმწარმოებელ ფირმას აქვს აირის ძრავად კონვერტირებული დიზელების საცდელ-სამრეწველო ნიმუშები. მთლიანობაში ბუნებრივი აირი, როგორც ძრავას საწვავი, გამოირჩევა მთელი რიგი უპირატესობებით, კერძოდ:

1. ბუნებრივი აირის რეზერვები მნიშვნელოვნად აჭარბებს ნავთობის რეზერვებს და ზოგიერთი პროგნოზით (დღევანდელი მოპოვების ტემპების გათვალისწინებით), მაგალითად, ირანში 300 წლის მარაგია, ხოლო რეზერვი – 100 წლისა. გარდა ბუნებრივი რეზერვებისა, მსოფლიოს ბევრ რეგიონში არსებობს ბუნებრივი აირის მიწოდების განვითარებული ქსელი მაგისტრალური აირსადენების სახით, რაც სადღეისოდ მას იაფ საწვავად აქცევს [1];

2. დამატებით ბუნებრივი აირების რეზერვების გაზრდა შესაძლებელია ბუნებრივი აირით მომუშავე ალექტროსადგურებისა და საქაბე დანადგარების ნახშირზე გადაყვანით. ამ პროცესის წარმართვა უფრო ადვილია და ენერგეტიკულად გამართლებული, ვინაიდნა ნახშირისაგან თხევადი საწვავის მიღება არახელსაყრელია, რადგან ამ დროს იხარჯება მისაღები ენერგიის ნახვარი [2, 3];

3. ძრავას საწვავების ტრადიციულ სახეებთან შედარებით ბუნებრივი აირი ბევრად უფრო ეკოლოგიურია, რადგან იგი შეიცავს ნაკლებ ნახშირბადს (მასური წილის 74,9 %) ბენზინთან (85,6 %) და დიზელთან (86,1 %) შედარებით, რაც ხელს უწყობს გამონაბოლქვ აირებში „სასათბურე აირის“ (CO₂) კონცენტრაციის შემცირებას.

ასევე უნდა აღინიშნოს, რომ ბუნებრივი აირის აირადი მდგომარეობა მუშა პროცესის ეფექტური წარმართვის თვალსაზრისითაც ძალზე მნიშვნელოვანია.

დღეისათვის მსოფლიოში შეკუმშული ბუნებრივი აირით მომუშავე დაახლოებით 10 მლნ-მდე ავტომობილია. ექსპერტთა შეფასებით, შეკუმშული ბუნებრივი აირით მომუშავე ავტომობილების წილი ბაზარზე განუწყვეტლივ იზრდება. ამის თქმის გარანტიას იძლევა ბუნებრივი აირის ძალიან დაბალი ფასი და ის, რომ აირიანი ძრავების გამონაბოლქვში დიზელთან შედარებით 70 %-ით ნაკლებია აზოგის ჟანგეულები, 13 %-ით ნაკლები – ნახშირორეანგი, ხოლო ბენზინიან ძრავებთან შედარებით 25 %-ით ნაკლებია ნახშირორეანგის რაოდენობა. აქვე შევნიშნავთ, რომ აირადი საწვავის წვის პროცესში პრაქტიკულად არ წარმოიქმნება ჭარტლის მყარი ნაწილაკები.

ტრადიციული ნავთობპროდუქტებისაგან მიღებულ საწვავებთან შედარებით ბუნებრივი აირის ფიზიკურ-ქიმიური თვისებები, საკმაო რაოდენობის მარაგები, განვითარებული აირგამანაწილებელი ფართო ქსელები, დაბალი თვითიღირებულება და ეკოლოგიურობა იმის თქმის საშუალებას იძლევა, რომ ბუნებრივი აირი XXI საუკუნის პირველი ნახევრისათვის ყველაზე პერსპექტიული ალტერნატიული საწვავია.

დგუშიანი ძრავას შეკუმშულ ან თხევად აირზე გადასაყვანად გამოიყენება ორი მეთოდი:

1. კონსტრუქციაში შედარებით მარტივი ცვლილებების განხორციელებით სერიული ძრავების კონვერტირება;

2. შეკუმშული ან თხევადი აირით მომუშავე ახალი ძრავების ქარხნული წარმოების შექმნა და ორგანიზება.

მატერიალური და დროითი დანაკარგების გათვალისწინებით უფრო მიმზიდველია პირველი მეოდი, რომლის დროსაც შედარებით ადვილია სერიული ძრავებისა და ძალური აგრეგატების კონკერტირება, რომელიც ტრადიციული (თხევადი) და ალტერნატიული (აირადი) საწვავით იმუშავებს. ერთი საწვავიდან მეორეზე გადასვლა და, პირიქით, უნდა ხორციელდებოდეს ძრავას გამორთვის გარეშე.

აირის გამოყენება შესაძლებელია როგორც ბენზინიან ძრავებში, ისე დიზელებში.

აირით კონკერტირებულ ბენზინით მომუშავე ძრავას აქვს მთელი რიგი უპირატესობანი ბაზური ბენზინით მომუშავე ძრავასთან შედარებით. აირადი საწვავების უმეტესობა დეტონაციისადმი მდგრადია. აირადი საწვავის მთავარი კომპონენტია მეთანი, რომელიც გამოირჩევა დეტონაციისადმი მაღალი მდგრადობით, ხოლო წყალბადი – უმცირესით. დეტონაციისადმი მეთანის მაღალი მდგრადობის გამო შესაძლებელია კუმშვის ხარისხის 20–25 %-ით გაზრდა. ასეთი საწვავების აალების უფრო ფართო ზღვრები გაღარიბებული ნარევებით, ანუ გადიდებული ჰაერის სიჭარბის კოეფიციენტით ($\alpha=1,7$ – $1,8$ -ზე უზრუნველყოფილია ელექტრონაპერტკლური ნარევის საიმედო აალება), მუშაობის შესაძლებლობას იძლევა, რაც საწვავის კონსისტენციის ზრდის გარანტია.

ბენზინით მომუშავე ძრავებში აირადი საწვავების ზემოაღნიშნული უპირატესობების (მათი დაწვა კუმშვის მაღალ ხარისხზე და ჰაერის სიჭარბის კოეფიციენტის დიდ მნიშვნელობებზე) მიუხედავად, უფრო ეფექტურია აირზე კონკერტირებული დიზელის, განსაკუთრებით კი ე. წ. თხევადაირიანი დიზელის, ძრავას გამოყენება.

ძრავას საწვავად აირის გამოყენების დროს პრაქტიკულად გართულებულია დიზელის პროცესის წარმართვა თვითაალებით (აალება კუმშვით), რადგან, როგორც უკვე აღვნიშნეთ, აირჰაერიანი ნარევის აალებისათვის საჭიროა ძალიან მაღალი ტემპერატურა, რისი მიღწევაც მისი კუმშვითაა შესაძლებელი. ამიტომაც იყენებენ ე. წ. ორსაწვავიან ციკლს, რომლის დროსაც ჰაერისა და შეკუმშული აირადი საწვავის ნარევის აალება ხორციელდება დიზელის საწვავის ამნოები დოზის შეფრქვევით. მისი ხარჯი სიმძლავრის მაქსიმალური რეჟიმის დროს მთლიანი ხარჯის 20 %-ს შეადგენს. მართალია, ქალაქის პირობებში მომუშავე სავტომობილო ძრავები ნაწილობრივი დატვირთვების დროს დიდხანს მუშაობს, მაგრამ ამ შემთხვევაშიც კი დიზელის საწვავის ხარჯმა შეიძლება მთლიანი ხარჯის 50 %-ს მიაღწიოს.

შექსებისა და კუმშვისას ბუნებრივი აირის დიფუზია ჰაერთან გრძელდება მანამ, სანამ კუმშვის ბოლოს (თხევადი საწვავის ამნოები დოზის მიწოდების მომენტში) ცილინდრში აირჰაერიანი ნარევი არ გახდება ჰომოგენური. ამნოები დოზის შეფრქვევა ხორციელდება ბაზური ძრავას საწვავი აპარატურით. დიზელის თხევადი საწვავის შეფრქვევის შემდგე ცილინდრში იწყება საწვავი ნაკადის წვეთებად დაშლის პროცესი, წვეთების აორთქლება და ჰომოგენურ აირჰაერიან ნარევში დიზელის საწვავის ორთქლის დიფუზია, რაც იმგვარადვე მიმდინარეობს, როგორც ნარევწარმოქმნის პროცესი წვეულებრივ დიზელებში. ამის შედეგად ორსაწვავიანი ძრავას ცილინდრში წარმოიქმნება ჰეტეროგენული ნარევი, რომლის წვასაც თან სდევს ჭვარტლის მყარი ნაწილაკების წარმოქმნა. აქვე უნდა ადინიშნოს, რომ ორსაწვავიან ძრავად კონკერტირებულ დიზელის ძრავები ჭვარტლის კონცენტრაცია წვის პროდუქტებში უფრო ნაკლები იქნება, ვიდრე ბაზურ ძრავაში, რადგან ტრანსაწვავიან ძრავად კონკერტირებული დიზელი ბაზურთან შედარებით ნებისმიერ შემთხვევაში მოიხმარს გაცილებით ნაკლებ თხევად საწვავს, რომელიც ჰეტეროგენული წვისას ჭვარტლის წარმოქმნის ძირითადი წყაროა; ამასთან, მუშაობს ჰაერის სიჭარბის უფრო მაღალი კოეფიციენტის პირობებში და ხასიათდება ცილინდრში მუშა ტანის ლოკალური ტემპერატურების შემცირებული მნიშვნელობებით.

მართლაც, თუ ცილინდრის მოცულობის ლოკალური ზონების უმეტესობას ახასიათებს ჰაერის სიჭარბის ლოკალური კოეფიციენტი $\alpha > 0,7$ -ზე, ხოლო ლოკალური ტემპერატურა $T < 1500$ K ან $T > 1900$ K (რადგან ტემპერატურის ინტერვალის მნიშვნელობა – 1500 K $< T < 1900$ K – არის ინტენსიური ჭვარტლწარმოქმნის „კრიტიკული ფანჯარა“), მაშინ გამონაბოლქვ აირებში ჭვარტლის კონცენტრაცია გაცილებით ნაკლებია [2, 6]. ბაზურ ძრავასთან შედარებით სამუშაო ციკლის სარეალიზაციო ორსაწვავიან ძრავებში მითითებული ლოკალური პარამეტრებით უფრო მეტი შესაძლებლობა არსებობს. გარდა ამისა, უნდა აღინიშნოს, რომ ორსაწვავიანი ძრავას ზემოაღნიშნული მე-2 და მე-3 უპირატესობები ხელს უწოდს წვის პროდუქტებში აზოტის უანგელულების შემცირებას.

ორსაწვავიან ძრავად კონვერტირებულ დიზელს აირიან ძრავად კონვერტირებულ დიზელთან შედარებით ის უპირატესობა აქვს, რომ ორსაწვავიანი ძრავას შემთხვევაში შესაძლებელია ძრავას გაჩერების გარეშე თრსაწვავიანი (აირდიზელური) პროცესიდან დიზელზე (თხევადზე) გადასვლა და პირიქით. ამასთან, არც კონვერტირებაა რთული, რადგან საჭიროა ძრავას აღჭურვა აირის ისეთი აპარატურით, რომელსაც იყენებენ ნაპერწყლური ანთების აირიან ძრავებში.

ბუნებრივი აირით კონვერტირებული დიზელის კონსტრუქციის აუცილებელი ცვლილებები მოცემულია ცხრილში.

ცხრილი

ბუნებრივი აირით კონვერტირებული დიზელის კონსტრუქციის ცვლილებები

აირის ძრავა	ორსაწვავიანი ძრავა
ანთების ხერხი	
ელნაპერწყლური, ჩირალდნული ანთება	დიზელის საწვავის ამნთები დოზა
ნარევი	
პომოგენური	პეტეროგენული
აუცილებელი კონსტრუქციული ცვლილებები	
1. ბუნებრივი აირისა და ჰაერის ნარევის წარმოსაქმნელად შემშვებ სისტემაში შემრევის დაუწენება;	1. ბუნებრივი აირისა და ჰაერის ნარევის წარმოსაქმნელად შემშვებ სისტემაში შემრევის დაუწენება;
2. დეტრაციური წვის თავიდან ასაცილებლად კუმშვის ხარისხის შემცირება (მიიღწევა დაუშვის კონსტრუქციის და დაუშვის მოთავსებული წვის კამერის ფორმის ცვლილებით);	2. ამნთები დოზის მიწოდების მახასიათებლებისა და ხანგრძლივობის მიხედვით დიზელის არსებული საწვავმიმწოდებელი სისტემის მორგება წინსწრების კუთხისა და წნევის საჭირო მნიშვნელობებისათვის;
3. წვის კამერაში ფრქვევანას ნაცვლად ამნთები სანთლის დაყენება.	3. ამნთები დოზის მიწოდებისათვის დამატებითი ფრქვევანების დაყენება.

ამრიგად, ბუნებრივი აირით დიზელების კონვერტირების ორი სხვადასხვა კონცეფციის შედარებითი ანალიზით დადასტურდა ორსაწვავიანი ძრავას შემთხვევაში კონცეპტუალური მიდგომის უპირატესობა.

ლიტერატურა—REFERENCES—ЛИТЕРАТУРА:

- Галышев Ю. В., Магидович Л. Е. Перспективы применения газовых топлив в ДВС // Двигателестроение, № 3. М., 2001, с. 31–35.
- R. Basshuysen, F. Schäfer (Hrsg.). Handbuch Verbrennungsmotor. Grundlagen, Komponenten, Systeme, Perspektiven. aktualisierte und erweiterte Auflage. Vieweg & Sohn Verlag, Wiesbaden, 2007.
- R. Pischinger, G. Krassnig, G. Taučar, Th. Sams. Thermodynamik der Verbrennungskraftmaschine. Wien-New-York: Springer-Verlag, 1989.
- Кавтарадзе Р. З. Теория поршневых двигателей. Специальные главы. М.: МГТУ им. Н.Э. Баумана, 2008.
- T. Lieuwen, V. Yang, R. Yetter Synthesis Gas Combustion. Fundamentals and Applications. New-York: CRC Press, 2009.
- G. Merker, Ch. Schwarz, G. Stiesch, F. Otto. Verbrennungsmotoren. Simulation der Verbrennung und Schadstoffbildung. Auflage. Stuttgart, Leipzig, Wiesbaden: Teubner-Verlag, 2010.

სააგრძნელო შიგაწვის ძრავების ეპოლოგიური მაჩვენებლების
გაუმჯობებების გზები

რ. ქავთარაძე, მ. ღლონტი, თ. ნატრიაშვილი

(ნ. ბაუმანის სახელობის მოსკოვის სახელმწიფო ტექნიკური უნივერსიტეტი, რ. დვალის მანქანათა
მექანიკის ინსტიტუტი)

რეზიუმე: სტატიაში განხილულია შიგაწვისძრავებიანი სავტომობილო ტრანსპორტის ეპოლოგიური და ენერგეტიკული პრობლემების ერთდროული გადაჭრის გზები ძრავას თერმოდინამიური ციკლის თავისებურებების, საექსპლუატაციო პირობებისა და სოციალური პრობლემების გათვალისწინებით.

XXI საუკუნის პირველი ნახევრისათვის საკითხის გადაჭრის ყველაზე მისაღებ და რაციონალურ გზადაა მიჩნეული საგტომობილო შიგაწვის ძრავას კვების წყაროდ ბუნებრივი აირის გამოყენება. ნაშრომში გაანალიზებულია თანამედროვე დიზელების ბუნებრივ აირზე გადაყვანის გზები და ნაჩვენებია დიზელის ორსაწვავიან ძრავად კონვერტირების უპირატესობები.

მიუხედავად იმისა, რომ ავტომობილებში ელექტროამძრავების გამოყენება სულ უფრო პოპულარული ხდება, საგტომობილო ტრანსპორტში შიგაწვის ძრავები კიდევ დიდხანს შეინარჩუნებს დამკვიდრებულ ადგილს. შესაბამისად, აქტუალურია ყველა იმ დონისძიების გატარება, რომელიც ხელს შეუწყობს მათ მიერ ატმოსფეროს გაჰუჭყიანების შემცირებას.

ECOLOGY

THE WAYS OF IMPROVEMENT OF THE AUTOMOBILE TRANSPORT ECOLOGICAL INDICES

R. Kavtaradze, M. Glonti, T. Natriashvili

(N. Bauman Moscow State Technical University, R. Dvali Institute of Machine Mechanics)

Resume: There are considered the ways of simultaneous solution of the ecological and power problems of the automobile transport equipped with internal combustion engines, taking into account features of the engine thermodynamical cycle, operational conditions and social problems.

Use of the natural gas for feeding the automobile internal combustion engines is considered, as the most acceptable and rational way of solution of the problem for the first half of the XXI century. The ways of conversion of modern diesels on the natural gas are analyzed in the work and advantages of conversion of the diesel into double-fuel engine are shown.

In spite of the fact, that use of electro- driver in automobiles becomes more and more popular, it is shown, that internal combustion engines will retain a dominant position in the automobile transport for a long time. Consequently, elaboration of all these measures which will promote decrease of the environment pollution by them, is actual.

ЭКОЛОГИЯ

ПУТИ УЛУЧШЕНИЯ ЭКОЛОГИЧЕСКИХ ПОКАЗАТЕЛЕЙ АВТОМОБИЛЬНЫХ ДВИГАТЕЛЕЙ ВНУТРЕННЕГО СГОРАНИЯ

Р. Кавтарадзе, М. Глонти, Т. Натриашвили

(Московский государственный технический университет им. Н.Э. Баумана, Институт механики машин им. Р. Двали)

Резюме: В статье рассмотрены пути совместного решения экологических и энергетических проблем автомобильного транспорта, оснащенного двигателями внутреннего сгорания, с учетом особенностей термодинамического цикла двигателя, эксплуатационных условий и социальных проблем.

В первой половине XXI века самым приемлемым и рациональным решением вопроса считается применение природного газа для питания двигателей внутреннего сгорания. В работе проанализированы пути перевода современных дизелей на природное топливо и показаны преимущества конвертирования дизеля на двухтопливный двигатель.

Несмотря на то, что использование электродвигателей в автомобилях с каждым днем становится все более и более популярным, в автомобильном транспорте двигатели внутреннего сгорания еще долго сохранят свое господствующее положение. Поэтому пока актуально решение тех мероприятий, которые способствуют снижению загрязнения атмосферы.

**ქ. თბილისის ჭერიტორიაზე მდინარეების (ვერე, დიღმულა, ბლდანულა) წყლის
სარისხის შეზასხვა***

**გ. ზეიკიძე, ს. ინვია, ლ. ხურცია, დ. მჭედლიშვილი, მ. ბერიშვილი, ლ. გოგალაძე,
თ. გიგაური, რ. გაფრინდაშვილი, ნ. ბუაჩიძე**

(საქართველოს ტექნიკური უნივერსიტეტის ჰიდრომეტეოროლოგიის ინსტიტუტი, ვ. კომაროვის
თბილისის ფიზიკა-მათემატიკის 199-ე საჯარო სკოლა)

საკვლევი მდინარეების – მდ. მტკვრის მცირე შენაკადების (ვერე, დიღმულა, ბლდანულა)
შესწავლის აუცილებლობა განპირობებულია იმით, რომ ისინი მდ. მტკვარს უერთდებიან
დედაქალაქის ტერიტორიის ფარგლებში და თითოეულ მათგანზე აისახება ქ. თბილისის გავლენა.
გასათვალისწინებელია ის ფაქტიც, რომ მათზე მრავალი წლის განმავლობაში არ განხორციელებულა
ეკოლოგიური მონიტორინგი. აქედან გამომდინარე, ამ მდინარეების თანამედროვე ეკოქიმიური
მდგომარეობის შეფასებას ძალზე დიდი მნიშვნელობა აქვს.

მდ. ვერეზე შერჩეულ იქნა დაკვირვების სამი წერტილი: ქვედა კვეთი (მდ. მტკვრის შესართავთან),
შუაკვეთი (ვაკე-საბურთალოს ტერიტორია) და ზედა კვეთი (შუა კვეთიდან 2 კმ-ის დაშორებით), ხოლო
დიდმულასა და გლდანულაზე – თითო-თითო წერტილი მდ. მტკვრის შესართავთან.

პორტატიული გადასატანი აპარატის საშუალებით მდინარეების ნაპირებზე იზომებოდა წყლის
ფიზიკურ-ქიმიური მაჩვენებლები (pH, ტემპერატურა, ელექტროგამტარობა, მარილიანობა და წყალ-
ში გახსნილი ჟანგბადი), ხოლო ლაბორატორიულ პირობებში ტარდებოდა აღგილზე აღებული
წყლის საანალიზო ნიმუშებში ჰიდროქიმიური (მთავარი იონები, ბიოგერური ელემენტები, მძიმე
ლითონები) და მიკრობიოლოგიური (ეშვრისია კოლი, ტოტალური კოლიფორმები, ფეკალური
სტრეპტოკოკები) ანალიზები.

საკვლევი ინგრედიენტების განსაზღვრა ხდებოდა თანამედროვე ISO სტანდარტის (პლაზმურ-
ემისიური, იონ-ქრომატოგრაფიული და მემბრანული ფილტრაციის) მეთოდებით. შედეგები მოცემულია
1-ლ და მე-2 ცხრილებში.

მიღებული მონაცემების საფუძველზე შეიძლება დავასკვნათ, რომ სამივე საკვლევი მდინარის
მდგომარეობა ფიზიკურ-ქიმიური მაჩვენებლების მიხედვით, დამაკმაყოფილებელია (ცხრილი 1).
თუმცა მდ. ვერეს შუა კვეთში ელექტროგამტარობის მაჩვენებელი საკმაოდ მაღალია (1250 მს/სმ).
ჰიდროქიმიური მაჩვენებლებიდან თავიანთ ზღვრულად დასაშვებ კონცენტრაციებს (ზღვ) გადა-
აჭარბა ამონიუმის იონის და ჟანგბადის ბიოლოგიური მოთხოვნილების (ჟბმ) შემცველობება იმ
მდინარეთა წყალში, რომლებიც განსაკუთრებულად სენსიტიურია ფეკალიებით გაჭუჭყიანების
მიმართ.

* პროექტი განხორციელდა შოთა რუსთაველის სახელობის საქართველოს ეროვნული სამეცნიერო ცონდის ფინანსური ხელშეწყობით (გრანტი №59/06). წინამდებარე პუბლიკაციაში გამოთქმული ნებისმიერი აზრი ეგუთვნით ავტორებს და შესაძლებელია არ ასახავდეს შოთა რუსთაველის სახელობის საქართველოს ეროვნული სამეცნიერო ცონდის შეხედულებებს.

ცხრილი 1

მდ. მტკვრის მცირე შენაკადების (ვერე, დიღმულა, გლდანულა)
ფიზიკურ-ქიმიური მაჩვენებლები (2014 წ.)

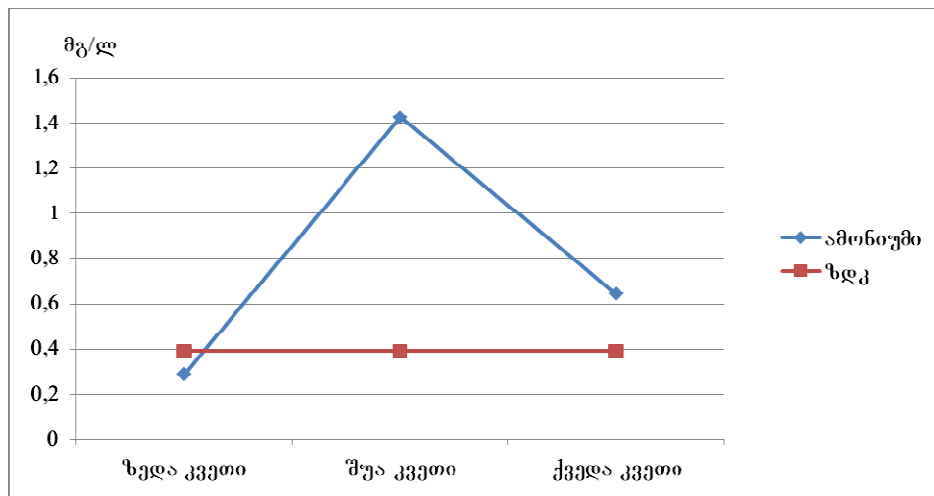
№	წყლის აღების ადგილი	ტემპერა- ტურა, $t^{\circ}\text{C}$	pH	გახსნილი ჟანგბადი, მგლ	ელექტრო- გამტარობა, მსმ/სმ	მარილიანობა, %
1	მდ. ვერე (ზედა კვეთი)	10.2	7.82	4.65	269	0.01
2	მდ. ვერე (შეა კვეთი)	11.7	8.42	3.85	1250	0.06
3	მდ. ვერე (ქვედა კვეთი)	12.1	8.15	4.54	650	0.03
4	მდ. დიღმულა (ქვედა კვეთი)	12.9	7.92	3.61	645	0.03
5	მდ. გლდანულა (ქვედა კვეთი)	12.2	8.44	4.65	470	0.02

ცხრილი 2

მდ. მტკვრის მცირე შენაკადების (ვერე, დიღმულა, გლდანულა) ჰიდროქიმიური
მონაცემები (2014 წ.)

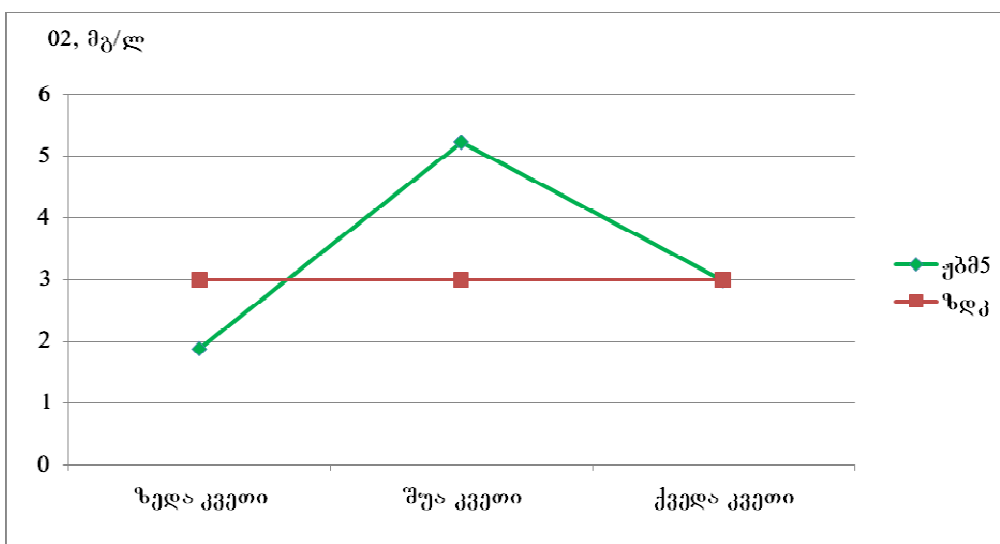
განსასაზღვრავი ინგრედიენტები	მდ. ვერე (ზედა კვეთი)	მდ. ვერე (შეა კვეთი)	მდ. ვერე (ქვედა კვეთი)	მდ. დიღმულა (ქვედა კვეთი)	მდ. გლდა- ნულა (ქვედა კვეთი)
ჟბმ ₅	1.88	5.22	2.98	3.15	2.66
ნიტრიტის აზოტი, მგN/ლ	0.005	0.030	0,036	0.026	0.006
ნიტრატის აზოტი, მგN/ლ	0.24	1.12	1.18	1.14	0.80
ამონიუმის აზოტი, მგN/ლ	0.290	1.425	0.645	0.742	0.502
ფოსფატი, მგ/ლ	0.002	0.002	0.005	0.003	0.002
სულფატები, მგ/ლ	18.2	20.6	22.2	21.2	18.0
ქლორიდები, მგ/ლ	1.99	2.2	2.2	2.8	2.0
ჰიდროკარბონატი, მგ/ლ	108	118	128	111	119
კალიუმი, მგ/ლ	1.1	1.2	1.2	1.2	1.0
ნატრიუმი, მგ/ლ	6.2	7.2	8.8	8.2	7.0
კალციუმი, მგ/ლ	24.8	26.9	32.5	28.4	25.5
მაგნიუმი, მგ/ლ	6.0	6.0	6.5	7.2	7.0
რკინა, მკგ/ლ	0.065	0.098	0.172	0.088	0.077
თუთა, მკგ/ლ	8.8	9.9	11.2	8.6	9.2
სპილენი, მკგ/ლ	7.6	8.0	8.8	7.2	8.5
ტყვია, მკგ/ლ	0.001	0.001	0.001	0.002	0.001

უნდა აღინიშნოს ის ფაქტი, რომ ამ შემთხვევაშიც, მაღალი კონცენტრაციები დაფიქსირდა მდ. ვერეს შუა კვეთში (1-ლი და მე-2 ნახ-ები).



ნახ. 1. ამონიუმის იონის კონცენტრაციის ცვლილების დინამიკა მდ. ვერეს წყალში (2014 წ.)

წყალში Na^+ -ის მაღალი კონცენტრაცია K^+ -ის შემცველობებითან შედარებით (თითქმის 6–8-ჯერ აღემატება) აისხება იმით, რომ K^+ არის მეტად საჭირო პროდუქტი მცენარეთა საფრისათვის და მისი ათვისება ხდება უფრო დიდი ინტენსიურობით, ვიდრე Na^+ -ის. K^+ -ც ასევე უფრო მტკიცედაა შთანთქმული ნიადაგში არსებულ კომპლექსებში, ხოლო Ca^{++} -ის შემცველობის მატება წყალში დინების მიმართულებით გამოწვეულია საქართველოს ნიადაგების სპეციფიკურობით (ანუ ნიადაგში Ca^{++} -ის მაღალი შემცველობით) და, შესაბამისად, მათი წყალში გასხნისას კონცენტრაციების გაზრდით. რაც შეეხება მძიმე ლითონებს, მათი სხნადი ფორმების შემცველობები წყალში მცირეა და ვერ აღწევს მათ ნდპ-ებს, რასაც განაპირობებს წყლის pH-ის მაღალი მაჩვენებლები (6,5–8,5). ამ დიაპაზონში მიმდინარეობს მათი პიდროლიზი და ისინი პიდროქსიდების სახით ილექტიან ფსკერულ ნალექებში, ანუ გადანაწილდებიან წყალში, შეტივტივებულ ნაწილაკებზე და სედიმენტებში. მე-3 ცხრილში მოცემულია ვერეს, დიღმულასა და გლდანულას წყლის მიკრობიოლოგიური ანლიზის შედეგები.



ნახ. 2. ჟბმ5-ის კონცენტრაციის ცვლილების დინამიკა მდ. ვერეს წყალში (2014 წ.)

**მდინარეების (გერე, დიდმულა, გლდანულა)
წყლის მიკრობიოლოგიური ანალიზის შედეგები (2014 წ.)**

სინჯის აღების ადგილი	ტოტალური კოლიფორმები 1 ლ-ში	E.CoLi 1 ლ-ში
მდ. ვერე (ზედა პვეთი)	82000	3500
მდ. ვერე (შუა პვეთი)	137000	68000
მდ. ვერე (ქვედა პვეთი)	28500	15000
მდ. დიდმულა	15000	10000
მდ. გლდანულა	12400	7500
მაჩვენებლის მნიშვნელობა ნდ-ს მიხედვით	—	არა უმეტეს 5000

მე-3 ცხრილიდან ნათლად ჩანს, რომ როგორც ტოტალური კოლიფორმების, ასევე E.Coli-ის კონცენტრაციები განსაკუთრებულად მაღალია მდ. ვერეს შუაპვეთში, თუმცა ყველა სხვა შემთხვევაშიც მათი შემცველობები მაინც მომატებულია.

მიღებული მონაცემების საფუძველზე შეიძლება დაგასკვნათ, რომ მდ. მტკვრის სამივე შენაკადი ფერადური გაჭუჭყიანების საფრთხის შემცველია, ხოლო განსაკუთრებული ანთროპოგენური დატვირთვით გამოირჩევა მდ. ვერეს შუა პვეთი (ვაკე-საბურთალოს მონაკვეთი), რომელიც იყო ჩვენი კვლევის ერთ-ერთი ობიექტი.

ლიტერატურა—REFERENCES—ЛИТЕРАТУРА:

1. Фомин Г.С. Вода: Контроль химической, бактериальной и радиационной безопасности по международным стандартам // Энциклопедический справочник «Протектор». М., 2010.
2. Фомин Г.С. Почва: Контроль качества и экологической безопасности по международным стандартам. Справочник. «ВНИИстандарт», М., 2000.
3. Руководство по химическому анализу поверхностных вод суши / Под ред. А.Д. Семёнова. Л.: Гидрометеоиздат, 1997.
4. Гидрохимические показатели состояния окружающей среды / Под ред. Т.В. Гусевой. М.: ФОРУМ: ИНФРА, 2010.

ქ. თბილისის ტერიტორიაზე მდინარეების (ვერე, დიგმულა, გლდანულა) ყყლის ხარისხის შევასება

გ. ზეიკიძე, ს. ინვია, ლ. ხურცია, დ. მჭედლიშვილი, მ. ბერიშვილი, ლ. გოგალაძე,
თ. გიგაური, რ. გაფრინდაშვილი, ნ. ბუაჩიძე

(საქართველოს ტექნიკური უნივერსიტეტის ჰიდრომეტეოროლოგიის ინსტიტუტი, ვ. კომაროვის
თბილისის ფიზიკა-მათემატიკის 199-ე საჯარო სკოლა)

რეზიუმე: სტატიაში განხილულია მდ. მტკვრის ზოგიერთი შენაკადის (ვერე, დიგმულა, გლდანულა) ეკოლოგიური მდგრამარეობა. სამივე შენაკადზე შერჩეულ იქნა დაკვირვების წერტილები. შედგა გამჭუჭყიანებელი კომპონენტების ნუსხა და, შესაბამისად, მათი წყალში განსასაზღვრავი მეთოდიკები. საკვლევი მდინარეების სარისხი შეფასდა კომპლექსურად. გაზომილ იქნა წყლის ფიზიკურ-ქიმიური მაჩვენებლები, ჰიდროქიმიური სიდიდეები და ასევე იმავე შესასწავლ სინჯებში ჩატარებულ იქნა მიკრობიოლოგიური ანალიზები. მიღებული მონაცემების საფუძველზე დაფიქსირდა მდ. ვერეზე საქმაოდ გაჭუჭყიანებული მონაკვეთი, რაც დადასტურდა კიდევ უკელა გამოყენებული ანალიზის საშუალებით.

ECOLOGY

ESTIMATION OF WATER QUALITY OF THE RIVERS (VERE, DIGMULA, GLDANULA) ON THE TERRITORY OF TBILISI

**G. Zeikidze, S. Invia, L. khurtsia, D. Mchedlishvili, M. Berishvili, L. Gogaladze, T. Gigauri,
R. Gaprindashvili, N. Buachidze**

(Institute of hidrometeorology of Georgian Technical University, V. Komarov Tbilisi Phisico-Mathematical Public
School №199)

Resume: There was considered ecological condicjon of some inflows (Vere, digmula, gldanula) of the river Mtkvari. Observation points was selected on all there inflows. There was worked out the schedule of polluting components and their determinative methods in the water.

The quality of research rivers was estimated in complex, which is reflected in the fact, that in water was measured the physical-chemical features, hydrochemical parameters and also microbiological parameters. Respectively, on the basis of the obtained data It can be said, that the area of the river Vere was quite polluted, which was confirmed with full chemical and microbiological researches.

ЭКОЛОГИЯ

ОЦЕНКА КАЧЕСТВА ВОДЫ РЕК (ВЕРЕ, ДИГМУЛА, ГЛДАНУЛА) НА ТЕРРИТОРИИ Г.ТБИЛИСИ

**Г. Зекидзе, С. Инвия, Л. Хурция, Д. Мчедлишвили, М. Беришвили, Л. Гогаладзе,
Т. Гигаури, Р. Гаприндашвили, Н. Буачидзе**

(Институт гидрометеорологии Грузинского технического университета, 199-ая физико-математическая
государственная школа им. Комарова)

Резюме: Рассмотрено экологическое состояние некоторых притоков (Вере, Дигмула и Глданула). На всех трех притоках были выбраны точки наблюдения. Была составлена опись компонентов, загрязняющих воды этих рек, и предложена методика их определения. Комплексно была оценена степень их загрязнения: были измерены физико-химические показатели этих вод, также их пробы, проведен микробиологический анализ. На основе полученных данных зафиксирован довольно загрязненный отрезок реки Вере, что подтвердили все использованные анализы.

ლგარცოფული ხასიათის ძირითადი წყალსადინარები და მათი მთავარი პარამეტრები

ზ. ჭარბაძე

(საქართველოს ტექნიკური უნივერსიტეტის წყალთა მეურნეობის ინსტიტუტი)

ლგარცოფული ხასიათის წყალსადინარები მათი განსხვავებული პიდროლოგიური და პიდრავლიკური რეჟიმების გამო გარემოზე ნებატიური ხასიათის ზემოქმედებით მკვეთრად განსხვავდება წვეულებრივი მთის მდინარეების კალაპოტებისაგან. გარდა იმისა, რომ ისინი დიდი რაოდენობის და ხშირად კატასტროფული ხასიათის მყარი ჩამონადენით ზიანს აყენებენ გარემოს, გამოირჩევიან შენობა-ნაგებობებზე ზემოქმედების არაორდინალური ბუნებით და კალაპოტში გადაადგილების ძნელად პროგნოზირებადი ხასიათით. ამგვარი ნაკადები შეიძლება გაჩერდეს თვით წყალსადინარის სატრანზიტო ზონაშიც, ამასთან, გააგრძელოს მოძრაობა ნარიყის კონუსამდე და თავად მთავარი მდინარის შესართავამდეც კი. ლგარცოფების ამგვარი მოქმედება საგრძნობლად ართულებს მათ წინა-აღმდეგ ეფექტურად ბრძოლას – იქნება ამის საჭიროება სათავეში, სატრანზიტო ზონაში თუ ნარიყის კონუსის მიღამოებში [1, 3].

ლგარცოფების წინააღმდეგ ბრძოლის არსებული გამოცდილება ამ შემთხვევაში ცალსახად ანიჭებს უპირატესობას სხვადასხვა ზომისა და კონსტრუქციის ნაკადდამჭერი კაშხალების, ნაკადმიმ-მართველი კედლების, ლგარცოფგამტარებისა და სხვ. ანალოგიური დანიშნულების ნაგებობების პიდროტექნიკურ ღონისძიებებს, რომელთა შერჩევა ხდება ლგარცოფული ნაკადის სახეობის, ადგილმდებარეობის სპეციფიკისა და თვით დასაცავი ობიექტის კატეგორიის გათვალისწინებით [4, 5]. პირველ რიგში აუცილებელია მიმდებარე ტერიტორიაზე მოსახლეობის, ხოლო შემდგომ საქომუნიკაციო ხასიათის ობიექტების: სარკინიგზო ხაზები, საავტომობილო გზების, მაღალი ძაბვის ხაზებისა და წყალსამეურნეო დანიშნულების ნაგებობების უსაფრთხოების უზრუნველყოფა.

ამ მოსაზრებიდან გამომდინარე, განსაკუთრებულ ყურადღებას საჭიროებს ისეთი მკვეთრად გამორჩეული ლგარცოფული ხასიათის წყალსადინარები, როგორიცაა მდ. დურუჯი, თელავის ხევი, ანთოცის ხევი, მდ. არაგვის ხეობის ცალკეული შენაკადები დუშეთის ხევის, ჩოხელთ ხევის, ნადიბანთ ხევის, არახევეთის ხევისა და მლეთის ხევის სახით; აგრეთვე მდინარეები ლასკადურა და ხელედულა ქვემო სვანეთში, ნაღვარევის ხევი და სხალთის ხევი მთიან აჭარაში.

აღნიშნულ წყალსადინარებში ლგარცოფული აქტიურობის შესამცირებლად (მათ სრულ გაუვნებლებაზე ლაპარაკიც კი არ შეიძლება) მიმართავენ როგორც კაპიტალური, ისე პალიატიური და დროებითი ხასიათის ღონისძიებებს, რისთვისაც გამოკვლეული და შეფასებული უნდა იქნეს იმ წყალსადინართა ძირითადი გეომეტრიული, პიდროლოგიური თუ პიდრავლიური პარამეტრები, რომელთა სწორი შერჩევაც მნიშვნელოვნად განაპირობებს ლგარცოფსაწინადო ღონისძიებების წარმატებით გატარებას. ამგვარი პარამეტრებია: წყალსადინარის წყალშემკრები აუზის ფართობი, წყალსადინარის მაქსიმალურ და მინიმალურ ნიშნულთა სხვაობა, კალაპოტის სიგრძე, საშუალო ქანობი, მყარი ჩამონადენის საშუალო წლიური მოცულობა, პიდრონაგებობების განთავსება და ა.შ [4, 5, 6]. უნდა ადინიშნოს, რომ მსოფლიოს ლგარცოფების გავრცელების რეგიონებში თუ სადმე საჭიროა ლგარცოფსაწინადო ღონისძიებების გატარება, ამის ყველაზე მეტი აუცილებლობა საქართველოშია, მაგრამ ისინი ისე უმნიშვნელო რაოდენობითად და იმდენად მცირე ტერიტორიებს მოიცავს, რომ საკმარისი არ არის არსებული ლგარცოფსაშიში სიტუაციების განსამჟებავად. ლიტერატურული წყაროებისა და

ჩატარებული სამეცნიერო კვლევების ანალიზის მიხედვით ნათელია, რომ საქართველოს ტერიტორიაზე ამ მიმართებით ნაკლებადაა შესწავლილი რაჭის რეგიონი და მდ. რიონის შენაკადები, რომლებსაც დიდი ზიანი მოაქვს როგორც მოსახლეობისათვის (არაერთხელ დაფიქსირებულა ადამიანთა მსხვერპლიც კი), ასევე სოფლის მეურნეობისა და საკომუნიკაციო ქსელებისათვის.

რაჭის რეგიონის ძირითადი მდინარეები რიონი. მდ. რიონი მიედინება მთის ღრმა ხეობაში. მას სათავიდან სოფ. გლოლამდე სამხრეთ აღმოსავლეთის მიმართულება აქვს, გლოლიდან ქ. ონამდე – დასავლეთის მიმართულება, ონის შემდეგ კი ძირითადად სამხრეთისკენაა ორიენტირებული. ხეობა ამ უბანზე ძირითადად V-სებრი, ალაგ-ალაგ ტრაპეციისებრია. მისი სიგანე ფსკერის გასწვრივ 0.1-დან 0.4 კმ-მდე იცვლება, სხვა შემთხვევაში კი 0.4–1.5 კმ-მდეა. სათავიდან პირველი ოცი ქმ-ის მანძილზე მისი სიგანე ზოგჯერ 50 მ-მდეც მცირდება. ხეობის ფერდობები უმეტესად დამრეცია, ზოგან ჩაზნექილ-ამოზნექილი. შენაკადები უმეტეს შემთხვევაში დვარცოფული ხასიათისაა, მათ გამოაქვთ დიდი რაოდენობით მყარი მასალა და შესართავებთან ქმნიან გამოზიდვის კონუსებს [3]. ხეობის ტრაპეციისებრ ნაწილში გვხვდება ტერასები. მათი სიგანე სოფლებთან (დები, ჭირა) შეადგენს 250 – 300 მ-ს; ქ. ონთან და სოფლებთან (ნიგზნარა, სორი, სევა) – 300 – 500 მ-ს; სოფ. ჭირას კი – 300 – 600 მ-ს. 5 კმ სიგრძისა და 0.5 – 0.8 კმ სიგანის ყველაზე დიდი ტერასა არის მდინარის მარჯვენა სანაპიროზე სოფ. კვაცხეუთა და სოფ. ბოსტანას შორის. ხეობაში ტერასების სიმაღლე იცვლება ძირითადად 2 – 3 მ-დან 3 – 6 მ-მდე. გამონაკლისია 10–25 მ-მდე სიმაღლის ტერასები (ქ. ამბოლაური, სოფ. ბოსტანა). ტერასები აგებულია აღუვიურ-დელუვიური დანალექებით, რომლებიც გადაფარულია თიხნარი ნიადაგებით, სადაც განთავსებულია სახნავი მიწები, ვენახები, ხეხილის ბალები და დასახლებული პუნქტები. წყალდიდობებისა და წყალმოვარდნების დროს მდინარის ჭალები იფარება 0.3–0.5 მ სიმაღლის, იშვიათ შემთხვევაში კი 0.5 – 0.8 მ სიმაღლის წყლის ფენით. მდინარის კალაპოტის სიგანე სათავიდან ქ. ქუთაისამდე იცვლება 6 მ-დან (მდ. სახნავის წყლის შესართავი) 62 მ-ის ფარგლებში (სოფ. უონეთი), ხოლო წყლის ნაკადის სიღრმეა 0.5 – 3.6 მ-მდე; სიჩქარეები – 0.7 – 1.5 მ/წმ-დან 2 – 4,2 მ/წმ-მდე. მდინარის უდიდესი ქანობია (86.8 %) სათავესთან, უმცირესი კი (3.5%) – სოფ. ოფურჩეთთან. კალაპოტის ფსკერი უსწორმასწოროა და 10%-ზე მეტი დახრილობის შემთხვევაში გვხვდება 2 მ-დე დიამეტრის მქონე ლოდები. აღნიშნულ უბანზე მდ. რიონის ძირითადი პიდრავლიკური მასასიათებლები მოცემულია 1-ლ ცხრილში.

ცხრილი 1

მდ. რიონის ზოგიერთი შენაკადის ხეობის აღწერილობა რაჭის ტერიტორიაზე

მახასიათებლები	კვეთები					
	სოფ. დები	სოფ. გლოლა	სოფ. უწერა	ქ. ონი	სოფ. ხიდიკარი	სოფ. ალანა
წყალშემკრები აუზის ფართობი, კმ ²	222	629	707	1060	2010	2230
აუზის საშუალო სიმაღლე, მ	2370	2420	2400	2260	2040	1810
საშუალო მრავალწლიური ხარჯი, მ ^{3/წ.}	10.3	27.9	30.6	43.6	73.8	102
მაქსიმალური ხარჯი, მ ^{3/წ}	46.3	125	–	191	350	569
ჩამონადენი, მ ³ /წ.	3,1	–	–	–	61	–

მდ. ნაცარულა სათავეს იღებს მყინვარ ნაცარულადან ზ. დ. 2878 მ სიმაღლეზე. იგი წარმოადგენს მდ. რიონის მარცხენა შენაკადს და უერთდება მას სოფ. გლოლამდე 1 კმ-ით ზემოთ.

მდინარის სიგრძე 14 კმ-ია, საერთო ვარდნა – 1728 მ, საშუალო დახრა – 123,4 %, წყალ-შემკრები აუზის ფართობი – 52 კმ², აუზის საშუალო სიმაღლე ზ. დ. – 2435 მ. წყალ-შემკრები აუზში, რომელიც კაგასიონის ქედის სამხრეთ ფერდობზეა განთავსებული, მდინარეთა ქსელი ნაკლებადაა განვითარებული. თითქმის ყველა შენაკადი მის ზემო წელში მდებარეობს და სათავეს უშუალოდ მყინვარებიდან იღებს. რელიეფი ძლიერ დანაწევრებულია ღრმა ხეობებით და წარმოდგენილია გლაციალური ფორმებით, სადაც ძირითადი ქანებია გრანიტები და გნეისები. ხეობის ფერდობის დახრილობა აღემატება 30%-ს. მათი ზედაპირი მთელ სიგრძეზე ძლიერ ეროზირებულია და დახრამულია ეროზიული ჩაჭრებით, რომელთა შესართავებთან ქვა-დორდისაგან შექმნილია გამოზიდვის კონცენტრი. მდინარის კალაპოტი უსწორმასწოროა და ჩახერგილია ქვის ლოდებით, რომელთა დიამეტრი 0.7–1.5 მ-ია.

მდ. ჭანჭახი სათავეს იღებს მყინვარ ჭანჭახიდან ზ. დ. 2660 მ-ზე. იგი მდ. რიონის მარცხენა შენაკადია და უერთდება მას სოფ. გლოლიდან 0,5 კმ-ით ზემოთ 1110 მ-ის სიმაღლეზე. მდინარის სიგრძე 20 კმ-ია, საერთო ვარდნა – 1550 მ, საშუალო დახრილობა – 77,5 %, წყალ-შემკრები აუზის ფართობია 185 კმ², ხოლო საშუალო სიმაღლე ზ. დ. – 2500 მ. მდინარეს ერთვის 34-მდე შენაკადი, რომელთა საერთო სიგრძე 131 კმ-ია. მდინარეთა ქსელის სისქირეა 0,71. წყალ-შემკრები აუზი 2000 მ-ის ზემოთ წარმოდგენილია ალპური მდელოებით, რომლებსაც ქვემოთ მოჰყვება სუბალპური მცენარეულობის ვიწრო ზოლი. აუზის დანარჩენი ნაწილი კი დაფარულია შერეული ტყით, სადაც ჭარბობს წიწვოვან მცენარეთა ჯიშები. მდინარის ხეობა სათავე ნაწილში ვარცლისებრი ფორმისაა, შემდგომ დებულობს V-სებრ ფორმას, ხოლო კურორტ შოვის ქვემოთ მართკუთხედს ემსგავსება და ასეთად რჩება შესართავამდე. ხეობის სიგანე ზედა კიდეზე ხშირად იცვლება. სათავესთან მისი სიგანეა 1500 მ, შემდეგ თანდათან მცირდება 450 მ-მდე, შესართავისაკენ ისევ ფართოვდება 800 – 850 მ-მდე. ხეობის ძირი სათავესთან საშუალოდ 30-40 მ-ია. ზოგ ადგილებში მისი სიგანე მცირდება 4–6 მ-მდე და მთლიანად ეთმობა კალაპოტს. ის შესამჩნევად ფართოვდება 120–550 მ-მდე შესართავისაკენ, სადაც ხეობას სწორკუთხა ფორმა აქვს. ფერდობის დაქანება უმეტეს შემთხვევაში 25–40%-ია, ზოგ შემთხვევაში კი 60%-ს აღწევს. ფერდობებზე ხშირია ეროზიული ღრმულები. კურორტ შოვთან მარჯვენა სანაპიროზე იწყება 400–500 მ სიგანის ტერასა, რომელიც დინების მიმართულებით ვიწროვდება და სოფ. გლოლის ზემოთ 2 კმ-ში გადადის მარცხენა სანაპიროზე. იქ, სადაც მარცხენა სანაპიროს ტერასა ვიწროვდება (სოფ. გლოლა), ვითარდება 150 – 200 მ სიგანის მარჯვენა სანაპიროს ტერასა და ასე გასდევს მდინარეს შესართავამდე. ხეობის ფსკერის მიმდებარე ფერდობებზე ხშირია გრუნტის წყლების გამოღინება მინერალური წყლების სახით (განსაკუთრებით კურორტი შოვის მიდამოებში). მდინარის სათავესთან ჭალა არ გვხვდება. შეა და ქვემო წელში კი შეინიშნება 10 – 15 მ სიგანის ჭალა ვიწრო ზოლების სახით, რომლის სიგანე შესართავთან ფართოვდება 60 მ-მდე. წყალდიდობებისა და წყალმოვარდნების ღროს ჭალები იტბორება 0,2–0,7 მ სიღრმეზე; შესართავთან დატბორვის სიღრმე 1,5 მ-ია. წყლის ნაკადის მოძრაობის სიჩქარის დალებადობა კალაპოტში – 1,5 – 4 მ/წ.

წყალდიდობები დამახასიათებელია წყლის თბილი პერიოდისათვის. მდინარის წყლის დონის მატება იწყება აპრილის თვეში და თავის მაქსიმუმს აღწევს მაისში. ამ პერიოდში შეინიშნება წვიმებით და დღე-დღამური ტემპერატურული რყევებით გამოწვეული წყალმოვარდნებიც. ივლისის შემდეგ იწყება მდინარის წყლის ღრინის თანდათანობითი კლება, რაც გრძელდება სექტემბრის ბოლომდე, თუმცა, არც თუ ისე იშვიათად, აღინიშნება შემოღვიმის წვიმების წყალმოვარდნებიც. წყლის მაქსიმალური დონეა 15 მ სათავეებთან, 1,3 მ – სოფ. გურმევეკასთან, 1,8 მ – კურორტ შოვთან, 2,5 მ – ბუბისწყლის შესართავის ქვემოთ და 2,8 მ – სოფ. გლოლასთან. კატასტროფული წყალმოვარდნების ღროს წყალი გადმოდის ჭალებში, რეცხავს ნიადაგს და ანგრევს ხიდებს. საშუალო წლიური ხარჯი

იცვლება 6.18 მ³/წ-დან 7.72 მ³/წ-მდე. საშუალო თვიური ხარჯია 17.3 მ³/წ, წელის მაქსიმალური ხარჯი – 34.2 მ³/წ. მდინარეს დიდი რაოდენობის ნატანი მოაქვს მაისიდან აგვისტოს ჩათვლით. მისი საშუალო თვიური სიღიდე შეადგენს 3.3 და 7.9 კგ/წ-ს. უდიდესი საშუალო თვიური სიღიდეა 260 კგ/წ. (1950 წ.), უდიდესი საშუალო სიმძლავრე კი შეადგენს 15000 გრ/მ³-ს.

მდ. საკათ (საკაურა) სათავეს იღებს დაქსუმის ქედის აღმოსავლეთ ფერდობზე ზ. დ. 2940 მ-ზე და ჩაედინება მდ. რიონში სოფ. ლაგვანთასთან. მისი სიგრძეა 30 კმ, საერთო ვარდნა – 2121 მ, საშუალო ქანობი – 77.0 %, წყალშემკრები აუზის ფართობი – 169 კმ², აუზის საშუალო სიმაღლე ზ. დ. – 2000 მ. მდინარეს აქვს 13 შენაკადი. მათი საერთო სიგრძეა 45 კმ (თითოეული მათგანი ნაკლებია 10 კმ-ზე), მდინარეთა ქსელის სიხშირეა 0.46. წყალშემკრები აუზი ასიმეტრული ფორმისაა და მერიდიანული მიმართულება აქვს. მთიანი რელიეფი გამოირჩევა მკვეთრი მოხაზულობით, წარმოდგენილია კლდოვანი მწვერვალებით, რომლებიც აღწევს და აჭარბებს კიდევ 3000 მ-ს. მდინარის შესართავთან რელიეფი შედარებით დადაბლებულია (1200 – 1300 მ) და ინარჩუნებს ძლიერ დანაწევრებულ სახეს. გეოლოგიური თვალსაზრისით აუზი ძირითადად წარმოდგენილია კრისტალური ქანებით, მდინარის ქვემო წელში კი ჭარბობს კირქვები. ძირითადი ქანები გადაფარულია ტფის სხვადასხვა ნიადაგით.

მცენარეული საფარი, რომლითაც დაფარულია ხევები და მდინარეთა ხეობები, ძალზე მრავალფეროვანია. 2000 მ-ზე მაღლა გავრცელებულია ალპური მდელოები, რომლებიც რელიეფის დადაბლებასთან ერთად იცვლება სუბალპური მცენარეებით. მის ქვემოთ კი შერეული ტყეებია კარგად განვითარებული ქვეტყით. მთელი ტერიტორიის 50 % ტყეს უკავია. მდინარე მიედინება ღრმა, V -სებრი ფორმის ხეობაში, რომელიც უმეტესად ტყითაა დაფარული. ზოგიერთ ადგილას ხეობა ღებულობს ტრაპეციის ფორმას.

ფერდობები მთელი მდინარის სიგრძეზე დახრილია 30 – 50 %-ით, იშვიათ შემთხვევაში 60%-ით (სოფ. ხიდეშლები). ფერდობთა ძირი ავიწროებს ხეობას 5–10 მ-მდე. ზოგ ადგილას (სოფ. ხიდეშლების ქვემოთ) ხეობის ძირი ფართოვდება და ორივე ნაპირზე წარმოდგენილია ტერასები, რომლებიც ცალკეული წვეტებით ვრცელდება შესართავამდე. ტერასების სიგანე ძირითადად 14–20 მ-ია, სიმაღლე – 2–2.5-დან 5–6 მ-მდე. მათი დახრილობა როგორც განივი, ისე გრძივი მიმართულებით 1 – 4%-ია. მდინარის მთელ სიგრძეზე თითქმის არ გვხვდება ჭალა. ის მხოლოდ სოფ. ლაგვანთის რაიონშია და აქვს 80 მ-მდე სიგანე და 0.2 – 0.3 მ სიმაღლე. ჭალის ზედაპირი უსწორმასწოროა და ძლიერაა დატვირთული მსხვილი ქვის ლოდებით და კლდის ნატეხებით. წყალდიდობების დროს ჭალა მთელ სიგანეზე იფარება 0.8 – 1 მ-მდე სიმაღლის წყლის ფენით. მდინარე აქ განშტოებების გარეშე მიედინება. მხოლოდ სოფ. ლაგვანთასთან იყოფა კალაპოტი ორ ტოტად და წარმოიქმნება 100 მ სიგრძის, 40 მ სიგანისა და 0.5 მ სიმაღლის კუნძული. წყალდიდობებისა და წყალმოვარდნების დროს კუნძული წყლით იფარება. წყლის სიღრმე მდინარეში იცვლება 0.3–0.5 მ-დან 1.2 მ-მდე, დინების სიჩქარე კი – 0.8 მ/წ-დან 1.6 მ/წ-მდე.

წლის თბილი პერიოდი ხასიათდება ზამთარში დაგროვილი თოვლის მარაგის დნობით. წყალდიდობა იწყება აპრილის პირველ რიცხვებში, პიკს აღწევს მაის-ივნისში და გრძელდება სექტემბრის დასაწყისამდე. თავსხმა წვიმებით გამოწვეული დონეების მკვეთრი ცვალებადობა შეიმჩნევა აგვისტო-სექტემბერსა და ოქტომბერში. მდინარის საშუალო წლიური ხარჯი სოფ. ლაგვანთასთან წარმოადგენს 7.65 მ³/წ-ს, ხოლო მისი შესაბამისი ხამონადენის მოდული ტოლია 45.5 ლ/წ კმ²-ისა; უდიდესი ხარჯის სიღიდე კი შეადგენს 52.0 მ³/წ-ს (1953 წ.).

მდ. ჯეჯორა წარმოიქმნა რამდენიმე მყინვარული ნაკადულისაგან კავკასიონის მთავარი ქედის სამხრეთ-დასავლეთ ფერდობზე ზ. დ. 2119,7 მ-ის სიმაღლეზე და ერთვის მდ. რიონს ქ. ონთან 768 მ სიმაღლეზე. მდინარის სიგრძეა 50 კმ, საერთო ვარდნა – 1352 მ, საშუალი დახრილობა – 27%, წყალშემკრები აუზის ფართობი – 438 კმ², მისი საშუალო სიმაღლეა ზ. დ. 1865 მ, ძირითადი შენაკადებია გრამულა (სიგრძე 16 კმ) და ქვედრულა (სიგრძე 19 კმ). გარდა ამისა, მდინარეს აქვს 87 მცირე შენაბადი საერთო სიგრძით 147 კმ. წყალშემკრები აუზი სიმეტრიული ფორმისაა, რომლის

სიგრძე 52–53 კმ-ია, სიგანე – 10 კმ. წყალშემკრები აუზის ზედაპირი წარმოდგენილია მკვეთრად დანაწევრებული რელიეფით და მაღალი მწვერვალებით. მთავარი მდინარისა და მისი შენაკადების ხეობები ძალზე ჩაღრმავებულია. მდინარეთა სათავეებთან კარგადაა შენარჩუნებული მყინვარული ფორმები. ჩაღრმავებებში ჩაწოლილია 7,29 კმ² საერთო ფართობის მუდმივი თოვლი. მდინარის შუა და ქვემო წელში ბეგრანაა განვითარებული კარსტული ადგილები. გეოლოგიური თვალსაზრისით წყალშემკრებ აუზში გავრცელებულია პორფირიტული ქანები და წარმოდგენილია ბრექჩიებითა და ტუფებით, აგრეთვე კირქვებით. ნიადაგის საფარი ძირითადად წარმოდგენილია თიხნარებით, რომლებშიც პატარა ქვების მინარევებია. მცენარეული საფარი ატარებს მკვეთრად გამოხატულ ზონალურ ხასიათს. მდინარის ხეობის ზედა ნაწილი უმეტესად V -სებრი ფორმისაა. ცალკეულ მონაკვეთებზე კი – ტრაპეციული ფორმის. V -სებრი ხეობის ფსკერი ძალზე ვიწროა (5–30 მ), ხოლო ტრაპეციისებრი ფორმის ხეობა ფართოა და 400 – 700 მ-მდე სიგანისაა. ხეობათა ფერდობები უმეტეს შემთხვევაში ამოზნექილია და დიდი ქანობით (20–60 %) ხასიათდება. სოფლების – ლეთისა და აკვსელტის რეგიონში შენაკადები ქმნის 0.6 – 0.8 კმ სიგრძის და 0.7 – 1.0 კმ სიგანის მძლავრ გამოზიდვის კონცენტრაციის გამოყენების მიზანის საფარი 10-დან (ზედა და შუა დინებასთან) 400 მ-მდე (სოფ. კიროვთან). მათი ზედაპირის ნაწილი მოხსნულია, ნაწილი კი ტყესა და ბუჩქნარს უკავია. მდინარეს აქვს ჭალა სოფ. კიროვსა და შეუბანს შორის, აგრეთვე შესართავთან, რომელთა სიგანე იცვლება 70 – 250 მ-მდე. ტერასების ქვა-დორდიანი ზედაპირი უმეტესად მოსწორებულია. წყალმოვარდნების პერიოდში ჭალები იფარება 0.3 – 1.4 მ-მდე სიმაღლის წყლით. მდინარის კალაპოტი მდ. ქვედრულას შესართავს ქვემოთ იტოტება და წარმოქმნება 4 – 300 მ საერთო სიგრძისა და 1 – 1.3 მ სიმაღლის კუნძულები. წყალდიდობებისა და წყალმოვარდნების დროს ეს კუნძულები წყლით იფარება. მდინარის ნაკადის სიგანე მერყეობს 2-დან (სათავე) 20 მ-მდე (შესართავი), სიჩქარე იცვლება 1.2-დან 3 მ/წმ-მდე. დონეთა რეჟიმს ახასიათებს გაზაფხულ-ზაფხულის წყალდიდობა და წყალმოვარდნები. დონეების მატება იწყება მარტში და გრძელდება აგვისტომდე. მაქსიმალური დონე ფიქსირდება მაისში, წვიმისმიერი წყალმოვარდნები – შემოდგომაზე. მდინარის მყარი ნატანის რეჟიმი იცვლება წყლის რეჰიმთან შესაბამისობაში და მაქსიმალურ მნიშვნელობას აღწევს გაზაფხულ-ზაფხულის წყალდიდობისას. წლიური მყარი ნატანის ოდენობა შეადგენს 16 000 ტ-ს.

მდ. ლუხუნი სათავეს იღებს მცირე წყაროდან, რომელიც განთავსებულია ლეჩხუმის ქედის სამხრეთ ფერდობზე ზ. დ. 2650 მ-ზე და უერთდება მდ. რიონს მარჯვენა სანაპიროდან სოფ. წესთან. მდინარის სიგრძე 39 კმ-ია, საერთო ვარდნა – 2038 მ, საშუალო დახრილობა – 52.2 %; წყალშემკრები აუზის ფართობი – 293 კმ², მისი საშუალო სიმაღლე – 1750 მ. ძირითადი შენაკადია ხეორის-წყალი (სიგრძე – 14 კმ). გარდა ამისა, მდინარეს ერთვის 32 მცირე შენაკადი. მათი საერთო სიგრძეა 81 კმ. მდინარეთა ქსელის სიხშირეა 0.5. წყალშემკრებ აუზს აქვს ასიმეტრიული ფორმა. მას ზემო წელში მკვეთრად გამოხატული როგორი ფორმა აქვს წვეტიანი მწვერვალებით და მდინარეთა ღრმა ხეობებით. ზოგიერთ ჩაღრმავებაში მუდმივი თოვლი და ყნულოვანი მასაა ჩაწოლილი. შუა და ქვემო დინებაში ასევე როგორი რელიეფია, მაგრამ შედარებით ნაკლებად დანაწევრებული. აუზის ნიადაგური და მცენარეული საფარი ატარებს მკვეთრად ზონალურ ხასიათს. მდინარის ხეობა ზედა და შუა დინების ზონაში წარმოადგენს ღრმად ჩაჭრილ ხეობას, რომლის ფსკერის სიგანეა 5–7 მ. დანარჩენ ნაწილში ის V -სებრი ფორმისაა და მისი ფსკერის სიგანე შეადგენს 30–40 მ-ს. ფერდობები ძირითადად ამოზნექილია, ქანობი შეადგენს 30–50%-ს. ხეობის ძირში მათი ქანობი მკვეთრად იზრდება და 70–80%-ს აღწევს. მდინარის ჭალა განვითარებულია მხოლოდ ქვემო წელის ზონაში და მოკლებულია მცენარეულ საფარს. წყალდიდობებისა და წყალმოვარდნების პერიოდში იფარება 0.5 – 1 მ-მდე სიღრმის წყლის ფენით. მდინარის სიგანე იცვლება 5 – 12 მ-ის ფარგლებში, სიღრმეები – 0,4 – 1,0 მ-მდე; ნაკადის სიჩქარე – 1 მ/წმ-დან 3 მ/წმ-დე. დონეების რეჰიმი ხასიათდება გაზაფხულის წყალდიდობებით, რომლებიც წარმოიქმნება სეზონური თოვლის და მყინვარების დონ-

ბით. ასევე ხშირია შემოდგომის წყალმოვარდნებიც, რომლებიც გამოწვეულია ხანგრძლივი წვიმებით და ზოგჯერ კატასტროფული ხასიათისაა (1953 წ.).

მდ. რიონისა და ზოგიერთი მისი შენაკადის შესახებ სტატიაში მოყვანილი მსჯელობა არ ასახავს სრულად რაჭის ტერიტორიაზე არსებულ მდინარეებს ქსელში მიმდინარე ღვარცოფული მოვლენების რეალურ სურათს, რადგან ისინი არ წარმოადგენენ წყალშემქრებ აუზებსა და ჩამონადენის არტერიებში მიმდინარე ღვარცოფული მასის ფორმირებისა და მისი გადაადგილების პლასიკურ მაგალითებს.

ადგილობრივი მაცხოვრებლების გამოკითხვის შედეგად დადგენილია, რომ მდ. რიონის სათავიდან ქ. ონამდე არსებობს მცირე ზომის 50-მდე მარჯვენა და მარცხენა შენაკადი, რომლებზეც წარსულში დაფიქსირებული იყო ღვარცოფული პროცესების ფორმირებისა და მასთან დაკავშირებული კატასტროფული მოვლენების განვითარების მრავალი შემთხვევა. ამ შემთხვევებს უკავშირდება ისეთი ნეგატიური შედეგები, როგორიცაა რეგიონში არსებული ინფრასტრუქტურის დაზიანება, მდ. რიონის კალაპოტის გადაკეტვა და ადამიანთა მსხვერპლი. ეს უკანასკნელი ფქტი მიგვანიშნებს ამ შენაკადების და მათი წყალშემქრები აუზების სათანადო კუთხით შესწავლის აუცილებლობაზე, რათა დროულად იქნეს დაგეგმილი და განხორციელებული შესაბამისი პრევენციული დონისძიებები.

ქვეყანაში ღვარცოფული სიტუაციების შეფასების მიზნით და ადგევატური დაცვითი დონისძიებების შესამუშავებლად შექმნილია ცხრილები, სადაც მოყვანილია ღვარცოფული ხასიათის ძირითად წყალსადინართა დასახელება და მათი გეომეტრიული, პიდროლოგიური და პიდრავლიკური პარამეტრები როგორც მთლიანად ღვარცოფული ხასიათის შენაკადებისათვის, ისე ამ შენაკადების ცალკეული უბნებისათვის – ზედა უბანი, სატრანზიტო ზონა და ქვედა უბანი ნარიყის კონუსით, რაც იმის საშუალებას იძლევა, რომ ისინი შემდგომ გამოყენებულ იქნენ ცალკეული ობიექტებისათვის საპროექტო სამუშაოების შესასრულებლად (ცხრილები 2 და 3).

ცხრილი 2

მდ. რიონის ღვარცოფული ხასიათის მარცხენა შენაკადებისა და მათი ცალკეული უბნების (ზედა, სატრანზიტო ზონა და ქვედა ნარიყის კონუსით) ძირითადი პიდრავლიკური მახასიათებლები

ნ ო ვ ე ზ	ერთ-ერთი მარცხენა შენაკადი	აუზის ფართობი, $F (\delta^2)$	შენაკადის სათავის საერთო სიგრძე, $L (\delta)$	სათავის ნიშნული, $\nabla_1 (\delta)$	შესართავის ნიშნული, $\nabla_2 (\delta)$	საშ. ქანობა, $i = \frac{\nabla_1 - \nabla_2}{L}$	უბნის სიგრძე, L_1	უბნის ზედა ნიშნ., ∇_1	უბნის ქვედა ნიშნ., ∇_2	უბნის ქანობი, $i = \frac{\nabla_1 - \nabla_2}{L_1}$	
	1	2	3	4	5	6	7	8	9	10	11
1	–	131	25 000	2400	800	0. 064					
1.1							5000	2400	1860	0.108	
1.2							სატრანზიტო უბანი				
1.3							9000	1860	1330	0.058	
							ქვედა უბანი ნარიყის კონუსით				
							11000	1330	800	0.048	

ფიზიკურ-მექანიკური და რეოლოგიური ხასიათის თვისებების გარდა, ღვარცოფები ჩვეულებრივ წყლის ნაკადებთან შედარებით ხასიათდება 11 – 20 მ/წმ ანომალიური სიჩქარეებით, 5 – 10 მ სიღრმითა და, რაც მთავარია, დამანგრეველი ძალის მქონე დიდი მოცულობის (50 – 90 მ³) ქვებით [2 – 4].

მდ. რიონის ღვარცოფული ხასიათის მარცხენა შენაკადებისა და მათი ცალკეული უბნების (ზედა, სატრანზიტო ზონა და ქვედა ნარიყის კონუსით) ძირითადი პიდრავლიკური მახასიათებლები

N ^o	ერთ-ერთი მარჯვენა შენაკადი	აუზის ფართობი, F (km^2)	შენაკადის საერთო სიგრძე, L (მ)	სათავის ნიშნული, ∇_1 (მ)	შესარ- თავის ნიშნული, ∇_2 (მ)	საშ. ქანობი, $i = \frac{\nabla_1 - \nabla_2}{L}$	უბნის სიგრძე, L_1	უბნის ზედა ნიშნ., ∇_1	უბნის ქვედა ნიშნ., ∇_2	უბნის ქანობი, $i = \frac{\nabla_1 - \nabla_2}{L_1}$
1	2	3	4	5	6	7	8	9	10	11
1	—	37	11 000	2300	800	0.136				
1.1										ზედა უბანი
							3300	2300	1700	0.181
1.2										სატრანზიტო უბანი
							3700	1700	1200	0.135
1.3										ქვედა უბანი ნარიყის კონუსით
							4000	1200	800	0.100

აღნიშნულ თვისებათა არსებობასთან დაკავშირებით ღვარცოფების პიდროლოგიური და პიდრავლიკური გაანგარიშების დროს განსაკუთრებული ყურადღების დირსია მათი ისეთი პარამეტრების დადგენა, როგორიცაა ნაკადის საწყისი წინადობა ძვრაზე, მისი სიღრმე, თვით კალაპოტის კონფიგურაცია გეგმაში და ქანობების მნიშვნელობები კალაპოტის ცალკეულ უბნებზე. თუ ნაკადის საწყისი წინადობა ძვრაზე $\tau_0 > \gamma \cdot i \cdot h_0$, სადაც γ ნაკადის მოცულობითი წონაა, i – კალაპოტის ქანობი და h_0 – ნაკადის გაჩერების სიღრმე, ამ შემთხვევაში ღვარცოფსაწინადო ნაგებობათა პიდრავლიკური გაანგარიშების პრინციპები ძირიელად განსხვავდება ტრადიციული მეთოდებისაგან. ამიტომ ამგვარი გაანგარიშებების განხორციელებამდე აუცილებელია ზემოთ მითითებული მახასიათებლების რაოდენობრივი მნიშვნელობების დადგენა.

ლიტერატურა—REFERENCES—ЛИТЕРАТУРА:

1. Мирцхулава Ц. Е. Опасности и риски на некоторых водных и других системах. Тб., 2003.
2. Натишивили О. Г., Тевзадзе В.И. Работа водного потока по перемещению камня и прогнозирование экологической ситуации в русле горного водотока // Инженерная экология, №5, 2002, с. 34-38.
3. Тавартиладзе Н. Е. Аналитическое определение расхода и средних скоростей потока при ламинарном режиме течения жидкости в каналах со сложными поперечными сечениями // Труды ГПИ, №13(355), Тб., 1989, с. 30-33.
4. Гагошидзе М. С. Селевые явления и борьба с ними. Тб.: Сабчота Сакартвело, 1970.
5. Гавардашвили Г. В., Надарая М. Н. Защита горных ландшафтов от эрозии и селевых потоков // Сообщения АН Грузии, т. 158, №2, Тб., 1998, с. 297-299.
6. Виноградов Ю. Б. Этюды о селевых потоках. Л.: Гидрометиздат, 1980.
7. Гагошидзе М. С. Селевые явления и борьба с ними. Тб.: Сабчота Сакартвело, 1970.
8. Натишивили О. Г., Тевзадзе В.И. Работа водного потока по перемещению камня и прогнозирование экологической ситуации в русле горного водотока // Инженерная экология, №5, 2002, с. 34-38.
9. Натишивили О. Г. О переносе твердых взвешенных частиц турбулентным потоком // Труды Груз.НИИГиМ, вып. 23, 1965, с.159-174.
10. Натишивили О. Г., Тевзадзе В.И. Движение селей и их взаимодействие с сооружениями. Тб., 2001, с.147.
11. Тавартиладзе Н. Е. Аналитическое определение расхода и средних скоростей потока при ламинарном режиме течения жидкости в каналах со сложными поперечными сечениями // Труды ГПИ, №13(355), Тб., 1989.

დგარცოფული ხასიათის ძირითადი შეალსადინარები და მათი მთავარი პარამეტრები

ზ. ჭარბაძე

(საქართველოს ტექნიკური უნივერსიტეტის წყალთა მეურნეობის ინსტიტუტი)

რეზიუმე: სტატიაში განხილულია რაჭის რეგიონში მდ. რიონის დგარცოფული ხასიათის წყალსადინარები. დგარცოფის აქტიურობის შესამცირებლად გამოკვლეულ და შეფასებულ იქნა წყალსადინართა ძირითადი გეომეტრიული, ჰიდროლოგიური და ჰიდრავლიკური პარამეტრები, რაც საჭიროა დგარცოფსაწინაღო დონისძიებების წარმატებით გატარებისათვის.

ENVIRONMENTAL PROTECTION

THE BASIC MUDFLOW TRIBUTARIES AND THEIR MAIN PARAMETERS

Z. Charbadze

(Institute for Water Resources of Georgian Technical University)

Resume: There is discussed the mudflow tributaries of the river Rioni. For the softening of water-course activity there was researched and estimated major geometrical, hydrologic and hydraulic parameters. There are considered anti-scour events that contribute to the functioning of the anti - mudflow.

ОХРАНА ОКРУЖАЮЩЕЙ СРЕДЫ

ОСНОВНЫЕ ВОДОТОКИ СЕЛЕВОГО ХАРАКТЕРА И ИХ ГЛАВНЫЕ ПАРАМЕТРЫ

З. Чарбадзе

(Институт водного хозяйства Грузинского технического университета)

Резюме: Рассмотрены водотоки селевого характера р. Риони. Для смягчения активности селя исследованы и оценены основные геометрические, гидрологические и гидравлические параметры водотоков, которые являются основой для проведения противоселевых мероприятий.

საზოგადოებრივი გეოგრაფია

საქართველოს რეგიონების მოსახლეობის ცხოვრების ხარისხის

საზოგადოებრივ-გეოგრაფიული კვლევის ახალი აღტერნატიული მეთოდების
დამუშავება*

ნ. გავარდაშვილი, ა. გავარდაშვილი

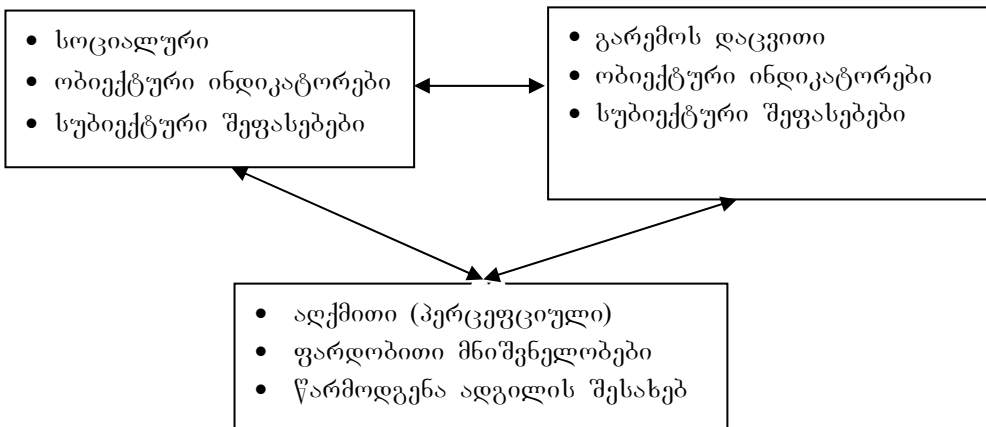
(გარემოს დაცვის ეკოცენტრი)

საერთაშორისო ინდექსები და რეიტინგები ერთ-ერთი საშუალებაა, რომლის მიხედვითაც შესაძლებელია შეფასდეს ამა თუ იმ ქვეყნის პროგრესი სხვადასხვა მიმართულებით. ინდექსი არის ემპირიული მონაცემის ან მონაცემების მიხედვით ფორმირებული მაჩვენებელი, რომელიც მნიშვნელობას იძენს და დროში იცვლება მონაცემების ცვლილების შესაბამისად. ინდექსი წარმოადგენს აბსტრაქტულ ხელოვნურად შექმნილ მოდელს, რომელიც მხოლოდ მიახლოებით შეიძლება ასახავდეს არსებულ რეალობას. ინდექსის ვალიდურობა და მისი ინტერპრეტაცია დამოკიდებულია კვლევისას გამოყენებულ მეთოდოლოგიაზე. ინდექსებზე დაფუძნებული დასკვნების არასწორი განზოგადების თავიდან ასაცილებლად უკრადღება უნდა მიექცეს, თუ რომელ კონკრეტულ საკითხს/სფეროს აფასებს ინდექსი და რა მონაცემებია გამოყენებული მისი გამოთვლისას.

საზოგადოების ცხოვრების ხარისხის შესაფასებლად თანამედროვე მსოფლიოში ბევრი განსხვავებული თუ მსგავსი კონკრეტური, სოციალური და ინტეგრირებული მაჩვენებელი და ინდექსი გამოიყენება. მათ შორის ყველაზე პოპულარულია ცხოვრების დონის ინდექსი, გაეროს ადამიანური განვითარების ინდექსი, ცხოვრების ხარისხის ინდექსი და ა.შ. ამასთანავე, საგრძნობლად იზრდება ცხოვრების ხარისხის, როგორც საზოგადოების მდგომარეობის ამსახველი და ადამიანების მიერ თავისი ცხოვრების სხვადასხვა მხარის სუბიექტური შეფასების მომცველი კომპლექსური მაჩვენებლის როლი. ცხოვრების ხარისხის გლობალური მაჩვენებლის განსაზღვრამ შესაძლებელია ხელი შეუწყოს კაცობრიობის განვითარების სოციალურად მისაღები აღტერნატივების შედარებითს ანალიზს; რა თქმა უნდა, იმ ფაქტორთა ცვლილებების გათვალისწინებით, რომლებიც ცხოვრების ხარისხის მაჩვენებლის მიღებისას გამოიყენება.

ცხოვრების ხარისხი, როგორც ზოგადი ცნება, სხვა განზომილებებთან ერთად აერთიანებს სუბიექტურ და ობიექტურ ინფორმაციას. მოცემულ მოდელში გეოგრაფიული მეცნიერების პოზიციიდან ყველაზე დიდი მნიშვნელობა ენიჭება სამ მიდგომას. ესენია: სოციალური, გარემოს დაცვითი და აღქმითი. თითოეული მათგანი, თავის მხრივ, აერთიანებს მახასიათებლებს, რომლებიც იცვლება უკიდურესად ობიექტურიდან უკიდურესად სუბიექტურამდე. გეოგრაფიული მეცნიერებისათვის მნიშვნელოვანი სამივე ასპექტი წარმოდგენილია კონცეპტუალურ მოდელში (ნახ. 1).

* აღნიშნული პროექტი განხორციელდა შოთა რუსთაველის სახელობის საქართველოს ეროვნული სამეცნიერო ფონდის ფინანსური ხელშეწყობით (პრეზიდენტის სამეცნიერო გრანტი ახალგაზრდა მეცნიერობათვის №52/31 - 2013 წ.). წინამდებარე პუბლიკაციაში გამოთქმული ნებისმიერი აზრი ეკუთვნის ავტორს და შესაძლებელია არ ასახავდეს საქართველოს ეროვნული სამეცნიერო ფონდის შეხედულებას.



ნახ. 1. ცხოვრების ხარისხის კომპონენტები

ზოგიერთი ავტორი (მაგალითად, ჯ. ვეიჯერი) მიიჩნევს, რომ ცხოვრების ხარისხისა და სტანდარტის გამოყვალა სპეციალური ფორმულების საშუალებით ხორციელდება. მათი აზრით, ცხოვრების სტანდარტი წარმოადგენს პროდუქციის საერთო რაოდენობისა და მასზე გაწეული ხარჯების მოსახლეობის საერთო რაოდენობაზე გაყოფის შედეგს, ხოლო ცხოვრების ხარისხი – სამი კომპონენტის ჯამს, რომელშიც შედის ცხოვრების ძირითადი სტანდარტი, მომსახურებათა რაოდენობა და ცხოვრების ხარისხი დროის გარკვეული მონაცემთისათვის, ადამიანთა მიერ დაგროვებული გამოცდილების ხარისხი.

თანამედროვე გეოგრაფიულ მეცნიერებაში სოციალური განვითარებისა და ეკონომიკური ზრდის შედეგად წარმოქმნილი მოვლენის შესწავლიდან მისი, როგორც “ადამიანის შესაძლებლობათა გაფართოების ხელშემწყობი ფაქტორის” გააზრებაზე გადასვლამ, უკანასკნელ ათწლეულებში ცხოვრების ხარისხისადმი ინტერესის ზრდა გამოიწვია. თუმცა სამეცნიერო კვლევათა თეორიულ-მეთოდოლოგიური ბაზის განვითარების დონე ჯერ კიღევ დაბალია. გარდა ამისა, დაზუსტებას ხაჭიროებს ტერმინი “ცხოვრების ხარისხი” და საზოგადოებრივ-გეოგრაფიულ მეცნიერებაში მისი ადგილის განსაზღვრა. კორექტორებას მოითხოვს მოსახლეობის ცხოვრების ხარისხის მონიტორინგის მეთოდები. მცირეა რეგიონულ კვლევათა რაოდენობაც. აღნიშნული საკითხები განაპირობებს ცხოვრების ხარისხის თანამედროვე შესწავლის აქტუალურობას.

თემის აქტუალურობას ზრდის ის ფაქტიც, რომ ჯერჯერობით მსოფლიოში ვერ მოხერხდა იმ ერთიან მასასიათებელთა სისტემის ჩამოყალიბება, რომლის საფუძველზეც შესაძლებელი იქნება მომავალში ცხოვრების ხარისხის ინდექსის განსაზღვრა. მაგალითად, რ. ბაუერის რედაქტორობით გამოსულ შრომათა კრებულში დასახელებულია 12 მაჩვენებელი: პროფესიული განათლების შესაძლებლობები, განათლება ასაკობრივი ჯგუფების მიხედვით, ხმის მიცემის უფლება, საქონლის არჩევანი, ინფორმაცია საერთაშორისო და საწარმოო პრობლემების შესახებ, ცალკეული რეგიონისათვის თავისუფალი დროის მნიშვნელობა, პარკები და სპორტული დაწესებულებანი, სამართლებრივი დაცულობა, მოხმარების საერთაშორისო ფონდები, მოხუცებულთა უზრუნველყოფა, ქალაქების სილამაზე, კომუნალური საკითხების მოგვარებისას მოქალაქეთა ჩართულობა.

საქართველოსთვისაც თემის აქტუალურობა განპირობებულია ცხოვრების ხარისხის, როგორც ძალიან მრავალმხრივი ინდიკატორის, ჩამოყალიბებით, რომელიც ითვალისწინებს არა მარტო ეკონომიკურ მაჩვენებლებს, არამედ ადამიანის საქმიანობისა და ცხოველქედების ისეთ სფეროებს, როგორიცაა პოლიტიკური თავისუფლება, რეგრეაცია, შრომის უსაფრთხოება და ა. შ. ჩვენი

ქვეყნისთვის ამ საკითხის კვლევა კიდევ უფრო აქტუალურია ნაკლებად შესწავლულობისა და მასთან დაკავშირებულ სამეცნიერო კვლევათა სიმცირის გამო.

ცხოვრების ხარისხის ინდექსი საკმაოდ სრულყოფილად გამოხატავს ქვეყანაში არსებულ სოციალურ-ეკონომიკურ, პოლიტიკურ თუ ფსიქოლოგიურ მდგომარეობას. თუმცა, გამომდინარე იქიდან, რომ აღნიშნული ინდექსი გარდა ობიექტურისა, სუბიექტურ და ფსიქოლოგიურ ფაქტორებსაც ითვალისწინებს, ამ უკანასკნელმა შესაძლოა მნიშვნელოვნად შეცვალოს ან დაამახინჯოს სურათი. დღესდღუბით მისი შესწავლა ძირითადად ცალკეული ქვეყნების დონეზე მიმდინარეობს (რამდენიმე გამონაკლისის გარდა). რაც შეეხება ამ მაჩვენებლის საფუძველზე ქვეყნის შიგა რეგიონული სხვაობების გამოვლენას, ეს საკმაოდ იშვიათია ინდექსის მისაღებად სპირო მონაცემების არარსებობის გამო. ასე-თვივე მდგომარეობაა საქართველოში. მსგავსი კვლევა ჩვენს ქვეყანაში ფაქტობრივად არ ჩატარებულა.

ცალკე საკითხად შეიძლება გამოიყოს იმ ინდიკატორების განსაზღვრის საკითხი, რომლებიც ცხოვრების ხარისხის გამოვლისას უნდა იქნეს მხედველობაში მიღებული. ძირითადი სიმნელეა ის, რომ ცხოვრების ხარისხის შემადგენელი ბევრი ელემენტის რაოდენობრივად განსაზღვრა ვერ ხორციელდება.

ჩვენ მიერ რამდენიმე წლის განმავლობაში მიმდინარეობდა ცხოვრების ხარისხის კვლევისა და მისი ინდექსის დათვლის სხვადასხვა ხერხის მოძიება და შესწავლა. უნდა აღინიშნოს, რომ თითქმის ყველა მათგანი ეფუძნებოდა შშრალ სტატისტიკურ ინფორმაციას, რომლის მოპოვებაც მთლიანად საქართველოში და მით უმეტეს მის რეგიონებში, ძალიან როგორი ან თითქმის შეუძლებელი აღმოჩნდა.

კიდევ უფრო რთულია ცხოვრების ხარისხის ინდექსის შემადგენელი ბევრი კომპონენტისთვის რიცხვითი მნიშვნელობების მინიჭება და ცხოვრების ხარისხის ინდექსის ახალი ფორმულის შექმნა, რადგან არც ერთმა გავლენიანმა ორგანიზაციამ, რომელიც აწარმოებს აღნიშნული ტიპის კვლევას, არ გაგვიზიარა ფორმულა. ჩვენ მიერ შესწავლილი ყველა კვლევა თუ ცხოვრების ხარისხის დათვლის მცდელობა ითვალისწინებდა მხოლოდ ობიექტურ სტატისტიკურ ინფორმაციას. არც ერთ მათგანში არ გვხვდება სუბიექტური ფაქტორების გამოყენება. აქვე უნდა აღინიშნოს, რომ ცხოვრების ხარისხი ყველაზე მეტად იმით განსხვავდება სხვა მსგავსი მასასიათებლებისგან (მაგალითად, ცხოვრების დონე), რომ მასში აუცილებლად უნდა აისახოს ადამიანის მიერ თავისი ცხოვრების შემადგენელი კომპონენტების სუბიექტური აღქმა.

გამომდინარე იქიდან, რომ საქართველოში მთლიანი ქვეყნის დონეზეც კი არ არსებობს ბევრი მონაცემი, რომლებიც აუცილებლად უნდა გამოვიყენოთ ცხოვრების ხარისხის ინდექსის დათვლისას, გადავწყვიტეთ, რომ მათგანატიკური მოდელირების საშუალებით შეგვექმნა ცხოვრების ხარისხის ინდექსის დათვლის ალტერნატიული მოდელი, რომელიც სწორედ ადამიანების მიერ გარკვეული საკითხების სუბიექტურ შეფასებებს დაფუძნებოდა. სწორედ ესაა ნაშრომის პიროვნეული. ამისათვის შეირჩა რამდენიმე მნიშვნელოვანი ინდიკატორი (ჩვენს შემთხვევაში ასეთი არის 8). მათ საფუძველზე მოვახდენთ სოციოლოგიურ გამოკითხვას, რომლის დროსაც რესპონდენტებმა 1-დან 5-მდე ქულების მინიჭებით უნდა შეძლონ მათი შეფასება. რესპონდენტების არჩევა შემთხვევითი არჩევითობის პრინციპით მოხდება.

ცხოვრების ხარისხის განსაზღვრისათვის (რომლის ხარისხობრივი და რაოდენობრივი მაჩვენებლები ყოველ წელს იცვლება) ვიყენებთ შემდეგ მათემატიკური მოდელს:

$$Y = f(X_1, X_2, X_3, X_4, X_5, X_6, X_7, X_8), \quad (1)$$

სადაც X_1 სიცოცხლის უსაფრთხოებაა (იგულისხმება ქვეყანაში არსებული კრიმინალური მდგომარეობა, ადამიანზე ძალადობის – მკვლელობის, გაუპატიურების, ყაჩაღობის, ადამიანის გატაცების ფაქტები და ტერორისტული აქტები);

X_2 – ეპოლოგიური პრობლემები (ბუნებრივი ლანდშაფტისა და საცხოვრებელი გარემოს უსაფრთხო მდგომარეობა, გარემოს გაჭუქინება, ბუნებრივი და ტექნოგენური კატასტროფების წარმოშობის რისკი);

X_3 – ჯანდაცვა (სამედიცინო დაზღვევით უზრუნველყოფა, მცირეწლოვანი ბავშვების აცრების მაჩვენებლები, პენიონერთა მდგომარეობა, სამედიცინო მომსახურების ხარისხი);

X_4 – განათლების სისტემის ეფექტურობა (სკოლებში ახალგაზრდების პროცესიული სწავლების დონე და ახალგაზრდა მეცნიერთა განათლების დონის შესაბამისობა საერთაშორისო სტანდარტებთან);

X_5 – გენდერული ვითარება (ქალების/ქაცების მდგომარეობა ოჯახება და საზოგადოებაში, ოჯახი ძალადობა);

X_6 – მოსახლეობის ეკონომიკური მდგომარეობა (საზოგადოების საშუალო ფენის ხელფასების და პენსიების სიახლოეს ქვეყანაში დაფიქსირებულ საარსებო მინიმუმთან, ოჯახის შემოსავლებისა და მოთხოვნილების თანაფარდობა, უმუშევრობის სტატისტიკა და ასაკი, კომუნალური და საგადასახადო მაჩვენებლების, სასურსათო პროდუქტებისა და სამედიცინო მედიკამენტების დირექტლებების თანაფარდობა მინიმალურ ხელფასთან);

X_7 – ქვეყნის სოციალურ-ეკონომიკური მდგომარეობა (ქვეყნის ეკონომიკური და მსოფლიო ბანკთან ურთიერთობა, საერთაშორისო-საინვესტიციო გარემო, ეროვნული ვალუტის ინფლაციის მაჩვენებლები, საერთაშორისო საფინანსო და სავაჭრო ორგანიზაციებში ქვეყნის წევრობა, ქვეყანაში ბიზნესის ხელშემწყობი გარემო, სახელმწიფო გადასახადების მაჩვენებლები);

X_8 – საზოგადოები ადამიანის მდგომარეობა (ქვეყანაში დემოკრატიის დონე), მასშედის (ბეჭდვითი პრესა და რადიო-ტელევიზია) მოქმედების თავისუფლება, დემოკრატიულობა და ობიექტურობა, ტრაფიკინგი, სამოქალაქო საზოგადოების არსებობა, კანონის უზენაესობა.

საქართველოს რეგიონებში მცხოვრები მოსახლეობის სოციალური გამოკითხვის ჩატარებისათვის დამუშავებულ იქნა ბიულეტენი, რომლის შევსების სქემაც მოცემულია ცხრილში.

ცხრილი ბიულეტენის სქემა

ცხლადი ინდიკატორები	X_1	X_2	X_3	X_4	X_5	X_6	X_7	X_8
შეფასება	5	4	5	3	2	4	3	2

პირველ ეტაპზე საქართველოს რეგიონებში (სიღნაღის, დუშეთის, გორის რაიონებში, ქ. რუსთავისა და ქ. ბათუმში) მცხოვრები მოსახლეობის სოციოლოგიური გამოკითხვა (თითოეულში 300 რესპონდენტი) განხორციელდა 2014 წლის 1 მაისიდან 21 მაისამდე. ამჟამად მიმდინარეობს სოციოლოგიური გამოკითხვის შედეგად მიღებული სტატისტიკური რიგის დამუშავებისათვის ალგორითმის შედგენა მისი კომპიუტერზე შემდგომი გამოყენების მიზნით.

ყოველივე ზემოაღნიშნულიდან შეიძლება დავასკვნათ:

- საქართველოს რეგიონებში მცხოვრები მოსახლეობის ცხოვრების ხარისხის დადგენისათვის დამუშავებულია ინფორმაციულ-თეორიული ბაზა და შეფასებულია არსებული მდგომარეობა და თანამედროვე ტენდენციები;
- ცხოვრების ხარისხის შეფასებისათვის დადგენილია მათემატიკური მოდელი, რომელიც შედგება 8 ძირითადი განმსაზღვრელი კომპონენტისაგან;

- საქართველოს რეგიონებში (სიღნაღის, დუშეთის, გორის რაიონები, ქ. რუსთავი, ქ. ბათუმი) 2014 წლის 1 მაისიდან 21 მაისამდე განხორციელდა სოციოლოგიური გამოკითხვა (თითოეულში 300 რესპონდენტი). რესპონდენტების არჩევა მოხდა შემთხვევითი არჩევითობის პრინციპით;
- ცხოვრების ხარისხის განსაზღვრისათვის შედგენილია სტატისტიკური რიგი და მიმდინარეობს კომპიუტერზე მისი დამუშავება.

ლიტერატურა—REFERENCES—ЛИТЕРАТУРА:

1. 6. ბენდელიანი. ადამიანის განვითარება ინდექსის მიღმა: ადამიანზე ორიენტირებული განვითარების შეფასება საქართველოში. განათლებისა და განვითარების პროგრამა. თბ., 2012, გვ. 3.
2. Гавардашвили Н. Г. Математическая модель для оценки качества жизни общества в Республике Армения // Известия Ереванского государственного университета архитектуры и строительства, № 3, Ереван, 2010, с. 91-95.
3. Гавардашвили Н. Г. Оценка качества жизни общества в Республике Азербайджан с применением математического моделирования // Вестник Бакинского государственного университета, № 4, Баку, 2010, с. 171-176.
4. 6. გავარდაშვილი. საქართველოში საზოგადოების ცხოვრების ხარისხის შეფასება ევრისტიკული მოდელირების გამოყენებით // მეცნიერება და ტექნოლოგიები, №1-3, თბ., 2012, გვ. 55-60.
5. 6. გავარდაშვილი. მსოფლიოს საუკეთესო ცხოვრების ხარისხის მქონე ქალაქების ინდექსის განსაზღვრის მათემატიკური მოდელი // მეცნიერება და ტექნოლოგიები, №4-6, თბ., 2012, გვ. 33-39.
6. გ. გოგსაძე. მოსახლეობის გეოგრაფია. თბ.: "საარი", 2008.

საზოგადოებრივი გეოგრაფია

საქართველოს რეგიონების მოსახლეობის ცხოვრების ხარისხის
საზოგადოებრივ-გეოგრაფიული კვლევის ახალი აღტერნატიული მეთოდების
დამუშავება

ნ. გავარდაშვილი, ა. გავარდაშვილი

(გარემოს დაცვის ეკოცენტრი)

რეზიუმე: საქართველოს რეგიონებში (სიღნაღის, დუშეთის, გორის რაიონები, ქ. რუსთავი, ქ. ბათუმი) მოსახლეობის ცხოვრების ხარისხის დადგენის მიზნით 2014 წლის 1 მაისიდან 21 მაისამდე განხორციელდა სოციოლოგიური გამოკითხვა (თითოეულში 300 რესპონდენტი).

რესპონდენტების არჩევა მოხდა შემთხვევებით არჩევითობის პრინციპით, რომლის დროსაც რესპონდენტებმა 1-დან 5-მდე ქვლების მინიჭებით შეაფასეს ცხოვრების ხარისხი.

ცხოვრების ხარისხის განსაზღვრისათვის (რომლის ხარისხობრივი და რაოდენობრივი მაჩვენებლები ყოველ წელს იცვლება) დამუშავდა მათემატიკური მოდელი რვა კომპონენტის გათვალისწინებით. ესენია: სიცოცხლის უსაფრთხოება, ეკოლოგიური პრობლემები, ჯანდაცვა, განათლების სისტემის ეფექტურობა, გენდერული მდგომარეობა, მოსახლეობის ეგონომიკური მდგომარეობა, ქვეყნის სოციალურ-ეკონომიკური მდგომარეობა, საზოგადოებაში ადამიანის მდგომარეობა.

SOCIAL GEOGRAPHY

THE SOCIAL-GEOGRAPHICAL RESEARCH OF QUALITY OF POPULATION LIFE IN THE REGIONS OF GEORGIA WITH THE DEVELOPMENT OF NEW AND ALTERNATIVE RESEARCH METHODS

N. Gavardashvili, A. Gavardashvili

(Environmental Protection Ecocentre)

Resume: With the aim of defining quality of life in the regions of Georgia (Sighnaghi, Dusheti, Gori districts, cities Rustavi, Batumi) the sociological survey was carried out during May 1-21, 2014. 300 respondents were participated in the survey.

The respondents were chosen by random selection. The respondents assessed the criteria defining the quality of life with scores from 1 (the lowest) to 5 (the highest).

With the aim of defining quality of life (its qualitative and quantitative meanings area changing from year to year) the mathematical model containing the following eight components was developed. They are: life security, environmental problems, healthcare quality, education system efficiency, gender status, economic state of population, socioeconomic state of the country, status of a person in the society.

ОБЩЕСТВЕННАЯ ГЕОГРАФИЯ

РАЗРАБОТКА НОВЫХ АЛЬТЕРНАТИВНЫХ МЕТОДОВ ДЛЯ ОБЩЕСТВЕННО-ГЕОГРАФИЧЕСКИХ ИССЛЕДОВАНИЙ КАЧЕСТВА ЖИЗНИ НАСЕЛЕНИЯ ГРУЗИНСКИХ РЕГИОНОВ

Н. Гавардашвили, А. Гавардашвили

(Экоцентр охраны окружающей среды)

Резюме: Для оценки качества жизни населения регионов Грузии (Сигнагский, Душетский, Горийский районы, г. Рустави, г. Батуми) с 1 по 21 мая был проведен социологический опрос населения этих регионов (от каждого региона по 300 респондентов).

Выбор регионов осуществлен по принципу случайного отбора. Респонденты оценили качество жизни по 5-балльной шкале. Для определения качества жизни, качественные и количественные показатели которых изменяются каждый год, разработана математическая модель с учетом восьми компонентов: безопасность жизни, экологические проблемы, здравоохранение, эффективность системы образования, гендерное положение, экономическое положение населения, социально-экономическое положение страны, положение человека в обществе.

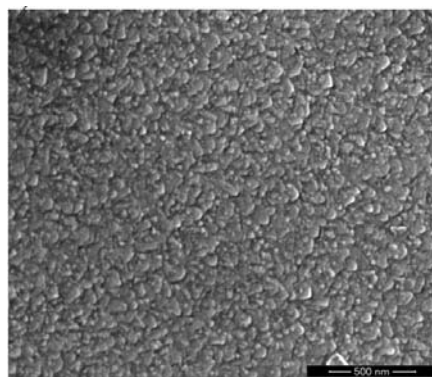
თულიშმის მონოსულფიდის თხელი ფირების ელექტროფიზიკური თვისებაები

მ. ტეტელოშვილი, ზ. ჯაბუა, ა. გიგინეიშვილი

(საქართველოს ტექნიკური უნივერსიტეტი)

იშვიათმიწა ელემენტების მონოსულფიდები მიეკუთვნება მასალათა კლასს, რომლებიც პერსპექტიულია მიკროელექტრონიკისათვის. მათ საფუძველზე შექმნილია მრავალი სელსაწყო: ტენიოგადამწოდები, თერმოგენერაციული, ინფორმაციის ჩატერისა და შენახვის მოწყობილობები და სხვ. ასეთ პერსპექტიულ, ნაკლებად შესწავლილ მასალას მიეკუთვნება TmS (თულიშმის მონოსულფიდი), რომელიც სამარიუმის მონოსულფიდთან ქმნის მყარ სხნარებს, კ.წ. აუკსეტიკებს, რომლებსაც პუასონის კოეფიციენტის უარყოფითი მნიშვნელობა აქვს და, ამდენად, ამ მასალის ყოველმხრივი შესწავლა დღეს ძალზე აქტუალურია.

ჩვენი კვლევის მიზანია თულიშმის მონოსულფიდის თხელი ფირების წინადობის ტემპერატურული კოეფიციენტისა და კონცენტრაციის მახასიათებელი მარცვლის ზომებზე დამოკიდებულების დადგენა. ფირები დაფენილ იქნა სხვადასხვა ფუძეშრებზე ვაკუუმურ-თერმული აორთქლების მეთოდით. ყველა შესასწავლი ფირის სისქე ერთნაირი იყო და შეადგენდა 0.5 მგ-ს, ხოლო მათი მახასიათებელი ელემენტების ზომების მნიშვნელობა იცვლებოდა 8 – 55 ნმ-ის ფარგლებში. სულ შესწავლილ იქნა ექვსი ნიმუში. გამოკვლევებმა ცხადყო, რომ, როდესაც კლასტერების ზომა აღმატება 20 ნმ-ს, მასალას ახასიათებს ნახევარგამტარის ოვისება, ხოლო როდესაც ეს ზომა 20 ნმ-ზე ნაკლებია, მასალას ლითონური გამტარობა აქვს. მახასიათებელი ელემენტების ზომა დამოკიდებულია ფირის ზრდის ტექნოლოგიურ პარამეტრებზე – ფუძეშრის ტემპერატურაზე, საწყისი მასალის სტექიომეტრიასა და დაფენის სიჩქარეზე. 1-ლ ნახ-ზე წარმოდგენილია თულიშმის მონოსულფიდის ზედაპირის სურათი, რომელიც გადაღებულია მაღალი გარჩევის უნარის მქონე სკანირებადი ელექტრონული მიკროსკოპის მეთოდით. სურათის სტატისტიკურმა დამუშავებამ აჩვენა, რომ დამზერილი ელემენტების მახასიათებელი ზომები ტოლია 25 ± 1 ნმ-ისა, რაც იმაზე მიუთითებს, რომ მომზადებული ფირები ნანობიერებს წარმოადგენს.

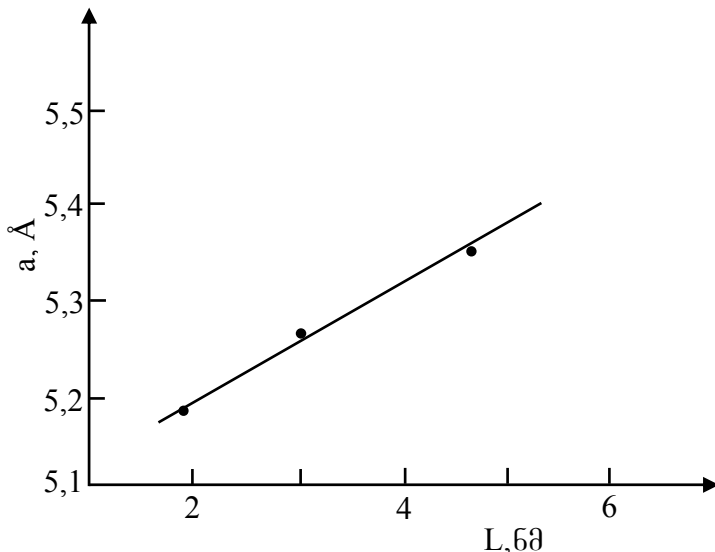


ნახ. 1. TmS (თულიშმის მონოსულფიდის) ფირის ზედაპირის სურათი, რომელიც გადაღებულია მეორეულ ელექტრონებში მაღალი გარჩევის უნარის მქონე სკანირებადი ელექტრონული მიკროსკოპით

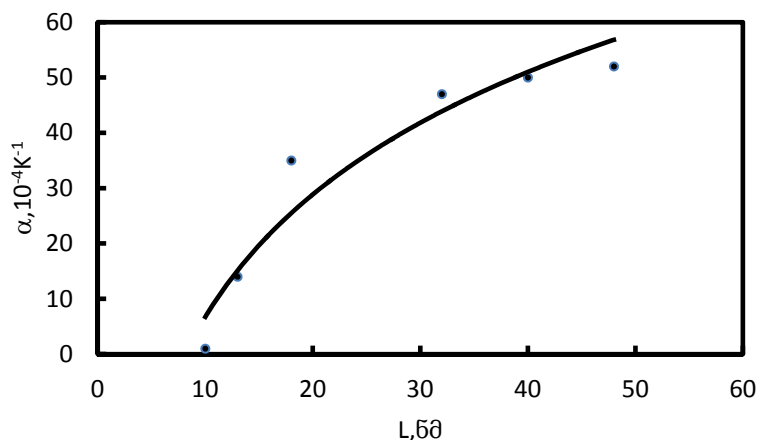
მე-2 ნახ-ზე ნაჩვენებია TmS ფირის გისოსის მუდმივას დამოკიდებულება მახასიათებელი ნაწილაკების ზომებზე. ნახაზიდან ჩანს, რომ მარცვლის ზომების გაზრდით გისოსის მუდმივა

იზრდება, რაც, ალბათ, აიხსნება მათ ზომებზე ზედაპირული დაჭიმულობის ძალების გავლენით ფუ-
ძეშრებზე გამჟარების პროცესის წინ და აირადი ფაზიდან კონდენსაციის შემდეგ: ნაკლები ზომის
ნაწილაკებს შეესაბამება მეტი წნევა, რომელიც წარმოიქმნება ნაწილაკის შიგნით ზედაპირული
დაჭიმულობის ძალების გავლენით [1].

მე-3 ნახ-ზე მოცემულია TmS ფირში ელექტროწინაღობის ტემპერატურული კოეფიციენტის
დამოკიდებულება მარცვლის მახასიათებელი ნაწილაკების ზომებზე ოთახის ტემპერატურის
პირობებში. როგორც ჩანს, ხელი წინაღობის ტემპერატურული კოეფიციენტის ნახტომისებრი
შემცირება მარცვლის მახასიათებელი ზომების შემცირებასთან ერთად.

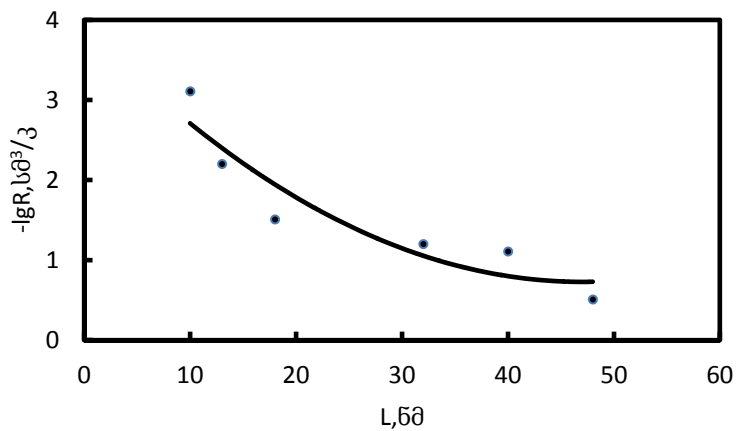


ნახ. 2. გისოსის მუდმივას დამოკიდებულება მახასიათებელი ნაწილაკების
ზომებზე TmS ფირებში

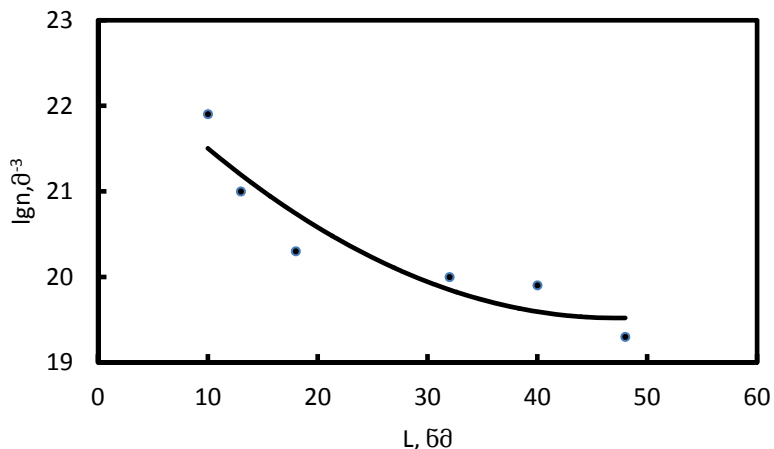


ნახ. 3. ელექტროწინაღობის ტემპერატურული კოეფიციენტის დამოკიდებულება
მახასიათებელი ნაწილაკების ზომებზე TmS ფირებში

მე-4 ნახ-ზე მოყვანილია პოლის მუდმივას დამოკიდებულება მარცვლის მახასიათებელი ნაწილაკების ზომებზე. პოლის მუდმივას ნიშნის მიხედვით შეიძლება დავასკვნათ, რომ ელექტრონები წარმოადგენს მუხტის მატარებლებს. ნახაზიდან ჩანს, რომ მარცვლის ზომების გაზრდა იწვევს პოლის მუდმივას შემცირებას. ერთზონიანი მიახლოებით დათვლილ იქნა ელექტრონების კონცენტრაცია. როგორც მე-5 ნახ-დან ჩანს, მარცვლის ზომების შემცირება იწვევს ელექტრონების კონცენტრაციის მკვეთრ შემცირებას, რაც, თავის მხრივ, ზრდის წინაღობის ტემპერატურული კოეფიციენტის სიდიდეს.



ნახ. 4. პოლის მუდმივას დამოკიდებულება მახასიათებელი
ნაწილაკების ზომებზე TmS ფირებში



ნახ. 5. ელექტრონების კონცენტრაციის დამოკიდებულება
მახასიათებელი ნაწილაკების ზომებზე TmS ფირებში

ამრიგად, თელიუმის მონოსულფიდის თხელი ფირების ელექტრული პარამეტრები დიდად არის დამოკიდებული ფირების შემაღენელი მარცვლების ზომებზე.

ლიტერატურა—REFERENCES—ЛИТЕРАТУРА:

- Погарев С. В., Куликова И. Н., Гончарова Е. В., Романова М. В., Финкельштейн Л. Д., Ефремова Н. Н., Жукова Т. Б., Гарцман К. Г., Смирнов И. А. Исследование тонких плёнок SmS параметрами решётки // ФТТ, т. 23 б, в. 2, 1981, с. 434-439.

თულიუმის მონოსულფიდის თხელი ფირმის ელექტროფიზიკური თვისებები

გ. ტეტელოშვილი, ზ. ჯაბუა, ა. გიგინეიშვილი

(საქართველოს ტექნიკური უნივერსიტეტი)

რეზიუმე: სტატია ეხება თულიუმის მონოსულფიდის თხელი ფირმის ელექტროფიზიკური პარამეტრების დამოკიდებულებას ფირების შემადგენელი მარცვლების ზომებთან. ნაჩვენებია, რომ მარცვლების ზომების შემცირება 55 ნმ-ზე ქვემოთ იწვევს ფირში ელექტრონების კონცენტრაციის მკვეთრ ზრდას, რაც, თავის მხრივ, ამცირებს წინაღობის ტემპერატურულ კოეფიციენტს.

MATERIALS SCIENCE

ELECTROPHYSICAL PROPERTIES OF TULIUM MONOSULFIDE THIN FILMS

М. Teteloshvili, Z. Jabua, A. Gigineishvili

(Georgian Technical University)

Resume: There was investigated dependence of electrophysical parameters of TmS thin films from sizes of characteristic particles. It is shown, that with reduction of the sizes of particles lower, than 55 nanometers increases concentration of electrons of conductivity, that causes reduction of temperature coefficient of resistance.

МАТЕРИАЛОВЕДЕНИЕ

ЭЛЕКТРОФИЗИЧЕСКИЕ СВОЙСТВА ТОНКИХ ПЛЁНОК МОНОСУЛЬФИДА ТУЛИЯ

М. Тетелошвили, З. Джабуа, А. Гигинеишвили

(Грузинский технический университет)

Резюме: Исследована зависимость электрофизических параметров тонких плёнок моносульфида туния от размеров характеризующих частиц. Показано, что уменьшение размера частиц ниже 55 нм вызывает резкое увеличение концентрации электронов, что в свою очередь уменьшает температурный коэффициент сопротивления.

ნაცორმირების გამოყენება ბეტონის ფეროლობიაზი

რ. სხვიტარიძე, პ. კეშელავა, ი. გიორგაძე, შ. ვერულავა

(საქართველოს ტექნიკური უნივერსიტეტი, დ. სამსარაულის სასამართლო ექსპერტიზის ეროვნული ბიურო, კ. ზავრიევის სამშენებლო მექანიკის, სეისმომედყობის და საინჟინრო ექსპერტიზის ცენტრი)

სეისმომედყობი მშენებლობა საქართველოსთვის მეტად აქტუალურია, რადგან იგი სეისმურად მაღალაქტიურ ზონაში მდებარეობს. ასეთ რეგიონებში საიმედო, სეისმომედყობი შენობა-ნაგებობის მშენებლობა უნდა ხორციელდებოდეს ისეთი მასალების გამოყენებით, რომლებიც აკმაყოფილებს გარეველ მოთხოვნებს სიმტკიცისა და სტრუქტურის მხრივ.

მსოფლიოს მრავალ ქვეყანაში, ასევე საქართველოშიც მშენებლობები ძირითადად ხორციელდება მონოლიტური მეთოდით, ოდონდ ჯერჯერობით მხოლოდ საშუალო, C16/20-C45/55 კლასის ბეტონების გამოყენებით, რომელთა მექანიკური სიმტკიცე კუმშვაზე 20 – 55 მპა ფარგლებშია. მოსალოდნელია მშენებლობათა მასშტაბურობის გაზრდა, რასაც აუცილებლად დასჭირდება ახალი თაობის, C45/55 მაღალი კლასის ბეტონები.

პრაქტიკამ ცხადყო, რომ შემთხვევაში მაღალი სიმტკიცის ახალი თაობის ბეტონები ძალიან მყიფეა და მგრძნობიარე ცვალებადი თერმული და მექანიკური ზემოქმედებების მიმართ, ამიტომ საჭირო ხდება მათგან დამზადებული კონსტრუქციების უფრო ხშირი არმირება, რაც ზრდის დეფიციტური და ძვირად ლირებული დათონის არმატურის ხარჯს და მშენებლობის თვითდირებულებას.

კონსტრუქციების (განსაკუთრებული პორიზონტალური კონსტრუქციების) ზედაპირზე ადგილად წარმოქმნება ბზარები (ნახ.1), ხოლო ბეტონის მასაში უკონტროლოდ მცირდება მსხვილი დიატომის ფორებისა და სიცარიელეების რაოდენობა, მაგრამ იზრდება წვრილი ასეთივე ტიპის ფორები და სიცარიელეები, რაც ხელს უწყობს ბეტონის სიმყიფის გაზრდას.

ახალი თაობის მაღალი მექანიკური სიმტკიცის მატარებელი ბეტონები, ისევე როგორც საშუალო და დაბალი სიმტკიცის ბეტონები, ანიზოტროპიულებია სიმტკიცის მაჩვენებლების მიხედვით, რაც ბეტონის ძირითადი უარყოფითი თვისებაა.

ბეტონი XXI საუკუნეშიც რჩება უმთავრეს საშენ მასალად, ამიტომ საჭიროა მისი უარყოფითი თვისებების შესწავლა და აღმოფხვრის მეთოდების ძიება, ხოლო საქართველოს პირობებში ბაზარი უკვე მოითხოვს ახალი თაობის C 45/55-ზე მაღალი კლასის ბეტონების ტექნილოგიების ათვისება-გამოყენებას.



ნახ. 1. ბზარები და დეფექტები პორიზონტალური ბეტონის ზედაპირზე

როგორც უკვე აღვნიშნეთ, ბეტონის უარყოფითი თვისებებიდან ყველაზე პრობლემურია ანიზოტროპიულობა.

ბუნებრივი ქვების, მაგალითად ნალექი წარმოშობის ქანების, მექანიკური სიმტკიცეც ანიზოტროპიულია, მაგრამ მათ სტრუქტურაში პრაქტიკულად არ არის დია და გამჭოლი ფორები და სიცარიელები, ამიტომ მათი მექანიკური სიმტკიცე ღუნვაზე უფრო მაღალია, ვიდრე ცემენტბეტონისა.

ბეტონი ხელოვნური ქვაა, იგი თავისი სტრუქტურითა და გენეზისით ახლოსაა ნალექი წარმოშობის ბუნებრივ ქვებთან.

მაღალი სიმტკიცის ბეტონის მისაღებად მისი სტრუქტურა მაქსიმალურად უნდა დაემსგავსოს ბუნებრივი ქვის სტრუქტურას.

ბეტონის სიმტკიცე კუმშვაზე თითქმის 10-ჯერ აღემატება მის სიმტკიცეს ღუნვაზე და თითქმის 20-ჯერ – სიმტკიცეს გაჭიმვაზე.

ბეტონის მექანიკური სიმტკიცის ანიზოტროპიულობა ამცირებს მისგან აშენებული ნაგებობის ხანგამძლეობასა და სეისმომედგრებას.

მაღალი სიმტკიცის მისაღწევად ბეტონის სტრუქტურა უნდა გათავისუფლდეს მაკროდეფექტებისაგან. ამისათვის სხვადასხვა მიკრონაწილაკის შემცველ მასალებს, მაგალითად ნაცარს ან მიკროსილიციუმს (microsilica), ურევენ ბეტონის სხვა კომპონენტებთან. მიკროსილიციუმის ნაწილაკები (100 ნმ) უფრო წვრილია, ვიდრე ცემენტისა (20–80 მკმ), ამიტომ ისინი ნაწილობრივ შეავსებენ ცემენტის ნაწილაკებს შორის სიცარიელეებს და ეს სუპერ- და ჰიპერპლასტიფიკატორების გამოყენებასთან ერთად (რომლებიც ამცირებს ბეტონის აღუდაბენისათვის საჭირო წყალსა და, შესაბამისად, ფორების წარმოქმნას) ცემენტბეტონის ქვის სტრუქტურას ხდის უფრო ნაკლებფორიანს, მკვრივსა და ერთგვაროვანს.

ბეტონის ქვის ანიზოტროპიულობის აღმოსაფხვრელად აუცილებელია მისი არმირება. პრაქტიკულად ყველაზე გაგრცელებულია ბეტონის პერიოდული პროფილის ლითონის არმატურის (ნახ. 2) ან მავთულბადის გამოყენებით არმირების ჩვეულებრივი და წინასწარ დაძაბული ხერხები.



ნახ. 2. ლითონის არმატურა (ა) და ბადე (ბ)

XX საუკუნის 50-იან წლებში ინგლისში, აშშ-სა და იაპონიაში დაიწყეს ბეტონის ე.წ. „დისპერსიული არმირება”, სხვადასხვა წარმოშობის, მაგალითად ბაზალტის ფიბრის (ნახ. 3), გამოყენებით. ზოგადად „დისპერსიული არმირება” ნიშნავს ბეტონის მოცულობაში თანაბრად განაწილებული 50 მმ-ზე ნაკლები სიგრძის ნებისმიერი მასალისაგან დამზადებული ღეროებით არმირებას. არმირების ამ მეთოდს ზოგჯერ სამგანზომილებიან (3D), ანუ სრულ, მოცულობით არმირებას უწოდებენ.

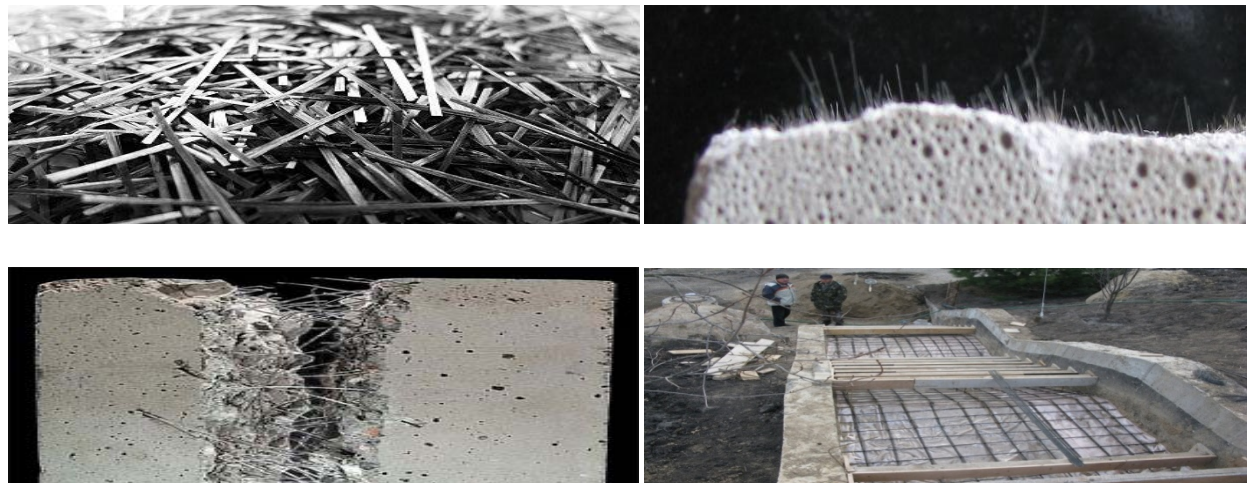
საქართველოში ნაგებობათა მდგრადობის (ხანგამძლეობა, სეისმომედგრება) გაზრდისათვის საჭიროა ახალი თაობის, მაღალი სიმტკიცის C50/60-C100/115 კლასის მოდიფიცირებული (დისპერსიულად არმირებული, ნაკლებფორიანი, ნაკლებზარიანი, ნაკლებმყიფე) სტრუქტურისა და ნაკლებად

ანიზოტროპიული (დუნგა-გაჭიმვაზე მომეტებული სიმტკიცის) თვისებების ბეტონების ტექნოლოგიების შექმნა და მათი გამოყენებით მშენებლობების განხორციელება.

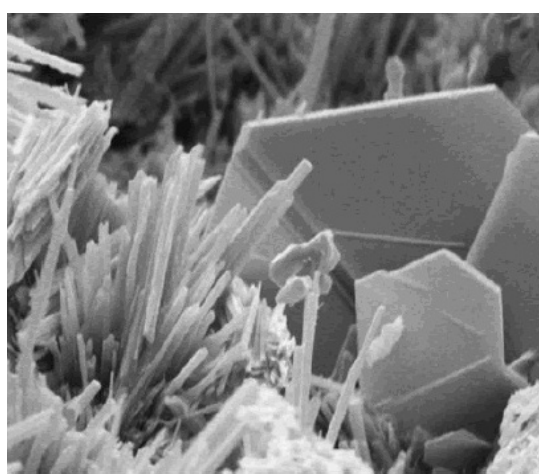
კვლევის მიზანი იყო:

- ახალი თაობის, მაღალი სიმტკიცის C50/60-C100/115 კლასის ბეტონების ტექნოლოგიების შექმნა-ათვისება საქართველოში;
- ნაკლებანიზოტროპიული ბეტონების ტექნოლოგიების შექმნა არმირების ინოვაციური მეთოდების გამოყენებით;
- ნაგებობათა მდგრადობის (ხანგამძლეობა, სეისმომედუგობა) გაზრდა.

სამგანზომილებიანი დისპერსიული არმირების განსახორციელებლად გამოვიყენეთ საქართველოში დამზადებული ბაზალტის ფიბრა (ნახ. 3), ხოლო ინოვაციად მივიჩნევთ სამგანზომილებიან დისპერსიულ არმირებას ნანოდონეზე, რომელიც გულისხმობს ცეოლითური ძაფისა და ნემსისმაგვარი ბოჭკოსებრი ნანოზომების კრისტალების გამოყენებას (ნახ. 4). ამ დროს ერთმანეთში „ჩაიხლართება“ ცეოლითისა და ეტრინგიტის მსგავსი კრისტალოჰიდრატები, რაც ხელს უწყობს თვითნანოარმირების პროცესს.

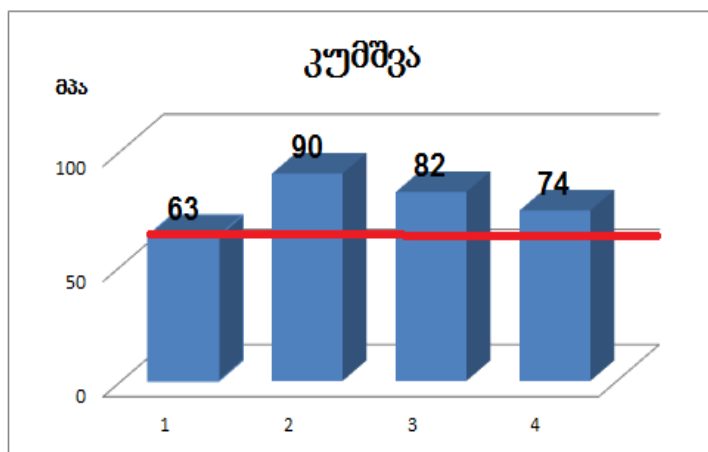


ნახ. 3. საბეტონე ბაზალტის ფიბრა და დისპერსიულად არმირებული ბეტონები

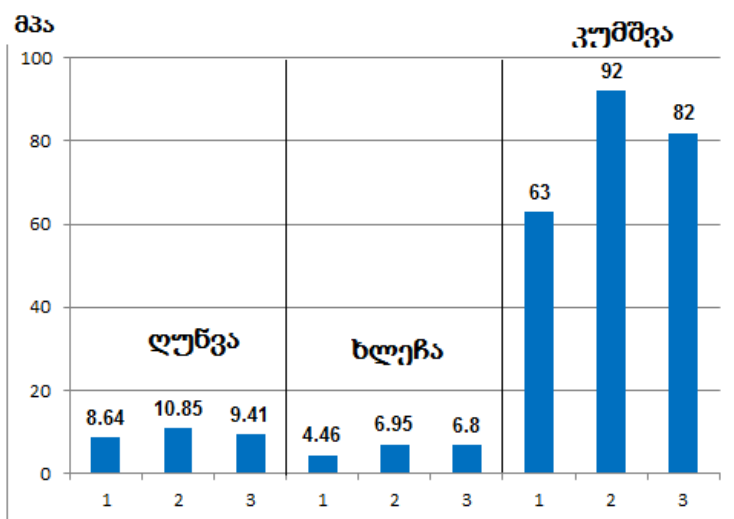


ნახ. 4. ცეოლით-ნატროლიტის და ეტრინგიტის კრისტალები

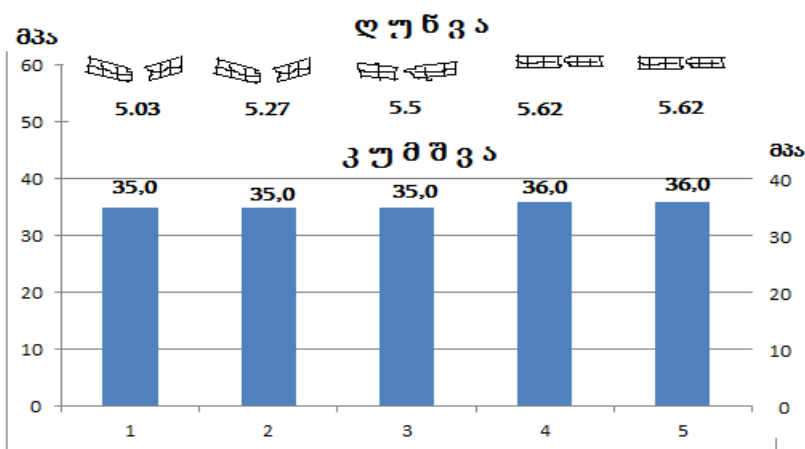
ჩატარებული ექსპერიმენტული კვლევის შედეგები მოყვანილია მე-5, მე-6 და მე-7 ნახ-ებზე, საიდანაც ნათლად ჩანს, რომ ცეოლითური ტუფის დამატება, ისევე როგორც ბაზალტის ფიბრის და თიხაფიქლის დამატება, ზრდის ბეტონის სიმტკიცეს კუმულაზე, დუნგასა და ხლეჩაზე.



ნახ. 5. ახალი თაობის C45/55-ზე მაღალი კლასის ბეტონების გამოცდის შედეგები
 1 – უდანამატო; 2 – ცეოლითის დანამატიანი; 3 – თიხაფიქლის დანამატიანი;
 4 – მიკროსილიციუმის დანამატიანი



ნახ. 6. სხვადასხვა დანამატებით ნანოარმირებული და მოდიფიცირებული სტრუქტურის
 ნაკლებანიზოტროპიული ბეტონები. 1 – უდანამატო; 2 – ცეოლითის დანამატიანი;
 3 – თიხაფიქლის დანამატიანი



ნახ. 7. ბაზალტის ფიბრით მიკროარმირებული და მოდიფიცირებული სტრუქტურის
 ნაკლებანიზოტროპიული ბეტონები. 1 – უდანამატო, 2 – ბაზ. ფიბრ. 6 მმ; 3 – ბაზ. ფიბრ. 12 მმ;
 4 – ბაზ. ფიბრ. 16 მმ; 5 – ბაზ. ფიბრ. 24 მმ

ამრიგად, როგორც საილუსტრაციო მასალიდან ჩანს, სხვადასხვა სილიკატური წარმოშობის დანამატების (ბაზალტი, ცეოლითური ტუფი) გამოყენებამ შექმნა ბეტონის ინოვაციური არმირების შესაძლებლობა, რის საფუძველზეც მუშავდებოდა საქართველოში გზების, აეროდრომების, პიდროვ-ლექტორსადგურების მშენებლობებისათვის აუცილებელი მექანიკური (ღუნვა, კუმულაცია, ცვეთა) და სეისმური, ტემპერატურული (სიცხვა, ყინვა), ქიმიური (გამონაბოლქვი აირები, ანტიშემომყინვი მარილები, ზღვის და მინერალური წყლები) ზემოქმედებებისადმი გაზრდილი მდგრადობის, წყალ- და აირგაუმტარი, ახალი თაობის მოდიფიცირებული ბეტონების ინოვაციური ტექნოლოგიები, რომელიც მოიაზრება:

- ბაზალტის ფიბრით მოდიფიცირებული, მიკროდონეზე სამგანზომილებიანი არმირებული სტრუქტურის, ახალი თაობის C50-60 კლასის ბეტონები;
 - ცეოლითური ტუფიდან დამზადებული აქტივატორით მოდიფიცირებული, ნანოდონეზე სამგანზომილებიანი არმირებული სტრუქტურის ახალი თაობის C50-90 კლასის ბეტონები.
- ზემოაღნიშნული ორი ინოვაციური ტექნოლოგია მზადაა საქართველოში მიმდინარე საგზაო და სხვა ინფრასტრუქტურულ მშენებლობებში პრაქტიკული გამოყენებისათვის.

ლიტერატურა—REFERENCES—ЛИТЕРАТУРА:

1. R. Skhvitaridze. Chemical and Technological Foundations of Development of Clay Shale Containing Cements Production in Georgia // Ceramics, 2(10), 2003, p. 17-23.
2. R. Skhvitaridze, B. Keshelava, I. Giorgadze, G. Tatarashvili. USED OF CEMENTS MODIFIED AT THE NANOLEVEL MINERAL ADDITIVES. 12th International Conference on Mechanics and Technology of Composite Materials (MTCM). Varna, Bulgaria, 22-24 September, 2009, p. 126-129.
3. Wang Jia. Investigation of structure and properties of the interacial zone between Lime Aggregate and Cement Paste // Chin.Silic Soc. N2, 1987, p.114-121.

საშენი მასალები

ნაცორმირების გამოყენება პეტონის ფაქტოლოგიაში

რ. სხვიტარიძე, ბ. კეშელავა, ი. გორგაძე, შ. ვერულავა

(საქართველოს ტექნიკური უნივერსიტეტი, ლ. სამხარაულის სასამართლო ექსპერტის ეროვნული ბიურო; პ. ზავრიევის სამშენებლო მექანიკის, სეისმომედეგობის და საინჟინრო ექსპერტის ცენტრი)

რეზიუმე: სტატიაში ინოვაციას წარმოადგენს სამგანზომილებიანი დისპერსიული არმირების განხორციელება ნანოღონებზე. იგულისხმება ცეოლიტური ძაფისა და ნემსისმაგვარი ბოჭკოსებრი ნანოზომების კრისტალების გამოყენება, რომლის დროსაც ცეოლიტისა და ეტრინგიტის მსგავსი პაბიტუსის კრისტალობრატები „ჩაიხლართება“ ერთმანეთში, რაც ხელს შეუწყობს თვითნანოარმირების პროცესს.

დამუშავებულია ტექნოლოგიები სხვადასხვა ზემოქმედების მიმართ მედეგი მონოლითური ბეტონისათვის: აკრძალვის ფიბრით მოდიფიცირებული, მიკროდონებზე სამგანზომილებიანი (3D) არმირებული სტრუქტურის ახალი თაობის C50-60 კლასის ბეტონებისა და ცეოლიტური ტუფისაგან დამზადებული აქტივატორით მოდიფიცირებული, ნანოღონებზე სამგანზომილებიანი (3D) არმირებული სტრუქტურის ახალი თაობის C50-90 კლასის ბეტონებისათვის.

BUILDING MATERIALS

USE OF NANOREINFORCEMENT IN CONCRETE TECHNOLOGY

R. Skhvitaridze, B. Keshelava, I. Giorgadze, Sh. Verulava

(Georgian Technical University, L. Samkharauli National Bureau of Forensic expertize, K. Zavriev Construction Mechanics, Seismostability and Engineering Expertize Centre)

Resume: An innovation of technology receiving concrete, at which in process of curing of concrete containing cement with an additive of a zeolite tuff, there is a texture of crystalline hydrates similar fibrous and needle habitus - ettringit and zeolite, there is a self-nanoreinforcing, that increases compressive strength and especially – strength on bend.

There are developed technologies of receiving monolithic concrete resistant against different influence: in particular technology of concrete of the class C50-60 reinforced on 3D at micro-level, with the additive of basalt fiber and technology of concrete of the class C50-90 reinforced on 3D, as a result of self-nanoreinforcing.

СТРОИТЕЛЬНЫЕ МАТЕРИАЛЫ

ИСПОЛЬЗОВАНИЕ НАНОАРМИРОВАНИЯ В ТЕХНОЛОГИИ БЕТОНОВ

Р. Схвитаридзе, Б. Кешелава, И. Гиоргадзе, Ш. Верулава

(Грузинский технический университет, Национальное бюро судебной экспертизы им. Л. Самхараули, Центр строительной механики, сейсмостойкости и строительной экспертизы им. К. Завриева)

Резюме: Инновацией представляется технология получения бетона, при которой в процессе твердения бетона, содержащего цемент с добавкой цеолитового туфа, происходит сплетение кристаллогидратов аналогичного волокнисто-игольчатого габитусса - этрингита и цеолита, происходит самонаноармирование, что повышает прочность на сжатие и особенно на изгиб.

Разработаны технологии получения стойкого против разных воздействий монолитного бетона: технология бетонов класса C50÷60, армированного по 3D на микроуровне, с добавкой базальтовой фибры, и технология бетонов класса C50÷90, армированного по 3D в результате самонаноармирования.

ზეპილთა მეტალურგიის მეთოდის ბამოყენება სამთო მრეწველობაში*

ე. ჩაგელიშვილი, ა. ფეიქრიშვილი, თ. ფირცხალავა, მ. წიკლაური, ბ. გოდიბაძე,
ა. დგებუაძე

(გ. წულუკიძის სამთო ინსტიტუტი)

სამთო, მეტალურგიულ და ქიმიურ მრეწველობაში, აგრეთვე ენერგეტიკაში, მანქანაობშენებლობაში, კოსმოსური და საავიაციო ტექნიკის წარმოებაში დანახარჯების შემცირება აუცილებელი მასტი-მულირებელი ფაქტორია მეცნიერებატევადი ტექნოლოგიების განვითარებისათვის, რაც დაკავშირებულია ფეთქებადი ნივთიერების მუხრის (ვუმ) გამოყენების შესაძლებლობასთან [1]. ვნე წარმოადგენს კომპაქტურ, მსუბუქ, მაღალი სიმკვრივისა და სიმძლავრის მქონე იაფი ენერგიის წეაროს, რომელსაც შეუძლია სასარგებლო სამუშაოს შესრულება და, ამასთან, შედარებით უსაფრთხოცაა [2].

ცნობილია, რომ ფხვნილთა მეტალურგიის მეთოდით დამზადებული თანამედროვე სალი შენადნობების საჭრისების გამოყენებამ სამთო საქმეში ნამდვილი რევოლუცია გამოიწვია. ეს განსაკუთრებით მნიშვნელოვანია საქართველოში სამთო მრეწველობის აღდგენის თვალსაზრისით.

გ. წულუკიძის სამთო ინსტიტუტში ჩატარებული გამოკვლევები დიდად შეუწყობს ხელს ტყიბული-შაორის ქანახშირის საბადოს (ტშს) თანამედროვე დონეზე ათვისებას. ნახშირის მრეწველობის რესტრუქტურიზაციის პრინციპებისა და მოწინავე ნახშირმომპოვებელი ქვეყნების გამოცდილების გათვალისწინებით დამუშავებულია საბადოს პირობებში მექანიზებული კომპლექსების ექსპლუატაციის ხელსაყრელი ტექნოლოგიური გადაწყვეტები, რაც გულისმობს ფხვნილთა მეტალურგიის მეთოდით სალი მასალებისაგან დამზადებული საჭრისებით აღჭურვილი მანქანა-დანადგარების ფართო გამოყენებას [3].

ტშს-ს შახტებში ნახშირის მოპოვების ტექნოლოგიური განვითარების კონცეფცია ითვალისწინებს საწმენდ და მოსამზადებელ გვირაბებში სტანდარტული ბლოკებისაგან ისეთი ინდივიდუალური პროექტით აწყობილი კომბაინების გამოყენებას, რომლებიც ადაპტირებული იქნება ტშს-ს სამთო-გეოლოგიურ პირობებთან. კომბაინებით ნახშირის ან ფუჭი ქანის მასივის რღვევისას სპეციალური ამძრავების სრული სიმძლავრე საჭრისების საშუალებით გადაეცემა სანგრევს, რაც იწვევს მათს სწრაფ ცვეთას. საჭრისების ცვეთამედევობის ამაღლების მიზნით ხდება მათი არმირება მაღალი სისალის მქონე მჟრელი საღგმელების გამოყენებით. სავარაუდო, როდესაც ტშს ახალი შახტი მიაღწევს 3,5 მლნ ტ წლიურ საპროექტო სიმძლავრეს, მარტო ნახშირის მოსაპოვებლად განკუთხილი პროცესების შესასრულებლად მოხმარებული იქნება $125 \cdot 10^3$ ცალი სერიული საჭრისი. შახტის გვირაბების გაფანის სამუშაოების შესრულებისას კომბაინების ტრადიციული საჭრისების მუშაობის სანგრძლივობა არ აღემატება 80–90 წთ-ს, მჟრელ ინსტრუმენტებების მოსულმა კუთრმა დანახარჯებმა კი (სამთო-გეოლოგიური პირობების მიხედვით) შესაძლოა გადააჭარბოს გვირაბის გაყვანის სრული დანახარჯების 37 %-ს.

სავარაუდო, რომ ტშს-ში ფართო გამოყენებას პოვებს სალი შენადნობებისა და ალმასის თანამედროვე ინსტრუმენტები, რომლებიც მზადდება ლითონური, ორგანული და კერამიკული შემკველებისაგან. ასეთი ინსტრუმენტები გამოირჩევა უფრო მაღალი ცვეთამედევობით და სითბო-

* სტატია ეხება პროექტს, რომელიც განხორციელდა უკრაინის სამეცნიერო-ტექნოლოგიური ცენტრის ხელშეწყობით (გრანტი STCU №р506).

გამტარობით, განსაკუთრებით ეფექტურია ექსტრემალურ რეჟიმში მუშაობისას. ამ შემთხვევაში აქტუალურია ძვირად დირექტული სპილენძის, კობალტის, ვოლფრამის მაგიერ იაფი და მტკიცე რკონაშემცველი შენადნობების ჩანაცვლება, რაც პრინციპულად ახალ პერსაექტივებს უხსნის აფეთქების ენერგიის გამოყენებას. აფეთქებით დაწესების მეორების შესაძლებლობები დაკავშირებულია იმ პროცესების ექსტრემალურობასთან, რომლებიც მიმდინარეობს მაღალი წნევების, სიჩქარეების, ტემპერატურების და პრაქტიკულად მყისიერი, ინტენსიური ზემოქმედების შედეგად, როცა ხდება ფხვნილების კონსლიდიდაცია, აირების აორთქლება, უნგვულების დაშლა ან ახლის ჩამოყალიბება, გაცხელება და დეფორმირება. ამ დროს შესაძლებელია კრისტალური გისტის ცვლილებაც, რასაც თან ახლავს ნაწილაკებს შორის ინტენსიური შედნობა-შეცხობა. იმაგდროულად მაღალი წნევებისა და ტემპერატურების ხანმოკლე ზემოქმედება გამორიცხავს შენადნობთა კომპონენტთაშორისი ქიმიური ურთიერთობისა და მათ სტრუქტურაში მარცვლების ზრდის შესაძლებლობას.

აფეთქებით დაწესების პროცესების ტექნოლოგიური პარამეტრები შეიძლება გაერთიანდეს ოთხ ჯგუფად [4]:

1) **ფეთქებადი ნივთიერებების (ზე) პარამეტრები:** დეტონაციის სიჩქარე, კვეთის მასა (სიმაღლე, დიამეტრი), ვნ-ის ტექნოლოგიური თვისებები, რომლებიც გავლენას ახდენს დაწესების სიჩქარეზე;

2) **ნამზადის პარამეტრები:** გეომეტრიული ზომები, ნაყარის საწყისი სიმკვრივე, დასაწესები მასალის ფიზიკურ-ქიმიური და ტექნოლოგიური თვისებები, ტემპერატურა;

3) **დარტყმითი დატვირთვის პარამეტრები:** წნევა დარტყმითი ტალღის ფრონტზე, მასური სიჩქარე, წნევის იმპულსი, დარტყმითი ტალღების პროფილი;

4) **დაწესების სქემის პარამეტრები:** ნამზადისა და მუხტის ურთიერთგანლაგება, გადამცემი გარემოს ტიპი და სისქე, აფეთქების პროდუქტების გაბნევის სისწრაფე, ფუძის მასალა, რომელზეც ხორციელდება დაწესება, მუხტის კონსტრუქცია და ინიცირების სქემა, მუხტის მასა და ტიპი (დეტონაციის სიჩქარე).

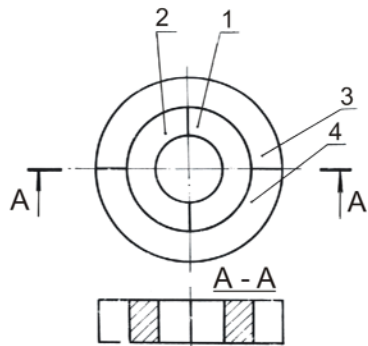
სტატიაში გაანალიზებულია აგრეთვე ფორმის გარემოში აფეთქების ზემოქმედების თანამედროვე მეთოდები და ხერხები; განხილულია დარტყმითი ტალღებით დატვირთვის სქემები, მოწყობილობები და შესაბამისი მექანიზმები, რაც დარტყმითი ტალღების საშუალებით ფხვნილების გარემოს ინტენსიურებულ სისტემას და ინსტრუმენტს გადაიყვანს სხვადასხვა თერმოდინამიკურ დონეზე და სტრუქტურულ-ფაზურ მდგომარეობებში [4, 5].

ტშს-ს დასაპროექტებული შახტის საჭიროებისათვის რეკომენდებულია გ. წულუკიძის სამთო ინსტიტუტის თანამშრომლების მონაწილეობით დამუშავებული სადგმელის ლითონის განმტკიცების პერსპექტიული ტექნოლოგია, რომელიც ემყარება ვოლფრამის კარბიდისა და კობალტის ალმას-შემცველი შენადნობის აფეთქებით ცხლად დაწესებას. WC-Co-ალმასის მჭრელი შრის და ფოლადის ფუძეთშორისი გარდამავალი ზონის ფორმირება უზრუნველყოფს ქანების ჭრისას წარმოქმნილი ძაბვების შემცირებას, ხოლო შენადნობში ალმასის ჩანართები ზრდის ინსტრუმენტის სისალეს და აუმჯობესებს ჭრის მახასიათებლებს [6, 7].

ლითონმატრიცულ კომპოზიციურ მასალებს (ლმპმ) აქვს მთელი რიგი უპირატესობები მონოლითურ ლითონურ მასალებთან შედარებით; კერძოდ: მაღალი სიხისტე და სიმტკიცე, ექსპლუატაციის პირობებში მაღალი ტემპერატურამედევგობა, ტემპერატურული გაფართოების დაბალი მნიშვნელობა და კარგი ცვეთამედევგობა.

დღესდღეობით სამთო მრეწველობაში არსებობს მოთხოვნილება აგრესიულ გარემოში (მაღალი ტემპერატურა და წნევა, რადიოაქტიურობა და სხვ.) მომუშავე ეფექტურ კომპოზიციურ მასალებზე. მეტად აქტუალურია მაღალტემპერატურული Al-B₄C კომპოზიტის დამუშავება, რომელიც გამოიყენება ნეიტრონებისაგან დამცავ კონსტრუქციულ მასალად ნამუშევარი ბირთვული საწვავის შესანახი და ტრანსპორტირებისათვის განკუთვნილი კონტეინერებისათვის [8]. ასეთ შემთხვევაში Al-B₄C კომპოზიციური მასალები განთავსდება ნამუშევარ სითბოგამომყოფ ნივთიერებათა ანაკრებებში

ნეიტრონების შთანთქმის მიზნით და კონსტრუქციის საჭირო სიმტკიცის უზრუნველსაყოფად, აგრეთვე ნეიტრონების შთანთქმის პროცესში გამოყოფილი სითბოს არინებისათვის. აღსანიშნავია, რომ Al-B₄C კომპოზიტები ხანგრძლივად უძლებს მომატებული ტემპერატურის (250 – 350 °C) ზემოქმედებას.



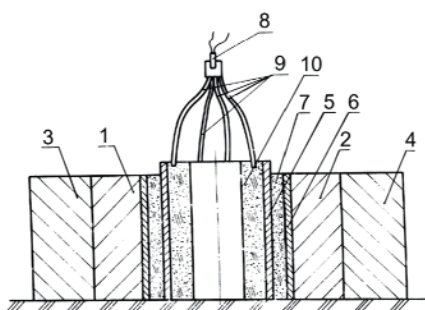
ნახ. 1. ორშრიანი ცილინდრული კონტეინერი (ორი სექციით თითოეულ შრეში): 1, 2 – შიგა ცილინდრული შრის სექციები; 3, 4 – გარე ცილინდრული შრის სექციები

როგორც ცნობილია, ალუმინის ფუძეზე დამზადებული ლამაზ-ის სიმტკიცე უპირველეს ყოვლისა დამოკიდებულია მატრიცის შენაღნობის სიმტკიცეზე. შენაღნობების ტიპის კომერციული ლამაზების სიმტკიცეს, რომელთა მატრიცებია 11XX, 13XX და 19XX (ГОСТ4784-97), მომატებულ ტემპერატურათა გარემოში გააჩნია ზღვარი. როდესაც გარემოს ტემპერატურის მნიშვნელობა 300 °C-ს მიუახლოვდება, მათი სიმტკიცე მნიშვნელოვნად მცირდება გადაბერების ეფექტის გამო, ე. ი. მაშინ, როდესაც ხდება მეორეული ნივთიერებების (დისპერსოიდების) სწრაფი გამოყოფა.

მექანიკური სინთეზის ტექნოლოგია იძლევა იმ სირთულეების გადალახვის საშუალებას, რომლებიც დაკავშირებულია ალუმინის ნადნობით ბორის კარბიდის ცენტ ადპეზიასთან. რის შედეგადაც ნამზადში B₄C ფხვნილი თანაბრად განაწილდება, რაც სხვა მეთოდებით შეუძლებელია. კომპოზიციური მასალის გრანულებს სჭირდება კონსოლიდაცია მოცულობით ნამზადში, რისი განხორციელება შესაძლებელია მთელი რიგი მეთოდებით; მაგალითად, თერმული (ცხელი, ცივი, ჰიდროსტატიკური) დაწნევით, აფეთქებით დაწნევით, ექსტრუზით, გაგლიზით და სხვ.

1-ლ ნახ-ზე გამოსახულია ორშრიანი ცილინდრული კონტეინერი, რომელსაც თითოეულ შრეში აქვს ორი სექცია. ასეთი მოწყობილობა გამოიყენება მრავალშრიანი ღრუ ნაკეთობების დასამზადებლად [9].

მე-2 ნახ-ზე ორ (5 და 6) თანალერძულ მილს შორის მოთავსებულია დასაწნევი ფხვნილი (7). აღნიშნული ანაკრები განთავსებულია კონტეინერში. დეტონატორიდან (8) აფეთქების იმპულსი სადეტონაციო ზონრებით (9) გადაეცემა ფეთქებად ნივთიერებას (10). ზემ-ის დეტონაციის შედეგად მიიღება მრავალშრიანი ნამზადი [9].



ნახ. 2. კონტეინერში ორ მილს შორის მოთავსებული ფხვნილის აფეთქებით წნევის სქემა: 1, 2 – შიგა ცილინდრული შრის სექციები; 3, 4 – გარე ცილინდრული შრის სექციები; 5, 6 – თანალერძული მილები; 7 – დასაწნევი ფხვნილი; 8 – დეტონატორი; 9 – სადეტონაციო ზონრის მონაკვეთები; 10 – ზე მუსტი

წარმოდგენილი შედეგები შეიძლება გათვალისწინებულ იქნეს საქართველოს სამთო მრეწველობის ობიექტებისათვის ინოვაციური ტექნოლოგიების დაპროექტებისას.

ლიტერატურა—REFERENCES—ЛИТЕРАТУРА:

1. Селиванов В. В., Кобылкин И. Ф., Новиков С. А. Взрывные технологии: Учебник для вузов. МГТУ им. Н. Э. Баумана, М., 2008.
2. Рогозин В. Д.. Взрывная обработка порошковых материалов. ВолГТУ, Волгоград, 2002.
3. ი. რებგიაძვილი, თ. ფირცხალავა. ტექნიკულის ნახშირის მოპოვების ტექნოლოგიური განვითარების კონცეფცია // მეცნიერება და ტექნოლოგიები, №10–12, თბ., 2010, გვ. 82–88.
4. ქ. ჩაგელიშვილი, ა. ფეიქრიშვილი, გ. წიკლაური, თ. ფირცხალავა, ბ. გოდიბაძე, ა. დგებუაძე. ფხვნილების ავეთქებით დაწესების შესახებ // სამთო ჟურნალი, №1(30), თბ., 2013, გვ. 47–50.
5. Чагелишвили Э. Ш., Пеикришвили А. Б., Пирцхалава Т. Г., Циклаури М. В. О режущих вставках для армирования резцов горных машин // Горный журнал, № 1(30), Тб., 2013, с. 68-72.
6. Elguja Chagelishvili, Merab Tziklauri, Akaki Peikrishvili et all. Fabrication of Diamond Containing Hard Alloy Precursors. Abstract Proceeding of X international Symposium on Explosive production of novel materials: Science, Technology, Business and Innovation, TOURUS PRESS, 2010, p. 76.
7. A. B. Peikrishvili, L. J. Kecske, G. I. Mamniashvili, E. Sh. Chagelishvili et all. Hot Explosive Consolidation of Nanostructured Ta-Al Composites. Abstract Proceeding of X international Symposium on Explosive production of novel materials: Science, Technology, Business and Innovation, TOURUS PRESS, 2010, p. 88.
8. Чердынцев В. В., Горшенков М. В., Данилов В. Д., Калошкин С. Д., Гульбин В. Н. Металломатричные радиационно-защитные композиционные материалы на основе алюминия // Металловедение и термическая обработка металлов, №1, М., 2013, с. 14-18.
9. Оголихин В. М., Штерцер А. А., Шемелин С. Д. Прессование трубчатых заготовок наружными и внутренними зарядами // Известия ВолГТУ, Вып. 5, № 14, Волгоград, 2012, с. 64-70.

შევნილთა მეტალურგიის მეთოდის გამოყენება სამთო მრეწველობაში

ე. ჩაგელიშვილი, ა. ფეიქრიშვილი, თ. ფირცხალავა, მ. წიკლაური, ბ. გოდიბაძე,
ა. დგებუაძე

(გ. წულუკიძის სამთო ინსტიტუტი)

რეზიუმე: სტატიაში მოცემულია გ. წულუკიძის სამთო ინსტიტუტში ჩატარებული კვლევების შედეგები, რომლებიც მიღებულია საქართველოს ნახშირის მრეწველობის რესტრუქტურიზაციის პრინციპებიდან გამომდინარე.

ტყიბული-შაორის რთულ სამთო-გეოლოგიურ პირობებში ადაპტირებული კომბაინებისათვის რეკომენდებულია სადგმელის ლითონის განმტკიცების პერსპექტიული ტექნოლოგია (დამუშავებული გ. წულუკიძის სამთო ინსტიტუტის თანამშრომლების მიერ), რომელიც ემყარება ვოლფრამის კარბიდისა და კობალტის ალმასშემცველი შენაღნობის აფეთქებით ცხლად დაწესებს. WC- Co-ალმასის მჟრელი შრის და ფოლადის ფუძეთშორისი გარდამავალი ზონის ფორმირება უზრუნველყოფს სამთო ქანების ჭრისას წარმოქმნილი ძაბვების შემცირებას, ხოლო შენაღნობის ალმასის ჩანართები ზრდის ინსტრუმენტის სისალეს და აუმჯობესებს ჭრის მახასიათებლებს.

კომპოზიტის შექმნის მიზნით, განხილულია Al-B₄C ფენილის აფეთქებით დაწესების სქემა, რომელიც განკუთვნილია აგრესიულ გარემოში მომუშავე მრავალშრიანი ცილინდრული კონტეინერების დასამზადებლად.

MINING

APPLICATION OF POWDER METALLURGY IN MINING INDUSTRY

E. Chagelishvili, A. Peikrishvili, T. Pirtskhalava, M. Tziklauri, B. Godibadze, A. Dgebuadze

(G. Tsulukidze Institute of Mining)

Resume: There is presented research results of involving staff of G. Tsulukidze Mining Institute, in accordance with the principles of the restructuring of the coal industry in Georgia.

There is recommended for projected mine of Tkibuli-Shaori deposits to apply the strengthening technology of cutting tools developed by researchers of Tsulukidze Mining Institute, based on hot explosive treatment diamond containing tools from WC and Co. The formation of transient zone between the cutting material and steel basis provides decreasing of stresses arising during the cutting process of rocks. From the other hand the diamond inclusions provide increasing of hardness and cutting characteristics of cutting tools too.

There is discussed the scheme explosive pressing Al-B₄C powder to create a composite for multilayer cylindrical containers effectively working in hostile environments.

**ПРИМЕНЕНИЕ МЕТОДОВ ПОРОШКОВОЙ МЕТАЛЛУРГИИ В ГОРНОЙ
ПРОМЫШЛЕННОСТИ**

**Э. Чагелишвили, А. Пеикришвили, Т. Пирцхалава, М. Циклаури, Б. Годибадзе,
А. Дгебуадзе**

(Горный институт им. Г. Цулукидзе)

Резюме: Приведены результаты исследований, полученные с участием сотрудников Горного института им. Г. Цулукидзе, связанные с вопросами реструктуризации угольной промышленности Грузии.

Для очистных и проходческих комбайнов, адаптированных к сложным горно-геологическим условиям разработки Ткибули-Шаорского месторождения, рекомендуется перспективная технология упрочнения металла вставок резцов, основанная на горячем взрывном прессовании алмазосодержащих сплавов из карбида, вольфрама и кобальта. Формирование переходной зоны между режущим слоем из WCCo-алмаза и стальной основой обеспечивает снижение возникающих при резании горных пород напряжений, а алмазные включения в сплаве обеспечивают увеличение твердости и улучшение режущих характеристик инструмента.

Рассмотрена схема взрывного прессования порошка Al-B4C с целью создания композита для многослойных цилиндрических контейнеров, эффективно работающих в агрессивных средах.

დიდებულთა პრაგულ-მუსოჭიანი სააგრძობილო შიგაწვის პრაგების სამეცნიერო-ტექნიკური პლატფორმა

ბ. კორძაძე, რ. დემეტრაშვილი

(რ. დვალის მანქანათა მექანიკის ინსტიტუტი)

გასული საუკუნის ბოლო მეოთხედში საქართველოს მეცნიერებათა აკადემიის რ. დვალის მანქანათა მექანიკის ინსტიტუტის სამეცნიერო ინტერესები მეტწილად მოიცავდა მაღალი მთისა და ცხელი კლიმატის ბუნებრივ პირობებში ტურბოჩაბერვიანი დიზენის ძრავების მუშაობის ნომინალური მაჩვენებლების შენარჩუნების პრობლემის გადაჭრას ექსპერიმენტული და თერმოდინამიკური საფუძვლების დამუშავების გზით და ასევე იმავე პირობებში მომუშავე ტურბოჩაბერვიანი დიზენის ძრავების თანამდევ უარყოფით მოვლენას – არაექექტურ ძრავულ მუხრუჭად გადაქცევას, რაც, ჩვეულებრივ, სამუხრუჭო და ეფექტურ სიმძლავრეთა ფარდობის შემცირების ბუნებრივი შედეგია. ამიტომაც სავტომობილო ტექნიკაში განსაკუთრებული მნიშვნელობა ენიჭება ძრავული მუხრუჭების ეფექტურობის გაზრდას მაღალმთიან პირობებში ავტომობილების ექსპლუატაციის დროს. ექსპლუატაციის ასეთ პირობებში ტურბოჩაბერვიანი დიზენის ძრავას მუშაობის ექსპერიმენტული და თეორიული კვლევების შედეგების გათვალისწინებით აღებულ თანაფარდობათა სისტემატიზაციით შედგა შიგაწვის ძრავას სიმძლავრის ზღვის დონიდან სიმაღლის მიხედვით ცვლილების მექანიზმის მათემატიკური მოდელი, რის საფუძველზეც ტურბოჩაბერვიანი დიზენის ძრავას მუშაობის ნომინალური მაჩვენებლების შენარჩუნების პრობლემის გადაჭრის საშუალებად მიჩნეულ იქნა ჩაბერვის პარამეტრების გაგრილება, ხოლო ძრავას სამუხრუჭო რეჟიმებზე მუშაობის გასაუმჯობესებლად – შიგაწვის ძრავას მაღალი წნევის კომპრესორად კონვერტორების დამუშავებელი მუხრუჭად იქნა ჩაბერვის პარამეტრის და ბ. კორძაძის ფუნდამენტური შრომები და სტატიები, თუმცა მათში ნაკლებადაა კონკრეტული მონაცემები და მსოფლოდ ზოგადი საკითხებია დასმული. მიუხედავად ამისა, შიგაწვის ძრავას მაღალი წნევის კომპრესორად კონვერტორების საფუძველზე შეიქმნა სავტომობილი ტექნიკაში არსებულთან შედარებით გაცილებით უფრო ეფექტური ძრავული მუხრუჭა, რომელიც ავტომობილის დამუხრუჭებების დინამიკის მკვეთრი ამაღლების, ტრანსპორტის საგზაო მოძრაობის უსაფრთხოების პრობლემის რადიკალური გადაჭრისა და მისი მუშაობის საექსპლუატაციო მაჩვენებლების თვისებრივი გაუმჯობესების შესაძლებლობას იძლევა.

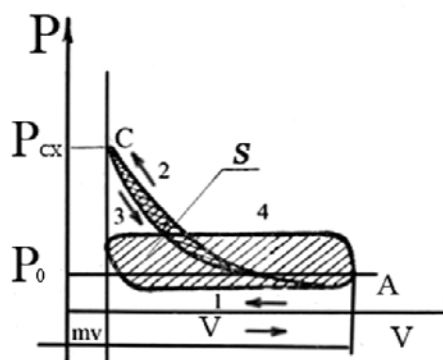
ადსანიშნავია, რომ ეს საკითხი იმდენად აქტუალურია შიგაწვის ძრავების თეორიაში, რომ იგი შიგაწვის ძრავების საერთაშორისო საბჭოს კომიტეტმა (SIMAC) აღიარა მსოფლიოში ამ დარგის სპეციალისტთა მიერ ჩატარებული კვლევის ერთ-ერთ ძირითად საგნად [1].

სატექნიკო ავტომობილებისა და ავტობუსების სამუხრუჭო სისტემის გამართული მუშაობისათვის ერთ-ერთი მნიშვნელოვანი პირობაა მათი ენერგოტენებულობის გაზრდა. ე. გ. გაზრდა უნარისა, რომელმაც უნდა შთანთქას და სწრაფად გადასცეს გარემოს სითბოს განსაზღვრული რაოდენობა, რათა არ მოხდეს სამუხრუჭო სისტემის ეფექტურობის შემცირება. ამის მიღწევა შესაძლებელია დამხმარე სამუხრუჭო მოწყობილობის საშუალებით, რომელსაც შეუძლია სამუხრუჭო მექანიზმების ენერგოტენებულობის გაზრდა დასამუხრუჭებელი ავტომობილის კინეტიკური ენერგიის მნიშვნელოვანი ნაწილის შთანთქმით, რითაც უზრუნველყოფს ძირითადი მუხრუჭების დაცვას გადახურებისაგან და საბოლოოდ მათი ეფექტურობის შემცირების თავიდან აცილებას. ამას ძალიან დიდი მნიშვნელობა

აქვს, რადგან მოძრაობის უსაფრთხოების პირობის თანახმად, ძირითადი სამუხრუჭო სისტემა ასეთ პირობებში მზადაა მაქსიმალური ეფექტურობით დამუხრუჭებისათვის.

დიზელის ტურბოჩაბერვით და ჩაბერვის ჰაერის გაგრილებით სიმძლავრის ფორსირების დროს მეტად საგრძნობი ხდება არსებული ძრავული მუხრუჭების შეუსაბამობა თანამედროვე მოთხოვნებისადმი. დღეს საავტომობილო ტექნიკაში ამ პროცედურის გადასაჭრელად იყენებენ კომპრესიულ-გამომშვებ მუხრუჭებს, რაც განაპირობებს ძრავას სამუხრუჭო თვისებების გაუმჯობესებას კუმშვის და განდევნის ერთობლივი მუშაობისას. ეს ემყარება იმ მუშა კონცეფციას, როცა სამუხრუჭო რეჟიმებში მუშაობისას საავტომობილო ძრავას შეუძლია უფრო ეფექტურად გამოიყენოს თავისი შესაძლებლობები, ვიდრე წევის რეჟიმის დროს. ადსანიშნავია, რომ ამ პროცედურის გადაწყვეტა შესაძლებელია ძრავას სამუხრუჭო სიმძლავრის უფრო სრული გამოყენებით გამომშვები მუხრუჭის შემთხვევაშიც, თუ შევინარჩუნებთ კონსტრუქციის სიმარტივეს და მუშაობის საიმედოობას სხვა ძრავულ მუხრუჭებთან შედარებით; მით უმეტეს, რომ ბოლო დროს საავტომობილო ტექნიკაში ყველგან ცდილობენ გამოიყენონ შესაბამის მოწყობილობათა შედარებით სრულყოფილი კონსტრუქციები, რომელთა რეალიზაცია დაკავშირებულია ძრავას კონსტრუქციის უფრო სერიოზულ ცვლილებებთან. ამიტომაც ჩვენთვის უფრო მისაღები აღმოჩნდა გამომშვები მუხრუჭის ეფექტურობის გაზრდის ის მიმართულება, რომელიც არ იყო დაკავშირებული ძრავას კონსტრუქციის რაიმე გართულებასთან. შესაბამისად, დასახული ამოცანის შესასრულებლად ინსტიტუტში ძრავების განყოფილების მეცნიერი თანამშრომლების (ი. ჯებაშვილი, ბ. კორძაძე, თ. ნატრიაშვილი) მიერ შემუშავდა ახალი სისტემის გამომშვები მუხრუჭი, რომელსაც შეუძლია საავტომობილო შიგაწვის ძრავას კომპრესიულ შესაძლებლობათა სრული რეალიზაცია. ასეთი მუხრუჭის შერჩევა კი განაპირობა ზოგიერთ ამერიკულ და პრაქტიკულად თითქმის ყველა უვრობულ სატვირთო ავტომობილზე გამომშვები მუხრუჭების ფართო გამოყენებამ, რაც ქმნის უფრო ხელსაყრელ პირობებს არსებული გამომშვები მუხრუჭების მოდერნიზაციისათვის.

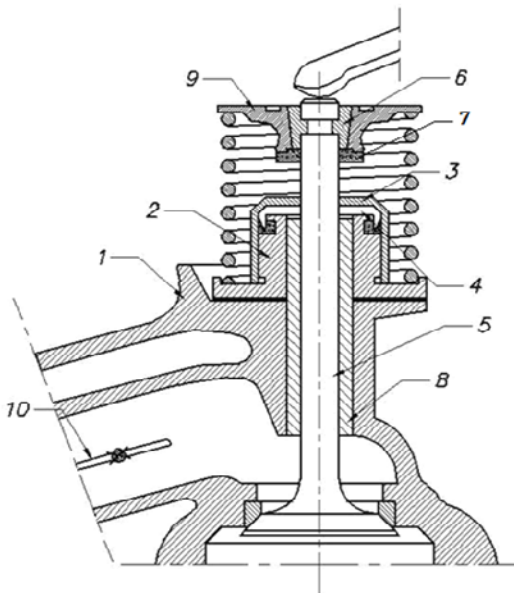
ზემოაღნიშნულის ნათელსაყოფად განვიხილოთ 1-ლ ნახ-ზე მოცემული დიაგრამა, რომელიც გამოსახავს ძრავას დამუხრუჭების პროცესს არსებული გამომშვები მუხრუჭით. ამ დროს გამომშვები მიღება გადაკეტილია და ცილინდრებში ჰაერის რაოდენობა შედის A2C მრუდის მიხედვით, რომელიც განისაზღვრება კუმშვის ხარისხით და ფართოვდება C3A-ს მიხედვით. ამასთან, გამაგრილებელი სისტემით შთაინთქმება სითბო, რომელიც შეესაბამება S კუმშვასა და გაფართოების მრუდებს შორის არსებულ ფართობს.



ნახ. 1. გამომშვებმუხრუჭიანი ძრავას ინდიკატორული დიაგრამა

განდევნის ტაქტის დროს აირი შედის გამომშვებ მიღებადენში და იკუმშება იმ სივრცეში, რომელიც შემოსაზღვრულია მიღებადენის კედლებით და მიღებადენის ჩამკეტი მოწყობილობის მიღებადენით. ეს წევა კარბურატორიან ძრავაში აღწევს $3\text{kg}/\text{m}^2\cdot\text{s}$, ხოლო დიზელებში – $4\text{kg}/\text{m}^2\cdot\text{s}$. გამომშვებ მიღებადენში წევა მატულობს მანამ, სანამ არ გადალახავს გამშვები სარქველის

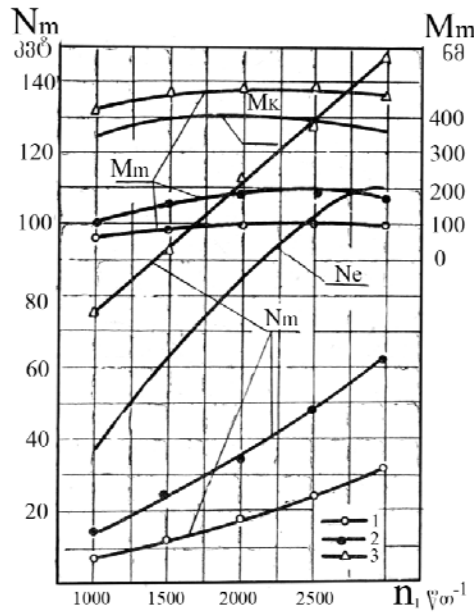
ზამბარის წინასწარი დაჭიმულობის ძალას. გამომშვები სარქველი ამ დროს გაიღება და პაერის ნაწილი შედის ცილინდრში. ამრიგად, უმაღლესი წნევა გამომშვებ მიღსადენში და, შესაბამისად, უკუწევა ცილინდრში იზღუდება სარქვლების ზამბარის სიხისტით, ამიტომ გამომშვები მუხრუჭი ნაკლებეფექტურია. სხვადასხვა გამომშვები მუხრუჭის გამოცდის შედეგების მიხედვით, მათი სამუხრუჭო სიმძლავრე შეადგენს ეფექტური სიმძლავრის 50–80 %-ს. ისინი გამოირჩევიან კონსტრუქციის სიმარტივით; ამასთან, მათი სიმძლავრე გადაეცემა კოლოფის მეშვეობით, ამიტომ მაქსიმალური შენედება მიიღწევა გადაცემათა მოედ დიაპაზონში. უპირატესობად ითვლება ისიც, რომ აქვს მცირე მასა, იაფია და შესაძლებელია სერიულ ავტომობილებზე მისი მარტივად დაყენება. ამ პირობების გათვალისწინებით იზრდება ასეთი მუხრუჭის ეფექტურობა, რაც შეესაბამება ამ მუხრუჭისადმი წაყენებულ თანამედროვე მოთხოვნებს. სწორედ ამ მოსაზრებებისა და საგზაო მოძრაობის უსაფრთხოების პრობლემის გათვალისწინებით (იგულისხმება აგრეთვე ავტომობილების გაზრდილი დინამიკური თვისებების რეალიზაცია) დამუშავდა ახალი სისტემის ძრავული მუხრუჭი [2] და შედგა მისი სასტენდო გამოცდა ძრავების საცდელ ლაბორატორიაში. ეს ძრავული მუხრუჭი არსებული მუხრუჭებისგან განსხვავებით დამატებით შეიცავს გამომშვები სარქვლების გაღების ხელშემშლელ სალიკვიდაციო მოწყობილობას, რომელიც გამორიცხავს გამომშვებ რესივერში წნევის შეუფერხებელ ზრდას და ასევე ამ უკანასკნელზე მისი შესაბამისი ზამბარების სიხისტის გავლენას. ასეთი ძრავული მუხრუჭის საერთო კონსტრუქციული სქემა მოცემულია მე-2 ნახ-ზე.



ნახ. 2. ახალი სისტემის ძრავული მუხრუჭის კონსტრუქციული სქემა. 1 – ძრავას სახურავი, 2 – ზამბარის ქვედა თეფში, 3 – დგუში, 4 – კამერა, 5 – გამომშვები სარქველი, 6 – გარე ჭილიბი, 7 – შემამჭიდროებელი რგოლი, 8 – სარქველის მიმმართველი, 9 – ზამბარის ზედა თეფში, 10 – მიღსაფარი

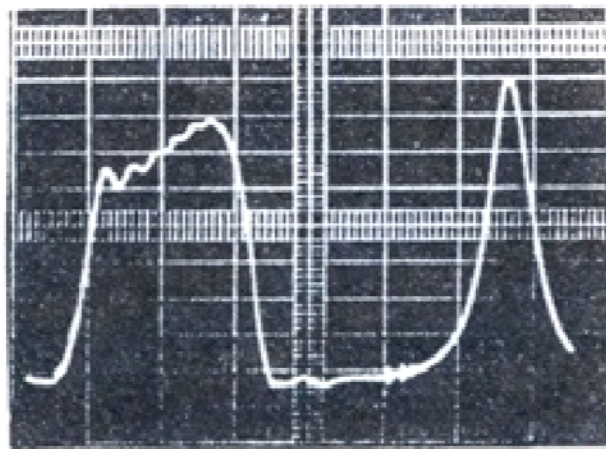
როგორც ამ ნახაზიდან ჩანს, ძრავას გამომშვებ მიღსადენში განვითარებული წნევა მოქმედებს სარქვლის გაღების მიმართულებით, მაგრამ ამ მუხრუჭში ჩართულია მოწყობილობა, რომელიც მუშაობს შემდეგნაირად: ძრავას ნორმალური მუშაობის დროს გამომშვები მიღსადენი დიადანა ნამუშევარი აირი თავისუფლად გამოდის გამომშვები სარქვლის (5) გავლით ატმოსფეროში. ამასთან, დგუშები (3) იმყოფება ქვედა უკიდურეს მდგომარეობაში და შეუდლებულია ზამბარის ქვედა თეფშთან (2). ძრავას სამუხრუჭო რეჟიმზე მიღსაფრის (10) გადაკერვის შემდეგ გამომშვებ მიღსადენში წნევა იზრდება, რომელიც სარქვლის დეროსა და მის მიმმართველს (8) შორის არსებული დრენაჟის ვრცელდება კამერაში (4), გადაადგილებს დგუშებს ზედა უკიდურეს მდგომარეობაში და აღმოჩნდება ზამბარის ზედა თეფშთან (9) შეუდლებული; ამასთან, შემამჭიდროებელი რგოლები (7) უზრუნველყოფს მისი ტორსის თეფშთან შეუდლების პერმეტულობას. შესაბამისად, დგუშები

შესრულებს უაუქცევით-წინსვლით მოძრაობას სამუხრუჭო რეჟიმში და გადასცემს გამომშვებ სარქვლებს კამერებში არსებული ჰაერის წნევისაგან აღძრულ საკომპენსაციო წნევას, რომლის საშუალებითაც შეწყდება სარქვლების უმართავი მოძრაობა და, შესაბამისად, ჰაერის დანაკარგიც გამომშვები მიღსადენიდან.

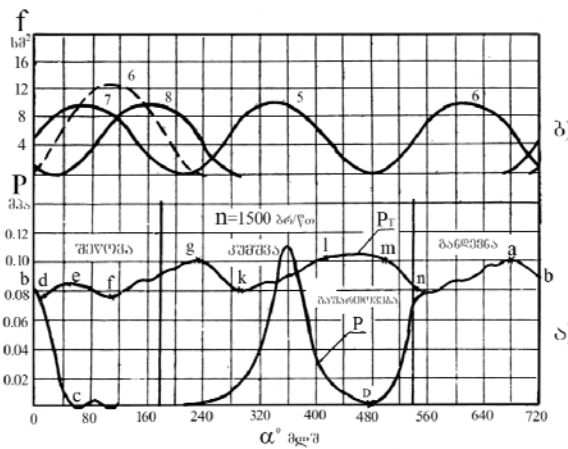


ნახ. 3. ბენზინის ძრავათი მომუშავე „ზილ-130“-ის სამუხრუჭო მახასიათებლები.
1 – იძულებითი უქმი სვლა, 2 – არსებული ძრავული მუხრუჭი, 3 – ახალი ძრავული მუხრუჭი

ახალი სისტემის ძრავული მუხრუჭი დამონტაჟდა ბენზინის ძრავათი და დაიდგა მუდმივი დფნის ელექტრობალანსირულ საგამოცდო სტენდზე სათანადო სამუხრუჭო მახასიათებლების მოხსნის მიზნით. ექსპერიმენტული გამოცდების შედეგად გაირკვა, რომ ახალ ძრავულ მუხრუჭს აქვს დიდი უპირატესობა არსებულთან შედარებით: ძრავას სამუხრუჭო სიმძლავრე მნიშვნელოვნად აღემატება მის ეფექტურ სიმძლავრეს, რაც ოვალნათლივ ჩანს მე-4 ნახ-ზე, საიდანაც ცხადია, რომ ახალი ძრავული მუხრუჭის დიდეფექტური მოქმედება ეფუძნება განდევნის (გამობოლქვის) წნევის მკვეთრ გადიდებას, რომლის ზღვრული მნიშვნელობა კუმშვის მაქსიმალური წნევის ტოლია.

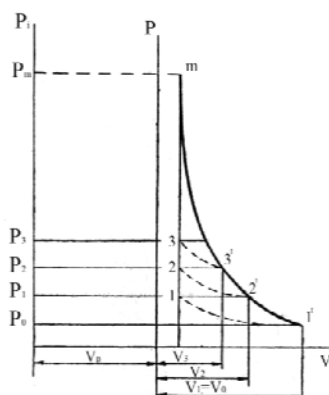


ნახ. 4. ახალი ძრავული მუხრუჭის სამუშაო პროცესის
ინდიკატორული დიაგრამა



ნახ. 5. ახალი სისტემის ძრავულ მუხრუჭში და გამომშვებ მიღსაღენში წნევების (ა) და გამომშვები (მთლიანი წირი) და შემშვები სარქვლების (წყვეტილი წირი) გამავალი გამომშვები კვეთების (ბ) ცელილება მუხლა ლილგის შემობრუნების პუთხეზე დამოკიდებულებით

მე-7 ნახ-ზე წარმოდგენილია „ზილ-130“-ის ძრავას ინდიკატორული დიაგრამა ახალი ძრავული მუხრუჭით, რომელშიც გამომშვები სარქვლების თვითგადების გამომრიცხავი მოწყობილობით გამობოლქვის წნევა მკვეთრად იზრდება და მიისწრავის ზღვარში კუმშვის მაქსიმალური წნევისაკენ. განდევნის ტაქტის დროს გამომშვებ მიღსაღენში მაღალი წნევის დონე თ წერტილიდან ეცემა ცილინდრის ი წერტილში არსებულ დონემდე, ხოლო შემდეგ იწყება ამ წონასწორული წერტილიდან საერთო პოლიტონული კუმშვა თა წირის მიხედვით და გრძელდება ც წერტილში არსებული შემშვები სარქვლის გადებამდე, რასაც მოსდევს შემშვები ტაქტის დროს (სარქვლების გადახურვის პერიოდი) ცილინდრში წნევის ვარდნა. გამობოლქვის წნევის მკვეთრი ზრდა განაპირობებს ინდიკატორული პროცესის თეორიული კლევისადმი და განსაკუთრებით მისი ცალქეული მონაკვეთებისადმი ინტერესს. შეიქმნა სათანადო მათემატიკური მოდელი, რომელიც აღწერს ცილინდრსა და გამომშვებ მიღსაღენში მიმდინარე ურთიერთდაკავშირებული პროცესების ერთობლიობას. იგი ემურება ენერგიის და მასის შენახვის კანონებსა და აირის მდგომარეობის განტოლებებს. ამ განტოლებათა ამოხსნა ხდება ეგმ-ებზე მოდელირებით, რაც შესრულებულია ჯერ კიდევ 1977 წელს მანქანათა მექანიკის ინსტიტუტის მეცნიერების მიერ [1]. თუმცა იგი არ შეიცავს სამუხრუჭო პროცესს გამომშვები მიღსაღენის გადაკეტვის მომენტიდან მასში მაქსიმალური წნევის დამყარებამდე, ე.ი. გამომშვებ მიღსაღენში წნევის ზრდის დინამიკის ანგარიშს, რომელიც აუცილებელია იმის გასარკვევად, თუ რა გავლენას ახდენს მუხრუჭის მუშაობაზე ძრავას ძირითადი კონსტრუქციული პარამეტრები. ამ საკითხების გამოსაკვლევად შედგა სათანადო საანგარიშო სქემა, რომელიც წარმოდგენილია მე-6 ნახ-ზე.



ნახ. 6. გადაკეტილ გამომშვებ მიღსაღენში წნევის ზრდის საანგარიშო სქემა

სქემა ითვალისწინებს მუხრუჭში მიმდინარე სამუშაო პროცესის ბუნებას, სახელდობრ, ძრავა-ში გაფართოების ტაქტის დროს გამომშვებ მიღსადენში არსებული პარტიის პოლიტროპულ კუმშვას. ეს პროცესი ხასიათდება ე.წ. ციკლური კუმშვის ხარისხით თითოეული ციკლის მიხედვით, რო-მელთა მიმდვრობა ქმნის სასრულ რიცხვთა მწყრივს და მათი ნამრავლი ძრავს სტანდარტული კუმშვის ხარისხის ტოლია.

როგორც საანგარიშო სქემიდან ჩანს, ძრავული მუხრუჭის სამუშაო პროცესი ხასიათდება ძრავას საყოველთაოდ ცნობილი სტანდარტული კუმშვის ხარისხით და ციკლური კუმშვის ხარის-ხით, რომლებიც თანმიმდევრული ციკლებისათვის იქნება

$$\begin{aligned}\varepsilon_1 &= \frac{V_p + V_a}{V_p + V_c}; & \varepsilon_{m-1} &= \frac{V_p + V_{m-1}}{V_p + V_c}; \\ \varepsilon_3 &= \frac{V_p + V_3}{V_p + V_c}; & \varepsilon_m &= \frac{V_p + V_m}{V_p + V_c} = \frac{V_p + V_c}{V_p + V_c} = 1.\end{aligned}$$

ბოლო გამოსახულების მიხედვით ε_m -ის საბოლოო ციკლში კუმშვის ხარისხი 1-ის ტოლია, რაც გამომშვებ მიღსადენში მაქსიმალური წნევის მიღწევის პირობას ქმნის.

ციკლური კუმშვის ხარისხების მნიშვნელობათა შესაბამისად, გამომშვებ რესივერში მაქსი-მალური წნევები თანმიმდევრულ ციკლებში ტოლი იქნება

$$\begin{aligned}P_1 &= P_0 \varepsilon_1^0, \\ P_2 &= P_1 \varepsilon_2^n = P_0 (\varepsilon_1 \varepsilon_2)^n = P_0 \left(\prod_{i=1}^2 \varepsilon_i \right)^n, \\ P_3 &= P_2 \varepsilon_3^n = P_0 \left(\prod_{i=1}^3 \varepsilon_i \right)^n, \\ &\dots \\ P_{m-1} &= P_{m-2} \varepsilon_{m-1}^n = P_0 \left(\prod_{i=1}^{m-1} \varepsilon_i \right)^n, \\ P_m &= P_{m-1} \varepsilon_m^n = P_{m-1};\end{aligned}$$

ე.ო. უკანასკნელ ციკლში არ ხდება წნევის მატება წინა ციკლთან შედარებით.

ზემოთ მიღებულ დამოკიდებულებათა პრაქტიკული გამოყენებისათვის ციკლური კუმშვის ხარისხების გამოსახულებაში უნდა განისაზღვროს V_i , სადაც $i=1,2,3,4,\dots,m-1,m$. მათი განსაზღვრი-სათვის გამოვიყენოთ პოლიტროპას განტოლება $PV^n = const.$ მისი საშუალებით 1-ლი და მე-2 წერტილებისათვის გვექნება

$$P_0 V_a^n = P_1 V_2^n,$$

სადაც P_1 გამოსახულების გათვალისწინებით ვღებულობთ:

$$V_2 = \frac{V_a}{\varepsilon_1}.$$

ანალოგიურად V_i სიღიდეთა განსაზღვრისათვის კი

$$V_1 = V_a,$$

$$V_2 = \frac{V_a}{\varepsilon_1},$$

$$V_3 = \frac{V_a}{\varepsilon_1 \varepsilon_2},$$

$$V_4 = \frac{V_a}{\varepsilon_1 \varepsilon_2 \varepsilon_3},$$

.....

$$V_{m-1} = \frac{V_a}{\prod_{i=1}^{m-2} \varepsilon_i},$$

$$V_m = \frac{V_a}{\prod_{i=1}^{m-1} \varepsilon_i}.$$

რადგანაც ციკლური კუმშვის ხარისხი უკანასკნელი ციკლისათვის 1-ის ტოლია, ამიტომ $V_m = V_c$ და უკანასკნელი გამოსახულებიდან ვდებულობთ:

$$\prod_{i=1}^{m-1} \varepsilon_i = \varepsilon;$$

ე. ი. თანმიმდევრული ციკლების ციკლური კუმშვის ხარისხების ნამრავლი ტოლია ძრავას კუმშვის ხარისხისა. ამრიგად, ციკლური კუმშვის ხარისხი არის, სახელდობრ, ის პარამეტრი, რომლის მეშვეობითაც ხდება გამომშვებ მიღსაღენში წნევის ზრდის დინამიკის გამოკვლევა.

გამომშვებ რესივერში ჰაერის რაოდენობის (G_k) დასაღენად შესაბამისი k რაოდენობის ციკლის შესრულების შემდეგ აირების დამახასიათებელ განტოლებაში

$$G_k = \frac{V_p \cdot P_k}{R \cdot T_k}.$$

უნდა ჩავსვათ გამოსახულებები

$$P_k = P_0 \left(\prod_{i=1}^k \varepsilon_i \right)^n; \quad T_k = T_0 \left(\prod_{i=1}^k \varepsilon_i \right)^{n-1},$$

რომელთა საშუალებით საბოლოოდ მივიღებთ:

$$G_k = \frac{V_p \cdot P_k}{R \cdot T_k} \prod_{i=1}^k \varepsilon_i.$$

ე. ი. გამომშვებ რესივერში ჰაერის რაოდენობა k რაოდენობის ციკლის შემდეგ პროპორციულია ციკლური კუმშვის ხარისხების ნამრავლისა. სხვაობა ($G_k - G_{k-1}$) წარმოადგენს ჰაერის რაოდენობას, რომელიც შეიძუმშება რესივერში k -ური ციკლის დროს

$$\Delta G_k = G_k - G_{k-1} = \frac{V_p P_0}{R T_0} (\varepsilon_k - 1) \prod_{i=1}^{K-1} \varepsilon_i.$$

ΔG_k მნიშვნელობათა ცოდნა დაგვეხმარება გამომშვებ რესივერში ჰაერის მაქსიმალური წნევის სიდიდეზე სისტემის (ცილინდრი-გამომშვები რესივერის) ჰაერმეტულობის გავლენის შეფასებაში.

იმ გარემოების გამოსაკვლევად, თუ რამდენად სწრაფად არის შესაძლებელი გამომშვებ რესივერში ჰაერის წნევის დამყარება, საჭიროა მათემატიკურად შევისწავლოთ ε_i რიცხვითი თანმიმდევრობის რიგითი წარმოქმნის წესი და გავარკვიოთ, არის თუ არა ის სასრული. სასრულ რიცხვთა მწერივის შემთხვევაში, ცხადია, რომ გამომშვებ რესივერში ჰაერის მაქსიმალური წნევა დამყარდება ციკლების განსაზღვრული სასრული რიცხვის შემდეგ, რაც ძრავას ბრუნთა განსაზღვრული სისტემის დროს მოგვცემს წარმოდგენას იმ დროზე, რომელიც საჭიროა გამომშვებ რესივერში დამყარებული მაქსიმალური წნევის მისაღწევად.

ამრიგად, ციკლური ქუმშვის ხარისხების $\varepsilon_1, \varepsilon_2, \varepsilon_3, \dots, \varepsilon_{m-1}, \varepsilon_m$ რიცხვთა სასრული მწერის პირველი წევრისათვის თუ შემოვიდებთ გარკვეულ აღნიშვნებს, გვექნება:

$$\varepsilon_1 = \frac{V_a}{V_p + V_c} + \frac{V_p}{V_p + V_c} = b + c; \quad \frac{V_a}{V_p + V_c} = b, \quad \frac{V_p}{V_p + V_c} = c.$$

ასე რომ, b და c რიცხვები არ შეიძლება იყოს ნებისმიერი; ისინი დამოკიდებულია ძრავას კონსტრუქციული პარამეტრების სიდიდეზე. თუ გავაგრძელებთ რიცხვითი თანმიმდევრობის რიგითი წევრების ჩაწერას, გვექნება:

$$\begin{aligned} \varepsilon_2 &= \frac{b}{\varepsilon_1} + c = \frac{b}{b+c} + c; \\ \varepsilon_3 &= \frac{b}{\varepsilon_1 \varepsilon_2} + c = \frac{b}{b(1+c) + c^2} + c; \\ \varepsilon_4 &= \frac{b}{\varepsilon_1 \varepsilon_2 \varepsilon_3} + \frac{b}{b(1+c+c^2) + c^3} + c; \\ \varepsilon_5 &= \frac{b}{\varepsilon_1 \varepsilon_2 \varepsilon_3 \varepsilon_4} + \frac{b}{b(1+c+c^2+c^3) + c^4} + c; \\ &\dots \\ \varepsilon_m &= \frac{b}{b \sum_{i=0}^{m-1} c^i + c^{m-1}} + c; \end{aligned}$$

ამ ჩანაწერის მიხედვით, რიცხვითი თანმიმდევრობის ε_i წევრები შეიცავს

$$1 + c + c^2 + c^3 + c^4 + c^5 + \dots + c^m$$

რიგის ნაწილობრივ ჯამებს კრებადი გეომეტრიული პროგრესის მნიშვნელით $0 < c < 1$. ასეთი რიგი

$$\text{კრებადია და მისი შესაბამისი ზღვარი } \varepsilon_m = \frac{1}{1-c};$$

ახლა გამოვიკვლიოთ საკითხი რიცხვითი თანმიმდევრობის ε_i ზოგადი წევრის ზღვრის შესახებ. ზღვრული გადასვლის გამოყენებით გვექნება

$$\lim \varepsilon_m = \lim \left(\frac{b}{b \sum_{i=0}^{m-1} c^i + c^{m-1}} + c \right) = \left(\frac{b}{b \varepsilon_m} + c \right) = 1,$$

ე.ი. თანმიმდევრობა ε_m -ის ზოგადი წევრი, როცა $m \rightarrow \infty$, მიისწავლის 1-კენ.

გამომშვები რესივერის თანმიმდევრულ ციკლებში წნევის განსაზღვრისას საქმე გვაქს კრებადი უსასრულო ნამრავლის ნაწილობრივ ნამრავლებთან $(\prod_{i=1}^m \varepsilon_i)$ და უნდა დავამტკიცოთ, რომ ძრავას კუმშვის ხარისხი ε არის ამ ნამრავლის ზღვარი. დასამტკიცებლად გამოვიყენოთ ნაწილობრივ ნამრავლთა შემდეგი გამოსახულება – $\prod_{i=1}^m \varepsilon_i$:

$$\prod_{i=1}^m \varepsilon_i = b \sum_{i=0}^{m-1} c^i + c^m,$$

რომელშიც ზღვარზე გადასვლით მივიღებთ

$$\prod_{i=1}^m \varepsilon_i = b \sum_{i=0}^{\infty} c^i = b \frac{1}{1-c} = \frac{V_a}{V_c} = \varepsilon,$$

რისი დამტკიცებაც გვინდოვა.

ამ მტკიცების თანახმად, ციკლების რაოდენობის უსასრულობისკენ სწრაფვის გამო გამომშვებ რესივერში ზღვრული წნევა

$$\lim P_m = p_0 \left(\prod_{n=1}^{\infty} \varepsilon_i \right)^n = p_0 \varepsilon^n;$$

გამომშვებ რესივერში ციკლური მიწოდების ზღვრული რაოდენობა

$$\lim \Delta G_k = \frac{V \cdot P_0}{R \cdot T_0} (\lim \varepsilon_k - 1) = 0,$$

ხოლო მასში პაერის საერთო მიწოდების ზღვრული სიდიდე

$$\lim G_k = \frac{V \cdot P_0}{R \cdot T_0} \prod_{m=1}^{\infty} \varepsilon_m = \frac{V \cdot P_0}{R \cdot T_0} \varepsilon.$$

როგორც ზემოთ მოყვანილი გაანგარიშებიდან ჩანს, გამომშვებ რესივერში პაერის ზღვრული მნიშვნელობის მისაღებად აუცილებელია ციკლების საქმაოდ მცირე რაოდენობა. თანამედროვე ძრავას დიდი მნიშვნელობის მქონე სამუშაო ციკლები უარყოფითად ვერ იმოქმედებს ავტომობილის დამუხრუჭების დინამიკაზე. ამის საილუსტრაციოდ განვიხილოთ რამდენიმე მაგალითი. პირველ მაგალითში, შესაბამისად, „ზილ-130“-ის ძრავას ცილინდრის ზომების მიხედვით შეიძლება მივიღოთ შემდეგი საწყისი მონაცემები

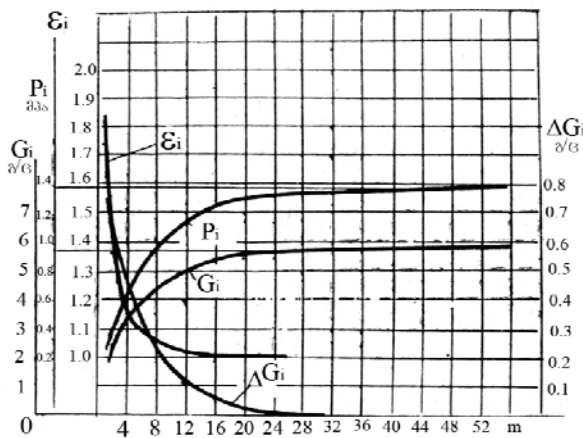
$$V_h = 747,5 \text{ l}\text{dm}^3, V_c = 136 \text{ l}\text{dm}^3, V_p = 747,5 \text{ l}\text{dm}^3, \varepsilon = 6,5.$$

ამ მონაცემებით გაანგარიშებული იყო ციკლური კუმულის ხარისხი (ε_i), წნევა (P_i), გამომშვებ რესივერში პაერის საერთო და ციკლური მიწოდების რაოდენობა (G_i და ΔG_i). მათი გრაფიკული წარმოდგენისათვის ეს სიდიდეები პირობითად განვიხილოთ არგუმენტის X -ის ფუნქციების სახით. ე.ო.

$$\varepsilon_i = f_1(x), \quad P_i = f_2(x),$$

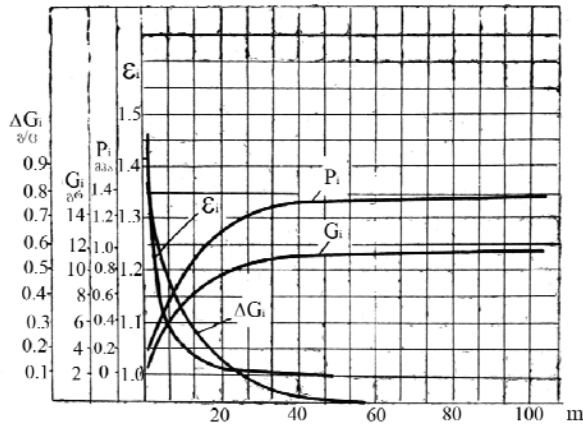
$$G_i = f_3(x), \quad \Delta G_i = f_4(x),$$

სადაც თითოეული ამ თანმიმდევრობის წევრი გამოსახავს ორდინატის სიდიდეს $x = 1, 2, 3, \dots, 52$ წერტილებში. ამგვარად აგებული გრაფიკი წარმოდგენილია მე-7 ნახ-ზე იმ თავისებურებით, რომ აბსცისა გაივლის მხელოდ რიცხვთა ნატურალურ რიგს.



ნახ. 7. ციკლური კუმულის ხარისხის, წნევის, რესივერში პაერის საერთო და ციკლური მიწოდების ცვლილება, როცა $V_p = 747,5 \text{ l}\text{dm}^3$ და კუმულის ხარისხი $\varepsilon = 6,5$

მეორე მაგალითში წნევის ზრდის დინამიკაზე რესივერის მოცულობის გავლენის განსასაზღვრავად V_p მოცულობა გადიდებულია 2-ჯერ, ხოლო დანარჩენი საწყისი მონაცემები უცვლელი დარჩა. მე-8 ნახ-ზე წარმოდგენილია შესაბამისი გრაფიკი.



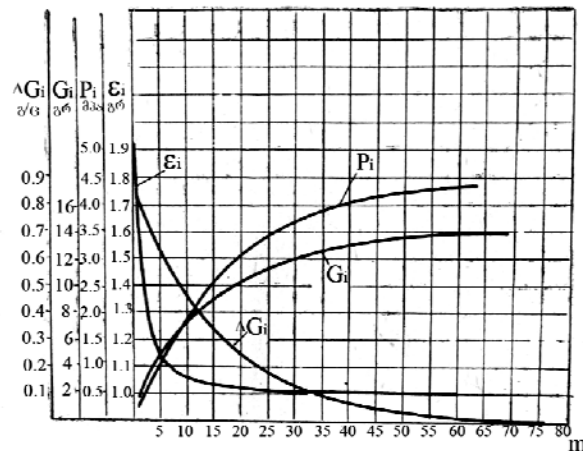
ნახ. 8. ციკლური კუმშვის ხარისხის, წნევის, რესივერში პაერის საერთო და ციკლურ მიწოდებათა ცვლილება, როცა $V_p=1495183$ და $\varepsilon=6,5$

მე-7 და მე-8 ნახაზების შედარებით ირკვევა, რომ რესივერის 2-ჯერ გადიდება იწვევს თავ-დაპირველი რიცხვითი წევრების თანმიმდევრობის (ε_i) შემცირებას, რომლებიც შემდეგ რომელიდაც წერტილიდან იზრდება, მაგრამ ამის პარალელურად არ ხდება ნაწილობრივი ნამრავლების ($\prod_{n=1}^m \varepsilon_i$) აუცილებელი მატება, რაც იწვევს გამომშვებ რესივერში შესაბამისი წნევების შემცირებას. ამის შედეგად რესივერში ერთნაირი წნევების მისაღებად საჭიროა როგორც შესრულებული ციკლების უფრო მეტი რაოდენობა, ისე დროის მონაკვეთის გაზრდაც.

რამდენადაც ძრავას კუმშვის ხარისხი ერთნაირია, გამომშვებ რესივერში წნევების ზღვრული მნიშვნელობა უცვლელია, ამასთან ერთად გამოყენებული საანგარიშო სქემით შესაძლებელია განისაზღვროს ძრავას კუმშვის ხარისხის გავლენა გამომშვებ რესივერში პაერის წნევის დინამიკაზე. ამ საკითხისადმი ინტერესი გამოწვეულია იმით, რომ შიგაწვის ძრავებს, რომლებიც ერთმანეთისაგან განსხვავდება აალების მეოთხით და ფორსირების ხარისხით, აქვს სხვადასხვა კუმშვის ხარისხი. ამ მიზნით განვიხილოთ მესამე მაგალითი შემდეგი საწყისი მონაცემებით:

$$V_h = 747,5 \text{ სმ}^3, V_c = 50 \text{ სმ}^3, V_p = 747,5 \text{ სმ}^3, \varepsilon = 15,95 .$$

იგი წინა მაგალითებისაგან განსხვავდება კუმშვის ხარისხით (ნახ. 9).



ნახ. 9. ციკლური კუმშვის ხარისხის, წნევის, რესივერში პაერის საერთო და ციკლური მიწოდების ცვლილება, როცა $V=747,5$ სმ³ და $\varepsilon=15,95$

განხილული მაგალითების შედარების შედეგად აღმოჩნდა, რომ ძრავას კუმშვის ხარისხის გადიდებით რიცხვითი თანმიმდევრობის თითოეული წევრის სიდიდე იზრდება, შესაბამისად იზრ-

დება მისი ნამრავლიც – $\prod_{n=1}^m \varepsilon_i$. იგი, იმავე თანმიმდევრული ციკლების მიხედვით, აღმოჩნდება მეტი, რაც იწვევს შესაბამისი P_i წნევის გადიდებას გამომშვებ რესივერში, სადაც ძრავას კუმშვის ხარისხი და მაშასადამე ნამრავლიც $\prod_{n=1}^m \varepsilon_i$ მეტია. პარალელურად იზრდება, ერთი მხრივ, წნევის ზღვრული მნიშვნელობა და, მეორე მხრივ, პარალელური მიწოდება.

როგორც განხილული მაგალითებიდან ჩანს, ახალი პარამეტრის – ციკლური კუმშვის ხარისხის – საშუალებით შესაძლებელი ხდება ხარისხობრივად სწორად გამოვიკვლიოთ შემდგენი ფაქტორები: თანმიმდევრულ ციკლებში წნევის ზრდის დინამიკა, ძრავას კუმშვის ხარისხისა და გამომშვები რესივერის მოცულობის გავლენა გამობოლქვის მაქსიმალურ წნევაზე და, საერთოდ, წნევის ზრდის დინამიკაზე. საბოლოოდ, მისი დახმარებით შესაძლებელია გამომშვებ რესივერში როგორც მაქსიმალური წნევების ცვლილების, ისე ცვალებადი კუმშვის ხარისხის გამოკვლევა.

ამრიგად, სახეზეა საავტომობილო შიგაწვის ძრავების სამუხრუჭო მაჩვენებლების მკვეთრი ზრდის შესაძლებლობა. დღემდე არსებული გამომშვები მუხრუჭები, როგორც წესი, მუშაობს ამ შესაძლებლობების გამოყენების გარეშე. მაგალითად, გამომშვები მუხრუჭების ცნობილ მექანიზმებს შეუძლია განავითაროს 0,3-0,4 მპა უკუწნევა, რამდენადაც მისი შემდგომი გაზრდა შეზღუდულია გამშვები სარქველების ზამბარების დრეკადობით. ასეთი წნევის მისაღწევად ერთცილინდრინა ძრავას (მაგალითების მიხედვით) დასჭირდება სულ ორი ციკლი. არადა ამ დროს ციკლური მიწოდება ძალიან მაღალია, მაგრამ შეკუმშული პარალელური შეადწევს გამომშვებ სისტემაში შეშვების ტაქტის დროს და გამოდის გარეთ. შეკუმშულ და გამომავალ პარალელური რაოდენობრივი წონასწორობა და წნევის ზრდის პროცესი წყდება. აქედან გამომდინარე, შემოთავაზებული საანგარიშო სისტემით შესაძლებელი ხდება პერმეტიზებასა და მისაღწევ მაქსიმალურ წნევას შორის კავშირის დამყარება, როთაც შეიძლება განისაზღვროს ძრავას სიმძლავრის ფორსირების ხარისხი სამუხრუჭო რეჟიმების დროს.

ლიტერატურა—REFERENCES—ЛИТЕРАТУРА:

1. Джебашвили И., Кордзадзе Б., Деметрашвили Р. Математическая модель для расчета рабочего процесса принудительно прокручиваемого автомобильного двигателя // Сообщения АН ГССР, 86, №2, 1977, с. 413 – 416.
2. Кордзадзе Б. И. Выпускной тормоз-замедлитель высокой эффективности // Двигателестроение, №7, Л., 1992, с.55-57.

დიდებულებური ძრავულ-მუსიკიანი საავტომობილო შიგაწვის ძრავების
სამეცნიერო-ტექნიკური კვლევა

ბ. კორძაძე, რ. დემეტრაშვილი

(რ. დვალის მანქანათა მუქანიკის ინსტიტუტი)

რეზიუმე: სტატიაში მოცემულია დიდებულებური ძრავულ-მუსიკიანი შიგაწვის ძრავას სამუშაო პროცესის სამეცნიერო-ტექნიკური კვლევის შედეგები. ეს მუსიკი შექმნილია რ. დვალის მანქანათა მუქანიკის ინსტიტუტში და ხასიათდება მარტივი კონსტრუქციით, მცირე მასით, დამზადების მცირე ხარჯებით და სერიულ ავტომობილებზე დაყენების შესაძლებლობით, რაც მას აძლევს საგრძნობ უპირატესობას საავტომობილო მუსიკ-შემნელებლებს შორის.

MECHANICAL ENGINEERING

SCIENTIFIC-TECHNICAL RESEARCH OF HIGH EFFECTIVE MOTOR BRAKE WITH INTERNAL COMBUSTION ENGINE

B. Kordzadze, R. Demetrašvili

(R. Dvali Institute of Machine Mechanics)

Resume: There is presented the results of scientific-technical research of working process of the high effective motor brake with internal combustion engine. This motor brake, made in R. Dvali Institute of Machine Mechanics, has simple construction, light weight, low expenses at making and possibility to install it on the serial automobile, which gives it a certain advantage over automobile brake-retarders.

МАШИНОСТРОЕНИЕ

НАУЧНО-ТЕХНИЧЕСКОЕ ИССЛЕДОВАНИЕ ВЫСОКОЭФФЕКТИВНОГО МОТОРНОГО ТОРМОЗА С ДВИГАТЕЛЕМ ВНУТРЕННЕГО СГОРАНИЯ

Б. Кордзадзе, Р. Деметрашвили

(Институт механики машин им. Р. Двали)

Резюме: В статье приведены результаты научно-технического исследования высокоеффективного моторного тормоза с двигателем внутреннего сгорания. Этот моторный тормоз, созданный в Институте механики машин им. Р. Двали, характеризуется простотой конструкции, малым весом, малым расходом изготовления и возможностью установки на серийный автомобиль, что дает ему определенное преимущество среди автомобильных тормозов-замедлителей.

სატრანსპორტო მანქანათმშენებლობა

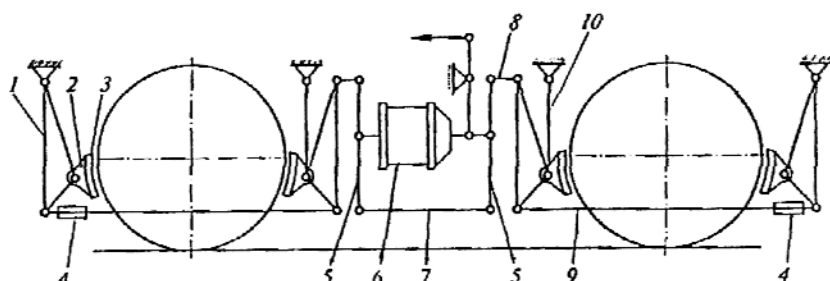
ელექტრული ვატიმალური სამუხრუჭო ბერკეტული გადაცემის დამუშავება

† გ. შარაშენიძე, ა. შარვაშიძე, ლ. თელიაშვილი, ს. შარაშენიძე

(საქართველოს ტექნიკური უნივერსიტეტი)

სამუხრუჭო ბერკეტული გადაცემის დანიშნულებაა სამუხრუჭო ცილინდრის მიერ განვითარებული დაწოლის ძალის სამუხრუჭო ხუნდებისათვის გადაცემა სახსრულ შეერთებებში მცირე ძალური დანაკარგებით. ნებისმიერი სამუხრუჭო ბერკეტული გადაცემა უნდა ითვალისწინებდეს ყველა სამუხრუჭო ხუნდის მიმართ ერთნაირი დაწოლის ძალის გადაცემას; ამასთან, ხუნდზე დაწოლის მნიშვნელობა არ უნდა იყოს დამოკიდებული ბერკეტებისა და წევების დახრის კუთხებზე; უნდა ახასიათებდეს საკმაო სიმტკიცე და სიხისტე; ადგურვილი უნდა იყოს ავტომარეგულირებელი მოწყობილობით; მუხრუჭის აშვების დროს საჭიროა სამუხრუჭო ხუნდების ერთნაირი მანძილით დაშორება ვაგონის თვლის გორგის ზედაპირიდან (ე.ი. აუცილებელია დადგენილი ღრეჩოს უზრუნველყოფა თვლის გორგის ზედაპირისა და ხუნდის ზედაპირს შორის); უნდა ჰქონდეს ძალზე დიდი მქა და ა.შ.

ასეთი ძირითადი მოთხოვნები ვრცელდება ელმავლის სამუხრუჭო ბერკეტული გადაცემის მიმართაც. სასურველია სამუხრუჭო გადაცემას ჰქონდეს ბერკეტების, წევებისა და სახსრული შეერთებების მინიმალური რაოდენობა, რაც დღეისათვის მეტად აქტუალურია. ჩვენ მიერ წარმოდგენილია არსებული VL 10 ელმავლის სამუხრუჭო ბერკეტული გადაცემის სქემა (ნახ. 1), რომელიც კონსტრუქციულად მეტად რთული სახსრული გადაცემაა, რადგან იგი დიდი რაოდენობით ბერკეტების, წევებისა და სახსრული შეერთებებისაგან შედგება. სქემის მიხედვით, სამუხრუჭო გადაცემა შეიცავს 23 ბერკეტსა და წევას და ამდენივე სახსრულ შეერთებას, რაც ზრდის სახსრულ შეერთებებში ხახუნის ძალების დაძლევაზე სამუხრუჭო ცილინდრიდან გადაცემული დაწოლის ძალის დანაკარგების სიდიდეს და ამცირებს დაწოლის ძალის მნიშვნელობას სამუხრუჭო ხუნდების მიმართ. გარდა ამისა, ურიკის ჩარჩოზე დიდი რაოდენობითაა გამოყენებული გადაცემის ბერკეტებისა და წევების სამაგრი დეტალები, რაც ზრდის ეპონომიკურ ხარჯებს სამუხრუჭო გადაცემის აწყობასა და დამზადებაზე.



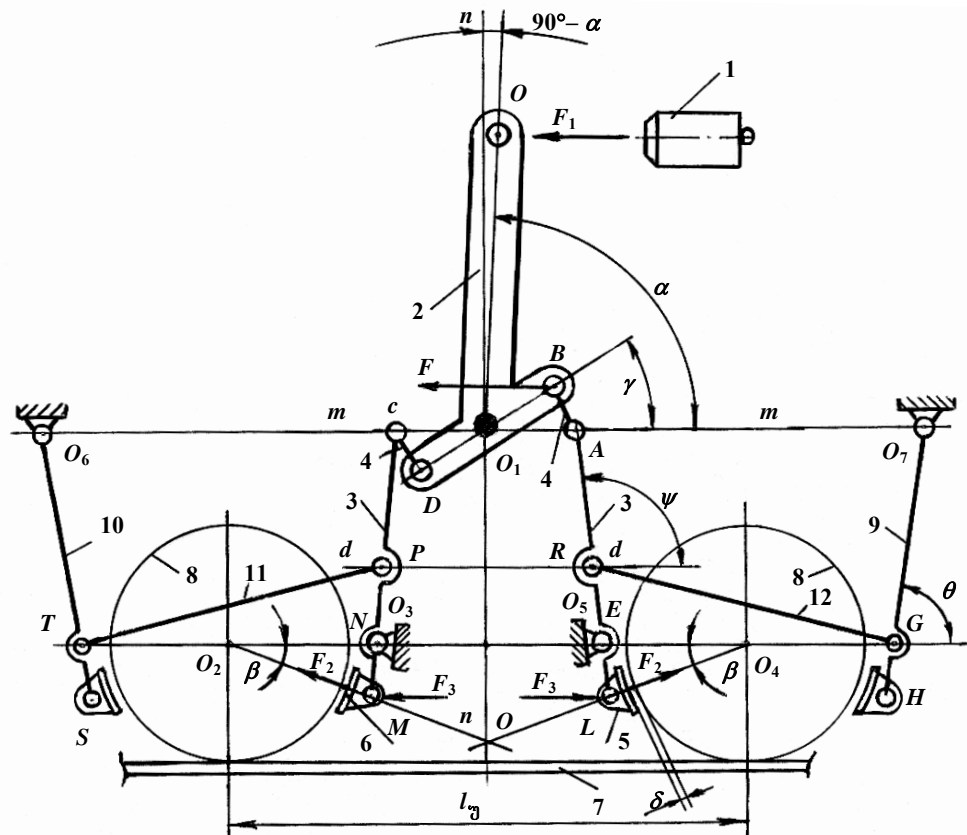
ნახ. 1. VL 10 ელმავლის არსებული სამუხრუჭო ბერკეტული გადაცემის სქემა. 1, 10 – საკიდები;
2 – სამუხრუჭო ბუნიკი; 3 – სამუხრუჭო ხუნდი; 4 – ხრახნული მარეგულირებელი ქურო;
5 – საბალანსო ბერკეტი; 6 – სამუხრუჭო ცილინდრი; 7, 8, 9 – წევები

სამუხრუჭო ბერკეტული გადაცემა მოძრაობაში მოჰყავს 254 მმ დიამეტრის მქონე სამუხრუჭო ცილინდრს. მისგან გამომავალი ჭოკის ზემოქმედებით დამწოლი ძალა გადაეცემა ბალანსირების – საბალანსო ბერკეტებს (5), რომლებიც ქვედა სახსრებში შეერთებულია წევით (7). ბალანსირების ზედა სახსრების წევების (8) საშუალებით დაწოლის ძალა გადაეცემა საკიდს (1), ხოლო ბუნიკი (2)

უზრუნველყოფს ხუნდის (3) მიჭერას თვლის გორგის ზედაპირთან. წევის (8) საშუალებით შემორუნდება ბერკეტი (10) უძრავი ბრუნვითი სახსრის მიმართ და წევის (9) ზემოქმედებით დაწოლის ძალა გადაუცემა დანარჩენ ხუნდებს. მარეგულირებელი ქურო (4) გამოიყენება ქვედა წავების სიგრძეთა ცვლილებებისათვის.

განხილული სამუხრავჭო ბერკეტული გადაცემა კონსტრუქციულად რთულია, ამიტომ ჩვენ მიერ დამუშავებულ იქნა ოპტიმალური სამუხრავჭო ბერკეტული გადაცემა, რომელიც შეიცავს 18 სახსრულ შეერთებას, 10 ბერკეტსა და წევას. ოპტიმალური ბერკეტული გადაცემის სქემა წარმოდგენილია ქ-2 ნახ-ზე.

ოპტიმალური სამუხრუჭო ბერკეტული გადაცემა გამოირჩევა წინამორბედისაგან როგორც კონსტრუქციული სიმარტივით (იგი შეიცავს 5 სახსრითა და 13 სახსრული შეერთებით ნაკლებს), ისე საექსპლუატაციო და ხანგამძლევობის პარამეტრებით. სამუხრუჭო ცილინდრიდან (1) გადაცემულ ძალას ხუნდების სამუხრუჭო მდგომარეობაში მოყვანამდე აქვს 25 %-ით ნაკლები ძალური დანაკარგი არსებულთან შედარებით, ხოლო ბერკეტებისა და წევების რაოდენობა შემცირებულია 52 %-ით. იგი უზრუნველყოფს სრულ სამუხრუჭო ეფექტს როგორც ნაკლებ დროში წევებისა და ვერტიკალური ბერკეტების განლაგების, ასევე შესაძლო მოძრაობათა სრულყოფის შემთხვევაში. არსებულისაგან განსხვავებით, ოპტიმალურ სამუხრუჭო ბერკეტულ გადაცემაში პირველადაა გამოყენებული დახრილი ბერკეტები (11 და 12), რომელებიც ვერტიკალურ ბერკეტებთან (3) ერთად იწყებს გადაადგილებას და უზრუნველყოფს ოთხივე სამუხრუჭო ხუნდის ერთდროულ დაწოლას ვაგონის თვლის გორვის ზედაპირის მიმართ.



ნახ. 2. ВЛ 10 კლმავლის ოპტიმალური სამუხრუჭო ბერკეტული გადაკეტის სქემა.

1 – სამუხრუჭო ცილინდრი, 2 – საერთო ამტავი ბერკეტი, 3 – გერტიკალური სუნდებიანი ბერკეტები,
4 – მოქლე წევები, 5 – სამუხრუჭო სუნდის ბუნები, 6 – საშუალურო სუნდები; 7 – რელსი, 8 – გაგონის თვალი,
9, 10 – მხრალები, 11, 12 – დახრილი წევები

არსებულ სამუხრუჭო ბერკეტულ გადაცემაში წევები (9) განლაგებულია ლიანდაგის რელსებთან და შპალებთან ახლოს, ამიტომ წევები განიცდის ატმოსფერულ და კოროზიულ ზემოქმედებას; ჭუჭყიანდება მიწის ვაკისი მტვრითა და ვაგონის ზეთოვანი ჩამონადენით, რის გამოც ხდება მათი ზედაპირული დაზიანება და მწყობრიდან ნაადრევი გამოსვლა. ოპტიმალურ სამუხრუჭო ბერკეტულ გადაცემაში ასეთი მოვლენები გამორიცხულია.

ოპტიმალურ სამუხრუჭო ბერკეტულ გადაცემას არ სჭირდება დიდი რაოდენობით ურიკის ჩარჩოსთან შემაერთებელი სამაგრები, ხოლო მისი კონსტრუქციული გაუმჯობესება ზრდის ეკონომიკურ ეფექტურიანობას გადაცემის დამზადებასა და აწყობაზე.

საინტერესოდაა შერჩეული ურიკის ჩარჩოს მიმართ ოპტიმალური სამუხრუჭო ბერკეტული გადაცემის შემადგენელი ბერკეტებისა და წევების აღგილმდებარეობა – ის, რომელიც განლაგებულია ვერტიკალურ სიბრტყეში ვაგონის ურიკის ჩარჩოს $m-m$ დონის დაბლა, წარმოადგენს სამუხრუჭო კვანძს, მეორე, რომელიც ურიკის ჩარჩოსადმი ჰორიზონტალურადად განლაგებული, არ სცდება ჩარჩოს და ვავლენას ვერ ახდენს ურიკის მიმართ ვაგონის ძარას მოძრაობაზე. ვერტიკალურ სიბრტყეში განთავსებულია ვერტიკალური ბერკეტები (3, 9, 10) და წევები (11, 12). ჰორიზონტალურ სიბრტყეში – მხოლოდ სამუხრუჭო ცილინდრი (1), საერთო ამძრავი ბერკეტი (2) და მოკლე წევები (4). ამძრავი ბერკეტი (2) გადახრილია საერთო ვერტიკალური სიმეტრიის $n-n$ ლერძიდან $90^\circ - \alpha$ კუთხით სამუხრუჭო ცილინდრისაკენ. ამავე კუთხით გადაიხრება ამძრავი ბერკეტი $n-n$ ლერძიდან სამუხრუჭო ცილინდრის ჭოკის ზემოქმედების შედეგად მარცხნივ საბოლოო დამუხრუჭებამდე. ე.ი. ამძრავი ბერკეტის შემობრუნების $180^\circ - 2\alpha$ კუთხე შეესაბამება ჭოკის გამოსვლის 20–25 სმ-ს. O_1 , O_3 და O_5 უძრავი სახსრული შეერთებების გარშემო შემობრუნდება საერთო ამძრავი (2) და ხუნდებიანი ბერკეტები (3), ხოლო ურიკის თვლები O_2 და O_4 ცენტრებით გადაადგილდება რელესის (7) მიმართ. უძრავი O_6 და O_7 ბრუნვითი სახსრების მიმართ შემობრუნდება მხრეულები (9, 10). ღრეჩო დ ვაგონის გორვის ზედაპირსა და სამუხრუჭო ხუნდის შიგა მუშა ზედაპირს შორის ყველგან ერთნაირია.

ოპტიმალური სამუხრუჭო ბერკეტული გადაცემის მუშაობის პრინციპი ასეთია: ურიკის ჩარჩოს ზედაპირის $m-m$ ჰორიზონტალის მიმართ ამძრავი ბერკეტის შემობრუნება α კუთხით სამუხრუჭო ცილინდრის ჭოკის F_1 ძალის O სახსარში მოქმედების შედეგად იწვევს B და D სახსრების შემობრუნებას საათის ისრის მოძრაობის საპირისპირო მიმართულებით, რის გამოც A და C სახსრების მიმართ ურთიერთსაპირისპირო მიმართულებით შემობრუნდება სამუხრუჭო ხუნდებიანი (6) ბერკეტები (3). ამავე დროს ისინი შემობრუნდებიან O_3 და O_5 უძრავი სახსრების მიმართ ψ კუთხით და ხუნდები მიებჯინება თვლის გორვის ზედაპირებს. დახრილი წევები (11, 12) შემობრუნდება P და R სახსარში ხუნდებიანი ბერკეტების (3) მიმართ და ახდენს მხრეულებით (9, 10) S და H თვლების გორვის ზედაპირზე ხუნდების ერთდროულ მისარენას. G და T სახსრები განლაგებულია თვლების O_2 და O_4 ცენტრების შემაერთებელ ხაზზე, ხოლო P და R სახსრების მდებარეობა პრაქტიკულად უნდა გადაწყვდეს გორვის ზედაპირებისადმი ხუნდების დაწოლის ძალის გაანგარიშების შემდეგ, ე. ი. სინთეზის ამოცანის გადაწყვეტის პროცესში უნდა დადგინდეს NP და ER მონაკვეთების სიგრძე. ცხადია, P და R სახსრები ძევს $d-d$ ჰორიზონტალურ წრფეზე და ამავე დროს CM და AL ხუნდებიან ბერკეტებზე.

ამრიგად, I_3 ურიკის ბაზის არსებობისას გადაწყვეტილია ოპტიმალური ბერკეტული გადაცემის გეომეტრიული პარამეტრები და მოქმედების პრინციპი.

როგორც აღვნიშნეთ, ოპტიმალური სამუხრუჭო გადაცემის მცირე რაოდენობის სახსრულ შეერთებებში ძალური დანაკარგები ხახუნის ძალების დაძლევაზე შემცირებულია. გადაცემის ფარდობა ამძრავი ბერკეტისათვის (2) უდრის $U_1 = O O_1 / O_1 B_1$ სიდიდეს, ამიტომ B სახსარში სამუხრუჭო ცილინდრის ჭოკის დაწოლის F_1 ძალის მნიშვნელობა გაიზრდება და მიმართული იქნება B სახსრიდან მარცხნივ. მისი მნიშვნელობა განისაზღვრება ტოლობით:

$$F = F_1 \frac{OO_1}{O_1B} \sin \alpha . \quad (1)$$

იგივე ძალა იმოქმედებს ურთიერთსაწინაღმდეგო მიმართულებით A და C სახსრებში.

გადაცემის ფარდობა AL და CM ბერკეტებისათვის ერთნაირია და გამოითვლება შემდეგი ფორმულით:

$$U_2 = \frac{AL+EL}{EL} . \quad (2)$$

(2) ტოლობის გათვალისწინებით, L და M ბრუნვის ცენტრებში იმოქმედებს ხუნდზე დაწოლის F_3 ძალა, რომელიც გამოითვლება ფორმულით

$$F_3 = FU_2 \sin \psi . \quad (3)$$

U_2 -ის მნიშვნელობის გათვალისწინებით

$$F_3 = F_1 \frac{OO_1}{O_1B} \cdot \frac{AL+EL}{EL} \sin \alpha \sin \psi . \quad (4)$$

რადგან ხუნდზე დაწოლის F_2 ძალა თვლის ცენტრის მიმართ ადგენს β დაწოლის კუთხეს, ამიტომ

$$F_2 = F_1 \frac{OO_1}{O_1B} \cdot \frac{AL+EL}{EL} \sin \alpha \sin \psi \cos \beta . \quad (5)$$

ხუნდის დაწოლის ასეთივე ძალა იმოქმედებს მხრეულების სამუხრუჭო ხუნდების H და S სახსრულ შეერთებებში.

ორდერძიანი ურიკა აღჭურვილია 8 სამუხრუჭო ხუნდით, ამიტომ $n = 8$ ხუნდის შემთხვევაში

$$F_2 = 8F_1 \frac{OO_1}{O_1B} \cdot \frac{AL+EL}{EL} \sin \alpha \sin \psi \cos \beta . \quad (6)$$

ზოგადად შეიძლება დაიწყეროს:

$$F_{2(n)} = nF_1 \frac{OO_1}{O_1B} \cdot \frac{AL+EL}{EL} \sin \alpha \sin \psi \cos \beta . \quad (7)$$

საბოლოოდ შეიძლება დავასკვნათ, რომ სამუხრუჭო ბერკეტული გადაცემის ოპტიმალური ვარიანტის მიხედვით, საჭიროა ჩატარდეს გადაცემის სინოეზი გეომეტრიული და ძალური პარამეტრების შერჩევის გზით, რათა მიღებულ იქნეს გაუმჯობესებული სამუხრუჭო ეფექტი.

ლიტერატურა—REFERENCES—ЛИТЕРАТУРА:

1. Афонин Г. С. Автоматические тормоза подвижного состава. М.: Академия, 2010.
2. Крылов В. И., Кликов В. В., Ясенцев В. Ф. Автоматические тормоза. М.: Транспорт, 1976.
3. გ. ს. შარაშებიძე. ვაგონების დინამიკა. თბ.: განათლება, 2001.
4. Шарашенидзе Г. С., Долидзе М. Р. Оптимальная тормозная рычажная передача с двусторонним нажатием колодок моторного вагона электропоезда // Труды ГТУ, №2(472), Тб., 2009.

სატრანსპორტო მანქანათმშენებლობა

ელმაგლის ოკუმალური სამუხრუჭო ბერკეტული გადაცემის დამუშავება

† გ. შარაშენიძე, ა. შარვაშიძე, ლ. თეძიაშვილი, ს. შარაშენიძე

(საქართველოს ტექნიკური უნივერსიტეტი)

რეზიუმე: ნაშრომში დამუშავებულია ოპტიმალური სამუხრუჭო ბერკეტული გადაცემა VL 10 ტიპის ელმაგლებისათვის. ოპტიმალური გადაცემა უზრუნველყოფს არსებულთან შედარებით საიმედო სამუხრუჭო ეფექტს ბერკეტების, წევებისა და სახსრული შეერთებების უფრო ნაკლები რაოდენობით გამოყენებისას. მიღებულია სამუხრუჭო ხუნდის დაწოლის ძალის მნიშვნელობის ანალიზური გამოსახულება სამუხრუჭო ცილინდრის მიერ განვითარებული დაწოლის ძალისა და სისტემის გადაცემის რიცხვის გათვალისწინებით.

TRANSPORTATION ENGINEERING

DEVELOPMENT OF OPTIMAL BRAKE LEVERAGE TRANSMISSION OF ELECTRIC LOCOMOTIVE

† G. Sharashenidze, A. Sharvashidze, L. Tediashvili, S. Sharashenidze

(Georgian Technical University)

Resume: There is developed optimal brake leverage transmission for VL 10 type electric locomotive. Due the optimal brake transmission there is provided reliable braking effect with less number of lever rods and joint connections. There is obtained value of the brake shoes pressing force in an analytical form, with taking into account the brake cylinder pressing force and system transmission ratio.

ТРАНСПОРТНОЕ МАШИНОСТРОЕНИЕ

РАЗРАБОТКА ОПТИМАЛЬНОЙ ТОРМОЗНОЙ РЫЧАЖНОЙ ПЕРЕДАЧИ ЭЛЕКТРОВОЗА

† Г. Шарашенидзе, А. Шарвашидзе, Л. Тедиашвили, С. Шарашенидзе

(Грузинский технический университет)

Резюме: Разработана оптимальная тормозная рычажная передача для электровозов типа ВЛ 10. Оптимальной тормозной передачей обеспечивается надежный тормозной эффект с меньшим количеством рычагов, тяг и шарнирных соединений. Получено значение силы нажатия тормозной колодки в аналитической форме, с учетом силы нажатия тормозного цилиндра и числом передачи системы.

სატრანსპორტო მანქანათმშენებლობა

გაბონის მოძრაობის კინეტიკური მნიშვნელის განსაზღვრა ურიკების არასიმუტრიული განლაგების გათვალისწინებით

†გ. შარაშენიძე, ი. ზაკუტაშვილი, ლ. თედიაშვილი, ს. შარაშენიძე

(საქართველოს ტექნიკური უნივერსიტეტი)

სარკინიგზო მოძრავი შემადგენლობის უსაფრთხო მოძრაობას განაპირობებს მთელი რიგი ფაქტორები. მათ შორის ადსანიშნავია რკინიგზის ლიანდაგის რელსების ტექნიკური პარამეტრების სტანდარტული მდგომარეობის უზრუნველყოფა – რელსების დაგება გარკვეული დახრის კუთხით შპალებისადმი; შპალების ჩაჯდომის პარამეტრების დაცვა შემადგენლობის გავლისას; რელსების შეერთების (შეპირაპირების) სახეობა; რელსების თანაბარი განლაგება ლიანდაგის სიმეტრიის დერძის მიმართ; შპალების მიწის ვაკისის გარგისიანობა ნებისმიერი კლიმატური პირობების შემთხვევაში; რელსის მასების თანაბარი განაწილება და ერთგვაროვნება რელსის მთელ სიგრძეზე რელსის თავის გორვის ზედაპირის უთანაბრობების მინიმიზაცია და გორვის წრის შესაბამისობა ვაგონის თვლის გორვის წრის ტრაექტორიასთან. ასევე აუცილებელია ვაგონის თვლის სტანდარტული პარამეტრების დაცვა; კერძოდ: თვლის გორვის ზედაპირების შენარჩუნება გარკვეული სახის ანაგლევების, ბზარების ან ნაცოცების გარეშე; თვლის გორვის წრის შესაბამისობაში მოყვანა რელსის თავის გორვის ზედაპირის მიმართ; თვლის დისბალანსის გამორიცხვა; წყვილთვალის ორივე თვლის გორვის ზედაპირების გასწვრივ კინემატიკური და გეომეტრიული ცენტრების თანხვედრის უზრუნველყოფა; თვლის ქიმის შიგა ზედაპირზე ცრუ ქიმის არსებობის საწინააღმდეგო ღონისძიებების გატარება; თვლისა და რელსის თვლის კონტაქტის წერტილში განივი ძალების მინიმიზაცია; თვლის გორვის ზედაპირზე ნაცოცის გეომეტრიული ზომების დასაშვები დიაპაზონის შენარჩუნება.

შემადგენლობის მოძრაობის უსაფრთხოების უზრუნველყოფის მიზნით უნდა გაირკვეს თითოეული ვაგონის მოძრაობის ძირითადი პარამეტრები, რაც გულისხმობს ამ პარამეტრების მიმართ მოძრაობის დიფერენციალური განტოლებების შედგენას და მათს ერთობლივ ამოხსნას კომპიუტერული ტექნიკის გამოყენებით.

ამ მიზნის მისაღწევად პირველ რიგში უნდა განისაზღვროს ვაგონის მოძრაობის თავისუფლების ხარისხი, თავისუფლების ხარისხის რაოდენობის მიხედვით კი – მოძრაობის დიფერენციალურ განტოლებათა რიცხვი.

როგორც ნებისმიერ ფიზიკურ სხეულს, ვაგონს უნდა ჰქონდეს მოძრაობის ექვსი თავისუფლების ხარისხი – გადადგილება OX , OY , OZ დერძების მიმართ და შემობრუნებები ამავე დერძებისადმი. იმის გამო, რომ ვაგონი არ არის ხისტად შეკრული ფიზიკური სხეული, ამიტომ მისი მოძრაობის თავისუფლების ხარისხი უნდა განისაზღვროს მისივე ელემენტების მოძრაობის თავისუფლების ხარისხთა ჯამით.

როგორც ზემოთაც აღნიშნეთ, ვაგონის შემადგენლ თითოეულ ელემენტს აქვს მოძრაობის ექვსი თავისუფლების ხარისხი. ასეთ ელემენტებს მიეკუთვნება ვაგონის ძარა, ორი ურიკა და ოთხი წყვილთვალი დრეკადი საბუქსე ზამბარული კომპლექტით. ერთმაგი საბუქსე ჩამოკიდების შემთხვევაში დადგენილი უნდა იქნეს ვაგონის მოძრაობის თავისუფლების ხარისხი და კინეტიკური ენერგია.

ვაგონის სრული კინეტიკური ენერგია წარმოადგენს ძარასა და ურიკების კინეტიკური ენერგიების ჯამს. კინეტიკური ენერგიის განსაზღვრისას გამოვრიცხავთ ვაგონზე მცირე ძალით ზემოქმედებას, რაც გავდენას ვერ მოახდენს ვაგონის მოძრაობის კინეტიკურ ენერგიაზე. ვაგონის ძარას, ურიკის ხარხს და ოთხივე წყვილთვალს წარმოვადგენთ აბსოლუტურად ხისტი სხეულების

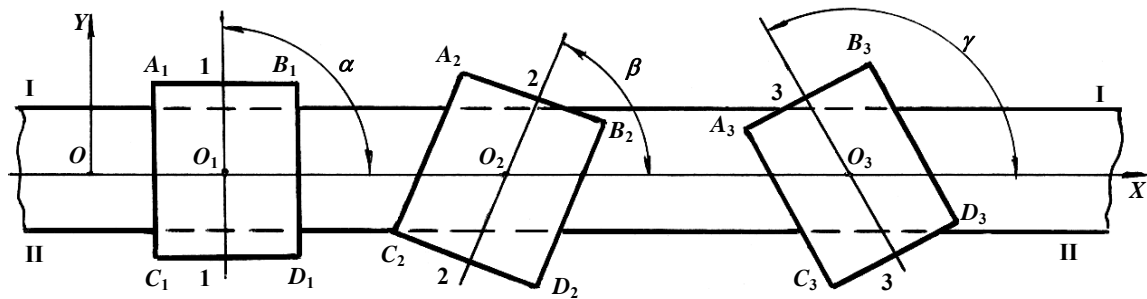
სახით რომელიმე პვეტში დრეკადობის გათვალისწინების გარეშე. აღნიშნული დაშვებების მიხედვით ვაგონის სრული კინეტიკური ენერგია გამოისახება ტოლობით:

$$T = T_d + T_{\varphi 1} + T_{\varphi 2}, \quad (1)$$

სადაც T_d , $T_{\varphi 1}$ და $T_{\varphi 2}$ არის ვაგონის ძარას, პირველი და მეორე ურიკების კინეტიკური ენერგიები.

ადსანიშნავია, რომ ურიკების მდებარეობა ლიანდაგის მიმართ ალბათური ხასიათისაა, რაც გამოწვეულია რელსისა და ვაგონის თვლის გორვის ზედაპირების უთანაბრობებით. ურიკის ჩარჩოს შესაძლო განლაგება ლიანდაგის მიმართ წარმოდგენილია 1-ელ ნახ-ზე.

ურიკის O_1 , O_2 და O_3 ცენტრების მიმართ ნებისმიერი განლაგების შემთხვევაში ურიკის და ლიანდაგის სიმეტრიის OX დერძებს შორის შეიძლება არსებობდეს შემობრუნების სხვადასხვა კუთხე – ლიანდაგის დერძის მიმართ სიმეტრიული განლაგებისას შემობრუნების კუთხეა α ($\alpha = 90^\circ$), ჩარჩოს $A_2B_2C_2D_2$ და $A_3B_3C_3D_3$ შემობრუნებისას $\gamma - \beta$ და γ . ამ დროს წყვილთვლების ზემოქმედებით იცვლება განივი ძალები ლიანდაგის I და II რელსის თავის მიმართ, მაგრამ სწორხაზოვან უბანზე მოძრაობისას ისინი გავლენას ვერ ახდენენ ვაგონის კინეტიკურ ენერგიაზე. ამის დასადასტურებლად განვიხილოთ ვაგონის კინეტიკური ენერგიის საანგარიშო სქემა (ნახ. 2).

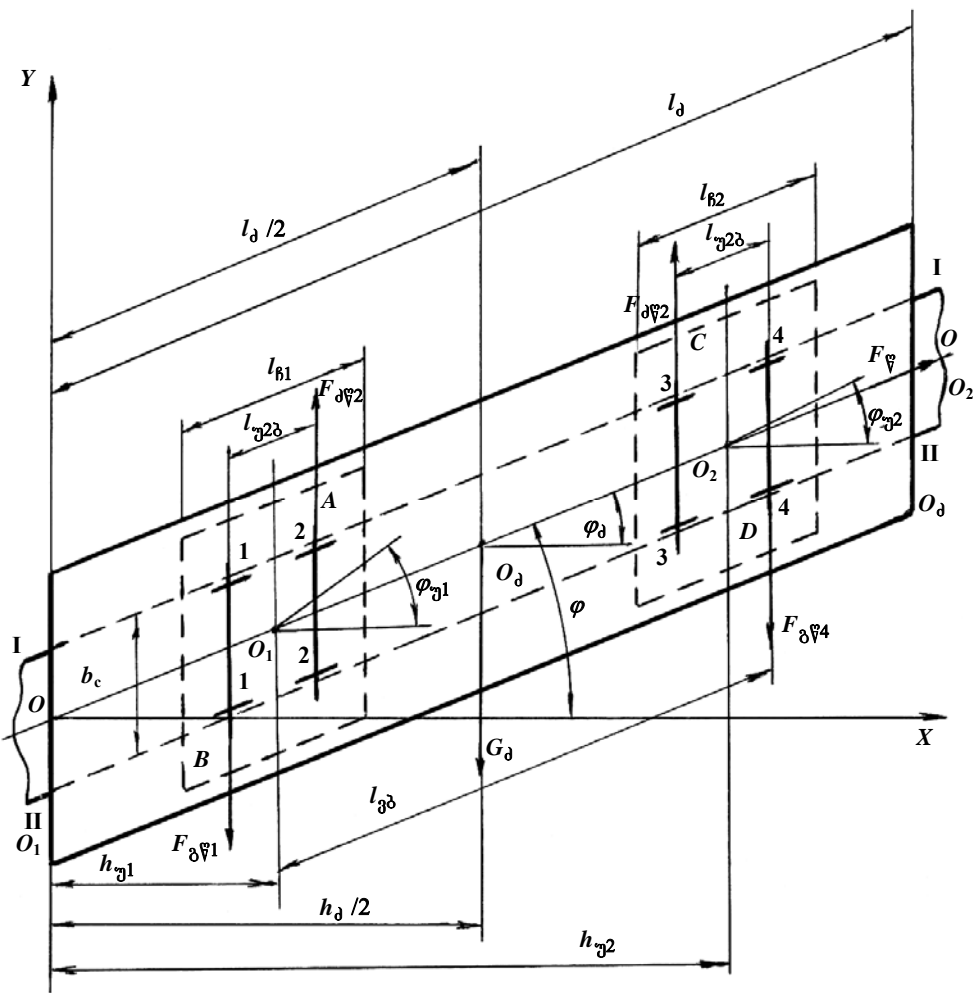


ნახ. 1. ვაგონის ურიკის ჩარჩოს შესაძლო განლაგება ლიანდაგის სწორხაზოვან უბანზე მოძრაობისას

OY და OZ საკორდინატო დერძების მიმართ ვაგონის ელემენტების მოძრაობის თავისუფლების ხარისხების გამორიცხვით კინეტიკური ენერგიის გაანგარიშებას დოკომოტივის F_{ψ} ძალის ზემოქმედებისას ვახდენთ მხოლოდ XOY სიბრტყეში (ნახ. 2). ამ სქემის მიხედვით, ვაგონი მოძრაობს φ დახრის კუთხის მქონე ქანობზე. მივიჩნევთ, რომ ქანობი სწორხაზოვანია, პირველი და მეორე ურიკის მასები ასევე წარმოადგენს შესაბამისი ურიკის $m_{\psi i}$ ჩარჩოსა და წყვილთვლების $m_{\psi i}$ მასების ჯამს, ე.ო.

$$\left. \begin{aligned} m_{\varphi 1} &= m_{\psi 1} + m_{\psi 1} + m_{\psi 2}; \\ m_{\varphi 2} &= m_{\psi 2} + m_{\psi 3} + m_{\psi 3}. \end{aligned} \right\} \quad (2)$$

აქვე შევნიშნავთ, რომ ურიკების O_1 და O_2 ცენტრები ლიანდაგის სიმეტრიის OO დერძზეა, რომლის გასწვრივაც მოქმედებს F წევის ძალა. თვლისა და რელსის თავის გორვის ზედაპირების უთანაბრობათა გამო ურიკები შემობრუნდება φ_1 და φ_2 კუთხებით OX დერძის მიმართ, ხოლო ვაგონის ძარა – φ_δ კუთხით. შესაძლებელია I რელსზე წყვილთვლების განივი $F_{\delta \psi 2}$ და $F_{\delta \psi 3}$ ძალების, ხოლო II რელსის მიმართ $F_{\delta \psi 1}$ და $F_{\delta \psi 2}$ ძალების ზემოქმედება, რაც გათვალისწინებული იქნება ვაგონის მოძრაობის არაწრფივი დიფერენციალური განტოლებების შედგენის დროს. ძარას მასების O_δ ცენტრში მოქმედებს ძარას G_δ წონა.



ნახ. 2. ვაგონის მოძრაობის კინეტიკური ენერგიის საანგარიშო სქემა

(1) ფორმულის მიხედვით, მარჯვენა შესაკრების პირველი წევრი გამოითვლება ტოლობით:

$$T_d = \frac{1}{2} m_d V_{O_d}^2 + \frac{1}{2} I_{O_d} \dot{\varphi}_d^2, \quad (3)$$

სადაც m_d არის ძარას მასა;

V_{O_d} – ვაგონის ძარას მასებისა და ამავე დროს გეომეტრიული ცენტრის O_d -ის წრფივი სიჩქარე;

I_{O_d} – ძარას ინერციის ძალა მასების O_d ცენტრის მიმართ;

$\dot{\varphi}_d$ – ძარას შემობრუნების კუთხეური სიჩქარე OO სიმეტრიის დერძის მიმართ.

ძარას მასების O_d წრფივი სიჩქარის განსაზღვრის მიზნით უნდა დადგინდეს მისი კოორდინატები OX და OY დერძების მიმართ. გვექნება:

$$\left. \begin{aligned} X_{O_d} &= \frac{l_d}{2} \cos \varphi_d; \\ Y_{O_d} &= \frac{l_d}{2} \sin \varphi_d, \end{aligned} \right\} \quad (4)$$

სადაც l_d არის ვაგონის ძარას სიგრძე.

(4) სისტემის დიფერენცირებით მივიღებთ:

$$\left. \begin{aligned} \dot{X}_{O_d} &= -\frac{l_d}{2} \dot{\varphi}_d \sin \varphi_d; \\ \dot{Y}_{O_d} &= \frac{l_d}{2} \dot{\varphi}_d \cos \varphi_d. \end{aligned} \right\} \quad (5)$$

(3) ტოლობაში შემავალი $V_{O\delta}^2$ გამოითვლება ფორმულით:

$$V_{O\delta}^2 = \dot{X}_{O\delta}^2 + \dot{Y}_{O\delta}^2. \quad (6)$$

(5) სისტემის მიხედვით

$$V_{O\delta}^2 = \frac{l_\delta^2}{4} \dot{\phi}_\delta^2. \quad (7)$$

ძარას ინერციის ძალა

$$I_{O\delta} = \frac{m_\delta l_\delta^2}{12}. \quad (8)$$

(6) და (8) ტოლობების გამოყენებით გაგონის ძარას ენერგია გამოითვლება ფორმულით

$$T_\delta = \frac{1}{6} m_\delta \dot{\phi}_\delta^2 l_\delta^2. \quad (9)$$

პირველი ურიკის $T_{\mathfrak{J}1}$ კინეტიკური ენერგია

$$T_{\mathfrak{J}1} = \frac{1}{2} m_{\mathfrak{J}1} V_{O1}^2 + \frac{1}{2} I_{O1} \dot{\phi}_{\mathfrak{J}1}^2, \quad (10)$$

სადაც I_{O1} არის პირველი ურიკის მასების O_1 ცენტრის მიმართ აღძრული ინერციის ძალა; V_{O1} – პირველი ურიკის მასების O_1 ცენტრის წრფივი სიჩქარე.

პირველი ურიკისათვის

$$V_{O1}^2 = \dot{X}_{O1}^2 + \dot{Y}_{O1}^2, \quad (11)$$

სადაც X_{O1} და Y_{O1} არის მასების O_1 ცენტრის კოორდინატები

$$\left. \begin{aligned} X_{O1} &= \frac{1}{2} (l_\delta - l_{\mathfrak{J}1}) \cos \varphi_{\mathfrak{J}1}; \\ Y_{O1} &= \frac{1}{2} (l_\delta - l_{\mathfrak{J}1}) \sin \varphi_{\mathfrak{J}1}, \end{aligned} \right\} \quad (12)$$

ამ $l_{\mathfrak{J}1}$ არის გაგონის ბაზა.

(12) სისტემიდან მიიღება:

$$\left. \begin{aligned} \dot{X}_{O1} &= -\frac{1}{2} (l_\delta - l_{\mathfrak{J}1}) \dot{\phi}_{\mathfrak{J}1} \sin \varphi_{\mathfrak{J}1}; \\ \dot{Y}_{O1} &= \frac{1}{2} (l_\delta - l_{\mathfrak{J}1}) \dot{\phi}_{\mathfrak{J}1} \cos \varphi_{\mathfrak{J}1}. \end{aligned} \right\} \quad (13)$$

(13) ტოლობიდან გამომდინარე,

$$V_{O1}^2 = \frac{1}{4} (l_\delta - l_{\mathfrak{J}1})^2 \dot{\phi}_{\mathfrak{J}1}^2. \quad (14)$$

I_{O1} განისაზღვრება ტოლობით

$$I_{O1} = \frac{1}{12} m_{\mathfrak{J}1} l_{\mathfrak{J}1}^2, \quad (15)$$

სადაც $l_{\mathfrak{J}1}$ არის პირველი ურიკის ჩარჩოს სიგრძე.

(14) და (15) ტოლობების გათვალისწინებით ფორმულა (10) მიიღებს ასეთ სახეს:

$$T_{\mathfrak{J}1} = \frac{1}{8} m_{\mathfrak{J}1} (l_\delta - l_{\mathfrak{J}1})^2 \dot{\phi}_{\mathfrak{J}1}^2 + \frac{1}{24} m_{\mathfrak{J}1} l_{\mathfrak{J}1}^2 \dot{\phi}_{\mathfrak{J}1}^2. \quad (16)$$

მეორე ურიკის კინეტიკური ენერგია

$$T_{\mathfrak{J}2} = \frac{1}{2} m_{\mathfrak{J}2} V_{O2}^2 + \frac{1}{2} I_{O2} \dot{\phi}_{\mathfrak{J}2}^2, \quad (17)$$

სადაც V_{O2} არის მეორე ურიკის მასების O_2 ცენტრის წრფივი სიჩქარე OX -ის მიმართ; I_{O2} – მეორე ურიკის მასების O_2 ცენტრის ინერციის ძალა.

თავის მხრივ,

$$\left. \begin{aligned} X_{O2} &= \frac{1}{2} \left(l_d - \frac{l_{3d}}{2} \right) \cos \varphi_{32}; \\ Y_{O2} &= \frac{1}{2} \left(l_d - \frac{l_{3d}}{2} \right) \sin \varphi_{32}, \end{aligned} \right\} \quad (18)$$

სადაც l_{3d} არის ვაგონის ბაზა.

(18) სისტემის დიფერენციალური მივიღებთ:

$$\left. \begin{aligned} \dot{X}_{O2} &= -\frac{1}{2} \left(l_d - \frac{l_{3d}}{2} \right) \dot{\varphi}_{32} \sin \varphi_{32}; \\ \dot{Y}_{O2} &= \frac{1}{2} \left(l_d - \frac{l_{3d}}{2} \right) \dot{\varphi}_{32} \cos \varphi_{32}. \end{aligned} \right\} \quad (19)$$

აქვთ

$$V_{O2}^2 = \frac{1}{4} \left(l_d - \frac{l_{3d}}{2} \right)^2 \dot{\varphi}_{32}^2. \quad (20)$$

(20) ტოლობის (17)-ში ჩასმით მივიღებთ:

$$T_{32} = \frac{1}{8} m_{32} \left(l_d - \frac{l_{3d}}{2} \right)^2 \dot{\varphi}_{32}^2 + \frac{1}{24} m_{32} l_{62}^2 \dot{\varphi}_{32}^2. \quad (21)$$

საბოლოოდ, ვაგონის კინეტიკური ენერგიის მნიშვნელობა (1) მიღებული ტოლობების (9), (16), (21) სიდიდეთა გათვალისწინებით, შეიძლება ჩაიწეროს ასეთი სახით:

$$\begin{aligned} T &= \frac{1}{6} m_d l_d^2 \dot{\varphi}_d^2 + \frac{1}{8} m_{31} (l_d - l_{3d})^2 \dot{\varphi}_{31}^2 + \frac{1}{24} m_{31} l_{61}^2 \dot{\varphi}_{31}^2 + \\ &+ \frac{1}{8} m_{32} \left(l_d - \frac{l_{3d}}{2} \right)^2 \dot{\varphi}_{32}^2 + \frac{1}{24} m_{32} l_{62}^2 \dot{\varphi}_{32}^2. \end{aligned} \quad (22)$$

(2) ტოლობის გათვალისწინებით ვაგონის კინეტიკური ენერგიის განმსაზღვრელმა (22) ტოლობამ შეიძლება მიიღოს შემდეგი სახე:

$$\begin{aligned} T &= \frac{1}{6} m_d l_d^2 \dot{\varphi}_d^2 + \frac{1}{8} (m_{61} + m_{\tilde{v}1} + m_{\tilde{v}2}) (l_d - l_{3d})^2 \dot{\varphi}_{31}^2 + \\ &+ \frac{1}{24} (m_{61} + m_{\tilde{v}1} + m_{\tilde{v}2}) (l_d - l_{3d})^2 \dot{\varphi}_{31}^2 + \\ &+ \frac{1}{8} (m_{62} + m_{\tilde{v}3} + m_{\tilde{v}4}) \left(l_d - \frac{l_{3d}}{2} \right)^2 \dot{\varphi}_{32}^2 + \frac{1}{24} (m_{62} + m_{\tilde{v}3} + m_{\tilde{v}4}) \left(l_d - \frac{l_{3d}}{2} \right)^2 \dot{\varphi}_{32}^2. \end{aligned} \quad (23)$$

რელსის მიმართ წყვილოვლების გვერდითი დაწოლის $F_{\tilde{v}1}$, $F_{\tilde{v}2}$, $F_{\tilde{v}3}$ და $F_{\tilde{v}4}$ ძალების გაანგარიშება შესაძლებელი იქნება ვაგონის მოძრაობის დიფერენციალური მეორე რიგის არაწრფივი განტოლების შედეგის დროს განზოგადებული კოორდინატების მიმართ განზოგადებული ძალების მნიშვნელობათა დადგენით.

ლიტერატურა—REFERENCES—ЛИТЕРАТУРА:

1. Артоболевский И. И. Теория механизмов и машин. М.: Наука, 1975.
2. Вершинский С. В. Динамика вагона. М.: Транспорт, 1978.
3. გ. ს. შარაშენიძე. ვაგონების დინამიკა. თბ.: განათლება, 2001.
4. გ. ს. შარაშენიძე. ლიანდაგისა და მოძრავი შემადგენლობის ურთიერთქმედება. „ტექნიკური უნივერსიტეტი“, თბ., 2008.
5. გ. ს. შარაშენიძე, ს. გ. შარაშენიძე. ვაგონების კონსტრუქციული ელემენტებისა და მექანიკური სისტემების კვლევის მირითადი მეთოდები. „ტექნიკური უნივერსიტეტი“, თბ., 2013.

სატრანსპორტო მანქანათმშენებლობა

ვაბონის მოძრაობის კინეტიკური ენერგიის ბანსაზღვრა ურიკების
არასიმეტრიული ბანლაბების ბათვალისწინებით

†გ. შარაშენიძე, ი. ზაკუტაშვილი, ლ. თედიაშვილი, ს. შარაშენიძე

(საქართველოს ტექნიკური უნივერსიტეტი)

რეზიუმე: ნაშრომში განხილულია ვაგონის თვლისა და რელსის უთანაბრობანი, რომლებსაც არ შეუძლია გავლენა მოახდინოს ვაგონის მოძრაობის კინეტიკურ ენერგიაზე. კინეტიკური ენერგიის განსაზღვრის მიზნით შედგენილია ვაგონის მოძრაობის სქემა. მიღებულია ვაგონის მოძრაობის კინეტიკური ენერგიის ანალიზური გამოსახულება ძარასა და ურიკების კინეტიკური ენერგიების გათვალისწინებით.

TRANSPORTATION ENGINEERING

DEFINITION OF RAIL-CAR KINETIC ENERGY WITH TAKING INTO ACCOUNT OF ASYMMETRIC ARRANGEMENT OF BOGIES

†G. Sharashenidze, I. Zakutashvili, L. Tediashvili, S. Sharashenidze

(Georgian Technical University)

Resume: There are considered the inequalities of rail-car wheels and rail, that can not affect on the kinetic energy of rail-car motion. There is compiled the scheme of rail-car movement to calculate the kinetic energy of rail-car. The analytical expression for the kinetic energy of rail-car motion with taking into account the kinetic energies of bogies is obtained.

ТРАНСПОРТНОЕ МАШИНОСТРОЕНИЕ

ОПРЕДЕЛЕНИЕ КИНЕТИЧЕСКОЙ ЭНЕРГИИ ДВИЖЕНИЯ ВАГОНА С УЧЕТОМ АСИММЕТРИЧЕСКОГО РАСПОЛОЖЕНИЯ ТЕЛЕЖЕК

†Г. Шарашенидзе, И. Закуташвили, Л. Тедиашвили, С. Шарашенидзе

(Грузинский технический университет)

Резюме: Рассмотрены неровности колеса вагона и рельса, которые не могут воздействовать на кинетическую энергию движения вагона. Составлена схема движения вагона для расчета кинетической энергии вагона. Получено аналитическое выражение кинетической энергии движения вагона с учетом кинетической энергии тележек.

ქართული კვალი ჩერქეზეთში X-XII საუკუნეებში*

თ. დიასამიძე

(წმიდა ანდრია პირველწოდებულის სახელობის ქართული უნივერსიტეტი)

კავკასია არა მარტო გეოგრაფიული, არამედ ისტორიულ-კულტურული რეგიონია. საქართველო კი კავკასიის ცენტრია, რომელიც ხშირ შემთხვევაში კავკასიის განვითარების პიმზის მიმცემი იყო.

ქართული ძეგლები გაფანტულია მსოფლიოს მრავალ ქვეყანაში. ყველგან, სადაც ქართველი კაცის ხელი მისწვდა, სამუდამოდ დარჩა ქართული კულტურის კვალი. კავკასიის რეგიონი გამორჩევლია ამ შერივ - აქ, ყველა ჩვენი მეზობლის ტერიტორიაზე, შეიმჩნევა ქართული ქრისტიანული დაწინარეკრისტიანული კულტურის ნაკვალევი.

ამ მხრივ არც წრდილოეთ კავკასიის რეგიონებია გამონაპლისი. ქართული ქრისტიანული კულტურის კვალი ვრცელდება მთელი წრდილოეთ კავკასიის ტერიტორიაზე, დაწყებული დაღესტნიდან დამთავრებული დიდებით.

სტატიის მიზანია ჩრდილოეთ კავკასიაში არსებული ქართული ქრისტიანული კულტურის ძეგლების ირგვლივ მოპოვებული და დამუშავებული მასალის ანალიზი. იგულისხმება ქართული ქრისტიანული კულტურის შესწავლა დღევანდელი ყარახი-ჩერქეზთას ტერიტორიაზე, სადაც დღმდება შემორჩენილი X საუკუნის ორი ქრისტიანული ტაძარი შუანისა და სენტის სახელწოდებით.

ტაძრების შესწავლის ისტორია იწყება XIX საუკუნის დასაწყისიდან, როდესაც რუსეთის მმპერიის სამეფო კარი დაინტერესდა ჩრდილოეთ კავკასიის ქრისტიანული კულტურით. მათ მიზნად დაისახეს ქრისტიანული რელიგია გამოეყენებინათ ისლამის წინააღმდეგ. ამისათვის კი საჭირო იყო ქრისტიანული კვალის და გავლენის შესწავლა ჩრდილოეთ კავკასიაში, აღნიშნულ შემთხვევაში კი – ჩრდილო-დასავლეთ კავკასიაში.

სამეცნიერო კქსპედიციამდე სხვადასხვა მოგზაური ცდილობდა შეესწავლა ადგილობრივი მოსახლეობის ყოფა და კულტურა. გზად ისინი ხვდებოდნენ ქრისტიანულ ტაძრებსაც და ამ ტაძრების შესახებ მხოლოდ ინფორმაციას იწერდნენ. ერთ-ერთი ასეთი მოგზაური იყო გერმანელი ი. რაინეგსი, რომელმაც იმოგზაურა ჩერქეზეთში XVIII საუკუნის 80-იან წლებში. რაინეგსი წერს: „სამხრეთით მაღალ მთაზე დგას კარგად შენახული, წმიდა გიორგისადმი მიძღვნილი ქვის ეკლესია. იქ ჯერაც ორი ზარია; ასევე ამტკიცებენ, რომ წიგნები, ბერების სამოსელი, თასი და ჯვარი ახლაც იმავე მთაზეა დაცული განსაკუთრებულ საიდუმლო ადგილას, რომელზედაც ეკლესია დგას, ეკლესიის ირგვლივ კი ძევვი ქაბულია გამოკვეთილი.

ეს ეკლესია ცნობილი ყოფილა თავისი საკვირველმოქმედებით, განდეგილებითა და ბერებით. ქარის მოსახლის აღგბის შემდეგ აქ იკრიბებიან გლეხები, ქრისტიანი მღვდელი კი აზარებს ლოცვას.

თუ ვინმებს ამ ეკლესიის ახლოს მეხი მოკლავს, მას წმინდანად შერაცხავენ. იქვე მარხავენ მის გამას, შემდეგ მართავენ დღესასწაულს, იკვლება შავი ვაცი. მის ტყავს გაძერავენ და საფლავის ახლოს მაღალ ძელზე გამოპირდებენ, რათა ამ წმინდანად შერაცხულის სსოფნა გაახანგრძლივონ” [1]. ტაძართან ახლოს უნდა ყოვილიყო წიგნსაცვი, საიდანაც რაინგვასმა წაითო ორი წიგნი: ერთი

* აღნიშვნული პროექტი განხორციელდა შოთა რუსთაველის ეროვნული სამეცნიერო ფონდის ფინანსური ხელშეწყობით (პრეზიდენტის სამეცნიერო გრანტი ახალგაზრდა მეცნიერთათვის № 52/40). წინამდებარე პუბლიკაციაში გამოთქმული ნებისმიერი აზრი ეკუთვნის ავტორს და, შესაძლოა, არ ასახავდეს საქართველოს სამეცნიერო ფონდის შემთხვევაში.

საეკლესიო ცნობარი და მეორე, სავარაუდო, იესო ქრისტეს ცხოვრება. წიგნები დაწერილი უნდა ყოფილიყო ბერძნულ ენაზე, თუმცა ამის შესახებ ჩვენ ზუსტი ცნობები არ მოგვეპოვება.

შუანისა და სენტის პირველი სამეცნიერო შესწავლა დაიწყო გერმანელმა მეცნიერმა ი. ბერნადაცმა, რომელმაც იმოგზაურა ჩერქეზთში 1829 წელს. მისი გადმოცემით „შუანის ტაძარი სრული სახით იყო შემორჩენილი. ტაძრის შიგნით შეიმჩნევა საღებავის კვალი, რომლითაც ტაძარი შეუთორებიათ“ [2]. შუანის ტაძრის შიგნით, საკურთხევლიდან მარჯვენა მხარეს ინახება ჯვარი, რომლის ირგვლივ იკითხება ბერძნული წარწერა „ოპა... ევო... ლოს... ლეონოს“ (სახელითა დვოთისა ლეონი, სავარაუდო, უნდა იყოს ეგრის-აფხაზეთის სამეფოს მეფე ლეონ III (945 – 963 წწ.), სწორედ ამ პერიოდს უკავშირდება ტაძრის მშენებლობა, რადგან შუანის ტაძარი სტრუქტურულად ძალიან ჰგავს ლეონ III-ის მიერ აგებულ მოქმის ტაძარს.

რაინგგსის მსგავსად ბერნადაცმაც აღწერა ტაძარი: „ტაძრის შიგნით შემორჩენილია ფრესკები, რომელთა ნაწილი წაშლილია, ტაძარს გვერდით აქვს აკლდამა, რომელიც სავარაუდო აქ მოღვაწე ბერების განსასვენებელი უნდა ყოფილიყო“ [2]. ი. ბერნადაცი იყო პირველი, ვინც შეეცადა შესწავლა და რუსეთის სამიპერატორო კარისოვის მიეწოდებინა ტაძრის შესახებ ინფორმაცია. მისი ვარაუდით, ორივე ტაძრის არქიტექტურა ბიზანტიური წარმომავლობის უნდა ყოფილიყო. მართლაც, ეს ტაძრები აგებულებით ძალიან ჰგავს ბიზანტიურ საეკლესიო არქიტექტურას, თუმცა ხშირად მეცნიერები დასავლეთ საქართველოს, ანუ ეგრის-აფხაზეთის ქართველთა სამეფოს, ბიზანტიის ჭრილში მოიხსენიებენ, რის გამოც როულდება მათი შეხედულების სისწორის დადგენა, ხოლო თანამედროვე მეცნიერები ამ დაკვირვებებს და აღნიშვნებს თავიანთ სასარგებლოდ იყენებენ და მიუთითებენ, რომ თითქოს ეს ორივე ტაძარი ბიზანტიულების მიერ არის აგებული.

როგორც უკვე აღვნიშნეთ, XIX საუკუნიდან ამ ტაძრებმა მეცნიერთა დიდი ინტერესი გამოიწვია: მოეწყო სამეცნიერო ექსპედიციები შუანისა და სენტის შესასწავლად, 1867 წელს ტაძრების შესწავლით დაინტერესდნენ მმები ვ. და მ. ნარიშკინები, 1886 წელს ტაძრები შეისწავლა ა. ფელიცინმა, 1898 წელს სენტის ტაძარი მოინახულა და შეისწავლა ა. დიახკოვა-ტარასოვამ [3].

შუანის ტაძარი მდებარეობს მდ. უქბანის მარცხენა სანაპიროზე, კარაჩაევსკის ჩრდილოეთით 7 კმ-ზე, ამავე სახელწოდების მთაზე. ტაძარი წარმოადგენს სამნავიან, სამაფსიდიან შენობას ოთხი კვადრატით, რომლებიც შეერთებულია ბოქებით. ჩრდილოეთიდან და სამხრეთიდან მას აქვს გვადერები, ცენტრალური აფსიდა უფრო დიდია გვერდით აფსიდებთან შედარებით. დასავლეთიდან ტაძარზე მოშენებულია საყრდენი კედელი კონტრფორსებით. ტაძრის სიგრძე 12,90 მ-ია, ხოლო სიგანე – 8,90 მ, სიმაღლე კი – 12 მ.

ტაძარი წმინდა გიორგის სახელობისაა და, სავარაუდო, X საუკუნისაა, ამაზე მრავალი ფაქტორი მიუთითებს: წარწერა შიგნით, სადაც მოხსენიებულია ლეონი, როგორც უკვე აღვნიშნეთ, სწორედ ეგრის-აფხაზთა მეფე ლეონ III უნდა იყოს, რომლის სახელს უკავშირდება ტაძრების მშენებლობა აფხაზეთის ტერიტორიაზე. მეცნიერთა ნაწილს მიაჩნია, რომ ტაძრის აგების დროს ეს ტერიტორია ალანეთის ეპარქიის გამგებლობაში შედიოდა, თუმცა არსებობს განსხვავებული მოსაზრებებიც.

ტაძრის დათარიდება X საუკუნით მთელი რიგი მოვლენებით არის განაპირობებული. პირველ რიგში აღსანიშნავია აქ ქრისტიანობის გავრცელება. მართალია, ჯერ კიდევ ანდრია პირველწოდებულმა და მოციქულებმა იქადაგეს ქრისტიანობა ჩრდილოეთ კავკასიში, სადაც ისინი აფხაზეთიდან გადავიდნენ, მაგრამ ეს არ გვაძლევს იმის თქმის უფლებას, რომ აქ მოსახლეობა პირველი საუკუნიდან იყო ქრისტიანული მრწამისის მიმდევარი, თუმცა ქრისტიანობის გავრცელებისათვის ბაზა უკვე მომზადებული იყო. შემდგომ პერიოდში ბიზანტია ცდილობდა აქტიურად ექადაგა და გავერცელებინა ამ ტერიტორიაზე ქრისტიანობა, რაც ნაწილობრივ გამოუყიდა კიდეც. ამ მხრივ სრულ წარმატებას მიაღწია ეგრის-აფხაზეთის მეფე გიორგი II-მ. ამის შესახებ ჩვენ ვიგებთ კონსტანტინეპოლის პატრიარქის ნიკოლოზ მისტიკოსის წერილიდან, რომელიც მან მისწერა გიორგი II-ს: „შენგა დათოსმოსაგობამ და უმწიკელო ქცევამ აღგვიძრა სიუფარული შენდამი, შენი დათოსმოსაგობის საბუთია დათოსმიური სწრაფვა, რომელიც გამოიჩინე აღანთა ტომის მიმართ, განანათლე აღანთა მმართველი“

და უკულა მასთან ერთად, გინც დირსი გახდა წმინდა ნათლისღებისა” [4]. ამ წერილის მიხედვით აშკარა ხდება მეფე გიორგის დგაწყლი ალანთა გაქრისტიანების საქმეში. ამ პერიოდში ალანები სწორედ აღნიშნულ ტერიტორიაზე სახლობდნენ ქართველებთან, კერძოდ სვანებთან, ერთად. გიორგი II-ის შემდეგ მისი კვალი გააგრძელა მისმავე ვაჟმა ლეონ III-მ. ტაძრის არქიტექტურულმა შესწავლამ ასევე ცხადყო, რომ ტაძარი X საუკუნის შუა ხანებში უნდა ყოფილიყო აგებული. ძველად შუანასთან გადიოდა დიდი აბრეშუმის გზა, რომელსაც იცავდა ხუმარას ციხე-სიმაგრე, აქვე იყო მიმოფანტული ქვის ჯვრები.

სელოვნებათმცოდნები აღნიშნავენ შუანის ჯვარ-გუმბათოვანი ტაძრის მსგავსებას „აფხაზური ჯგუფის” ეკლესიებთან, კერძოდ სოფლების – ლოოს, ბზიფის, ლიხნის, ბიჭვინთის, ანაკოფის, ახალი ათონის, მოქვის ეკლესიებთან. უკელა ეს ტაძარი X–XI საუკუნეებშია აგებული. ამ ტაძრებს ამსგავსებენ ტრაპიზონის ტაძრებსაც [5].

რაც შეეხება ტაძრის ამგებს, მეცნიერთა ნაწილი ტენდენციურად მიუთითებს, რომ ტაძარი აგებულია ბიზანტიელთა მიერ, ნაწილი კი შედარებით ლოიალურია და ტაძრის აგებისას არ გამორიცხავს ეგრის-აფხაზეთის სამეფოს როლს, თუმცა ამ სამეფოს განიხილავს ბიზანტიურ და არა ქართულ სამეფოთა რიგებში. ვლ. კუზნეცოვი წერს: „ბიზანტიის იმპერია აფხაზთა სამეფოდან ამარაგებდა ალანთა მეფე-მთავრებს“ ასევე აღნიშნავს, რომ „ტაძარი სიახლოეს ავლენს აფხაზეთის არქიტექტურის ძეგლთან – მოქვის ტაძართან, რომლის აგებაც ლეონ III-ს უკავშირდება” [6]. თუმცა აქვე უნდა ითქვას, რომ ყოველივე ამის ფონზე ვლ. კუზნეცოვი არსად არ ახსენებს საქართველოს, ამ უძველეს ქვეყანას, რომელიც ოდითგან კაგეასიის ცენტრს წარმოადგენდა. იგი ამ ეკლესიასაც უქანის დიდი ეპარქიის ტაძრად და ადგილობრივი ეპისკოპოსის რეზიდენციად მიიჩნევს.

ამ ტერიტორიაზე ქართველები, კერძოდ კი სვანები რომ სახლობდნენ, მიუთითებს ისიც, რომ მდინარეების უქანის და ბაქსანის, ჩეგემის, ჩერეკის და სხვ. სათავეების მნიშვნელოვანი ნაწილი, კერძოდ ყარახაის მხრიდან – ლაბეგიარი (ახლანდელი ულუ კამის ხეობა) და ყაბარდოს მხრიდან – თეგენი, XIX საუკუნის პირველ ნახევარში (1834 წლამდე) სვანეთის სამთავროში შედიოდა, რისთვისაც სვანები იღებდნენ სათანადო გადასახადს იქ დასახლებული ყაბარდო-ბალყარელებისაგან [7].

წერილობითი წეაროვებითაც დასტურდება, რომ 1834 წლამდე საქართველოს (სვანეთის სამთავროს და ზოგიერთ სვანურ თემს) ეკუთვნოდა შედარებით ვრცელი მიწები მდ. თერგის, ყუბანისა და ბაქსანის სათავეებთან. დადეშქელიანები სვანეთის სამთავროს უკიდურეს ჩრდილოეთ პუნქტს – ურუსბიევოს თავიანთ საკუთრებად თვლიდნენ და სივრცეს იალბუზიდან მოყოლებული ვიდრე ჩეგმამდე საქართველოს ტერიტორიად მიიჩნევდნენ. 1834 წლს ბარონ როზენის მიერ სვანეთში საზღვრების აღსაწერად გაგზავნილმა სამხედრო მოხელე ი. შახოვსკიმ სვანეთის სამთავროს ყოველი მხრიდან ჩამოაჭრა ტერიტორიები [8].

სვანეთის მთავრის ქვრივი დიგორხან დადეშქელიანი-გარდაფხაძისა, რომლის ტიტულატურა იყო „მბრძანებელი ბაქსანის მდინარის სათავისა, უქანისა, დალისა და ანგურისა”, დიდი ხნის განმავლობაში ითხოვდა ისტორიული სამართლიანობის აღდგენას. არქივში დაცულია მისი წერილი ბარონ როზენისადმი, სადაც აღწერილია სვანეთის ტერიტორიების ჩამოჭრის ისტორია [9].

X–XII საუკუნეებში მდინარე უქანის სათავეებთან სვანთა დასახლების ერთი საყურადღებო ფაქტია მოხსენიებული ბერძენი ავტორების მიერ. ეს ეხება იქ მდგბარე ისეთ ქალაქებს, როგორიც იყო ფუსტი და სხეუმარისი. ფუსტი, როგორც სამლოცველო, დღესაც არის სვანეთში. სხეუმარისი იგივე „ცხეუმისი” უნდა იყოს, რაც სვანურად რცხილნარს ნიშნავს [10]. როგორც აღვნიშნეთ, შუანის ეკლესია არის შუანის მთაზე. როგორც სამეცნიერო ლიტერატურაშია ცნობილი, ოსები მთასაც და მონასტერსაც შუნს ეძახიან და არა შუანას, ისინი მხოლოდ ლოცვის დროს იტყვიან ხოლმე: „შუან უასთირჯი” (უასთირჯი ოსურად წმინდა გიორგის ნიშნავს). ეს ტერმინი ძველირანულ პერიოდს განეკუთვნება და დეთაქბას, დეთაქბრივ წმინდანს ნიშნავს. ასე რომ, „შუან უასთირჯი” სვანეთის წმინდა გიორგია, რადგან „შუან” სვანურ ენაზე „სვანეთს” ნიშნავს, ოსურ ენაზე კი ეს ტერმინი გაუგებარია [10].

ამრიგად, ტერიტორია, სადაც შუანის ტაძარი მდებარეობს, საუკუნეების განმავლობაში ქართველთა საკუთრების წარმოადგენდა. აქ დასახლებული იყო ქართული მოსახლეობა. დროთა განმავლობაში აღნიშნულ ტერიტორიაზე ალანები, ჩერქეზები და ყაბარდოელები დასახლდნენ, რამაც გამოიწვია ადგილობრივი მოსახლეობის ასიმილაცია ამ ხალხთან. დღეს მათ შესახებ მხოლოდ ტოპონიმებით შეგვიძლია ვიმსჯელოთ. ყუბანისა და ბაქსანის ტერიტორიაზე სვანთა დასახლებაში თავისი კვალი დატოვა ისეთი ტოპონიმების სახით, როგორიცაა: „უშეულანი“ – უშეული, ხუმარა – ცხუმარა, სხუმარა; ლაშეუთ – ლაშეთი. უშეული, ცხუმარა და ლაშეთი დღევანდელ სვანურში მოქმედი ტოპონიმებია, უშეულანი და ხუმარა მოქმედი ტერმინებია მდ. ყუბანის სათავეებთან, ლაშეუთი კი – მდ. ბაქსანთან [1].

ის ავტორები, რომლებიც ტენდენციურად განიხილავენ აღნიშნულ საკითხს, გვერდს ვერ უვლიან ტოპონიმებისა და ისტორიის განხილვას, მაგრამ მათი მცდელობა, რომ დამახინჯებულად წარმოგვიდგინონ ჩვენი ისტორია, ხშირ შემთხვევაში წარმატებას აღწევს, თუმცა ისტორია არასოდეს იყარგება და ადრე თუ გვიან სიმართლე მაინც იჩენს თავს.

შუანის ტაძრიდან დახლოებით 15 ქმ-ზე სოფ. სენტაში მდ. თებერდის სანაპიროზე შემაღლებულ ადგილას – გორაზე დგას სენტის ტაძარი (ქვედა თებერდის ტერიტორიაზე ყარაჩაული მოსახლეობა გაჩნდა 1870 წლიდან). ადგილობრივთა გადმოცემით, სენტი ეწოდებოდა ქვის ძეგლს, რომელსაც ადამიანის გამოსახულება ჰქონდა და ინახებოდა მონასტერში. სენტი ქართული სვეტის იდენტური უნდა იყოს [10]. ისევე როგორც შუანის ეკლესია, სენტის ტაძარიც მეცნიერულად პირველად შეისწავლა გერმანელმა მეცნიერმა ი. ბერნადაცმა გენერალ ემანუელის დავალებით 1829 წელს. სენტი რომ სვეტს ნიშნავს, ამას აღნიშნავს ა. დიახკოვა-ტარასოვაც, რომელმაც ასევე შეისწავლა ტაძარი, „სენტი იგივე ქართული სვეტია. ქართველებმა შემოიტანეს აქ ქრისტიანობა და ის სიწმინდეები, რომლებიც შემდგებავრცელდა ადგილობრივ მოსახლეობაში“ [3].

ი. ბერნადაცი იყო პირველი ევროპელი, რომელმაც XIX საუკუნეში მოინახულა ეს ტაძარი. იგი როგორც შუანის, ისე სენტის ტაძარსაც ბიზანტიურ არქიტექტურას უკავშირდებს. ტაძრის შესახებ კი წერს: „ინტერიერი დაფარულია სხვადასხვა ფრესკით, გამოსახულებით, რომლებზედაც აღწერილია ქრისტეს მიწიერი ცხოვრება, კარგად არის შემონახული ფერები. ეკლესია, ისევე როგორც გუმბათი, ჩვენამდე კარგ ფორმაშია მოღწეული. ზოგან გამოყენებულია აგური, ზოგან უმაღლესი ხარისხის გამომწვარი თიხა. ტაძრის იატაკი აყრილია ჩერქეზების მიერ, რომლებიც აქ ოქროს ეძებდნენ“ [2].

გეგმით ტაძარი წარმოადგენს თანაბარმკლავიან ჯვარს სამი კავდერით. შენობის სიგრძე და სიგანე 8 მ-ია. ეკლესია ნაგებია ქვიშაქვით კარგად თლილი ბლოკებით და კირსნერით. წეობაში ჩანს ბლოკები წარმართული ორნამენტებით. 1977 წელს ვლ. კუზნეცოვმა აღადგინა ტაძარი. ის აღნიშნავს, რომ სენტი განსხვავდება შუანისაგან თავისი პროპორციებით. ტაძრის მოყვანილობა შეუდარებელია, კედლებზე არ არის ბზარი, ტაძარი აგებულია კლდეზე.

ტაძარი ფუნქციონირებდა XIX საუკუნის ბოლომდე, აქ მოღვაწეობდნენ ბერები. სწორედ მათ შეცვალეს მისი პროპორციები, რის შედეგადაც შეიცვალა ტაძრის პირველსახე. ტაძრის თავი იყო ცილინდრის ფორმის, ჰქონდა რვა ფანჯარა და სამი შესახლელი. შიგნით ტაძარი უბრალო და მკაცრია. იგი არ ყოფილი გათვლილი მრავალრიცხოვან მრევლზე.

სენტის ტაძრის განხილვისას საინტერესოა წარწერა, რომელიც აქ აღმოჩინა ა. გინოგრადოვნის შესწავლის დროს. წარწერა შესრულებულია შავი საღებავით ბერძნულ ენაზე:

+ Ἐνεκεν[ίσ]θ(η), ἐνεάσθ(η) ὁ νοέδει τ(ῆς)
 ὑπερσγίας θ(εοτόκ)ου ἐπὴ βασηλείας
 Νηκηφάρου βασηλ[έως]] καὶ αὐτοῦ γα[τού] (?) ΑΣ...
 κὲ Δα(υ)δ ἔξουσιον κράτορ(ος) [Αλανίας
 κ(αὶ) Μαρίας ἔξουσιον κράτος στοῖχος
 μην(η) Ἀμητηλίου β', τιμέρα μητίου Αντινίας (?)
 δηλα χηρὸς Θεοδώρου, μητροπο-
 λ(ίτου) καθηγη(ασμένου) Ἀλανί(ας), από] κτί-
 οε(τος) κάθ(ομου) ἔτη(τος) ζωγ'. Ἀν[ε-
 γράψε[το] δηλα χειρὸς [τοῦ δεῖνος
 θειακρητο(ιακήν) πατερ(ικήν)].

ქართულად წარწერა ასე ითარგმნება:

„ღვთისმშობლის ტაძარი განაახლებ
 ნიკიფორეს მეფების დროს,
 აღანის მფლობელების
 დაგითის და მარიამის დროს,
 დასაბამითგან 6473 წლის 2 აპრილს
 წმინდა ანტიპასხის ხევნების დღეს
 აღანეთის მიტროპოლიტ თეოდორეს შემწეობით.

წარწერის მიხედვით, თარიღი უნდა გამოვთვალოთ ბიზანტიური ქორონიკონით. ამ გამოთვლით ეს გამოდის 965 წელი. სწორედ ამ დროს უნდა განაახლებულიყო ან აგებულიყო ტაძარი [12]. აღნიშნული წარწერის გარდა, სენტის ტაძარზე დასტურდება ბერძნულ ენაზე შესრულებული სხვა წარწერებიც. სავარაუდოდ, აქ ქართული წარწერებიცაა. ეს ყოველივე საჭიროებს სამეცნიერო ძიების გაგრძელებას.

თუ გავითვალისწინებთ ა. ვინოგრადოვის მიერ შესწავლილ წარწერას, შეიძლება დავადგინოთ, თუ რომელ საუკუნეს მიეკუთვნება ტაძარი. ჩვენს ხელთ არსებული მონაცემების მიხედვით, ტაძარი X საუკუნის უნდა იყოს, ე. ი. იმ პერიოდის, როდესაც ქართული სამეფო-სამთავროები ერთმანეთს ბრძოლით ეცილებოდნენ კავკასიაში პირველობას.

სავარაუდოდ, სახეზეა ერთი და იმავე პერიოდის ორი ტაძარი, რომელთაც ქართული სახელწოდებები აერთიანებთ. თუ ამას დავუმატებთ ამ პერიოდში ქართული სამეფოების აქტიურობას კავკასიაში, ადვილი მისახვედრია, რომ ორივე ტაძრის შენების საქმეში ქართველებს თავიანთი წვლილი უნდა პქონდეთ შეტანილი. აქვე გასათვალისწინებულია ისიც, რომ X საუკუნიდან ბიზანტიის იმპერია ნელ-ნელა კარგავს თავის გავლენას დასავლეთ საქართველოზე, დასავლეთ საქართველო კი, თავის მხრივ, ცდილობს გააფართოოს თავისი გავლენა როგორც ქართულ სამეფო-სამთავროებზე, ისე ჩრდილოეთ კავკასიაზე. ამის ნათელი მაგალითია ეგრის-აფხაზეთის მეფის გიორგი II-ის მოღვაწეობა.

სენტის ტაძარი გამორჩეულია თავისი ფრესკებით. როგორც აღვნიშნეთ, ფრესკები პირველად დააფიქსირა ი. ვლადიმიროვმა და აღწერა კიდეც. მანვე აღმოაჩინა ფრესკის ორი შრე. ისინი ან ადადგინეს, ანდა ოსტატურად არის ზედვე შესრულებული თეთრი, წითელი და მუქი ყავისფერი საღებავებით. ცენტრალური ფიგურა დვთისმშობელი იყო, რომელსაც ხელები ზეცისქენ პქონდა აღპყრობილი. საქურთხევლის სამსრეო და ჩრდილოეთ კედლებზე გამოსახულია წმინდანთა ორი ჯაში; თითოეულზე ოთხი ფიგურა, რომელთაც ახლავს წარწერა.

ტაძრის ზედა ნაწილში წარმოდგენილია ქრისტეს ცხოვრების ამსახველი ეპიზოდები – სასამართლო, აღდგომა. დასავლეთ კედლებზე გამოსახულია იერუსალიმში შესვლის სცენა; ქვედა იარუსზე კი – მოციქულთა და ეკლესიის მამათა ფიგურები, ასევე მთავარანგელოზი შუბით ხელში.

ფრესკები ძალიან დაზიანებულია, მათი ნაწილი XIX საუკუნეში დაიკარგა. ი. ვლადიმიროვი მიუთითებდა ფრესკების ბიზანტიურ წარმომავლობაზე, მაგრამ არ გამორიცხავდა მათ სიახლოეს ქართულთან.

სენტის ტაძართან ახლოს, მის ჩრდილო-დასავლეთით დგას უფრო გვიანი პერიოდის ქვის მავრეობი (ამგები უცნობია). სამხრეთ კედელში გაკეთებულია შესასვლელი, შიგნით ჩანს სამარხების კვალი. ახეთი მავზოლეუმი არ არსებობს მოელი ჩრდილოეთი კავკასიის ტერიტორიაზე. სავარაუდოდ, იგი განკუთვნილი იყო უმაღლესი რანგის სასულიერო პირთაოვის. მავზოლეუმი აგებული უნდა იყოს უფრო ძველი, ერთაფსიდიანი ტაძრის ნანგრევებზე აღანთა გაქრისტიანების დროს.

ჩვენ მიერ განხილული ორივე ტაძრი ძალიან ჰგავს აფხაზური ტაძრების არქიტექტურას [13]. მსგავსების შესახებ აღნიშნავს რუსი მეცნიერი ვლ. კუზნეცოვი, რომელიც ცდილობს გვერდი აუაროს ქართულ კვალს ჩრდილოეთ კავკასიაში და ძეგლი დაუკავშიროს მხოლოდ აფხაზურის გავლენას. როგორც ჩანს, ის აფხაზეთს განიხილავს, როგორც არაქართულ სახელმწიფოს. ეს მაშინ, როდესაც ეგრის-აფხაზეთის მეფები იბრძოდნენ ქართული მიწების გაერთიანებისთვის. თვით ითანა მარუშის-ძე – ეგრის-აფხაზეთის მეფის მიერ დანიშნული ერისმთავარი – საქართველოს გაერთიანების ინიციატორი იყო. ასე რომ, აფხაზთა სამეფო თავისი დაარსების დღიდან მუდმივად მოიაზრება ქართული სამეფო-სამთავროების გვერდით და განიხილება, როგორც ძირიფესიანად ქართული სამეცნ.

ჯერ კიდევ ლეონ II-მ შეძლო და ეგრის-აფხაზეთის სამეფოს დედაქალაქი გადმოიტანა ქუთაისში. მომდევნო მეფეები ცდილობდნენ უფრო გაედრმავებინათ მათი გავლენა საქართველოს ყველა სამეფო-სამთავროზე. პარალელურად დასავლეთ საქართველოს ეკლესია ეტაპობრივად ჩამოშორდა კონსტანტინეპოლის საპატიოარქოს და დაუკავშირდა მცხეთის საკათალიკოსოს, რითაც კიდევ ერთხელ გაუსვა ხაზი ამ სამეფოს ქართულობას.

ამრიგად, ზემოაღნიშნული ტაძრების შესწავლით ცხადად გამოიკვეთა ქართული კულტურის კვალი ჩრდილოეთ კავკასიაში, კერძოდ კი ჩერქეზეთში. კვლევა კვლავაც გაგრძელდება და მომავალში უფრო საფუძვლიანად იქნება წარმოდგენილი ქართული კულტურის გავლენა და ჩერქეზეთში არსებული ტაძრების იდენტურობა ქართულ, კერძოდ კი აფხაზურ, არქიტექტურასთან. ტაძრის ისტორიის პარალელურად ჩვენ შეგვეძლება გავეცნოთ საქართველოს კულტურულ, რელიგიურ და პოლიტიკურ წარსულს და ურთიერთობას ჩრდილოეთ კავკასიის ხალხებთან.

ლიტერატურა—REFERENCES—ЛИТЕРАТУРА:

1. იაკობ რაინეგსი. მოგზაურობა საქართველოში. გ. გელაშვილის რედაქციით, თბ., 2002, გვ. 219.
2. Бернадацци И. Христианские древности за Кубанью. Журналъ министерства внутренних делъ, ч. III, С.-пб., 1830, с. 187, 189.
3. Дьячкова-Тарасова А.К. Сентинский храм и его фрески. 1898, с. 4.
4. ს. ყაუხებიშვილი, გეორგიკა. ტ. IV, თბ., 1952, გვ. 247.
5. Кузьмин В. Христианские храмы Северного Кавказа. 2005, с. 27.
6. Кузнецов В. Христианство на Северном Кавказе до XV в. Владикавказ, 2002, с. 67.
7. ა. გელოვანი. დასავლეთ საქართველოს მთიანეთი (სვანეთი) XIX საუკუნეები, თბ., 2003, გვ. 42.
8. რ. გუჯეჯიანი. ქართული ქრისტიანული კულტურის ძეგლები ბალყარეთსა და ყარაჩაიში // კავკასიის ეთნოგრაფიული კრებული, ტ. X, თბ., 2007, გვ. 280.
9. საქ. ცხა. ფ., 2, აღწერა I, საქმე, 4465, გვ. 245-247.
10. თ. მიბჩანი. მეობბობის სათავეებთან. თბ., 1986, გვ. 80, 81, 83.
11. Лавров Л. И. Расселение сванов на Северном Кавказе до XIX века // Вопросы этнографии Кавказа. Тб., 1952, с. 338.
12. Виноградов А. Фрески Сентинского храма и проблема истории Аланско-христианства X в // Российская археология, N1, 2005, с. 87.
13. Чачхалиა Д. К. Абхазская школа византийской архитектуры (к вопросу о принципах абхазского храмостроения в IX-XIII вв.). Памяти проф. К. Н. Афанасьева, Сухуми, 2004, с. 57.

ქართული პეპალი ჩერხეზეთში X-XII საუკუნეებში

თ. დიასამიძე

(წმიდა ანდრია პირველწოდებულის სახელობის ქართული უნივერსიტეტი)

რეზიუმე: სტატია ეხება ჩრდილოეთ კავკასიაში არსებული ქართული ქრისტიანული კულტურის ძეგლების შესწავლას მოპოვებული და დამუშავებული მასალის ანალიზის მიხედვით. იგულისხმება ქართული ქრისტიანული კულტურის შესწავლა დღევანდელი ყარაჩაი-ჩერქეზთის ტერიტორიაზე, სადაც დღემდეა შემორჩენილი X საუკუნის ორი ქრისტიანული ტაძარი შუანისა და სენტის სახელწოდებით; მოკლედ მიმოხილულია ქართული სახელმწიფოს გავლენის შესახებ ჩრდილოეთ კავკასიაში, კერძოდ კი ჩერქეზთში.

HISTORY

GEORGIAN TRACE IN CHERKESSIA IN THE X-XII CENTURIES

T. Diasamidze

(Saint Andrew the First Called Georgian University)

Resume: The aim of the article is study of the Georgian Christian cultural monuments collected materials and processed analysis in the North Caucasus. It is meant study of Georgian Christian culture in the Karachay - Cherkessia area, where still preserve the X century's two Christian churches – named as Senty and Shuana.

There is presented a short review of the state of Georgian influence in the North Caucasus, in particular, in Cherkessia.

ИСТОРИЯ

ГРУЗИНСКИЕ СЛЕДЫ ЧЕРКЕЗИИ В X-XII ВЕКАХ

Т. Диасамиძе

(Грузинский университет им. Андрея Первозванного)

Резюме: Целью статьи является изучить грузинские христианские памятники культуры на Северном Кавказе по всем собранным материалам и обработать их для анализа. Изучается грузинская христианская культура на территории Карачаево-Черкесии, где до сих пор сохранены две христианские церкви X века – Шоана и Сенти.

Здесь же представлен краткий обзор состояния грузинского влияния на Северном Кавказе, в частности, в Черкессии.

რედაქტორები: ლ. გიორგობიანი, ე. იოსებიძე, დ. ქურიძე, მ. პრეობრაჟენსკაია
კომპიუტერული უზრუნველყოფა ე. ქარჩავასი

გადაეცა წარმოებას 25.09.2014. ხელმოწერილია დასაბეჭდად 15.07.2014. ქაღალდის ზომა
60X84 1/8. პირობითი ნაბეჭდი თაბაზი 6,5. ტირაჟი 100 ეგზ.

საგამომცემლო სახლი „ტექნიკური უნივერსიტეტი“, თბილისი, კოსტავას 77

